

AM263Px Sitara™ 具有可选封装内闪存的微控制器

1 特性

处理器内核：

- 单核、双核和四核 Arm® Cortex®-R5F MCU，每个内核运行频率高达 400MHz
 - 16KB 指令高速缓存，每个 CPU 内核具有 64 位 ECC
 - 16KB 数据高速缓存，每个 CPU 内核具有 32 位 ECC
 - 每个 CPU 内核有 x256 集成 VIM
 - 256KB 紧耦合存储器 (TCM)，每个 CPU 内核集群具有 32 位 ECC
 - 支持锁步或双核模式的集群
- 用于加速三角函数的三角函数加速器 (TMU)
 - 多达 4x，每个 R5F MCU 内核一个

存储器：

- 1 个采用 OptiFlash 存储器技术且具有就地执行 (XIP) 支持的闪存子系统
 - 1 个八路串行外设接口 (OSPI)，高达 133MHz SDR 和 DDR
 - AM263P 封装内闪存 (ZCZ_F) 型号包括 8MB OSPI 闪存
- 3MB 片上 RAM (OCSRAM)
 - 6 组 x 512KB
 - ECC 错误保护
 - 内部 DMA 引擎支持
 - 用于外部存储器的远程 L2 高速缓存，软件可编程，每个 CPU 内核高达 128KB

片上系统 (SoC) 服务和架构：

- 1 个 EDMA，支持数据移动功能
 - 2 个传输控制器 (TPCT)
 - 1 个通道控制器 (TPCC)
- 支持从以下接口启动器件：
 - UART (主/备)
 - QSPI NOR 闪存 (4S/1S) (主)
 - OSPI NOR 闪存 (8S 50MHz SDR Mode0, 8S 25MHz DDR XSPI) (主要)
- 处理器间通信模块
 - 用于同步多核上运行的进程的自旋锁模块
 - 通过 CTRLMMR 寄存器实现的 MAILBOX 功能
- 通过时间同步和比较事件中断路由器支持中央平台时间同步 (CPTS)
- 计时器模块：
 - 4 个窗口化看门狗计时器 (WWDT)
 - 8 个实时中断 (RTI) 计时器

通用连接：

- 6 个通用异步接收器/发送器 (UART)
- 8 个串行外设接口 (SPI) 控制器
- 5 个本地互连网络 (LIN) 端口
- 4 个内部集成电路 (I2C) 端口
- 8 个支持 CAN-FD 的模块化控制器局域网 (MCAN) 模块
- 4 个快速串行接口发送器 (FSITX)
- 4 个快速串行接口接收器 (FSIRX)
- 多达 139 个通用 I/O (GPIO) 引脚

传感和驱动：

- 实时控制子系统 (CONTROLSS)
- 灵活的输入/输出交叉开关 (XBAR)
- 5 个 12 位模数转换器 (ADC)
 - 6 输入 SAR ADC，高达 4MSPS
 - 6 个单端通道或
 - 3 个差分通道
 - 高度可配置的 ADC 数字逻辑
 - XBAR 转换启动 (SOC) 触发
 - 用户定义的采样保持 (S+H)
 - 灵活的后处理块 (PPB)
- 1 个旋转变压器子系统 (ZCZ-S 和 ZCZ-F 封装)，此封装具有：
 - 2 个旋变数字转换器 (RDC) 或
 - 2 个 12 位 ADC 也可用于通用用途
 - 4 输入 SAR ADC，高达 3MSPS
 - 4 个单端通道或
 - 2 个差分通道
- 带 A 类可编程 DAC 基准的 10 个模拟比较器 (CMPSSA)
- 带 B 类可编程 DAC 基准的 10 个模拟比较器 (CMPSSB)
- 1 个 12 位数模转换器 (DAC)
- 32 个脉宽调制 (EPWM) 模块
 - 单或双 PWM 通道
 - 高级 PWM 配置
 - 扩展的 HRPWM 时间分辨率
- 16 个增强型捕捉 (ECAP) 模块
- 3 个增强型正交编码器脉冲 (EQEP) 模块
- 2 个 4 通道 Σ - Δ 滤波器模块 (SDFM)
- 额外的信号多路复用交叉开关 (XBAR)



工业连接：

- 可编程实时单元 - 工业用通信子系统 (PRU-ICSS)
 - 双核可编程实时单元子系统 (PRU0/PRU1)
 - 确定性硬件
 - 动态固件
 - 每个 PRU 具有 20 通道增强型输入 (eGPI)
 - 每个 PRU 具有 20 通道增强型输出 (eGPO)
 - 嵌入式外设和存储器
 - 1 个 UART、1 个 ECAP、1 个 MDIO、1 个 IEP
 - 1 个 32KB 共享通用 RAM
 - 2 个 8KB 共享数据 RAM
 - 每个 PRU 1 个 16KB IRAM
 - 暂存器 (SPAD)、MAC/CRC
 - 数字编码器和 Σ - Δ 控制环路
 - PRU-ICSS 支持高级工业协议，包括：
 - EtherCAT[®]、Ethernet/IP[™]、
 - PROFINET[®]、IO-Link[®]，可供订购
 - 专用中断控制器 (INTC)
 - 动态 CONTROLSS XBAR 集成

高速接口：

- 集成 3 端口千兆位以太网交换机 (CPSW) 支持最多两个外部端口
 - MII (10/100)、RMII (10/100) 或 RGMII (10/100/1000)
 - IEEE 1588 (2008 附件 D、E 和 F) 及 802.1AS PTP
 - 第 45 条 MDIO PHY 管理规范
 - 512 个基于 ALE 引擎的数据包分类器
 - 基于优先级的流量控制，数据包大小高达 2KB
 - 四个 CPU 硬件中断节奏
 - 硬件中的 IP/UDP/TCP 校验和卸载

安全性：

- 支持 Auto SHE 1.1/EVITA 的硬件安全模块 (HSM)
 - 基于 Arm[®] Cortex[®]-M4F 的专用安全控制器
 - 隔离式和安全 RAM
 - 计时器、WWDT、RTC 和中断控制器等外设
 - 与安全相关的外设，如 CRC、ESM、PBIST
- 安全启动支持
 - 器件接管保护
 - 硬件强制信任根 (RoT)
 - 支持两组 RoT 密钥
 - 支持经认证的引导
 - 加密引导支持
 - 软件防回滚保护
- 调试安全
 - 仅在通过加密身份验证后才能安全调试器件
 - 支持永久调试/JTAG 禁用
- 器件 ID 和密钥管理
 - 唯一 ID (SoC ID)
 - 支持 OTP 存储器 (FUSEROM)
- 广泛的防火墙支持
 - 各种接口上的系统存储器保护单元 (MPU)
- 加解密加速
 - 支持 DMA 的加解密内核
 - AES - 128/192/256 位密钥大小
 - SHA2 - 256/384/512 位支持
 - 具有仿真随机数生成器 (TRNG) 的确定性随机位生成器 (DRBG)
 - 用于协助 RSA/Elliptic 曲线加密 (ECC) 处理的公钥加速器 (PKA)

功能安全：

- 支持设计具有功能安全要求的系统
 - 具有指定 SAFETY_ERRORn 引脚的错误信令模块 (ESM)
 - 计算临界存储器具有 ECC 或奇偶校验
 - 4 个双时钟比较器 (DCC)
 - 3 个自检控制器 (STC)
 - CPU 和片上 RAM 的可编程内置自检 (PBIST) 和故障注入
 - 运行时内部诊断模块，包括电压、温度和时钟监控，窗口式看门狗计时器，用于存储器完整性检查的 CRC 引擎
- 以符合功能安全标准为目标 [工业]
 - 专为功能安全应用开发
 - 可提供用于 IEC 61508 功能安全系统设计的文档
 - 以系统能力达到 SIL-3 级为目标
 - 以硬件完整性达到 SIL-3 级为目标
 - 安全相关认证
 - 计划通过 IEC 61508 认证
- 以符合功能安全标准为目标 [汽车]
 - 专为功能安全应用开发
 - 可提供用于 ISO 26262 功能安全系统设计的文档
 - 以系统功能达到 ASIL-D 级为目标
 - 以硬件完整性达到 ASIL-D 级为目标
 - 安全相关认证
 - 计划通过 ISO 26262 认证

数据存储

- 1 个 4 位多媒体卡/安全数字 (MMC/SD) 接口

优化的电源管理解决方案

- 推荐的 **TPS653860-Q1** 电源管理 IC (PMIC)
 - 专为满足器件电源要求而设计的配套 PMIC
 - 灵活的映射和出厂编程配置，支持多种不同的用例

技术/封装：

- 符合面向汽车应用的 AEC-Q100 标准
- 45nm 技术
- ZCZ 封装
 - 兼容 AM263x (ZCZ-C)
 - 与 AM263x 引脚对引脚兼容选项
 - AM263Px 旋转变压器 (ZCZ-S)
 - 添加了新的旋转变压器子系统功能
 - 具有封装内闪存的 AM263Px 旋转变压器 (ZCZ-F)
 - 封装中包含 1 个内部连接的器件 64Mb ISSI IS25LX064-LWLA3 OSPI 闪存器件；高达 133MHz 的 SDR 和 DDR
 - 324 引脚 NFBGA
 - 15.0mm x 15.0mm
 - 0.8mm 间距

2 应用

- 交流逆变器和变频驱动器
- 电池管理系统
- 整体式架构
- 直流/直流转换器
- 域控制器
- 电动汽车充电
- IO 聚合器
- 车载充电器
- 可再生能源存储
- 单轴及多轴伺服驱动器
- 太阳能
- 远程信息处理
- 牵引逆变器

3 说明

AM263Px Sitara™ Arm® 微控制器旨在满足下一代工业和汽车嵌入式产品复杂的实时处理需求。AM263Px MCU 系列包含多个具有多达四个 400MHz Arm® Cortex®-R5F 内核的引脚对引脚兼容器件。可选择将 Arm® R5F 子系统编程为在锁步或双核模式下运行，从而实现多种功能安全配置。工业通信子系统 (PRU-ICSS) 支持集成工业以太网通信协议 (例如 PROFINET®、Ethernet/IP®、EtherCAT® 以及多个其他协议)、标准以太网连接和自定义 I/O 接口。该系列面向使用高级模拟感应和数字驱动模块的未来电机控制和数字电源应用而设计。

多个 R5F 内核排列成具有 256KB 共享紧耦合存储器 (TCM) 和 3MB 共享 SRAM 的集群子系统，显著降低了对外部存储器的需求。片上存储器、外设和互联中包含广泛的 ECC，增强了可靠性。由硬件安全管理器 (HSM) 管理的粒度防火墙支持开发人员满足严格的安全敏感型系统设计的要求。AM263Px 器件还提供加解密加速和安全启动功能。

TI 为 AM263Px 系列微控制器提供了一整套微控制器软件和开发工具。

封装信息

器件型号 ^{(1) (2)}	封装	封装尺寸 ⁽³⁾
AM263P4...ZCZ	ZCZ (nFBGA , 324)	15.0mm × 15.0mm
AM263P2...ZCZ	ZCZ (nFBGA , 324)	15.0mm × 15.0mm
AM263P1...ZCZ	ZCZ (nFBGA , 324)	15.0mm × 15.0mm
AM263P4...ZCZQ1	ZCZQ1 (nFBGA , 324)	15.0mm × 15.0mm
AM263P2...ZCZQ1	ZCZQ1 (nFBGA , 324)	15.0mm × 15.0mm
AM263P1...ZCZQ1	ZCZQ1 (nFBGA , 324)	15.0mm × 15.0mm

- (1) 有关更多信息，请参阅节 11。
- (2) 所有器件均采用托盘或卷带包装。
- (3) 封装尺寸 (长 × 宽) 为标称值，并包括引脚 (如适用)。

3.1 功能方框图

图 3-1 是器件的功能方框图。

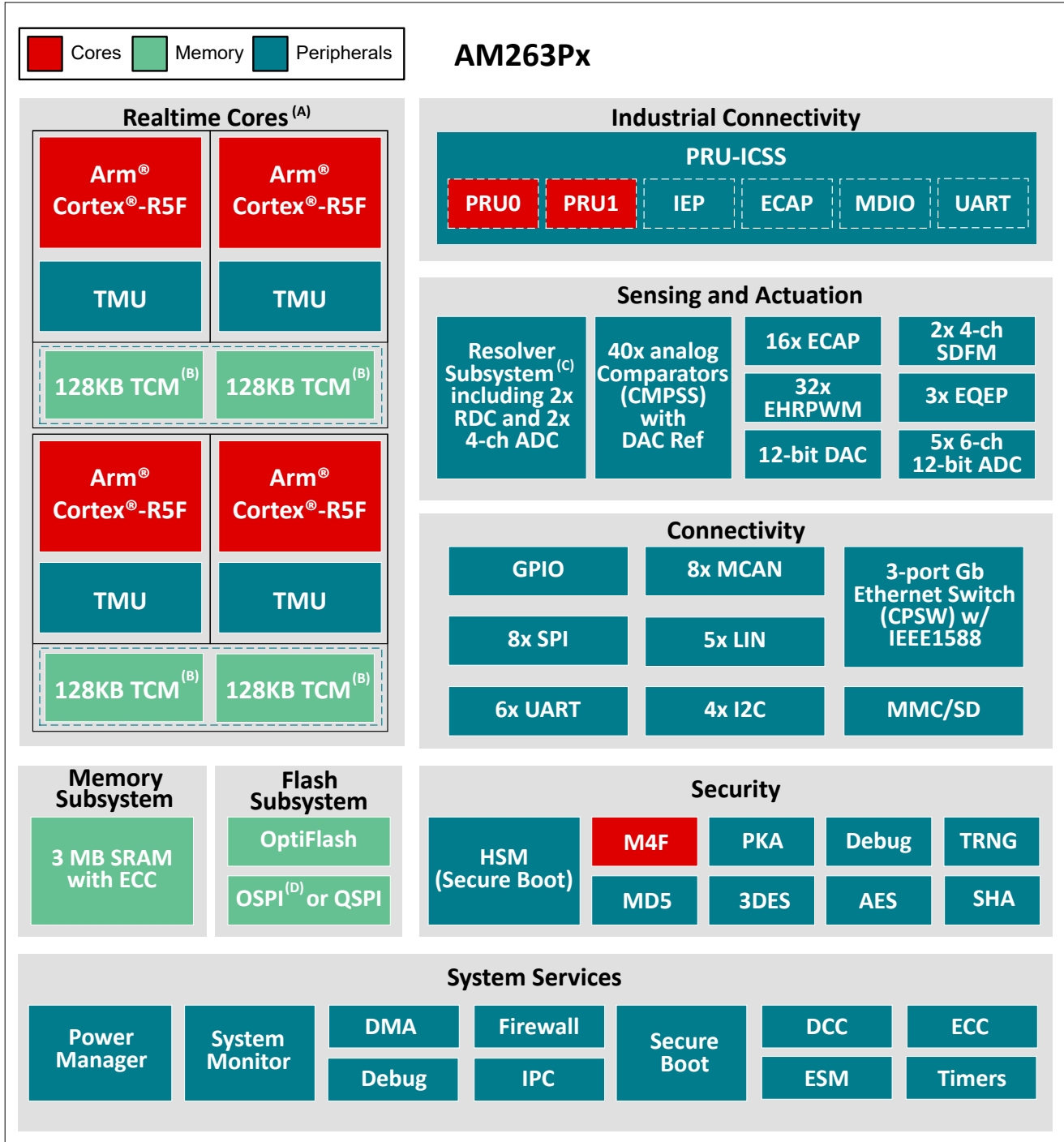


图 3-1. 功能方框图

- A. AM263Px 提供 4、2 和 1 个内核选项。请参阅[器件比较表](#)，了解更多特定于外设的详细信息。
- B. 每个 R5F 集群支持 256KB 的紧耦合存储器 (TCM)。当配置为单核或锁步操作模式时，各个内核可以使用所有 256KB。在双核模式下，每个内核只能使用其指定的一半 (128KB TCM)。
- C. 旋转变压器子系统仅可用于 ZCZ_S 和 ZCZ_F 封装。

D. ZCZ_F 封装具有一个内部连接的 OSPI 闪存器件。

内容

1 特性	1	6.8 电气特性.....	83
2 应用	3	6.9 一次性可编程 (OTP) 电子保险丝的 VPP 规格.....	90
3 说明	4	6.10 热阻特性.....	91
3.1 功能方框图.....	5	6.11 时序和开关特性.....	92
4 器件比较	7	6.12 去耦电容器要求.....	151
4.1 器件标识.....	9	7 详细说明	153
4.2 相关产品.....	10	7.1 概述.....	153
5 终端配置和功能	11	7.2 处理器子系统.....	154
5.1 引脚图.....	11	8 应用、实施和布局	155
5.2 引脚属性.....	14	8.1 器件连接和布局基本准则.....	155
5.3 信号说明.....	49	9 器件和文档支持	157
5.4 引脚连接要求.....	78	9.1 器件命名规则.....	157
6 规格	79	9.2 工具与软件.....	161
6.1 绝对最大额定值.....	79	9.3 文档支持.....	161
6.2 静电放电 (ESD) 扩展汽车等级.....	80	9.4 支持资源.....	161
6.3 静电放电 (ESD) 工业等级.....	80	9.5 商标.....	161
6.4 上电小时数 (POH) 摘要.....	80	9.6 静电放电警告.....	161
6.5 建议运行条件.....	81	9.7 术语表.....	162
6.6 运行性能点.....	81	10 修订历史记录	162
6.7 功耗摘要.....	82	11 机械、封装和可订购信息	163

4 器件比较

表 4-1 对各器件进行了比较，突出显示了其中的差异。

表 4-1. 器件比较

特性	参考名称	AM263P4 AM263P4-Q1	AM263P2 AM263P2-Q1	AM263P1 AM263P1-Q1
JTAG 用户 ID				
DEVICE_ID[31:13] ⁽¹⁾ (基本器件型号)	D :	0x30884	0x30844	0x30824
	E :	0x30885	0x30845	0x30825
	K :	0x3088B	0x3084B	-
	L :	0x3088C	0x3084C	-
	M :	0x3088D	0x3084D	-
处理器和加速器				
速度等级		请参阅节 6.6，运行性能点		
Arm® Cortex-R5F	R5FSS	4 (2× 双核，具有锁步)	2 (1× 双核，具有锁步)	1 (单核)
三角函数加速器	TMU	是		
硬件安全模块	HSM	是		
加密加速器	安全性	是		
程序和数据存储				
片上共享存储器 (RAM)	OCSRAM	请参阅节 6.6，运行性能点		
R5F 紧耦合存储器 (TCM)	TCM	高达 512KB ⁽¹⁰⁾		
外设				
模块化控制器区域网，具有完整 CAN-FD	MCAN	8		
通用 I/O	GPIO	高达 139		
串行外设接口	SPI	8		
通用异步接收器/发送器	UART	6		
本地互连网络	LIN	5		
内部集成电路接口	I2C	4		
模数转换器	ADC	3 ⁽²⁾ 或 5 ⁽³⁾	3 ⁽²⁾ 或 5 ⁽³⁾	3
旋转变压器 (ADC12B3M) ⁽⁴⁾	RDC	0 ⁽⁸⁾ 或 2 ⁽⁹⁾	0 ⁽⁸⁾ 或 2 ⁽⁹⁾	0
	ADC	0 ⁽⁸⁾ 或 2 ⁽⁹⁾	0 ⁽⁸⁾ 或 2 ⁽⁹⁾	0

表 4-1. 器件比较 (续)

特性	参考名称	AM263P4 AM263P4-Q1	AM263P2 AM263P2-Q1	AM263P1 AM263P1-Q1
比较器模块:	CMPSS	12 ⁽²⁾ 或 20 ⁽³⁾	12 ⁽²⁾ 或 20 ⁽³⁾	12
数模转换器	DAC	1		
可编程实时单元子系统 ⁽⁵⁾	PRU-ICSS	0 或 1		
工业通信子系统支持 ⁽⁶⁾	PRU-ICSS	可选		
千兆位以太网接口	CPSW	是 (2 ⁽⁸⁾ 或 1 ⁽⁹⁾)		
多媒体卡/安全数字接口	MMCSD	1		
增强型高分辨率脉宽调制器模块	EHRPWM	16 ⁽²⁾ 或 32 ⁽³⁾	16 ⁽²⁾ 或 32 ⁽³⁾	16
增强型捕获模块	ECAP	8 ⁽²⁾ 或 16 ⁽³⁾	8 ⁽²⁾ 或 16 ⁽³⁾	8
增强型正交编码器脉冲模块	EQEP	2 ⁽²⁾ 或 3 ⁽³⁾	2 ⁽²⁾ 或 3 ⁽³⁾	2
Σ-Δ 滤波器模块	SDFM	1 ⁽²⁾ 或 2 ⁽³⁾	1 ⁽²⁾ 或 2 ⁽³⁾	1
快速串行接口	FSI	4 个 FSI_RX + 4 个 FSI_TX		
八通道 SPI 闪存接口	OSPI	1 或 0 ⁽¹¹⁾		
其他				
结温		工业: -40°C 至 105°C		
		汽车级工作温度: -40°C 至 150°C ⁽¹²⁾		
汽车认证		AEC-Q100 ⁽⁷⁾ 选项		

- (1) 此处列出的 DEVICE_ID 值是 TOP_CTRL.EFUSE_JTAG_USERCODE_ID 寄存器的 [31:13] 位。有关完整的 JTAG ID, 请参阅 [器件型号标识符表](#)。
- (2) 的标准模拟配置包含 3 个 ADC、16 个 EHRPWM、8 个 eCAP、2 个 EQEP、1 个 SDFM、12 个 CMPSS
- (3) 增强型模拟配置包含 5 个 ADC、32 个 EHRPWM、16 个 eCAP、3 个 EQEP、2 个 SDFM、20 个 CMPSS
- (4) 2 个旋转变压器 ADC12B3M 模块可用作旋转变压器 ADC 或通用 ADC
- (5) 当选择包括特性代码 D、E、F、K、L、M 或 N 的可订购器件型号时, 可以使用可编程实时单元子系统。请参阅特性代码定义的 [命名规则说明表](#)。
- (6) 当选择包括特性代码 D、E、F、K、L、M 或 N 的可订购器件型号时, 可以使用工业通信子系统支持。请参阅 [命名规则说明表](#), 了解特性代码定义。
- (7) AEC-Q100 鉴定适用于如 [命名规则说明表](#) 中的汽车级指示符 (Q1) 标识符所示的部分器件型号变体。
- (8) 仅适用于采用 [ZCZ-C 封装](#) 的器件, 特殊特性代码为 C。请参阅特殊特性代码定义的 [命名规则说明表](#)。
- (9) 仅适用于采用 [ZCZ-S 封装](#) 和 [ZCZ-F 封装](#) 的器件, 特殊特性代码为 F 或 S。请参阅特殊特性代码定义的 [命名规则说明表](#)。
- (10) 每个 R5FSS 集群支持 256KB 的紧耦合存储器 (TCM)。当配置为单核或锁步操作模式时, 各个内核可以利用整个 256KB 的 TCM 存储器, 而在双核模式下, 每个内核只可利用其指定的一半大小 (128KB TCM)。
- (11) 封装内闪存型号将 OSPI 接口连接到封装中包含的 OSPI 闪存器件, 从而禁用外部 OSPI 接口以供应用使用。
- (12) 封装内闪存型号由封装中的 OSPI 闪存器件限制为 125°C。

4.1 器件标识

可以在 TOP_CTRL.EFUSE_JTAG_USERCODE_ID 寄存器中读取器件型号标识数据。有关更多信息，请参阅表 4-2。

表 4-2. 器件型号标识符

TOP_CTRL.EFUSE_JTAG_USERCODE_ID 寄存器字段	值和描述	注释
[31-13] DEVICE_ID	基本器件型号	有关给定器件型号的 DEVICE_ID 值，请参阅“器件比较”部分。
[12] SAFETY	0 = 非功能安全 1 = 功能安全	
[11] PACKAGE	封装 0x06 = ZCZ 其他 = 保留	
[10-6] SPEED	器件速度等级 0x0E (N 级) : 400MHz R5F 2MB (全速和最小存储器) 0x0F (O 级) : 400MHz R5F 3MB (全速和整个存储器) 0x10 (P 级) : 200MHz R5F 3MB (半速和整个存储器)	有关给定器件支持的速度等级和定义，请参阅“运行性能点”部分。
[5-3] TEMP	温度等级 0x05 = -40°C 到 125°C 0x07 = -40°C 到 150°C 其他 = 保留	工作结温范围。
[2-0] 特性	封装特性 0x01 = AM263x 兼容封装 0x02 = 传感器封装 + 封装内闪存 0x05 = 传感器封装	

器件的制造商标识、边界扫描器件型号和器件修订版本可通过 JTAG 从配置端口读取。

4.2 相关产品

Sitara™ 微控制器 基于 Arm® Cortex®-R 的高性能微控制器系列，具有先进的网络、实时控制和信号处理加速器，可满足工业和汽车应用新兴的 MCU 要求。

Sitara™ 微控制器 - 评估模块 TI 可提供针对特定器件的评估模块 (EVM) 设计，帮助快速启动产品开发。有关详细信息，请参阅 [AM263Px ControlCard](#) 和 [AM263Px LaunchPad](#)。

MCU-PLUS-SDK-AM263PX AM263Px 微控制器 (MCU) 和软件开发套件 (SDK) 共同构成一个面向嵌入式处理器的统一软件平台，此平台设置简单，可快速提供开箱即用的示例、基准测试和演示。

帮助您完成设计的产品：下面列出了经常购买或与 AM263Px 器件结合使用的产品，以满足您的系统设计需求。

- [TPS653860-Q1](#) - 适用于 Q100 0 级应用中安全 MCU 的功能安全合规型多轨电源。
- [TPS3704-Q1](#) - 超高精度紧凑型汽车多通道窗口监控器。
- [DP83TG720S-Q1](#) - 具有 RGMII 的 1000BASE-T1 汽车以太网 PHY。
- [DP83826E](#) - 具有 MII 接口和 ENHANCED 模式的低延迟 10/100Mbps 以太网 PHY。
- [TCAN1043A-Q1](#) - 具有唤醒/抑制/睡眠功能的汽车级 CAN FD 收发器。
- [TCAN1044A-Q1](#) - 具有待机模式的增强型汽车级 CAN 收发器。
- [TLIN2029-Q1](#) - 具有显性状态超时故障保护功能的本地互连网络 (LIN) 收发器。

5 终端配置和功能

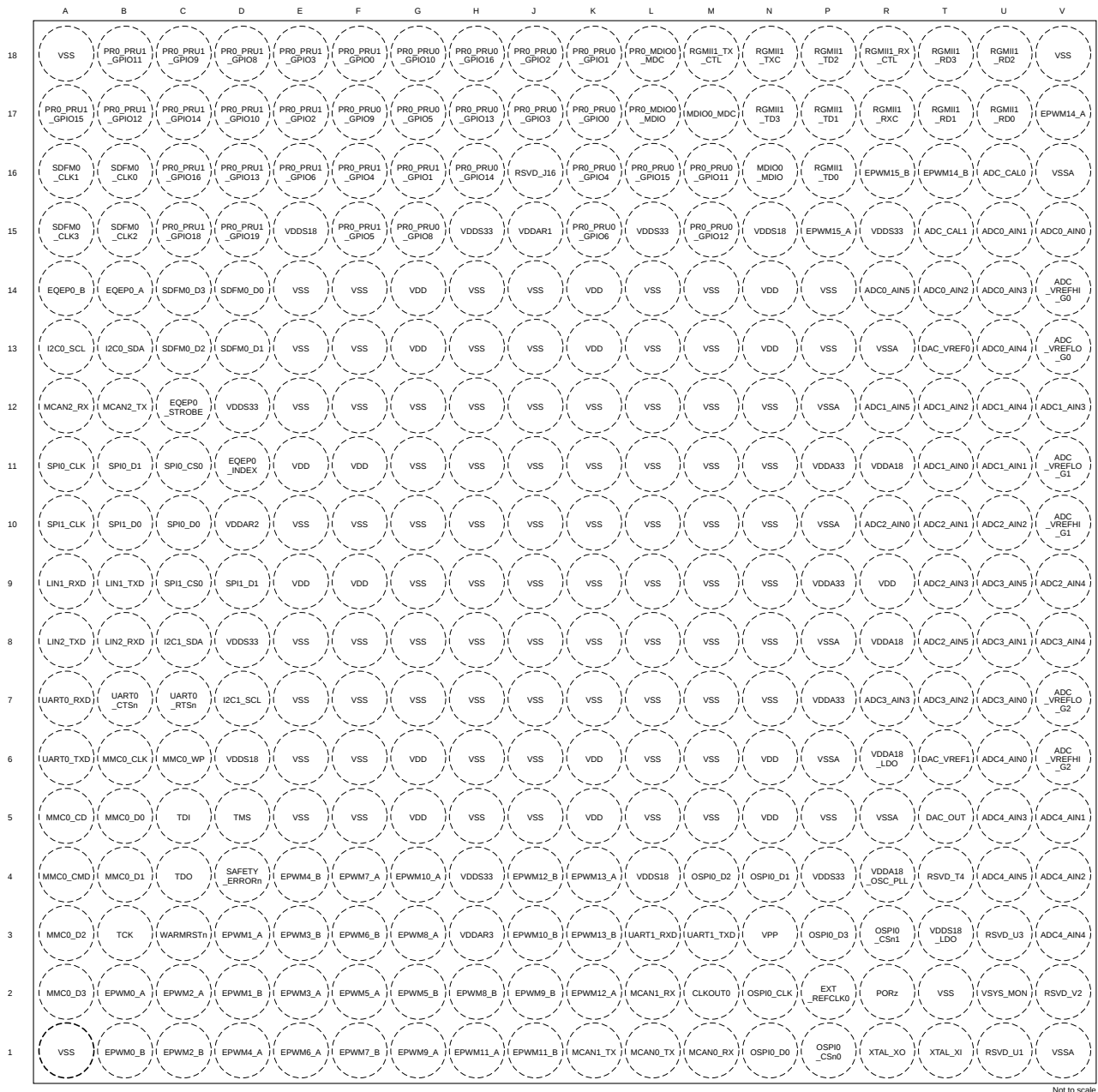
5.1 引脚图

备注

在整个文档中，术语“焊球”、“引脚”和“端子”可互换使用。仅在提及物理封装时才尝试使用“焊球”。

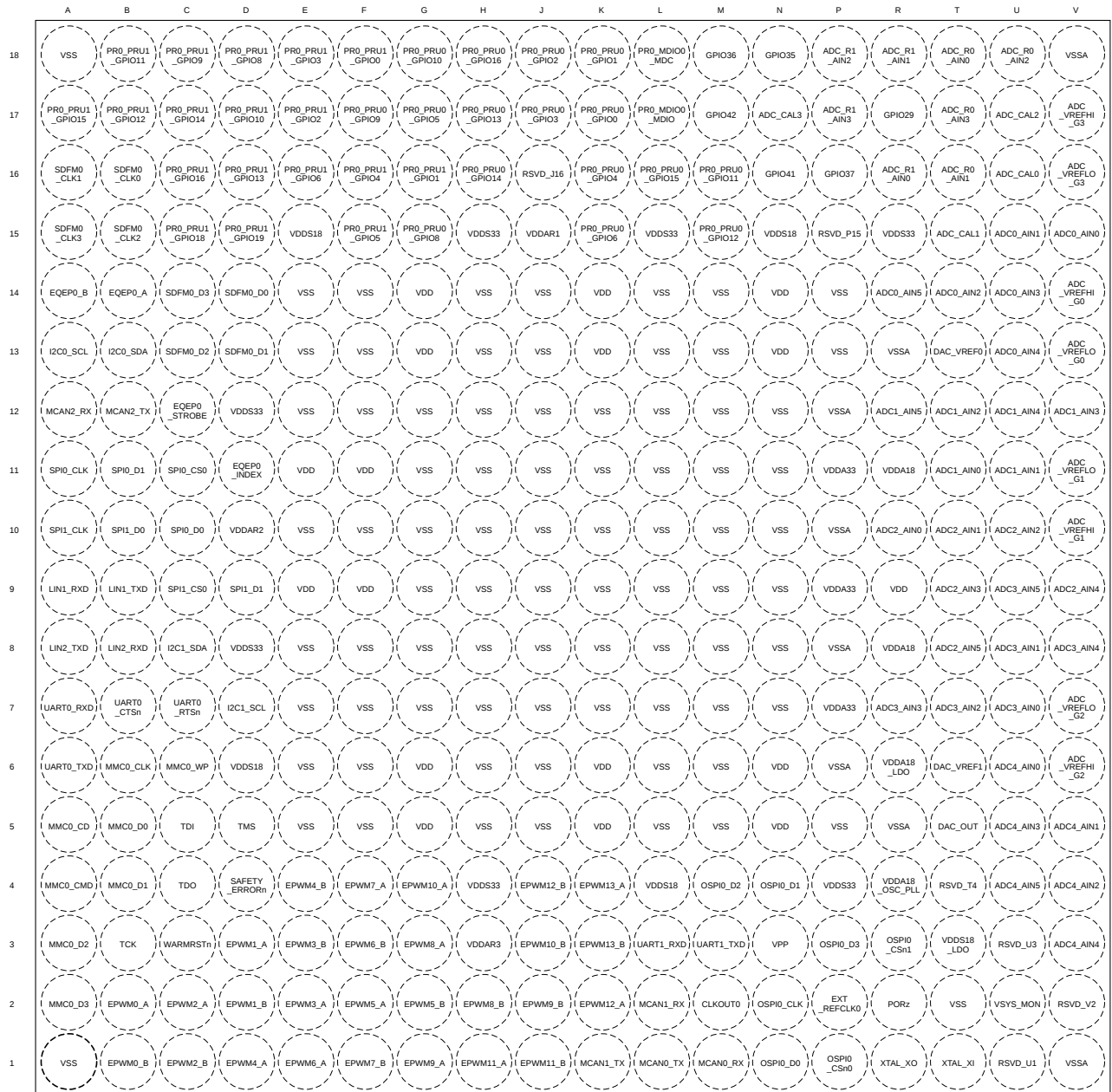
本节中的图将与其他“端子配置和功能”表一起用于查找信号名称和球栅编号。

5.1.1 ZCZ_C 引脚图



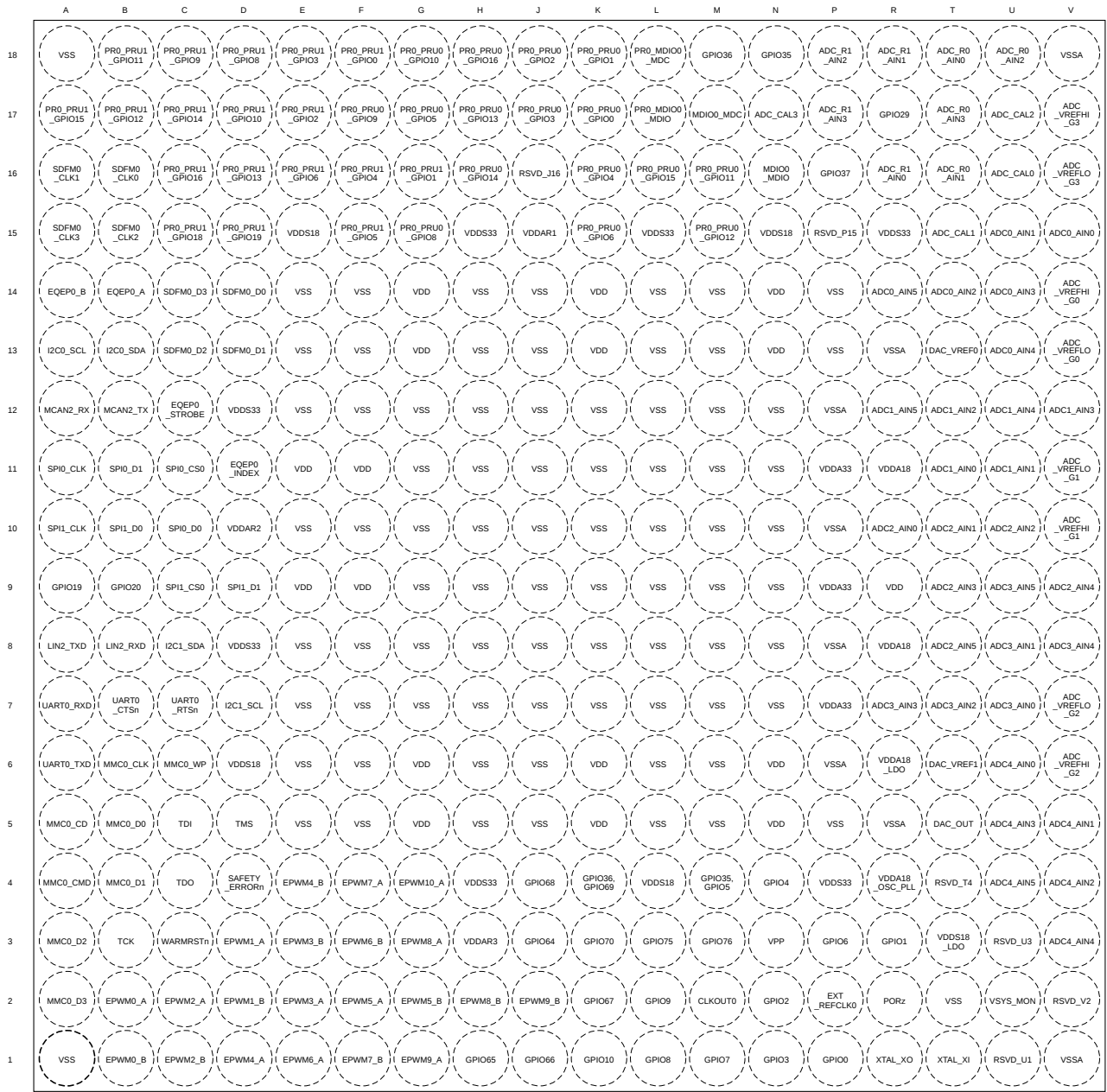
Not to scale

5.1.2 ZCZ_S 引脚图



Not to scale

5.1.3 ZCZ_F 引脚图



Not to scale

5.2 引脚属性

以下列表介绍了 *引脚属性* 表中每一列的内容：

1. **焊球编号**：分配给 Ball Grid Array 封装中每个端子的焊球编号。
2. **焊球名称**：分配给 Ball Grid Array 封装中每个端子的焊球名称（该名称通常取自自主 MUXMODE 0 信号功能）。
3. **信号名称**：与焊球相关的所有专用和引脚多路复用信号功能的信号名称。

备注

引脚属性 表定义了要在引脚上实现的 SoC 引脚多路复用信号功能，而未定义器件子系统中实现的信号功能的次级多路复用。该表未说明信号功能的次级多路复用。有关辅助多路复用信号功能的更多信息，请参阅器件 TRM 的相应外设章节。

4. **多路复用模式**：与每个引脚多路复用信号功能相关的 MUXMODE 值：
 - MUXMODE 0 是主要引脚多路复用信号功能。然而，主要引脚多路复用信号功能不一定是默认引脚多路复用信号功能。
 - MUXMODE 值 1 至 15 可用于引脚多路复用信号功能。然而，并非所有 MUXMODE 值都已实现。仅有的有效 MUXMODE 值是引脚属性表中定义为引脚多路复用信号功能的值。只能使用 MUXMODE 的定义有效值。
 - 自举定义了 SOC 配置引脚，其中应用于每个引脚的逻辑状态在 PORz 的上升沿被锁存。这些输入信号功能固定到各自的引脚，不能通过 MUXMODE 进行编程。
 - 空框或“-”表示不适用。

备注

- “复位之后的多路复用模式”列中的值定义了 PORz 置为无效时选择的默认引脚多路复用信号功能。
- 将两个引脚配置为相同的引脚多路复用信号功能可能会产生意外结果，因此不受支持。适当的软件配置可以防止这种情况发生。
- 将焊盘配置为未定义的多路复用模式会导致未定义的行为，因此必须避免。

5. **类型**：信号类型和方向：
 - I = 输入
 - O = 输出
 - ID = 输入，具有开漏输出功能
 - OD = 输出，具有开漏输出功能
 - IO = 输入、输出或同时输入和输出
 - IOD = 输入、输出或同时输入和输出，具有开漏输出功能
 - IOZ = 输入、输出或同时输入和输出，具有三态输出功能
 - OZ = 具有三态输出功能的输出
 - A = 模拟
 - CAP = LDO 电容器
 - PWR = 电源
 - GND = 地
6. **复位期间的焊球状态 (RX/TX/拉动)**：PORz 置为有效时的端子状态，其中 RX 定义输入缓冲器的状态，TX 定义输出缓冲器的状态，“拉动”定义内部拉电阻器的状态：
 - RX (输入缓冲器)
 - 关闭：输入缓冲器被禁用。
 - 开启：输入缓冲器被启用。

- TX (输出缓冲器)
 - 关闭：输出缓冲器被**禁用**。
 - 低电平：输出缓冲器被**启用**并驱动 V_{OL} 。
 - 拉动 (内部拉电阻器)
 - 关闭：内部拉电阻器被**关闭**。
 - 上拉：内部**上拉**电阻器被开启。
 - 下拉：内部**下拉**电阻器被开启。
 - 不适用：无内部拉电阻器。
 - 空框或“-”表示不适用。
7. **复位之后的焊球状态 (RX/TX/拉动)**：PORz 置为无效后的端子状态，其中 RX 定义输入缓冲器的状态，TX 定义输出缓冲器的状态，“拉动”定义内部拉电阻器的状态：
- RX (输入缓冲器)
 - 关闭：输入缓冲器被**禁用**。
 - 开启：输入缓冲器被**启用**。
 - TX (输出缓冲器)
 - 关闭：输出缓冲器被**禁用**。
 - SS：使用 MUXMODE 选择的子系统决定输出缓冲器状态。
 - 拉动 (内部拉电阻器)
 - 关闭：内部拉电阻器被**关闭**。
 - 上拉：内部**上拉电阻器**被开启。
 - 下拉：内部**下拉电阻器**被开启。
 - 不适用：无内部拉电阻器。
 - 空框、不适用或“-”表示不适用。
8. **复位之后的多路复用模式**：该列中的值定义了 PORz 置为无效后的**默认**引脚多路复用信号功能。
- 空框、不适用或“-”表示不适用。
9. **I/O 电压**：该列介绍了相应电源的 I/O 工作电压选项 (如果适用)。
- 空框、不适用或“-”表示不适用。
- 有关更多信息，请参阅**建议运行条件**中为每个电源定义的有效工作电压范围。
10. **电源**：相关 I/O 的电源 (如果适用)。
- 空框、不适用或“-”表示不适用。
11. **Hys**：指示与该 I/O 关联的输入缓冲器是否具有迟滞：
- 是：滞后支持
 - 否：**无**迟滞支持
 - 空框、不适用或“-”表示不适用。
- 有关更多信息，请参阅**电气特性**中的迟滞值。
12. **拉动类型**：指示存在内部上拉电阻或下拉电阻。可通过软件来启用或禁用内部电阻器。
- PU：仅内部上拉电阻
 - PD：仅内部下拉电阻
 - PU/PD：内部上拉和下拉
 - 空框、NA 或“-”表示无内部拉动。

备注

不支持将两个引脚配置为同一引脚多路复用信号功能，因为这可能会产生意外结果。适当的软件配置可以轻松防止这种情况发生。

当某焊盘被设定为未由引脚多路复用定义的多路复用模式时，该焊盘的运行方式是未定义的。必须避免这种情况。

13. **缓冲器类型**：该列定义与端子关联的缓冲器类型。该信息可用于确定适用的“电气特性”表。

- 空框、不适用或“-”表示不适用。

有关电气特性，请参阅 *电气特性* 中相应的缓冲器类型表。

14. **焊盘配置寄存器名称**：这是器件焊盘/引脚配置寄存器的名称。

15. **焊盘配置寄存器地址**：这是器件焊盘/引脚配置寄存器的存储器地址。

16. **焊盘配置寄存器默认值**：这是 PORz 置为无效后寄存器器件焊盘/引脚配置寄存器的默认值。

表 5-1. 引脚属性 (ZCZ_C、ZCZ_S、ZCZ_F 封装)

ZCZ_C 焊球 编号 [1]	ZCZ_S 焊球 编号 [1]	ZCZ_F 焊球 编号 [1]	焊球名称 [2]/ IOMUX 寄存器 [14]/ 地址 [15]/ 默认值 [16]	信号名称 [3]	多路复用 模式 [4]	类型 [5]	复位 期间的 焊球 状态 RX/TX/拉动 [6]	复位 之后的 焊球 状态 RX/TX/拉动 [7]	复位 之后的 多路复用 模式 [8]	IO 电压 [9]	电源 [10]	HYS [11]	缓冲器 类型 [12]	拉动 类型 [13]
V15	V15	V15	ADC0_AIN0	ADC0_AIN0		I				3.3V	VDDA_CIO		AnalogCIO	
U15	U15	U15	ADC0_AIN1	ADC0_AIN1		I				3.3V	VDDA_CIO		AnalogCIO	
T14	T14	T14	ADC0_AIN2	ADC0_AIN2		I				3.3V	VDDA_CIO		AnalogCIO	
U14	U14	U14	ADC0_AIN3	ADC0_AIN3		I				3.3V	VDDA_CIO		AnalogCIO	
U13	U13	U13	ADC0_AIN4	ADC0_AIN4		I				3.3V	VDDA_CIO		AnalogCIO	
R14	R14	R14	ADC0_AIN5	ADC0_AIN5		I				3.3V	VDDA_CIO		AnalogCIO	
T11	T11	T11	ADC1_AIN0	ADC1_AIN0		I				3.3V	VDDA_CIO		AnalogCIO	
U11	U11	U11	ADC1_AIN1	ADC1_AIN1		I				3.3V	VDDA_CIO		AnalogCIO	
T12	T12	T12	ADC1_AIN2	ADC1_AIN2		I				3.3V	VDDA_CIO		AnalogCIO	
V12	V12	V12	ADC1_AIN3	ADC1_AIN3		I				3.3V	VDDA_CIO		AnalogCIO	
U12	U12	U12	ADC1_AIN4	ADC1_AIN4		I				3.3V	VDDA_CIO		AnalogCIO	
R12	R12	R12	ADC1_AIN5	ADC1_AIN5		I				3.3V	VDDA_CIO		AnalogCIO	
R10	R10	R10	ADC2_AIN0	ADC2_AIN0		I				3.3V	VDDA_CIO		AnalogCIO	
T10	T10	T10	ADC2_AIN1	ADC2_AIN1		I				3.3V	VDDA_CIO		AnalogCIO	
U10	U10	U10	ADC2_AIN2	ADC2_AIN2		I				3.3V	VDDA_CIO		AnalogCIO	
T9	T9	T9	ADC2_AIN3	ADC2_AIN3		I				3.3V	VDDA_CIO		AnalogCIO	
V9	V9	V9	ADC2_AIN4	ADC2_AIN4		I				3.3V	VDDA_CIO		AnalogCIO	
T8	T8	T8	ADC2_AIN5	ADC2_AIN5		I				3.3V	VDDA_CIO		AnalogCIO	
U7	U7	U7	ADC3_AIN0	ADC3_AIN0		I				3.3V	VDDA_CIO		AnalogCIO	
U8	U8	U8	ADC3_AIN1	ADC3_AIN1		I				3.3V	VDDA_CIO		AnalogCIO	
T7	T7	T7	ADC3_AIN2	ADC3_AIN2		I				3.3V	VDDA_CIO		AnalogCIO	
R7	R7	R7	ADC3_AIN3	ADC3_AIN3		I				3.3V	VDDA_CIO		AnalogCIO	
V8	V8	V8	ADC3_AIN4	ADC3_AIN4		I				3.3V	VDDA_CIO		AnalogCIO	
U9	U9	U9	ADC3_AIN5	ADC3_AIN5		I				3.3V	VDDA_CIO		AnalogCIO	
U6	U6	U6	ADC4_AIN0	ADC4_AIN0		I				3.3V	VDDA_CIO		AnalogCIO	
V5	V5	V5	ADC4_AIN1	ADC4_AIN1		I				3.3V	VDDA_CIO		AnalogCIO	
V4	V4	V4	ADC4_AIN2	ADC4_AIN2		I				3.3V	VDDA_CIO		AnalogCIO	
U5	U5	U5	ADC4_AIN3	ADC4_AIN3		I				3.3V	VDDA_CIO		AnalogCIO	
V3	V3	V3	ADC4_AIN4	ADC4_AIN4		I				3.3V	VDDA_CIO		AnalogCIO	
U4	U4	U4	ADC4_AIN5	ADC4_AIN5		I				3.3V	VDDA_CIO		AnalogCIO	
U16	U16	U16	ADC_CAL0	ADC_CAL0		I				3.3V	VDDA_CIO		AnalogCIO	
T15	T15	T15	ADC_CAL1	ADC_CAL1		I				3.3V	VDDA_CIO		AnalogCIO	
	U17	U17	ADC_CAL2	ADC_CAL2		A				3.3V	VDDA_CIO		AnalogCIO	
	N17	N17	ADC_CAL3	ADC_CAL3		A				3.3V	VDDA_CIO		AnalogCIO	
	T18	T18	ADC_R0_AIN0	ADC_R0_AIN0		I				3.3V	VDDA_CIO		AnalogCIO	
	T16	T16	ADC_R0_AIN1	ADC_R0_AIN1		I				3.3V	VDDA_CIO		AnalogCIO	

表 5-1. 引脚属性 (ZCZ_C、ZCZ_S、ZCZ_F 封装) (续)

ZCZ_C 焊球 编号 [1]	ZCZ_S 焊球 编号 [1]	ZCZ_F 焊球 编号 [1]	焊球名称 [2]/ IOMUX 寄存器 [14]/ 地址 [15]/ 默认值 [16]	信号名称 [3]	多路复用 模式 [4]	类型 [5]	复位 期间的 焊球 状态 RX/TX/拉动 [6]	复位 之后的 焊球 状态 RX/TX/拉动 [7]	复位 之后的 多路复用 模式 [8]	IO 电压 [9]	电源 [10]	HYS [11]	缓冲器 类型 [12]	拉动 类型 [13]
	U18	U18	ADC_R0_AIN2	ADC_R0_AIN2		I				3.3V	VDDA_CIO		AnalogCIO	
	T17	T17	ADC_R0_AIN3	ADC_R0_AIN3		I				3.3V	VDDA_CIO		AnalogCIO	
	R16	R16	ADC_R1_AIN0	ADC_R1_AIN0		I				3.3V	VDDA_CIO		AnalogCIO	
	R18	R18	ADC_R1_AIN1	ADC_R1_AIN1		I				3.3V	VDDA_CIO		AnalogCIO	
	P18	P18	ADC_R1_AIN2	ADC_R1_AIN2		I				3.3V	VDDA_CIO		AnalogCIO	
	P17	P17	ADC_R1_AIN3	ADC_R1_AIN3		I				3.3V	VDDA_CIO		AnalogCIO	
V14	V14	V14	ADC_VREFHI_G0	ADC_VREFHI_G0		A				3.3V	VDDA_CIO		AnalogCIO	
V10	V10	V10	ADC_VREFHI_G1	ADC_VREFHI_G1		A				3.3V	VDDA_CIO		AnalogCIO	
V6	V6	V6	ADC_VREFHI_G2	ADC_VREFHI_G2		A				3.3V	VDDA_CIO		AnalogCIO	
	V17	V17	ADC_VREFHI_G3	ADC_VREFHI_G3		A				3.3V	VDDA_CIO		AnalogCIO	
V13	V13	V13	ADC_VREFLO_G0	ADC_VREFLO_G0		A				3.3V	VDDA_CIO		AnalogCIO	
V11	V11	V11	ADC_VREFLO_G1	ADC_VREFLO_G1		A				3.3V	VDDA_CIO		AnalogCIO	
V7	V7	V7	ADC_VREFLO_G2	ADC_VREFLO_G2		A				3.3V	VDDA_CIO		AnalogCIO	
	V16	V16	ADC_VREFLO_G3	ADC_VREFLO_G3		A				3.3V	VDDA_CIO		AnalogCIO	
M2	M2	M2	CLKOUT0	CLKOUT0	0	O	关闭/关闭/关闭	关闭/SS/关闭	0	3.3V	VDDSHV0	是	LVCNOS	PU/PD
			CLKOUT0_CFG_REG 0x5310 0228 0x0000 0570	GPIO138	7	IO								
T5	T5	T5	DAC_OUT	DAC_OUT		O				3.3V	VDDA_CIO		AnalogCIO	
T13	T13	T13	DAC_VREF0	DAC_VREF0		A				3.3V	VDDA_CIO		AnalogCIO	
T6	T6	T6	DAC_VREF1	DAC_VREF1		A				3.3V	VDDA_CIO		AnalogCIO	
B2	B2	B2	EPWM0_A	EPWM0_A	0	O	关闭/关闭/关闭	关闭/关闭/关闭	7	3.3V	VDDSHV0	是	LVCNOS	PU/PD
			EPWM0_A_CFG_REG 0x5310 00AC 0x0000 05F7	GPIO43	7	IO								
				EPWM0_A	10	O								
B1	B1	B1	EPWM0_B	EPWM0_B	0	O	关闭/关闭/关闭	关闭/关闭/关闭	7	3.3V	VDDSHV0	是	LVCNOS	PU/PD
			EPWM0_B_CFG_REG 0x5310 00B0 0x0000 05F7	GPIO44	7	IO								
				EPWM0_B	10	O								
D3	D3	D3	EPWM1_A	EPWM1_A	0	O	关闭/关闭/关闭	关闭/关闭/关闭	7	3.3V	VDDSHV0	是	LVCNOS	PU/PD
			EPWM1_A_CFG_REG 0x5310 00B4 0x0000 05F7	GPIO45	7	IO								
				EPWM1_A	10	O								
D2	D2	D2	EPWM1_B	EPWM1_B	0	O	关闭/关闭/关闭	关闭/关闭/关闭	7	3.3V	VDDSHV0	是	LVCNOS	PU/PD
			EPWM1_B_CFG_REG 0x5310 00B8 0x0000 05F7	GPIO46	7	IO								
				EPWM4_B	10	O								
C2	C2	C2	EPWM2_A	EPWM2_A	0	O	关闭/关闭/关闭	关闭/关闭/关闭	7	3.3V	VDDSHV0	是	LVCNOS	PU/PD
			EPWM2_A_CFG_REG 0x5310 00BC 0x0000 05F7	GPIO47	7	IO								
				EPWM2_A	10	O								

表 5-1. 引脚属性 (ZCZ_C、ZCZ_S、ZCZ_F 封装) (续)

ZCZ_C 焊球 编号 [1]	ZCZ_S 焊球 编号 [1]	ZCZ_F 焊球 编号 [1]	焊球名称 [2]/ IOMUX 寄存器 [14]/ 地址 [15]/ 默认值 [16]	信号名称 [3]	多路复用 模式 [4]	类型 [5]	复位 期间的 焊球 状态 RX/TX/拉动 [6]	复位 之后的 焊球 状态 RX/TX/拉动 [7]	复位 之后的 多路复用 模式 [8]	IO 电压 [9]	电源 [10]	HYS [11]	缓冲器 类型 [12]	拉动 类型 [13]
C1	C1	C1	EPWM2_B EPWM2_B_CFG_REG 0x5310 00C0 0x0000 05F7	EPWM2_B	0	O	关闭/关闭/关闭	关闭/关闭/关闭	7	3.3V	VDDSHV0	是	LVCMOS	PU/PD
				GPIO48	7	IO								
				EPWM2_B	10	O								
E2	E2	E2	EPWM3_A EPWM3_A_CFG_REG 0x5310 00C4 0x0000 05F7	EPWM3_A	0	O	关闭/关闭/关闭	关闭/关闭/关闭	7	3.3V	VDDSHV0	是	LVCMOS	PU/PD
				GPIO49	7	IO								
				EPWM3_A	10	O								
E3	E3	E3	EPWM3_B EPWM3_B_CFG_REG 0x5310 00C8 0x0000 05F7	EPWM3_B	0	O	关闭/关闭/关闭	关闭/关闭/关闭	7	3.3V	VDDSHV0	是	LVCMOS	PU/PD
				GPIO50	7	IO								
				EPWM6_A	10	O								
D1	D1	D1	EPWM4_A EPWM4_A_CFG_REG 0x5310 00CC 0x0000 05F7	EPWM4_A	0	O	关闭/关闭/关闭	关闭/关闭/关闭	7	3.3V	VDDSHV0	是	LVCMOS	PU/PD
				GPIO51	7	IO								
				EPWM4_A	10	O								
E4	E4	E4	EPWM4_B EPWM4_B_CFG_REG 0x5310 00D0 0x0000 05F7	EPWM4_B	0	O	关闭/关闭/关闭	关闭/关闭/关闭	7	3.3V	VDDSHV0	是	LVCMOS	PU/PD
				FSITX1_CLK	6	O								
				GPIO52	7	IO								
				EPWM1_B	10	O								
F2	F2	F2	EPWM5_A EPWM5_A_CFG_REG 0x5310 00D4 0x0000 05F7	EPWM5_A	0	O	关闭/关闭/关闭	关闭/关闭/关闭	7	3.3V	VDDSHV0	是	LVCMOS	PU/PD
				SPI5_CS0	3	IO								
				FSITX1_DATA0	6	O								
				GPIO53	7	IO								
				EPWM5_A	10	O								
G2	G2	G2	EPWM5_B EPWM5_B_CFG_REG 0x5310 00D8 0x0000 05F7	EPWM5_B	0	O	关闭/关闭/关闭	关闭/关闭/关闭	7	3.3V	VDDSHV0	是	LVCMOS	PU/PD
				SPI5_CLK	3	IO								
				FSITX1_DATA1	6	O								
				GPIO54	7	IO								
				EPWM8_B	10	O								
E1	E1	E1	EPWM6_A EPWM6_A_CFG_REG 0x5310 00DC 0x0000 05F7	EPWM6_A	0	O	关闭/关闭/关闭	关闭/关闭/关闭	7	3.3V	VDDSHV0	是	LVCMOS	PU/PD
				SPI5_D0	3	IO								
				FSIRX1_CLK	6	I								
				GPIO55	7	IO								
				EPWM3_B	10	O								

表 5-1. 引脚属性 (ZCZ_C、ZCZ_S、ZCZ_F 封装) (续)

ZCZ_C 焊球 编号 [1]	ZCZ_S 焊球 编号 [1]	ZCZ_F 焊球 编号 [1]	焊球名称 [2]/ IOMUX 寄存器 [14]/ 地址 [15]/ 默认值 [16]	信号名称 [3]	多路复用 模式 [4]	类型 [5]	复位 期间的 焊球 状态 RX/TX/拉动 [6]	复位 之后的 焊球 状态 RX/TX/拉动 [7]	复位 之后的 多路复用 模式 [8]	IO 电压 [9]	电源 [10]	HYS [11]	缓冲器 类型 [12]	拉动 类型 [13]
F3	F3	F3	EPWM6_B EPWM6_B_CFG_REG 0x5310 00E0 0x0000 05F7	EPWM6_B	0	O	关闭/关闭/关闭	关闭/关闭/关闭	7	3.3V	VDDSHV0	是	LVCMOS	PU/PD
				SPI5_D1	3	IO								
				FSIRX1_DATA0	6	I								
				GPIO56	7	IO								
				EPWM6_B	10	O								
F4	F4	F4	EPWM7_A EPWM7_A_CFG_REG 0x5310 00E4 0x0000 05F7	EPWM7_A	0	O	关闭/关闭/关闭	关闭/关闭/关闭	7	3.3V	VDDSHV0	是	LVCMOS	PU/PD
				SPI6_CS0	3	IO								
				FSIRX1_DATA1	6	I								
				GPIO57	7	IO								
				EPWM7_A	10	O								
F1	F1	F1	EPWM7_B EPWM7_B_CFG_REG 0x5310 00E8 0x0000 05F7	EPWM7_B	0	O	关闭/关闭/关闭	关闭/关闭/关闭	7	3.3V	VDDSHV0	是	LVCMOS	PU/PD
				SPI6_CLK	3	IO								
				GPIO58	7	IO								
				EPWM5_B	10	O								
G3	G3	G3	EPWM8_A EPWM8_A_CFG_REG 0x5310 00EC 0x0000 05F7	EPWM8_A	0	O	关闭/关闭/关闭	关闭/关闭/关闭	7	3.3V	VDDSHV0	是	LVCMOS	PU/PD
				UART4_TXD	1	O								
				I2C3_SDA	2	IO								
				SPI6_D0	3	IO								
				FSITX2_CLK	6	O								
				GPIO59	7	IO								
				EPWM8_A	10	O								
H2	H2	H2	EPWM8_B EPWM8_B_CFG_REG 0x5310 00F0 0x0000 05F7	EPWM8_B	0	O	关闭/关闭/关闭	关闭/关闭/关闭	7	3.3V	VDDSHV0	是	LVCMOS	PU/PD
				UART4_RXD	1	I								
				I2C3_SCL	2	IO								
				SPI6_D1	3	IO								
				FSITX2_DATA0	6	O								
				GPIO60	7	IO								
				EPWM9_B	10	O								
G1	G1	G1	EPWM9_A EPWM9_A_CFG_REG 0x5310 00F4 0x0000 05F7	EPWM9_A	0	O	关闭/关闭/关闭	关闭/关闭/关闭	7	3.3V	VDDSHV0	是	LVCMOS	PU/PD
				SPI7_CS0	3	IO								
				MCAN4_RX	4	I								
				FSITX2_DATA1	6	O								
				GPIO61	7	IO								
				EPWM9_A	10	O								

表 5-1. 引脚属性 (ZCZ_C、ZCZ_S、ZCZ_F 封装) (续)

ZCZ_C 焊球 编号 [1]	ZCZ_S 焊球 编号 [1]	ZCZ_F 焊球 编号 [1]	焊球名称 [2]/ IOMUX 寄存器 [14]/ 地址 [15]/ 默认值 [16]	信号名称 [3]	多路复用 模式 [4]	类型 [5]	复位 期间的 焊球 状态 RX/TX/拉动 [6]	复位 之后的 焊球 状态 RX/TX/拉动 [7]	复位 之后的 多路复用 模式 [8]	IO 电压 [9]	电源 [10]	HYS [11]	缓冲器 类型 [12]	拉动 类型 [13]
J2	J2	J2	EPWM9_B EPWM9_B_CFG_REG 0x5310 00F8 0x0000 05F7	EPWM9_B	0	O	关闭/关闭/关闭	关闭/关闭/关闭	7	3.3V	VDDSHV0	是	LVCMOS	PU/PD
				UART1_RTSn	1	O								
				SPI7_CLK	3	IO								
				MCAN4_TX	4	O								
				FSIRX2_CLK	6	I								
				GPIO62	7	IO								
				EPWM11_B	10	O								
G4	G4	G4	EPWM10_A EPWM10_A_CFG_REG 0x5310 00FC 0x0000 05F7	EPWM10_A	0	O	关闭/关闭/关闭	关闭/关闭/关闭	7	3.3V	VDDSHV0	是	LVCMOS	PU/PD
				UART1_CTSn	1	I								
				SPI7_D0	3	IO								
				MCAN5_RX	4	I								
				FSIRX2_DATA0	6	I								
				GPIO63	7	IO								
				EPWM7_B	10	O								
J3	J3		EPWM10_B EPWM10_B_CFG_REG 0x5310 0100 0x0000 05F7	EPWM10_B	0	O	关闭/关闭/关闭	关闭/关闭/关闭	7	3.3V	VDDSHV0	是	LVCMOS	PU/PD
				UART2_RTSn	1	O								
				SPI7_D1	3	IO								
				MCAN5_TX	4	O								
				OSPI0_RESET_OUT0	5	O								
				FSIRX2_DATA1	6	I								
				GPIO64	7	IO								
				EPWM10_B	10	O								
H1	H1		EPWM11_A EPWM11_A_CFG_REG 0x5310 0104 0x0000 05F7	EPWM11_A	0	O	关闭/关闭/关闭	关闭/关闭/关闭	7	3.3V	VDDSHV0	是	LVCMOS	PU/PD
				UART2_CTSn	1	I								
				OSPI0_ECC_FAIL	2	I								
				MCAN6_RX	4	I								
				OSPI0_RESET_OUT1	5	O								
				OSPI0_CSn0	6	O								
				GPIO65	7	IO								
				EPWM11_A	10	O								

表 5-1. 引脚属性 (ZCZ_C、ZCZ_S、ZCZ_F 封装) (续)

ZCZ_C 焊球 编号 [1]	ZCZ_S 焊球 编号 [1]	ZCZ_F 焊球 编号 [1]	焊球名称 [2]/ IOMUX 寄存器 [14]/ 地址 [15]/ 默认值 [16]	信号名称 [3]	多路复用 模式 [4]	类型 [5]	复位 期间的 焊球 状态 RX/TX/拉动 [6]	复位 之后的 焊球 状态 RX/TX/拉动 [7]	复位 之后的 多路复用 模式 [8]	IO 电压 [9]	电源 [10]	HYS [11]	缓冲器 类型 [12]	拉动 类型 [13]
J1	J1		EPWM11_B EPWM11_B_CFG_REG 0x5310 0108 0x0000 05F7	EPWM11_B	0	O	关闭/关闭/关闭	关闭/关闭/关闭	7	3.3V	VDDSHV0	是	LVCMOS	PU/PD
				UART3_RTSn	1	O								
				OSPI0_RESET_OUT0	2	O								
				MCAN6_TX	4	O								
				OSPI0_D1	6	IO								
				GPIO66	7	IO								
				EPWM12_B	10	O								
K2	K2		EPWM12_A EPWM12_A_CFG_REG 0x5310 010C 0x0000 05F7	EPWM12_A	0	O	关闭/关闭/关闭	关闭/关闭/关闭	7	3.3V	VDDSHV0	是	LVCMOS	PU/PD
				UART3_CTSn	1	I								
				SPI4_CS1	2	IO								
				MCAN7_RX	4	I								
				OSPI0_D5	6	IO								
				GPIO67	7	IO								
				EPWM12_A	10	O								
J4	J4		EPWM12_B EPWM12_B_CFG_REG 0x5310 0110 0x0000 05F7	EPWM12_B	0	O	关闭/关闭/关闭	关闭/关闭/关闭	7	3.3V	VDDSHV0	是	LVCMOS	PU/PD
				UART1_DCDn	1	I								
				SPI7_CS0	2	IO								
				MCAN7_TX	4	O								
				OSPI0_D7	6	IO								
				GPIO68	7	IO								
				EPWM10_A	10	O								
K4	K4		EPWM13_A EPWM13_A_CFG_REG 0x5310 0114 0x0000 05F7	EPWM13_A	0	O	关闭/关闭/关闭	关闭/关闭/关闭	7	3.3V	VDDSHV0	是	LVCMOS	PU/PD
				UART1_RIn	1	I								
				SPI7_CLK	2	IO								
				OSPI0_D3	6	IO								
				GPIO69	7	IO								
				EPWM13_A	10	O								
K3	K3		EPWM13_B EPWM13_B_CFG_REG 0x5310 0118 0x0000 05F7	EPWM13_B	0	O	关闭/关闭/关闭	关闭/关闭/关闭	7	3.3V	VDDSHV0	是	LVCMOS	PU/PD
				UART1_DTRn	1	O								
				SPI7_D0	2	IO								
				OSPI0_ECC_FAIL	6	I								
				GPIO70	7	IO								
				EPWM13_B	10	O								

表 5-1. 引脚属性 (ZCZ_C、ZCZ_S、ZCZ_F 封装) (续)

ZCZ_C 焊球 编号 [1]	ZCZ_S 焊球 编号 [1]	ZCZ_F 焊球 编号 [1]	焊球名称 [2]/ IOMUX 寄存器 [14]/ 地址 [15]/ 默认值 [16]	信号名称 [3]	多路复用 模式 [4]	类型 [5]	复位 期间的 焊球 状态 RX/TX/拉动 [6]	复位 之后的 焊球 状态 RX/TX/拉动 [7]	复位 之后的 多路复用 模式 [8]	IO 电压 [9]	电源 [10]	HYS [11]	缓冲器 类型 [12]	拉动 类型 [13]
V17			EPWM14_A EPWM14_A_CFG_REG 0x5310 011C 0x0000 05F7	EPWM14_A	0	O	关闭/关闭/关闭	关闭/关闭/关闭	7	3.3V	VDDSHV0	是	LVCMOS	PU/PD
				UART1_DSRn	1	I								
				SPI7_D1	2	IO								
				MCAN6_RX	3	I								
				GPIO71	7	IO								
				EPWM14_A	10	O								
T16			EPWM14_B EPWM14_B_CFG_REG 0x5310 0120 0x0000 05F7	EPWM14_B	0	O	关闭/关闭/关闭	关闭/关闭/关闭	7	3.3V	VDDSHV0	是	LVCMOS	PU/PD
				MII1_RX_ER	2	I								
				MCAN6_TX	3	O								
				GPIO72	7	IO								
				EPWM14_B	10	O								
P15			EPWM15_A EPWM15_A_CFG_REG 0x5310 0124 0x0000 05F7	EPWM15_A	0	O	关闭/关闭/关闭	关闭/关闭/关闭	7	3.3V	VDDSHV0	是	LVCMOS	PU/PD
				UART5_TXD	1	O								
				MII1_COL	2	I								
				MCAN7_RX	3	I								
				GPIO73	7	IO								
				ADC_EXTCH_XBAROUT4	9	O								
				EPWM15_A	10	O								
R16			EPWM15_B EPWM15_B_CFG_REG 0x5310 0128 0x0000 05F7	EPWM15_B	0	O	关闭/关闭/关闭	关闭/关闭/关闭	7	3.3V	VDDSHV0	是	LVCMOS	PU/PD
				UART5_RXD	1	I								
				MII1_CRIS	2	I								
				MCAN7_TX	3	O								
				GPIO74	7	IO								
				ADC_EXTCH_XBAROUT5	9	O								
				EPWM15_B	10	O								
B14	B14	B14	EQEP0_A EQEP0_A_CFG_REG 0x5310 0208 0x0000 05F7	UART4_RTSn	0	O	关闭/关闭/关闭	关闭/关闭/关闭	7	3.3V	VDDSHV0	是	LVCMOS	PU/PD
				SPI4_CLK	3	IO								
				GPIO130	7	IO								
				EQEP0_A	8	I								
				SDFM1_CLK0	9	I								
A14	A14	A14	EQEP0_B EQEP0_B_CFG_REG 0x5310 020C 0x0000 05F7	UART4_CTSn	0	I	关闭/关闭/关闭	关闭/关闭/关闭	7	3.3V	VDDSHV0	是	LVCMOS	PU/PD
				SPI4_CS0	3	IO								
				GPIO131	7	IO								
				EQEP0_B	8	I								
				SDFM1_D0	9	I								

表 5-1. 引脚属性 (ZCZ_C、ZCZ_S、ZCZ_F 封装) (续)

ZCZ_C 焊球 编号 [1]	ZCZ_S 焊球 编号 [1]	ZCZ_F 焊球 编号 [1]	焊球名称 [2]/ IOMUX 寄存器 [14]/ 地址 [15]/ 默认值 [16]	信号名称 [3]	多路复用 模式 [4]	类型 [5]	复位 期间的 焊球 状态 RX/TX/拉动 [6]	复位 之后的 焊球 状态 RX/TX/拉动 [7]	复位 之后的 多路复用 模式 [8]	IO 电压 [9]	电源 [10]	HYS [11]	缓冲器 类型 [12]	拉动 类型 [13]
D11	D11	D11	EQEP0_INDEX EQEP0_INDEX_CFG_REG 0x5310 0214 0x0000 05F7	UART4_RXD	0	I	关闭/关闭/关闭	关闭/关闭/关闭	7	3.3V	VDDSHV0	是	LVCMOS	PU/PD
				LIN4_RXD	1	IO								
				SPI4_D1	3	IO								
				GPIO133	7	IO								
				EQEP0_INDEX	8	IO								
				SDFM1_D1	9	I								
				ADC_EXTCH_XBAROUT3	10	O								
C12	C12	C12	EQEP0_STROBE EQEP0_STROBE_CFG_REG 0x5310 0210 0x0000 05F7	UART4_TXD	0	O	关闭/关闭/关闭	关闭/关闭/关闭	7	3.3V	VDDSHV0	是	LVCMOS	PU/PD
				LIN4_TXD	1	IO								
				SPI4_D0	3	IO								
				GPIO132	7	IO								
				EQEP0_STROBE	8	IO								
				SDFM1_CLK1	9	I								
				ADC_EXTCH_XBAROUT2	10	O								
P2	P2	P2	EXT_REFCLK0 EXT_REFCLK0_CFG_REG 0x5310 01E4 0x0000 05F7	EXT_REFCLK0	0	I	关闭/关闭/关闭	关闭/关闭/关闭	7	3.3V	VDDSHV0	是	LVCMOS	PU/PD
				XBAROUT15	5	O								
				GPIO121	7	IO								
				EQEP1_INDEX	9	IO								
		P1	GPIO0 OSPI0_CSn0_CFG_REG 0x5310 0000 0x0000 05F7	OSPI0_D0	6	IO	开启/关闭/关闭	开启/关闭/关闭	7	3.3V	VDDSHV0	是	LVCMOS	PU/PD
				GPIO0	7	IO								
		R3	GPIO1 OSPI0_CSn1_CFG_REG 0x5310 0004 0x0000 05F7	MCAN5_TX	2	O	开启/关闭/关闭	开启/关闭/关闭	7	3.3V	VDDSHV0	是	LVCMOS	PU/PD
				SPI4_CS1	4	IO								
				XBAROUT0	5	O								
				UART2_RTSn	6	O								
				GPIO1	7	IO								
				FSIRX2_DATA1	8	I								
				EPWM10_B	10	O								
		N2	GPIO2 OSPI0_CLK_CFG_REG 0x5310 0008 0x0000 05F7	MCAN7_RX	2	I	开启/关闭/关闭	开启/关闭/关闭	7	3.3V	VDDSHV0	是	LVCMOS	PU/PD
				SPI7_CS0	4	IO								
				UART3_CTSn	6	I								
				GPIO2	7	IO								
				EPWM12_A	10	O								

表 5-1. 引脚属性 (ZCZ_C、ZCZ_S、ZCZ_F 封装) (续)

ZCZ_C 焊球 编号 [1]	ZCZ_S 焊球 编号 [1]	ZCZ_F 焊球 编号 [1]	焊球名称 [2]/ IOMUX 寄存器 [14]/ 地址 [15]/ 默认值 [16]	信号名称 [3]	多路复用 模式 [4]	类型 [5]	复位 期间的 焊球 状态 RX/TX/拉动 [6]	复位 之后的 焊球 状态 RX/TX/拉动 [7]	复位 之后的 多路复用 模式 [8]	IO 电压 [9]	电源 [10]	HYS [11]	缓冲器 类型 [12]	拉动 类型 [13]
		N1	GPIO3 OSPI0_D0_CFG_REG 0x5310 000C 0x0000 05D7	MCAN7_TX	2	O	开启/关闭/关闭	开启/关闭/关闭	7	3.3V	VDDSHV0	是	LVC MOS	PU/PD
				SPI7_CLK	4	IO								
				UART1_DCDn	6	I								
				GPIO3	7	IO								
				EPWM12_B	10	O								
				SOP0		自举								
		N4	GPIO4 OSPI0_D1_CFG_REG 0x5310 0010 0x0000 05D7	SPI7_D0	4	IO	开启/关闭/关闭	开启/关闭/关闭	7	3.3V	VDDSHV0	是	LVC MOS	PU/PD
				UART1_Rln	6	I								
				GPIO4	7	IO								
				EPWM13_A	10	O								
				SOP1		自举								
		M4	GPIO5 OSPI0_D2_CFG_REG 0x5310 0014 0x0000 05F7	OSPI0_D6	6	IO	开启/关闭/关闭	开启/关闭/关闭	7	3.3V	VDDSHV0	是	LVC MOS	PU/PD
				GPIO5	7	IO								
		P3	GPIO6 OSPI0_D3_CFG_REG 0x5310 0018 0x0000 05F7	OSPI0_D4	6	IO	开启/关闭/关闭	开启/关闭/关闭	7	3.3V	VDDSHV0	是	LVC MOS	PU/PD
				GPIO6	7	IO								
		M1	GPIO7 MCAN0_RX_CFG_REG 0x5310 001C 0x0000 05F7	OSPI0_DQS	6	I	开启/关闭/关闭	开启/关闭/关闭	7	3.3V	VDDSHV0	是	LVC MOS	PU/PD
				GPIO7	7	IO								
		L1	GPIO8 MCAN0_TX_CFG_REG 0x5310 0020 0x0000 05F7	OSPI0_D2	6	IO	开启/关闭/关闭	开启/关闭/关闭	7	3.3V	VDDSHV0	是	LVC MOS	PU/PD
				GPIO8	7	IO								
		L2	GPIO9 MCAN1_RX_CFG_REG 0x5310 0024 0x0000 05F7	OSPI0_CLK	6	O	开启/关闭/关闭	开启/关闭/关闭	7	3.3V	VDDSHV0	是	LVC MOS	PU/PD
				GPIO9	7	IO								
		K1	GPIO10 MCAN1_TX_CFG_REG 0x5310 0028 0x0000 05F7	MCAN1_TX	0	O	开启/关闭/关闭	开启/关闭/关闭	7	3.3V	VDDSHV0	是	LVC MOS	PU/PD
				SPI4_D1	1	IO								
				SPI7_D1	4	IO								
				UART1_DTRn	6	O								
				GPIO10	7	IO								
				EPWM13_B	10	O								

表 5-1. 引脚属性 (ZCZ_C、ZCZ_S、ZCZ_F 封装) (续)

ZCZ_C 焊球 编号 [1]	ZCZ_S 焊球 编号 [1]	ZCZ_F 焊球 编号 [1]	焊球名称 [2]/ IOMUX 寄存器 [14]/ 地址 [15]/ 默认值 [16]	信号名称 [3]	多路复用 模式 [4]	类型 [5]	复位 期间的 焊球 状态 RX/TX/拉动 [6]	复位 之后的 焊球 状态 RX/TX/拉动 [7]	复位 之后的 多路复用 模式 [8]	IO 电压 [9]	电源 [10]	HYS [11]	缓冲器 类型 [12]	拉动 类型 [13]
		A9	GPIO19 LIN1_RXD_CFG_REG 0x5310 004C 0x0000 05F7	LIN1_RXD	0	IO	开启/关闭/关闭	开启/关闭/关闭	7	3.3V	VDDSHV0	是	LVC MOS	PU/PD
				UART1_RXD	1	I								
				SPI2_CS0	2	IO								
				XBAROUT5	5	O								
				GPIO19	7	IO								
		B9	GPIO20 LIN1_TXD_CFG_REG 0x5310 0050 0x0000 05F7	LIN1_TXD	0	IO	开启/关闭/关闭	开启/关闭/关闭	7	3.3V	VDDSHV0	是	LVC MOS	PU/PD
				UART1_TXD	1	O								
				SPI2_CLK	2	IO								
				XBAROUT6	5	O								
				GPIO20	7	IO								
	R17	R17	GPIO29 RGMII1_RXC_CFG_REG 0x5310 0074 0x0000 05F7	RGMII1_RXC	0	I	关闭/关闭/关闭	关闭/关闭/关闭	7	3.3V	VDDSHV0	是	LVC MOS	PU/PD
				RMII1_REF_CLK	1	IO								
				MII1_RXCLK	2	I								
				FSITX0_CLK	6	O								
				GPIO29	7	IO								
				EQEP2_A	8	I								
				EPWM14_A	10	O								
	N18	M4、N18	GPIO35 RGMII1_TXC_CFG_REG 0x5310 008C 0x0000 05F7	RGMII1_TXC	0	O	关闭/关闭/关闭	关闭/关闭/关闭	7	3.3V	VDDSHV0	是	LVC MOS	PU/PD
				MII1_TXCLK	2	I								
				FSITX1_CLK	6	O								
				GPIO35	7	IO								
				EQEP0_INDEX	8	IO								
				EPWM14_B	10	O								
	M18	K4、M18	GPIO36 RGMII1_TX_CTL_CFG_REG 0x5310 0090 0x0000 05F7	RGMII1_TX_CTL	0	O	关闭/关闭/关闭	关闭/关闭/关闭	7	3.3V	VDDSHV0	是	LVC MOS	PU/PD
				RMII1_TX_EN	1	O								
				MII1_TX_EN	2	O								
				FSITX1_DATA0	6	O								
				GPIO36	7	IO								
				EQEP0_STROBE	8	IO								
				EPWM15_B	10	O								

表 5-1. 引脚属性 (ZCZ_C、ZCZ_S、ZCZ_F 封装) (续)

ZCZ_C 焊球 编号 [1]	ZCZ_S 焊球 编号 [1]	ZCZ_F 焊球 编号 [1]	焊球名称 [2]/ IOMUX 寄存器 [14]/ 地址 [15]/ 默认值 [16]	信号名称 [3]	多路复用 模式 [4]	类型 [5]	复位 期间的 焊球 状态 RX/TX/拉动 [6]	复位 之后的 焊球 状态 RX/TX/拉动 [7]	复位 之后的 多路复用 模式 [8]	IO 电压 [9]	电源 [10]	HYS [11]	缓冲器 类型 [12]	拉动 类型 [13]	
	P16	P16	GPIO37 RGMII1_TD0_CFG_REG 0x5310 0094 0x0000 05F7	RGMII1_TD0	0	O	关闭/关闭/关闭	关闭/关闭/关闭	7	3.3V	VDDSHV0	是	LVC MOS	PU/PD	
				RMII1_TXD0	1	O									
				MII1_TXD0	2	O									
				FSITX1_DATA1	6	O									
				GPIO37	7	IO									
				EQEP1_A	8	I									
				EPWM15_A	9	O									
				EPWM15_B	10	O									
		J3	GPIO64 EPWM10_B_CFG_REG 0x5310 0100 0x0000 05F7	OSPI0_RESET_OUT0	5	O	开启/关闭/关闭	开启/关闭/关闭	7	3.3V	VDDSHV0	是	LVC MOS	PU/PD	
				GPIO64	7	IO									
		H1	GPIO65 EPWM11_A_CFG_REG 0x5310 0104 0x0000 05F7	OSPI0_CSn0	6	O	开启/关闭/关闭	开启/关闭/关闭	7	3.3V	VDDSHV0	是	LVC MOS	PU/PD	
				GPIO65	7	IO									
		J1	GPIO66 EPWM11_B_CFG_REG 0x5310 0108 0x0000 05F7	OSPI0_D1	6	IO	开启/关闭/关闭	开启/关闭/关闭	7	3.3V	VDDSHV0	是	LVC MOS	PU/PD	
				GPIO66	7	IO									
		K2	GPIO67 EPWM12_A_CFG_REG 0x5310 010C 0x0000 05F7	OSPI0_D5	6	IO	开启/关闭/关闭	开启/关闭/关闭	7	3.3V	VDDSHV0	是	LVC MOS	PU/PD	
				GPIO67	7	IO									
		J4	GPIO68 EPWM12_B_CFG_REG 0x5310 0110 0x0000 05F7	OSPI0_D7	6	IO	开启/关闭/关闭	开启/关闭/关闭	7	3.3V	VDDSHV0	是	LVC MOS	PU/PD	
				GPIO68	7	IO									
		K4	GPIO69 EPWM13_A_CFG_REG 0x5310 0114 0x0000 05F7	OSPI0_D3	6	IO	开启/关闭/关闭	开启/关闭/关闭	7	3.3V	VDDSHV0	是	LVC MOS	PU/PD	
				GPIO69	7	IO									
		K3	GPIO70 EPWM13_B_CFG_REG 0x5310 0118 0x0000 05F7	OSPI0_ECC_FAIL	6	I	开启/关闭/关闭	开启/关闭/关闭	7	3.3V	VDDSHV0	是	LVC MOS	PU/PD	
				GPIO70	7	IO									
		L3	GPIO75 UART1_RXD_CFG_REG 0x5310 012C 0x0000 05F7	UART1_RXD	0	I	开启/关闭/关闭	开启/关闭/关闭	7	3.3V	VDDSHV0	是	LVC MOS	PU/PD	
				LIN1_RXD	1	IO									
				EPWM16_A	5	O									
				GPIO75	7	IO									
				EPWM16_A	10	O									
				EPWM10_A	11	O									

表 5-1. 引脚属性 (ZCZ_C、ZCZ_S、ZCZ_F 封装) (续)

ZCZ_C 焊球 编号 [1]	ZCZ_S 焊球 编号 [1]	ZCZ_F 焊球 编号 [1]	焊球名称 [2]/ IOMUX 寄存器 [14]/ 地址 [15]/ 默认值 [16]	信号名称 [3]	多路复用 模式 [4]	类型 [5]	复位 期间的 焊球 状态 RX/TX/拉动 [6]	复位 之后的 焊球 状态 RX/TX/拉动 [7]	复位 之后的 多路复用 模式 [8]	IO 电压 [9]	电源 [10]	HYS [11]	缓冲器 类型 [12]	拉动 类型 [13]
		M3	GPIO76 UART1_TXD_CFG_REG 0x5310 0130 0x0000 05F7	UART1_TXD	0	O	开启/关闭/关闭	开启/关闭/关闭	7	3.3V	VDDSHV0	是	LVC MOS	PU/PD
				LIN1_TXD	1	IO								
				EPWM16_B	5	O								
				GPIO76	7	IO								
				EPWM16_B	10	O								
A13	A13	A13	I2C0_SCL I2C0_SCL_CFG_REG 0x5310 021C 0x0000 05F7	I2C0_SCL	0	IOD	关闭/关闭/关闭	关闭/关闭/关闭	7	3.3V	VDDSHV0	是	I2C OD	
				GPIO135	7	IOD								
				EQEP2_B	8	ID								
				SDFM1_CLK3	9	ID								
B13	B13	B13	I2C0_SDA I2C0_SDA_CFG_REG 0x5310 0218 0x0000 05F7	I2C0_SDA	0	IOD	关闭/关闭/关闭	关闭/关闭/关闭	7	3.3V	VDDSHV0	是	I2C OD	
				GPIO134	7	IOD								
				EQEP2_A	8	ID								
				SDFM1_CLK2	9	ID								
D7	D7	D7	I2C1_SCL I2C1_SCL_CFG_REG 0x5310 005C 0x0000 05F7	I2C1_SCL	0	IO	关闭/关闭/关闭	关闭/关闭/关闭	7	3.3V	VDDSHV0	是	LVC MOS	PU/PD
				SPI3_CS0	2	IO								
				XBAROUT7	5	O								
				GPIO23	7	IO								
C8	C8	C8	I2C1_SDA I2C1_SDA_CFG_REG 0x5310 0060 0x0000 05F7	I2C1_SDA	0	IO	关闭/关闭/关闭	关闭/关闭/关闭	7	3.3V	VDDSHV0	是	LVC MOS	PU/PD
				SPI3_CLK	2	IO								
				XBAROUT8	5	O								
				GPIO24	7	IO								
A9	A9		LIN1_RXD LIN1_RXD_CFG_REG 0x5310 004C 0x0000 05F7	LIN1_RXD	0	IO	关闭/关闭/关闭	关闭/关闭/关闭	7	3.3V	VDDSHV0	是	LVC MOS	PU/PD
				UART1_RXD	1	I								
				SPI2_CS0	2	IO								
				OSPI0_ECC_FAIL	3	I								
				XBAROUT5	5	O								
				GPIO19	7	IO								
				OSPI0_RESET_OUT1	8	O								
B9	B9		LIN1_TXD LIN1_TXD_CFG_REG 0x5310 0050 0x0000 05F7	LIN1_TXD	0	IO	关闭/关闭/关闭	关闭/关闭/关闭	7	3.3V	VDDSHV0	是	LVC MOS	PU/PD
				UART1_TXD	1	O								
				SPI2_CLK	2	IO								
				OSPI0_RESET_OUT0	3	O								
				XBAROUT6	5	O								
				GPIO20	7	IO								

表 5-1. 引脚属性 (ZCZ_C、ZCZ_S、ZCZ_F 封装) (续)

ZCZ_C 焊球 编号 [1]	ZCZ_S 焊球 编号 [1]	ZCZ_F 焊球 编号 [1]	焊球名称 [2]/ IOMUX 寄存器 [14]/ 地址 [15]/ 默认值 [16]	信号名称 [3]	多路复用 模式 [4]	类型 [5]	复位 期间的 焊球 状态 RX/TX/拉动 [6]	复位 之后的 焊球 状态 RX/TX/拉动 [7]	复位 之后的 多路复用 模式 [8]	IO 电压 [9]	电源 [10]	HYS [11]	缓冲器 类型 [12]	拉动 类型 [13]
B8	B8	B8	LIN2_RXD LIN2_RXD_CFG_REG 0x5310 0054 0x0000 05F7	LIN2_RXD	0	IO	关闭/关闭/关闭	关闭/关闭/关闭	7	3.3V	VDDSHV0	是	LVCMOS	PU/PD
				UART2_RXD	1	I								
				SPI2_D0	2	IO								
				GPIO21	7	IO								
A8	A8	A8	LIN2_TXD LIN2_TXD_CFG_REG 0x5310 0058 0x0000 05F7	LIN2_TXD	0	IO	关闭/关闭/关闭	关闭/关闭/关闭	7	3.3V	VDDSHV0	是	LVCMOS	PU/PD
				UART2_TXD	1	O								
				SPI2_D1	2	IO								
				GPIO22	7	IO								
M1	M1		MCAN0_RX MCAN0_RX_CFG_REG 0x5310 001C 0x0000 05F7	MCAN0_RX	0	I	关闭/关闭/关闭	关闭/关闭/关闭	7	3.3V	VDDSHV0	是	LVCMOS	PU/PD
				SPI4_CS0	1	IO								
				OSPI0_D4	2	IO								
				OSPI0_DQS	6	I								
				GPIO7	7	IO								
L1	L1		MCAN0_TX MCAN0_TX_CFG_REG 0x5310 0020 0x0000 05F7	MCAN0_TX	0	O	关闭/关闭/关闭	关闭/关闭/关闭	7	3.3V	VDDSHV0	是	LVCMOS	PU/PD
				SPI4_CLK	1	IO								
				OSPI0_D5	2	IO								
				OSPI0_D2	6	IO								
				GPIO8	7	IO								
L2	L2		MCAN1_RX MCAN1_RX_CFG_REG 0x5310 0024 0x0000 05F7	MCAN1_RX	0	I	关闭/关闭/关闭	关闭/关闭/关闭	7	3.3V	VDDSHV0	是	LVCMOS	PU/PD
				SPI4_D0	1	IO								
				OSPI0_D6	2	IO								
				OSPI0_CLK	6	O								
				GPIO9	7	IO								
K1	K1		MCAN1_TX MCAN1_TX_CFG_REG 0x5310 0028 0x0000 05F7	MCAN1_TX	0	O	关闭/关闭/关闭	关闭/关闭/关闭	7	3.3V	VDDSHV0	是	LVCMOS	PU/PD
				SPI4_D1	1	IO								
				OSPI0_D7	2	IO								
				SPI7_D1	4	IO								
				UART1_DTRn	6	O								
				GPIO10	7	IO								
				EPWM13_B	10	O								
A12	A12	A12	MCAN2_RX MCAN2_RX_CFG_REG 0x5310 0224 0x0000 05F7	MCAN2_RX	0	I	关闭/关闭/关闭	关闭/关闭/关闭	7	3.3V	VDDSHV0	是	LVCMOS	PU/PD
				UART2_RTSn	1	O								
				GPIO137	7	IO								
				EQEP2_INDEX	8	IO								
				SDFM1_D3	9	I								

表 5-1. 引脚属性 (ZCZ_C、ZCZ_S、ZCZ_F 封装) (续)

ZCZ_C 焊球 编号 [1]	ZCZ_S 焊球 编号 [1]	ZCZ_F 焊球 编号 [1]	焊球名称 [2]/ IOMUX 寄存器 [14]/ 地址 [15]/ 默认值 [16]	信号名称 [3]	多路复用 模式 [4]	类型 [5]	复位 期间的 焊球 状态 RX/TX/拉动 [6]	复位 之后的 焊球 状态 RX/TX/拉动 [7]	复位 之后的 多路复用 模式 [8]	IO 电压 [9]	电源 [10]	HYS [11]	缓冲器 类型 [12]	拉动 类型 [13]
B12	B12	B12	MCAN2_TX MCAN2_TX_CFG_REG 0x5310 0220 0x0000 05F7	MCAN2_TX	0	O	关闭/关闭/关闭	关闭/关闭/关闭	7	3.3V	VDDSHV0	是	LVCMOS	PU/PD
				UART1_RTSn	1	O								
				GPIO136	7	IO								
				EQEP2_STROBE	8	IO								
				SDFM1_D2	9	I								
M17	M17	M17	MDIO0_MDC MDIO0_MDC_CFG_REG 0x5310 00A8 0x0000 05F7	MDIO0_MDC	0	O	关闭/关闭/关闭	关闭/关闭/关闭	7	3.3V	VDDSHV0	是	LVCMOS	PU/PD
				GPIO42	7	IO								
N16	N16	N16	MDIO0_MDIO MDIO0_MDIO_CFG_REG 0x5310 00A4 0x0000 05F7	MDIO0_MDIO	0	IO	关闭/关闭/关闭	关闭/关闭/关闭	7	3.3V	VDDSHV0	是	LVCMOS	PU/PD
				GPIO41	7	IO								
A5	A5	A5	MMC0_CD MMC0_CD_CFG_REG 0x5310 0150 0x0000 05F7	MMC0_CD	0	I	关闭/关闭/关闭	关闭/关闭/关闭	7	3.3V	VDDSHV0	是	LVCMOS	PU/PD
				UART0_CTSn	1	I								
				I2C2_SDA	2	IO								
				MCAN5_TX	3	O								
				EPWM20_B	5	O								
				GPIO84	7	IO								
				SDFM1_D3	8	I								
EPWM20_B	10	O												
B6	B6	B6	MMC0_CLK MMC0_CLK_CFG_REG 0x5310 0134 0x0000 05F7	MMC0_CLK	0	IO	关闭/关闭/关闭	关闭/关闭/关闭	7	3.3V	VDDSHV0	是	LVCMOS	PU/PD
				UART0_RXD	1	I								
				LIN0_RXD	2	IO								
				MCAN0_RX	3	I								
				EPWM17_A	5	O								
				GPIO77	7	IO								
				SDFM1_CLK0	8	I								
				EPWM17_A	10	O								
A4	A4	A4	MMC0_CMD MMC0_CMD_CFG_REG 0x5310 0138 0x0000 05F7	MMC0_CMD	0	IO	关闭/关闭/关闭	关闭/关闭/关闭	7	3.3V	VDDSHV0	是	LVCMOS	PU/PD
				UART0_TXD	1	O								
				LIN0_TXD	2	IO								
				MCAN0_TX	3	O								
				EPWM17_B	5	O								
				GPIO78	7	IO								
				SDFM1_D0	8	I								
				EPWM17_B	10	O								

表 5-1. 引脚属性 (ZCZ_C、ZCZ_S、ZCZ_F 封装) (续)

ZCZ_C 焊球 编号 [1]	ZCZ_S 焊球 编号 [1]	ZCZ_F 焊球 编号 [1]	焊球名称 [2]/ IOMUX 寄存器 [14]/ 地址 [15]/ 默认值 [16]	信号名称 [3]	多路复用 模式 [4]	类型 [5]	复位 期间的 焊球 状态 RX/TX/拉动 [6]	复位 之后的 焊球 状态 RX/TX/拉动 [7]	复位 之后的 多路复用 模式 [8]	IO 电压 [9]	电源 [10]	HYS [11]	缓冲器 类型 [12]	拉动 类型 [13]
C6	C6	C6	MMC0_WP MMC0_WP_CFG_REG 0x5310 014C 0x0000 05F7	MMC0_WP	0	I	关闭/关闭/关闭	关闭/关闭/关闭	7	3.3V	VDDSHV0	是	LVCMOS	PU/PD
				UART0_RTSn	1	O								
				I2C2_SCL	2	IO								
				MCAN5_RX	3	I								
				EPWM20_A	5	O								
				GPIO83	7	IO								
				SDFM1_CLK3	8	I								
				EPWM20_A	10	O								
B5	B5	B5	MMC0_D0 MMC0_D0_CFG_REG 0x5310 013C 0x0000 05F7	MMC0_D0	0	IO	关闭/关闭/关闭	关闭/关闭/关闭	7	3.3V	VDDSHV0	是	LVCMOS	PU/PD
				UART2_RXD	1	I								
				I2C1_SCL	2	IO								
				MCAN1_RX	3	I								
				EPWM18_A	5	O								
				GPIO79	7	IO								
				SDFM1_CLK1	8	I								
				EPWM18_A	10	O								
B4	B4	B4	MMC0_D1 MMC0_D1_CFG_REG 0x5310 0140 0x0000 05F7	MMC0_D1	0	IO	关闭/关闭/关闭	关闭/关闭/关闭	7	3.3V	VDDSHV0	是	LVCMOS	PU/PD
				MCAN1_TX	3	O								
				EPWM18_B	5	O								
				GPIO80	7	IO								
				SDFM1_D1	8	I								
				EPWM18_B	10	O								
A3	A3	A3	MMC0_D2 MMC0_D2_CFG_REG 0x5310 0144 0x0000 05F7	MMC0_D2	0	IO	关闭/关闭/关闭	关闭/关闭/关闭	7	3.3V	VDDSHV0	是	LVCMOS	PU/PD
				UART2_TXD	1	O								
				I2C1_SDA	2	IO								
				MCAN4_RX	3	I								
				EPWM19_A	5	O								
				GPIO81	7	IO								
				SDFM1_CLK2	8	I								
				EPWM19_A	10	O								

表 5-1. 引脚属性 (ZCZ_C、ZCZ_S、ZCZ_F 封装) (续)

ZCZ_C 焊球 编号 [1]	ZCZ_S 焊球 编号 [1]	ZCZ_F 焊球 编号 [1]	焊球名称 [2]/ IOMUX 寄存器 [14]/ 地址 [15]/ 默认值 [16]	信号名称 [3]	多路复用 模式 [4]	类型 [5]	复位 期间的 焊球 状态 RX/TX/拉动 [6]	复位 之后的 焊球 状态 RX/TX/拉动 [7]	复位 之后的 多路复用 模式 [8]	IO 电压 [9]	电源 [10]	HYS [11]	缓冲器 类型 [12]	拉动 类型 [13]
A2	A2	A2	MMC0_D3 MMC0_D3_CFG_REG 0x5310 0148 0x0000 05F7	MMC0_D3	0	IO	关闭/关闭/关闭	关闭/关闭/关闭	7	3.3V	VDDSHV0	是	LVCMOS	PU/PD
				UART3_RTSn	1	O								
				MCAN4_TX	3	O								
				EPWM19_B	5	O								
				GPIO82	7	IO								
				SDFM1_D2	8	I								
				EPWM19_B	10	O								
N2	N2		OSPI0_CLK OSPI0_CLK_CFG_REG 0x5310 0008 0x0000 05F7	OSPI0_CLK	0	O	关闭/关闭/关闭	关闭/关闭/关闭	7	3.3V	VDDSHV0	是	LVCMOS	PU/PD
				MCAN7_RX	2	I								
				SPI7_CS0	4	IO								
				UART3_CTSn	6	I								
				GPIO2	7	IO								
				EPWM12_A	10	O								
LB	LB	LB	OSPI0_CLKLB OSPI0_CLKLB_CFG_REG 0x5310 0244 0x5F0	OSPI0_CLKLB	0	IO	关闭/关闭/关闭	关闭/关闭/关闭	0	3.3V	VDDSHV0	是	LVCMOS	PU/PD
P1	P1		OSPI0_CSn0 OSPI0_CSn0_CFG_REG 0x5310 0000 0x0000 05F7	OSPI0_CSn0	0	O	关闭/关闭/关闭	关闭/关闭/关闭	7	3.3V	VDDSHV0	是	LVCMOS	PU/PD
				OSPI0_D0	6	IO								
				GPIO0	7	IO								
R3	R3		OSPI0_CSn1 OSPI0_CSn1_CFG_REG 0x5310 0004 0x0000 05F7	OSPI0_CSn1	0	O	关闭/关闭/关闭	关闭/关闭/关闭	7	3.3V	VDDSHV0	是	LVCMOS	PU/PD
				MCAN5_TX	2	O								
				SPI4_CS1	4	IO								
				XBAROUT0	5	O								
				UART2_RTSn	6	O								
				GPIO1	7	IO								
				FSIRX2_DATA1	8	I								
				EPWM10_B	10	O								
N1	N1		OSPI0_D0 OSPI0_D0_CFG_REG 0x5310 000C 0x0000 05D7	OSPI0_D0	0	IO	开启/关闭/关闭	开启/关闭/关闭	7	3.3V	VDDSHV0	是	LVCMOS	PU/PD
				MCAN7_TX	2	O								
				SPI7_CLK	4	IO								
				UART1_DCDn	6	I								
				GPIO3	7	IO								
				EPWM12_B	10	O								
				SOP0	自举	IO								

表 5-1. 引脚属性 (ZCZ_C、ZCZ_S、ZCZ_F 封装) (续)

ZCZ_C 焊球 编号 [1]	ZCZ_S 焊球 编号 [1]	ZCZ_F 焊球 编号 [1]	焊球名称 [2]/ IOMUX 寄存器 [14]/ 地址 [15]/ 默认值 [16]	信号名称 [3]	多路复用 模式 [4]	类型 [5]	复位 期间的 焊球 状态 RX/TX/拉动 [6]	复位 之后的 焊球 状态 RX/TX/拉动 [7]	复位 之后的 多路复用 模式 [8]	IO 电压 [9]	电源 [10]	HYS [11]	缓冲器 类型 [12]	拉动 类型 [13]
N4	N4		OSPI0_D1 OSPI0_D1_CFG_REG 0x5310 0010 0x0000 05D7	OSPI0_D1	0	IO	开启/关闭/关闭	开启/关闭/关闭	7	3.3V	VDDSHV0	是	LVCMOS	PU/PD
				SPI7_D0	4	IO								
				UART1_RIn	6	I								
				GPIO4	7	IO								
				EPWM13_A	10	O								
				SOP1	自举	IO								
M4	M4		OSPI0_D2 OSPI0_D2_CFG_REG 0x5310 0014 0x0000 05F7	OSPI0_D2	0	IO	关闭/关闭/关闭	关闭/关闭/关闭	7	3.3V	VDDSHV0	是	LVCMOS	PU/PD
				OSPI0_D6	6	IO								
				GPIO5	7	IO								
P3	P3		OSPI0_D3 OSPI0_D3_CFG_REG 0x5310 0018 0x0000 05F7	OSPI0_D3	0	IO	关闭/关闭/关闭	关闭/关闭/关闭	7	3.3V	VDDSHV0	是	LVCMOS	PU/PD
				OSPI0_D4	6	IO								
				GPIO6	7	IO								
R2	R2	R2		PORz		I				3.3V	VDDSHV0	是	RESET	
L18	L18	L18	PR0_MDIO0_MDC PR0_MDIO0_MDC_CFG_REG 0x5310 0158 0x0000 05F7	PR0_MDIO0_MDC	0	O	关闭/关闭/关闭	关闭/关闭/关闭	7	3.3V	VDDSHV0	是	LVCMOS	PU/PD
				EPWM21_B	5	O								
				GPIO86	7	IO								
				EPWM21_B	10	O								
L17	L17	L17	PR0_MDIO0_MDIO PR0_MDIO0_MDIO_CFG_REG 0x5310 0154 0x0000 05F7	PR0_MDIO0_MDIO	0	IO	关闭/关闭/关闭	关闭/关闭/关闭	7	3.3V	VDDSHV0	是	LVCMOS	PU/PD
				EPWM21_A	5	O								
				GPIO85	7	IO								
				EPWM21_A	10	O								
K17	K17	K17	PR0_PRU0_GPIO0 PR0_PRU0_GPIO0_CFG_REG 0x5310 0174 0x0000 05F7	PR0_PRU0_GPIO0	0	IO	关闭/关闭/关闭	关闭/关闭/关闭	7	3.3V	VDDSHV0	是	LVCMOS	PU/PD
				RMII2_RXD0	2	I								
				RGMII2_RD0	3	I								
				MII2_RXD0	4	I								
				EPWM25_A	5	O								
				GPIO93	7	IO								
				EPWM25_A	10	O								
K18	K18	K18	PR0_PRU0_GPIO1 PR0_PRU0_GPIO1_CFG_REG 0x5310 0178 0x0000 05F7	PR0_PRU0_GPIO1	0	IO	关闭/关闭/关闭	关闭/关闭/关闭	7	3.3V	VDDSHV0	是	LVCMOS	PU/PD
				RMII2_RXD1	2	I								
				RGMII2_RD1	3	I								
				MII2_RXD1	4	I								
				EPWM25_B	5	O								
				GPIO94	7	IO								
				EPWM25_B	10	O								

表 5-1. 引脚属性 (ZCZ_C、ZCZ_S、ZCZ_F 封装) (续)

ZCZ_C 焊球 编号 [1]	ZCZ_S 焊球 编号 [1]	ZCZ_F 焊球 编号 [1]	焊球名称 [2]/ IOMUX 寄存器 [14]/ 地址 [15]/ 默认值 [16]	信号名称 [3]	多路复用 模式 [4]	类型 [5]	复位 期间的 焊球 状态 RX/TX/拉动 [6]	复位 之后的 焊球 状态 RX/TX/拉动 [7]	复位 之后的 多路复用 模式 [8]	IO 电压 [9]	电源 [10]	HYS [11]	缓冲器 类型 [12]	拉动 类型 [13]
J18	J18	J18	PR0_PRU0_GPIO2 PR0_PRU0_GPIO2_CFG_REG 0x5310 017C 0x0000 05F7	PR0_PRU0_GPIO2	0	IO	关闭/关闭/关闭	关闭/关闭/关闭	7	3.3V	VDDSHV0	是	LVCMOS	PU/PD
				RGMI2_RD2	3	I								
				MII2_RXD2	4	I								
				EPWM26_A	5	O								
				GPIO95	7	IO								
				EPWM26_A	10	O								
J17	J17	J17	PR0_PRU0_GPIO3 PR0_PRU0_GPIO3_CFG_REG 0x5310 0180 0x0000 05F7	PR0_PRU0_GPIO3	0	IO	关闭/关闭/关闭	关闭/关闭/关闭	7	3.3V	VDDSHV0	是	LVCMOS	PU/PD
				RGMI2_RD3	3	I								
				MII2_RXD3	4	I								
				EPWM26_B	5	O								
				GPIO96	7	IO								
				EPWM26_B	10	O								
K16	K16	K16	PR0_PRU0_GPIO4 PR0_PRU0_GPIO4_CFG_REG 0x5310 0170 0x0000 05F7	PR0_PRU0_GPIO4	0	IO	关闭/关闭/关闭	关闭/关闭/关闭	7	3.3V	VDDSHV0	是	LVCMOS	PU/PD
				RGMI2_RX_CTL	3	I								
				MII2_RXDV	4	I								
				EPWM24_B	5	O								
				GPIO92	7	IO								
				EPWM24_B	10	O								
G17	G17	G17	PR0_PRU0_GPIO5 PR0_PRU0_GPIO5_CFG_REG 0x5310 015C 0x0000 05F7	PR0_PRU0_GPIO5	0	IO	关闭/关闭/关闭	关闭/关闭/关闭	7	3.3V	VDDSHV0	是	LVCMOS	PU/PD
				RMII2_RX_ER	2	I								
				MII2_RX_ER	4	I								
				EPWM22_A	5	O								
				GPIO87	7	IO								
				EPWM22_A	10	O								
K15	K15	K15	PR0_PRU0_GPIO6 PR0_PRU0_GPIO6_CFG_REG 0x5310 016C 0x0000 05F7	PR0_PRU0_GPIO6	0	IO	关闭/关闭/关闭	关闭/关闭/关闭	7	3.3V	VDDSHV0	是	LVCMOS	PU/PD
				RMII2_REF_CLK	2	IO								
				RGMI2_RXC	3	I								
				MII2_RXCLK	4	I								
				EPWM24_A	5	O								
				GPIO91	7	IO								
				EPWM24_A	10	O								
G15	G15	G15	PR0_PRU0_GPIO8 PR0_PRU0_GPIO8_CFG_REG 0x5310 0168 0x0000 05F7	PR0_PRU0_GPIO8	0	IO	关闭/关闭/关闭	关闭/关闭/关闭	7	3.3V	VDDSHV0	是	LVCMOS	PU/PD
				EPWM23_B	5	O								
				GPIO90	7	IO								
				EPWM29_A	10	O								

表 5-1. 引脚属性 (ZCZ_C、ZCZ_S、ZCZ_F 封装) (续)

ZCZ_C 焊球 编号 [1]	ZCZ_S 焊球 编号 [1]	ZCZ_F 焊球 编号 [1]	焊球名称 [2]/ IOMUX 寄存器 [14]/ 地址 [15]/ 默认值 [16]	信号名称 [3]	多路复用 模式 [4]	类型 [5]	复位 期间的 焊球 状态 RX/TX/拉动 [6]	复位 之后的 焊球 状态 RX/TX/拉动 [7]	复位 之后的 多路复用 模式 [8]	IO 电压 [9]	电源 [10]	HYS [11]	缓冲器 类型 [12]	拉动 类型 [13]
F17	F17	F17	PR0_PRU0_GPIO9 PR0_PRU0_GPIO9_CFG_REG 0x5310 0160 0x0000 05F7	PR0_PRU0_GPIO9	0	IO	关闭/关闭/关闭	关闭/关闭/关闭	7	3.3V	VDDSHV0	是	LVCMOS	PU/PD
				PR0_UART0_CTSn	3	I								
				MII2_COL	4	I								
				EPWM22_B	5	O								
				GPIO88	7	IO								
G18	G18	G18	PR0_PRU0_GPIO10 PR0_PRU0_GPIO10_CFG_REG 0x5310 0164 0x0000 05F7	PR0_PRU0_GPIO10	0	IO	关闭/关闭/关闭	关闭/关闭/关闭	7	3.3V	VDDSHV0	是	LVCMOS	PU/PD
				RMII2_CRSDV	2	I								
				PR0_UART0_RTSn	3	O								
				MII2_CRSDV	4	I								
				EPWM23_A	5	O								
				GPIO89	7	IO								
				EPWM22_B	10	O								
M16	M16	M16	PR0_PRU0_GPIO11 PR0_PRU0_GPIO11_CFG_REG 0x5310 018C 0x0000 05F7	PR0_PRU0_GPIO11	0	IO	关闭/关闭/关闭	关闭/关闭/关闭	7	3.3V	VDDSHV0	是	LVCMOS	PU/PD
				RMII2_TXD0	2	O								
				RGMI2_TD0	3	O								
				MII2_TXD0	4	O								
				EPWM28_A	5	O								
				GPIO99	7	IO								
				EPWM28_A	10	O								
M15	M15	M15	PR0_PRU0_GPIO12 PR0_PRU0_GPIO12_CFG_REG 0x5310 0190 0x0000 05F7	PR0_PRU0_GPIO12	0	IO	关闭/关闭/关闭	关闭/关闭/关闭	7	3.3V	VDDSHV0	是	LVCMOS	PU/PD
				RMII2_TXD1	2	O								
				RGMI2_TD1	3	O								
				MII2_TXD1	4	O								
				EPWM28_B	5	O								
				GPIO100	7	IO								
				EPWM28_B	10	O								
H17	H17	H17	PR0_PRU0_GPIO13 PR0_PRU0_GPIO13_CFG_REG 0x5310 0194 0x0000 05F7	PR0_PRU0_GPIO13	0	IO	关闭/关闭/关闭	关闭/关闭/关闭	7	3.3V	VDDSHV0	是	LVCMOS	PU/PD
				RGMI2_TD2	3	O								
				MII2_TXD2	4	O								
				EPWM29_A	5	O								
				GPIO101	7	IO								
				EPWM27_B	10	O								

表 5-1. 引脚属性 (ZCZ_C、ZCZ_S、ZCZ_F 封装) (续)

ZCZ_C 焊球 编号 [1]	ZCZ_S 焊球 编号 [1]	ZCZ_F 焊球 编号 [1]	焊球名称 [2]/ IOMUX 寄存器 [14]/ 地址 [15]/ 默认值 [16]	信号名称 [3]	多路复用 模式 [4]	类型 [5]	复位 期间的 焊球 状态 RX/TX/拉动 [6]	复位 之后的 焊球 状态 RX/TX/拉动 [7]	复位 之后的 多路复用 模式 [8]	IO 电压 [9]	电源 [10]	HYS [11]	缓冲器 类型 [12]	拉动 类型 [13]
H16	H16	H16	PR0_PRU0_GPIO14 PR0_PRU0_GPIO14_CFG_REG 0x5310 0198 0x0000 05F7	PR0_PRU0_GPIO14	0	IO	关闭/关闭/关闭	关闭/关闭/关闭	7	3.3V	VDDSHV0	是	LVCMOS	PU/PD
				RGMII2_TD3	3	O								
				MII2_TXD3	4	O								
				EPWM29_B	5	O								
				GPIO102	7	IO								
				EPWM29_B	10	O								
L16	L16	L16	PR0_PRU0_GPIO15 PR0_PRU0_GPIO15_CFG_REG 0x5310 0188 0x0000 05F7	PR0_PRU0_GPIO15	0	IO	关闭/关闭/关闭	关闭/关闭/关闭	7	3.3V	VDDSHV0	是	LVCMOS	PU/PD
				RGMII2_TX_EN	2	O								
				RGMII2_TX_CTL	3	O								
				MII2_TX_EN	4	O								
				EPWM27_B	5	O								
				GPIO98	7	IO								
H18	H18	H18	PR0_PRU0_GPIO16 PR0_PRU0_GPIO16_CFG_REG 0x5310 0184 0x0000 05F7	PR0_PRU0_GPIO16	0	IO	关闭/关闭/关闭	关闭/关闭/关闭	7	3.3V	VDDSHV0	是	LVCMOS	PU/PD
				RGMII2_TXC	3	O								
				MII2_TXCLK	4	I								
				EPWM27_A	5	O								
				GPIO97	7	IO								
				EPWM27_A	10	O								
F18	F18	F18	PR0_PRU1_GPIO0 PR0_PRU1_GPIO0_CFG_REG 0x5310 01B4 0x0000 05F7	PR0_PRU1_GPIO0	0	IO	关闭/关闭/关闭	关闭/关闭/关闭	7	3.3V	VDDSHV0	是	LVCMOS	PU/PD
				MCAN1_RX	1	I								
				FSITX2_DATA1	3	O								
				TRC_DATA6	4	O								
				GPIO109	7	IO								
				EPWM23_A	10	O								
G16	G16	G16	PR0_PRU1_GPIO1 PR0_PRU1_GPIO1_CFG_REG 0x5310 01B8 0x0000 05F7	PR0_PRU1_GPIO1	0	IO	关闭/关闭/关闭	关闭/关闭/关闭	7	3.3V	VDDSHV0	是	LVCMOS	PU/PD
				MCAN1_TX	1	O								
				FSIRX2_CLK	3	I								
				TRC_DATA7	4	O								
				GPIO110	7	IO								
E17	E17	E17	PR0_PRU1_GPIO2 PR0_PRU1_GPIO2_CFG_REG 0x5310 01BC 0x0000 05F7	PR0_PRU1_GPIO2	0	IO	关闭/关闭/关闭	关闭/关闭/关闭	7	3.3V	VDDSHV0	是	LVCMOS	PU/PD
				MCAN4_RX	1	I								
				FSIRX2_DATA0	3	I								
				TRC_DATA8	4	O								
				GPIO111	7	IO								

表 5-1. 引脚属性 (ZCZ_C、ZCZ_S、ZCZ_F 封装) (续)

ZCZ_C 焊球 编号 [1]	ZCZ_S 焊球 编号 [1]	ZCZ_F 焊球 编号 [1]	焊球名称 [2]/ IOMUX 寄存器 [14]/ 地址 [15]/ 默认值 [16]	信号名称 [3]	多路复用 模式 [4]	类型 [5]	复位 期间的 焊球 状态 RX/TX/拉动 [6]	复位 之后的 焊球 状态 RX/TX/拉动 [7]	复位 之后的 多路复用 模式 [8]	IO 电压 [9]	电源 [10]	HYS [11]	缓冲器 类型 [12]	拉动 类型 [13]
E18	E18	E18	PR0_PRU1_GPIO3 PR0_PRU1_GPIO3_CFG_REG 0x5310 01C0 0x0000 05F7	PR0_PRU1_GPIO3	0	IO	关闭/关闭/关闭	关闭/关闭/关闭	7	3.3V	VDDSHV0	是	LVCMOS	PU/PD
				MCAN4_TX	1	O								
				FSIRX2_DATA1	3	I								
				TRC_DATA9	4	O								
				GPIO112	7	IO								
				EPWM23_B	10	O								
F16	F16	F16	PR0_PRU1_GPIO4 PR0_PRU1_GPIO4_CFG_REG 0x5310 01B0 0x0000 05F7	PR0_PRU1_GPIO4	0	IO	关闭/关闭/关闭	关闭/关闭/关闭	7	3.3V	VDDSHV0	是	LVCMOS	PU/PD
				MCAN0_TX	1	O								
				FSITX2_DATA0	3	O								
				TRC_DATA5	4	O								
F15	F15	F15	PR0_PRU1_GPIO5 PR0_PRU1_GPIO5_CFG_REG 0x5310 019C 0x0000 05F7	PR0_PRU1_GPIO5	0	IO	关闭/关闭/关闭	关闭/关闭/关闭	7	3.3V	VDDSHV0	是	LVCMOS	PU/PD
				SPI5_CS0	2	IO								
				TRC_DATA0	4	O								
				EPWM30_A	5	O								
				GPIO103	7	IO								
				ADC_EXTCH_XBAROUT6	9	O								
EPWM30_A	10	O												
E16	E16	E16	PR0_PRU1_GPIO6 PR0_PRU1_GPIO6_CFG_REG 0x5310 01AC 0x0000 05F7	PR0_PRU1_GPIO6	0	IO	关闭/关闭/关闭	关闭/关闭/关闭	7	3.3V	VDDSHV0	是	LVCMOS	PU/PD
				MCAN0_RX	1	I								
				FSITX2_CLK	3	O								
				TRC_DATA4	4	O								
D18	D18	D18	PR0_PRU1_GPIO8 PR0_PRU1_GPIO8_CFG_REG 0x5310 01A8 0x0000 05F7	PR0_PRU1_GPIO8	0	IO	关闭/关闭/关闭	关闭/关闭/关闭	7	3.3V	VDDSHV0	是	LVCMOS	PU/PD
				SPI5_D1	2	IO								
				TRC_DATA3	4	O								
				EPWM31_B	5	O								
				GPIO106	7	IO								
				RES0_PWMOUT1	8	O								
EPWM31_B	10	O												

表 5-1. 引脚属性 (ZCZ_C、ZCZ_S、ZCZ_F 封装) (续)

ZCZ_C 焊球 编号 [1]	ZCZ_S 焊球 编号 [1]	ZCZ_F 焊球 编号 [1]	焊球名称 [2]/ IOMUX 寄存器 [14]/ 地址 [15]/ 默认值 [16]	信号名称 [3]	多路复用 模式 [4]	类型 [5]	复位 期间的 焊球 状态 RX/TX/拉动 [6]	复位 之后的 焊球 状态 RX/TX/拉动 [7]	复位 之后的 多路复用 模式 [8]	IO 电压 [9]	电源 [10]	HYS [11]	缓冲器 类型 [12]	拉动 类型 [13]
C18	C18	C18	PR0_PRU1_GPIO9 PR0_PRU1_GPIO9_CFG_REG 0x5310 01A0 0x0000 05F7	PR0_PRU1_GPIO9	0	IO	关闭/关闭/关闭	关闭/关闭/关闭	7	3.3V	VDDSHV0	是	LVCMOS	PU/PD
				SPI5_CLK	2	IO								
				PR0_UART0_RXD	3	I								
				TRC_DATA1	4	O								
				EPWM30_B	5	O								
				GPIO104	7	IO								
				ADC_EXTCH_XBAROUT7	9	O								
D17	D17	D17	PR0_PRU1_GPIO10 PR0_PRU1_GPIO10_CFG_REG 0x5310 01A4 0x0000 05F7	PR0_PRU1_GPIO10	0	IO	关闭/关闭/关闭	关闭/关闭/关闭	7	3.3V	VDDSHV0	是	LVCMOS	PU/PD
				SPI5_D0	2	IO								
				PR0_UART0_TXD	3	O								
				TRC_DATA2	4	O								
				EPWM31_A	5	O								
				GPIO105	7	IO								
				RES0_PWMOUT0	8	O								
EPWM31_A	10	O												
B18	B18	B18	PR0_PRU1_GPIO11 PR0_PRU1_GPIO11_CFG_REG 0x5310 01CC 0x0000 05F7	PR0_PRU1_GPIO11	0	IO	关闭/关闭/关闭	关闭/关闭/关闭	7	3.3V	VDDSHV0	是	LVCMOS	PU/PD
				MCAN6_RX	1	I								
				SPI6_CS0	2	IO								
				FSITX3_DATA1	3	O								
				TRC_DATA12	4	O								
				EPWM16_A	5	O								
				GPIO115	7	IO								
B17	B17	B17	PR0_PRU1_GPIO12 PR0_PRU1_GPIO12_CFG_REG 0x5310 01D0 0x0000 05F7	PR0_PRU1_GPIO12	0	IO	关闭/关闭/关闭	关闭/关闭/关闭	7	3.3V	VDDSHV0	是	LVCMOS	PU/PD
				MCAN6_TX	1	O								
				SPI6_CLK	2	IO								
				FSIRX3_CLK	3	I								
				TRC_DATA13	4	O								
				EPWM16_B	5	O								
				GPIO116	7	IO								

表 5-1. 引脚属性 (ZCZ_C、ZCZ_S、ZCZ_F 封装) (续)

ZCZ_C 焊球 编号 [1]	ZCZ_S 焊球 编号 [1]	ZCZ_F 焊球 编号 [1]	焊球名称 [2]/ IOMUX 寄存器 [14]/ 地址 [15]/ 默认值 [16]	信号名称 [3]	多路复用 模式 [4]	类型 [5]	复位 期间的 焊球 状态 RX/TX/拉动 [6]	复位 之后的 焊球 状态 RX/TX/拉动 [7]	复位 之后的 多路复用 模式 [8]	IO 电压 [9]	电源 [10]	HYS [11]	缓冲器 类型 [12]	拉动 类型 [13]
D16	D16	D16	PR0_PRU1_GPIO13 PR0_PRU1_GPIO13_CFG_REG 0x5310 01D4 0x0000 05F7	PR0_PRU1_GPIO13	0	IO	关闭/关闭/关闭	关闭/关闭/关闭	7	3.3V	VDDSHV0	是	LVCMOS	PU/PD
				MCAN7_RX	1	I								
				SPI6_D0	2	IO								
				FSIRX3_DATA0	3	I								
				TRC_DATA14	4	O								
				XBAROUT11	5	O								
				GPIO117	7	IO								
RES0_PWMOUT0	8	O												
C17	C17	C17	PR0_PRU1_GPIO14 PR0_PRU1_GPIO14_CFG_REG 0x5310 01D8 0x0000 05F7	PR0_PRU1_GPIO14	0	IO	关闭/关闭/关闭	关闭/关闭/关闭	7	3.3V	VDDSHV0	是	LVCMOS	PU/PD
				MCAN7_TX	1	O								
				SPI6_D1	2	IO								
				FSIRX3_DATA1	3	I								
				TRC_DATA15	4	O								
				XBAROUT12	5	O								
				GPIO118	7	IO								
RES0_PWMOUT1	8	O												
A17	A17	A17	PR0_PRU1_GPIO15 PR0_PRU1_GPIO15_CFG_REG 0x5310 01C8 0x0000 05F7	PR0_PRU1_GPIO15	0	IO	关闭/关闭/关闭	关闭/关闭/关闭	7	3.3V	VDDSHV0	是	LVCMOS	PU/PD
				MCAN5_TX	1	O								
				FSITX3_DATA0	3	O								
				TRC_DATA11	4	O								
C16	C16	C16	PR0_PRU1_GPIO16 PR0_PRU1_GPIO16_CFG_REG 0x5310 01C4 0x0000 05F7	PR0_PRU1_GPIO16	0	IO	关闭/关闭/关闭	关闭/关闭/关闭	7	3.3V	VDDSHV0	是	LVCMOS	PU/PD
				MCAN5_RX	1	I								
				FSITX3_CLK	3	O								
				TRC_DATA10	4	O								
C15	C15	C15	PR0_PRU1_GPIO18 PR0_PRU1_GPIO18_CFG_REG 0x5310 01E0 0x0000 05F7	PR0_PRU1_GPIO18	0	IO	关闭/关闭/关闭	关闭/关闭/关闭	7	3.3V	VDDSHV0	是	LVCMOS	PU/PD
				UART3_TXD	2	O								
				PR0_IEP0_EDIO_DATA_IN_OUT31	3	IO								
				TRC_CTL	4	O								
				XBAROUT14	5	O								
				GPIO120	7	IO								
EQEP1_B	9	I												

表 5-1. 引脚属性 (ZCZ_C、ZCZ_S、ZCZ_F 封装) (续)

ZCZ_C 焊球 编号 [1]	ZCZ_S 焊球 编号 [1]	ZCZ_F 焊球 编号 [1]	焊球名称 [2]/ IOMUX 寄存器 [14]/ 地址 [15]/ 默认值 [16]	信号名称 [3]	多路复用 模式 [4]	类型 [5]	复位 期间的 焊球 状态 RX/TX/拉动 [6]	复位 之后的 焊球 状态 RX/TX/拉动 [7]	复位 之后的 多路复用 模式 [8]	IO 电压 [9]	电源 [10]	HYS [11]	缓冲器 类型 [12]	拉动 类型 [13]
D15	D15	D15	PR0_PRU1_GPIO19 PR0_PRU1_GPIO19_CFG_REG 0x5310 01DC 0x0000 05F7	PR0_PRU1_GPIO19	0	IO	关闭/关闭/关闭	关闭/关闭/关闭	7	3.3V	VDDSHV0	是	LVCMOS	PU/PD
				UART3_RXD	2	I								
				PR0_IEP0_EDC_SYNC_OUT0	3	O								
				TRC_CLK	4	O								
				XBAROUT13	5	O								
				GPIO119	7	IO								
EQEP1_A	9	I												
R17			RGMII1_RXC RGMII1_RXC_CFG_REG 0x5310 0074 0x0000 05F7	RGMII1_RXC	0	I	关闭/关闭/关闭	关闭/关闭/关闭	7	3.3V	VDDSHV0	是	LVCMOS	PU/PD
				RMII1_REF_CLK	1	IO								
				MII1_RXCLK	2	I								
				FSITX0_CLK	6	O								
				GPIO29	7	IO								
				EQEP2_A	8	I								
EPWM14_A	10	O												
R18			RGMII1_RX_CTL RGMII1_RX_CTL_CFG_REG 0x5310 0078 0x0000 05F7	RGMII1_RX_CTL	0	I	关闭/关闭/关闭	关闭/关闭/关闭	7	3.3V	VDDSHV0	是	LVCMOS	PU/PD
				RMII1_RX_ER	1	I								
				MII1_RXDV	2	I								
				FSITX0_DATA0	6	O								
				GPIO30	7	IO								
				EQEP2_B	8	I								
N18			RGMII1_TXC RGMII1_TXC_CFG_REG 0x5310 008C 0x0000 05F7	RGMII1_TXC	0	O	关闭/关闭/关闭	关闭/关闭/关闭	7	3.3V	VDDSHV0	是	LVCMOS	PU/PD
				MII1_TXCLK	2	I								
				FSITX1_CLK	6	O								
				GPIO35	7	IO								
				EQEP0_INDEX	8	IO								
				EPWM14_B	10	O								
M18			RGMII1_TX_CTL RGMII1_TX_CTL_CFG_REG 0x5310 0090 0x0000 05F7	RGMII1_TX_CTL	0	O	关闭/关闭/关闭	关闭/关闭/关闭	7	3.3V	VDDSHV0	是	LVCMOS	PU/PD
				RMII1_TX_EN	1	O								
				MII1_TX_EN	2	O								
				FSITX1_DATA0	6	O								
				GPIO36	7	IO								
				EQEP0_STROBE	8	IO								
				EPWM15_B	10	O								

表 5-1. 引脚属性 (ZCZ_C、ZCZ_S、ZCZ_F 封装) (续)

ZCZ_C 焊球 编号 [1]	ZCZ_S 焊球 编号 [1]	ZCZ_F 焊球 编号 [1]	焊球名称 [2]/ IOMUX 寄存器 [14]/ 地址 [15]/ 默认值 [16]	信号名称 [3]	多路复用 模式 [4]	类型 [5]	复位 期间的 焊球 状态 RX/TX/拉动 [6]	复位 之后的 焊球 状态 RX/TX/拉动 [7]	复位 之后的 多路复用 模式 [8]	IO 电压 [9]	电源 [10]	HYS [11]	缓冲器 类型 [12]	拉动 类型 [13]
U17			RGMII1_RD0 RGMII1_RD0_CFG_REG 0x5310 007C 0x0000 05F7	RGMI1_RD0	0	I	关闭/关闭/关闭	关闭/关闭/关闭	7	3.3V	VDDSHV0	是	LVCMOS	PU/PD
				RMII1_RXD0	1	I								
				MII1_RXD0	2	I								
				FSITX0_DATA1	6	O								
				GPIO31	7	IO								
				EQEP2_STROBE	8	IO								
T17			RGMII1_RD1 RGMII1_RD1_CFG_REG 0x5310 0080 0x0000 05F7	RGMI1_RD1	0	I	关闭/关闭/关闭	关闭/关闭/关闭	7	3.3V	VDDSHV0	是	LVCMOS	PU/PD
				RMII1_RXD1	1	I								
				MII1_RXD1	2	I								
				FSIRX0_CLK	6	I								
				GPIO32	7	IO								
				EQEP2_INDEX	8	IO								
U18			RGMII1_RD2 RGMII1_RD2_CFG_REG 0x5310 0084 0x0000 05F7	RGMI1_RD2	0	I	关闭/关闭/关闭	关闭/关闭/关闭	7	3.3V	VDDSHV0	是	LVCMOS	PU/PD
				MII1_RXD2	2	I								
				FSIRX0_DATA0	6	I								
				GPIO33	7	IO								
				EQEP0_A	8	I								
T18			RGMII1_RD3 RGMII1_RD3_CFG_REG 0x5310 0088 0x0000 05F7	RGMI1_RD3	0	I	关闭/关闭/关闭	关闭/关闭/关闭	7	3.3V	VDDSHV0	是	LVCMOS	PU/PD
				MII1_RXD3	2	I								
				FSIRX0_DATA1	6	I								
				GPIO34	7	IO								
				EQEP0_B	8	I								
P16			RGMII1_TD0 RGMII1_TD0_CFG_REG 0x5310 0094 0x0000 05F7	RGMI1_TD0	0	O	关闭/关闭/关闭	关闭/关闭/关闭	7	3.3V	VDDSHV0	是	LVCMOS	PU/PD
				RMII1_TXD0	1	O								
				MII1_TXD0	2	O								
				FSITX1_DATA1	6	O								
				GPIO37	7	IO								
				EQEP1_A	8	I								
				EPWM15_A	9	O								
				EPWM15_B	10	O								
P17			RGMII1_TD1 RGMII1_TD1_CFG_REG 0x5310 0098 0x0000 05F7	RGMI1_TD1	0	O	关闭/关闭/关闭	关闭/关闭/关闭	7	3.3V	VDDSHV0	是	LVCMOS	PU/PD
				RMII1_TXD1	1	O								
				MII1_TXD1	2	O								
				FSIRX1_CLK	6	I								
				GPIO38	7	IO								
				EQEP1_B	8	I								

表 5-1. 引脚属性 (ZCZ_C、ZCZ_S、ZCZ_F 封装) (续)

ZCZ_C 焊球 编号 [1]	ZCZ_S 焊球 编号 [1]	ZCZ_F 焊球 编号 [1]	焊球名称 [2]/ IOMUX 寄存器 [14]/ 地址 [15]/ 默认值 [16]	信号名称 [3]	多路复用 模式 [4]	类型 [5]	复位 期间的 焊球 状态 RX/TX/拉动 [6]	复位 之后的 焊球 状态 RX/TX/拉动 [7]	复位 之后的 多路复用 模式 [8]	IO 电压 [9]	电源 [10]	HYS [11]	缓冲器 类型 [12]	拉动 类型 [13]
P18			RGMII1_TD2 RGMII1_TD2_CFG_REG 0x5310 009C 0x0000 05F7	RGMI1_TD2	0	O	关闭/关闭/关闭	关闭/关闭/关闭	7	3.3V	VDDSHV0	是	LVCMOS	PU/PD
				RMII1_CRD_DV	1	I								
				MII1_TXD2	2	O								
				FSIRX1_DATA0	6	I								
				GPIO39	7	IO								
				EQEP1_STROBE	8	IO								
N17			RGMII1_TD3 RGMII1_TD3_CFG_REG 0x5310 00A0 0x0000 05F7	RGMI1_TD3	0	O	关闭/关闭/关闭	关闭/关闭/关闭	7	3.3V	VDDSHV0	是	LVCMOS	PU/PD
				MII1_TXD3	2	O								
				FSIRX1_DATA1	6	I								
				GPIO40	7	IO								
				EQEP1_INDEX	8	IO								
J16	J16	J16	RSVD_J16	RSVD_J16		RSVD				保留	保留		保留	
	P15	P15	RSVD_P15	RSVD_P15		RSVD				保留	保留		保留	
T4	T4	T4	RSVD_T4	RSVD_T4		RSVD				保留	保留		保留	
U1	U1	U1	RSVD_U1	RSVD_U1		RSVD				保留	保留		保留	
U3	U3	U3	RSVD_U3	RSVD_U3		RSVD				保留	保留		保留	
V2	V2	V2	RSVD_V2	RSVD_V2		RSVD				保留	保留		保留	
D4	D4	D4	SAFETY_ERRORn SAFETY_ERRORn_CFG_REG 0x5310 0230 0x410	SAFETY_ERRORn	0	IO	开启/关闭/下拉	开启/NA/下拉	0	3.3V	VDDSHV0	是	LVCMOS	PU/PD
B16	B16	B16	SDFM0_CLK0 SDFM0_CLK0_CFG_REG 0x5310 01E8 0x0000 05F7	CLKOUT1	0	O	关闭/关闭/关闭	关闭/关闭/关闭	7	3.3V	VDDSHV0	是	LVCMOS	PU/PD
				GPIO122	7	IO								
				SDFM0_CLK0	8	I								
				EQEP1_STROBE	9	IO								
A16	A16	A16	SDFM0_CLK1 SDFM0_CLK1_CFG_REG 0x5310 01F0 0x0000 05F7	PR0_PRU1_GPIO7	0	IO	关闭/关闭/关闭	关闭/关闭/关闭	7	3.3V	VDDSHV0	是	LVCMOS	PU/PD
				CPTS0_TS_SYNC	1	O								
				UART5_RTSn	2	O								
				PR0_IEP0_EDC_SYNC_OUT1	3	O								
				I2C3_SDA	5	IO								
				GPIO124	7	IO								
				SDFM0_CLK1	8	I								
B15	B15	B15	SDFM0_CLK2 SDFM0_CLK2_CFG_REG 0x5310 01F8 0x0000 05F7	UART5_TXD	0	O	关闭/关闭/关闭	关闭/关闭/关闭	7	3.3V	VDDSHV0	是	LVCMOS	PU/PD
				I2C3_SCL	5	IO								
				GPIO126	7	IO								
				SDFM0_CLK2	8	I								
				ADC_EXTCH_XBAROUT8	9	O								

表 5-1. 引脚属性 (ZCZ_C、ZCZ_S、ZCZ_F 封装) (续)

ZCZ_C 焊球 编号 [1]	ZCZ_S 焊球 编号 [1]	ZCZ_F 焊球 编号 [1]	焊球名称 [2]/ IOMUX 寄存器 [14]/ 地址 [15]/ 默认值 [16]	信号名称 [3]	多路复用 模式 [4]	类型 [5]	复位 期间的 焊球 状态 RX/TX/拉动 [6]	复位 之后的 焊球 状态 RX/TX/拉动 [7]	复位 之后的 多路复用 模式 [8]	IO 电压 [9]	电源 [10]	HYS [11]	缓冲器 类型 [12]	拉动 类型 [13]
A15	A15	A15	SDFM0_CLK3 SDFM0_CLK3_CFG_REG 0x5310 0200 0x0000 05F7	MCAN3_TX	0	O	关闭/关闭/关闭	关闭/关闭/关闭	7	3.3V	VDDSHV0	是	LVCMOS	PU/PD
				UART5_RXD	1	I								
				GPIO128	7	IO								
				SDFM0_CLK3	8	I								
				ADC_EXTCH_XBAROUT9	9	O								
D14	D14	D14	SDFM0_D0 SDFM0_D0_CFG_REG 0x5310 01EC 0x0000 05F7	PRO_ECAP0_APWM_OUT	0	O	关闭/关闭/关闭	关闭/关闭/关闭	7	3.3V	VDDSHV0	是	LVCMOS	PU/PD
				GPIO123	7	IO								
				SDFM0_D0	8	I								
D13	D13	D13	SDFM0_D1 SDFM0_D1_CFG_REG 0x5310 01F4 0x0000 05F7	PRO_PRU1_GPIO17	0	IO	关闭/关闭/关闭	关闭/关闭/关闭	7	3.3V	VDDSHV0	是	LVCMOS	PU/PD
				UART5_CTSn	2	I								
				PRO_IEP0_EDIO_DATA_IN_OUT30	3	IO								
				GPIO125	7	IO								
				SDFM0_D1	8	I								
C13	C13	C13	SDFM0_D2 SDFM0_D2_CFG_REG 0x5310 01FC 0x0000 05F7	UART5_RXD	0	I	关闭/关闭/关闭	关闭/关闭/关闭	7	3.3V	VDDSHV0	是	LVCMOS	PU/PD
				GPIO127	7	IO								
				SDFM0_D2	8	I								
				ADC_EXTCH_XBAROUT0	9	O								
C14	C14	C14	SDFM0_D3 SDFM0_D3_CFG_REG 0x5310 0204 0x0000 05F7	MCAN3_RX	0	I	关闭/关闭/关闭	关闭/关闭/关闭	7	3.3V	VDDSHV0	是	LVCMOS	PU/PD
				GPIO129	7	IO								
				SDFM0_D3	8	I								
				ADC_EXTCH_XBAROUT1	9	O								
A11	A11	A11	SPI0_CLK SPI0_CLK_CFG_REG 0x5310 0030 0x0000 05D7	SPI0_CLK	0	IO	开启/关闭/关闭	开启/关闭/关闭	7	3.3V	VDDSHV0	是	LVCMOS	PU/PD
				UART3_TXD	1	O								
				LIN3_TXD	2	IO								
				FSITX0_CLK	6	O								
				GPIO12	7	IO								
				ADC_EXTCH_XBAROUT1	9	O								
				SOP2	自举	IO								
A10	A10	A10	SPI1_CLK SPI1_CLK_CFG_REG 0x5310 0040 0x0000 05F7	SPI1_CLK	0	IO	关闭/关闭/关闭	关闭/关闭/关闭	7	3.3V	VDDSHV0	是	LVCMOS	PU/PD
				UART4_RXD	1	I								
				LIN4_RXD	2	IO								
				XBAROUT2	5	O								
				FSIRX0_CLK	6	I								
				GPIO16	7	IO								
				ADC_EXTCH_XBAROUT5	9	O								

表 5-1. 引脚属性 (ZCZ_C、ZCZ_S、ZCZ_F 封装) (续)

ZCZ_C 焊球 编号 [1]	ZCZ_S 焊球 编号 [1]	ZCZ_F 焊球 编号 [1]	焊球名称 [2]/ IOMUX 寄存器 [14]/ 地址 [15]/ 默认值 [16]	信号名称 [3]	多路复用 模式 [4]	类型 [5]	复位 期间的 焊球 状态 RX/TX/拉动 [6]	复位 之后的 焊球 状态 RX/TX/拉动 [7]	复位 之后的 多路复用 模式 [8]	IO 电压 [9]	电源 [10]	HYS [11]	缓冲器 类型 [12]	拉动 类型 [13]
C11	C11	C11	SPI0_CS0 SPI0_CS0_CFG_REG 0x5310 002C 0x0000 05F7	SPI0_CS0	0	IO	关闭/关闭/关闭	关闭/关闭/关闭	7	3.3V	VDDSHV0	是	LVCMOS	PU/PD
				UART3_RXD	1	I								
				LIN3_RXD	2	IO								
				GPIO11	7	IO								
				ADC_EXTCH_XBAROUT0	9	O								
C10	C10	C10	SPI0_D0 SPI0_D0_CFG_REG 0x5310 0034 0x0000 05D7	SPI0_D0	0	IO	开启/关闭/关闭	开启/关闭/关闭	7	3.3V	VDDSHV0	是	LVCMOS	PU/PD
				FSITX0_DATA0	6	O								
				GPIO13	7	IO								
				ADC_EXTCH_XBAROUT2	9	O								
				SOP3	自举	IO								
B11	B11	B11	SPI0_D1 SPI0_D1_CFG_REG 0x5310 0038 0x0000 05F7	SPI0_D1	0	IO	关闭/关闭/关闭	关闭/关闭/关闭	7	3.3V	VDDSHV0	是	LVCMOS	PU/PD
				FSITX0_DATA1	6	O								
				GPIO14	7	IO								
				ADC_EXTCH_XBAROUT3	9	O								
C9	C9	C9	SPI1_CS0 SPI1_CS0_CFG_REG 0x5310 003C 0x0000 05F7	SPI1_CS0	0	IO	关闭/关闭/关闭	关闭/关闭/关闭	7	3.3V	VDDSHV0	是	LVCMOS	PU/PD
				UART4_TXD	1	O								
				LIN4_TXD	2	IO								
				XBAROUT1	5	O								
				GPIO15	7	IO								
				ADC_EXTCH_XBAROUT4	9	O								
B10	B10	B10	SPI1_D0 SPI1_D0_CFG_REG 0x5310 0044 0x0000 05F7	SPI1_D0	0	IO	关闭/关闭/关闭	关闭/关闭/关闭	7	3.3V	VDDSHV0	是	LVCMOS	PU/PD
				UART5_TXD	1	O								
				XBAROUT3	5	O								
				FSIRX0_DATA0	6	I								
				GPIO17	7	IO								
				ADC_EXTCH_XBAROUT6	9	O								
D9	D9	D9	SPI1_D1 SPI1_D1_CFG_REG 0x5310 0048 0x0000 05F7	SPI1_D1	0	IO	关闭/关闭/关闭	关闭/关闭/关闭	7	3.3V	VDDSHV0	是	LVCMOS	PU/PD
				UART5_RXD	1	I								
				XBAROUT4	5	O								
				FSIRX0_DATA1	6	I								
				GPIO18	7	IO								
				ADC_EXTCH_XBAROUT7	9	O								
B3	B3	B3	TCK TCK_CFG_REG 0x5310 0240 0x210	TCK	0	I	开启/NA/上拉	开启/NA/上拉	0	3.3V	VDDSHV0	是	HIGH HYST	

表 5-1. 引脚属性 (ZCZ_C、ZCZ_S、ZCZ_F 封装) (续)

ZCZ_C 焊球 编号 [1]	ZCZ_S 焊球 编号 [1]	ZCZ_F 焊球 编号 [1]	焊球名称 [2]/ IOMUX 寄存器 [14]/ 地址 [15]/ 默认值 [16]	信号名称 [3]	多路复用 模式 [4]	类型 [5]	复位 期间的 焊球 状态 RX/TX/拉动 [6]	复位 之后的 焊球 状态 RX/TX/拉动 [7]	复位 之后的 多路复用 模式 [8]	IO 电压 [9]	电源 [10]	HYS [11]	缓冲器 类型 [12]	拉动 类型 [13]
C5	C5	C5	TDI TDI_CFG_REG 0x5310 0234 0x6D0	TDI	0	I	开启/关闭/上拉	开启/关闭/上拉	0	3.3V	VDDSHV0	是	LVC MOS	PU/PD
C4	C4	C4	TDO TDO_CFG_REG 0x5310 0238 0x630	TDO	0	O	关闭/关闭/上拉	关闭/NA/上拉	0	3.3V	VDDSHV0	是	LVC MOS	PU/PD
D5	D5	D5	TMS TMS_CFG_REG 0x5310 023C 0x610	TMS	0	IO	开启/关闭/上拉	开启/NA/上拉	0	3.3V	VDDSHV0	是	LVC MOS	PU/PD
B7	B7	B7	UART0_CTSn UART0_CTSn_CFG_REG 0x5310 0068 0x0000 05F7	UART0_CTSn	0	I	关闭/关闭/关闭	关闭/关闭/关闭	7	3.3V	VDDSHV0	是	LVC MOS	PU/PD
				I2C2_SDA	1	IO								
				SPI3_D1	2	IO								
				MCAN3_RX	3	I								
				SPI0_CS1	4	IO								
				XBAROUT10	5	O								
				GPIO26	7	IO								
C7	C7	C7	UART0_RTSn UART0_RTSn_CFG_REG 0x5310 0064 0x0000 05F7	UART0_RTSn	0	O	关闭/关闭/关闭	关闭/关闭/关闭	7	3.3V	VDDSHV0	是	LVC MOS	PU/PD
				I2C2_SCL	1	IO								
				SPI3_D0	2	IO								
				MCAN3_TX	3	O								
				XBAROUT9	5	O								
				GPIO25	7	IO								
				A7	A7	A7								
LIN0_RXD	1	IO												
GPIO27	7	IO												
A6	A6	A6	UART0_TXD UART0_TXD_CFG_REG 0x5310 0070 0x0000 05F7	UART0_TXD	0	O	关闭/关闭/关闭	关闭/关闭/关闭	7	3.3V	VDDSHV0	是	LVC MOS	PU/PD
				LIN0_TXD	1	IO								
				GPIO28	7	IO								
L3	L3		UART1_RXD UART1_RXD_CFG_REG 0x5310 012C 0x0000 05F7	UART1_RXD	0	I	关闭/关闭/关闭	关闭/关闭/关闭	7	3.3V	VDDSHV0	是	LVC MOS	PU/PD
				LIN1_RXD	1	IO								
				OSP10_LBCLKO	2	O								
				EPWM16_A	5	O								
				GPIO75	7	IO								
				EPWM16_A	10	O								
				EPWM10_A	11	O								

表 5-1. 引脚属性 (ZCZ_C、ZCZ_S、ZCZ_F 封装) (续)

ZCZ_C 焊球 编号 [1]	ZCZ_S 焊球 编号 [1]	ZCZ_F 焊球 编号 [1]	焊球名称 [2]/ IOMUX 寄存器 [14]/ 地址 [15]/ 默认值 [16]	信号名称 [3]	多路复用 模式 [4]	类型 [5]	复位 期间的 焊球 状态 RX/TX/拉动 [6]	复位 之后的 焊球 状态 RX/TX/拉动 [7]	复位 之后的 多路复用 模式 [8]	IO 电压 [9]	电源 [10]	HYS [11]	缓冲器 类型 [12]	拉动 类型 [13]
M3	M3		UART1_TXD UART1_TXD_CFG_REG 0x5310 0130 0x0000 05F7	UART1_TXD	0	O	关闭/关闭/关闭	关闭/关闭/关闭	7	3.3V	VDDSHV0	是	LVCMOS	PU/PD
				LIN1_TXD	1	IO								
				OSPI0_DQS	2	I								
				EPWM16_B	5	O								
				GPIO76	7	IO								
				EPWM16_B	10	O								
E11、 E9、 F11、 F9、 G13、 G14、 G5、 G6、 K13、 K14、 K5、 K6、 N13、 N14、 N5、 N6、 R9	E11、 E9、 F11、 F9、 G13、 G14、 G5、 G6、 K13、 K14、 K5、 K6、 N13、 N14、 N5、 N6、 R9	E11、 E9、 F11、 F9、 G13、 G14、 G5、 G6、 K13、 K14、 K5、 K6、 N13、 N14、 N5、 N6、 R9	VDD	VDD		PWR				1.2V				
R11、 R8	R11、 R8	R11、 R8	VDDA18	VDDA18		PWR				1.8V				
R6	R6	R6	VDDA18_LDO	VDDA18_LDO		PWR				1.8V				
R4	R4	R4	VDDA18_OSC_PLL	VDDA18_OSC_PLL		PWR				1.8V				
P11、 P7、 P9	P11、 P7、 P9	P11、 P7、 P9	VDDA33	VDDA33		PWR				3.3V				
J15	J15	J15	VDDAR1	VDDAR1		PWR				1.2V				
D10	D10	D10	VDDAR2	VDDAR2		PWR				1.2V				
H3	H3	H3	VDDAR3	VDDAR3		PWR				1.2V				
D6、 E15、 L4、 N15	D6、 E15、 L4、 N15	D6、 E15、 L4、 N15	VDDS18	VDDS18		PWR				1.8V				
T3	T3	T3	VDDS18_LDO	VDDS18_LDO		PWR				1.8V				
D12、 D8、 H15、 H4、 L15、 P4、 R15	D12、 D8、 H15、 H4、 L15、 P4、 R15	D12、 D8、 H15、 H4、 L15、 P4、 R15	VDDS33	VDDS33		PWR				3.3V				
N3	N3	N3	VPP	VPP		PWR				VPP				

表 5-1. 引脚属性 (ZCZ_C、ZCZ_S、ZCZ_F 封装) (续)

ZCZ_C 焊球 编号 [1]	ZCZ_S 焊球 编号 [1]	ZCZ_F 焊球 编号 [1]	焊球名称 [2]/ IOMUX 寄存器 [14]/ 地址 [15]/ 默认值 [16]	信号名称 [3]	多路复用 模式 [4]	类型 [5]	复位 期间的 焊球 状态 RX/TX/拉动 [6]	复位 之后的 焊球 状态 RX/TX/拉动 [7]	复位 之后的 多路复用 模式 [8]	IO 电压 [9]	电源 [10]	HYS [11]	缓冲器 类型 [12]	拉动 类型 [13]
A1、 A18、 E10、 E12、 E13、 E14、 E5、 E6、 E7、 E8、 F10、 F12、 F13、 F14、 F5、F6、 F7、F8、 G10、 G11、 G12、 G7、 G8、 G9、 H10、 H11、 H12、 H13、 H14、 H5、 H6、 H7、 H8、 H9、 J10、 J11、 J12、 J13、 J14、 J5、J6、 J7、J8、 J9、 K10、 K11、 K12、 K7、 K8、 K9、 L10、 L11、 L12、 L13、 L14、 L5、L6、 L7、L8、	A1、 A18、 E10、 E12、 E13、 E14、 E5、 E6、 E7、 E8、 F10、 F12、 F13、 F14、 F5、F6、 F7、F8、 G10、 G11、 G12、 G7、 G8、 G9、 H10、 H11、 H12、 H13、 H14、 H5、 H6、 H7、 H8、 H9、 J10、 J11、 J12、 J13、 J14、 J5、J6、 J7、J8、 J9、 K10、 K11、 K12、 K7、 K8、 K9、 L10、 L11、 L12、 L13、 L14、 L5、L6、 L7、L8、	A1、 A18、 E10、 E12、 E13、 E14、 E5、 E6、 E7、 E8、 F10、 F12、 F13、 F14、 F5、F6、 F7、F8、 G10、 G11、 G12、 G7、 G8、 G9、 H10、 H11、 H12、 H13、 H14、 H5、 H6、 H7、 H8、 H9、 J10、 J11、 J12、 J13、 J14、 J5、J6、 J7、J8、 J9、 K10、 K11、 K12、 K7、 K8、 K9、 L10、 L11、 L12、 L13、 L14、 L5、L6、 L7、L8、	VSS	VSS		GND				VSS				

表 5-1. 引脚属性 (ZCZ_C、ZCZ_S、ZCZ_F 封装) (续)

ZCZ_C 焊球 编号 [1]	ZCZ_S 焊球 编号 [1]	ZCZ_F 焊球 编号 [1]	焊球名称 [2]/ IOMUX 寄存器 [14]/ 地址 [15]/ 默认值 [16]	信号名称 [3]	多路复用 模式 [4]	类型 [5]	复位 期间的 焊球 状态 RX/TX/拉动 [6]	复位 之后的 焊球 状态 RX/TX/拉动 [7]	复位 之后的 多路复用 模式 [8]	IO 电压 [9]	电源 [10]	HYS [11]	缓冲器 类型 [12]	拉动 类型 [13]
L9、 M10、 M11、 M12、 M13、 M14、 M5、 M6、 M7、 M8、 M9、 N10、 N11、 N12、 N7、 N8、 N9、 P13、 P14、 P5、 T2、 V18	L9、 M10、 M11、 M12、 M13、 M14、 M5、 M6、 M7、 M8、 M9、 N10、 N11、 N12、 N7、 N8、 N9、 P13、 P14、 P5、 T2	L9、 M10、 M11、 M12、 M13、 M14、 M5、 M6、 M7、 M8、 M9、 N10、 N11、 N12、 N7、 N8、 N9、 P13、 P14、 P5、 T2												
P10、 P12、 P6、 P8、 R13、 R5、 V1、 V16	P10、 P12、 P6、 P8、 R13、 R5、 V1、 V18	P10、 P12、 P6、 P8、 R13、 R5、 V1、 V18	VSSA	VSSA		AGND				VSSA				
U2	U2	U2	VSYS_MON	VSYS_MON		A				0.9V	VDDA_CIO		AnalogCIO	
C3	C3	C3	WARMRSTn WARMRSTn_CFG_REG 0x5310 022C 0x510	WARMRSTn	0	IO	开启/关闭/关闭	开启/NA/关闭	0	3.3V	VDDSHV0		FS 开漏	
T1	T1	T1	XTAL_XI	XTAL_XI		I				1.8V	VDDA18_OSC_ PLL	是	HFOSC	
R1	R1	R1	XTAL_XO	XTAL_XO		O				1.8V	VDDA18_OSC_ PLL		HFOSC	

5.3 信号说明

根据引脚多路复用选项的软件配置，许多信号可在多个引脚上使用。

以下列表说明了列标题：

1. **信号名称**：通过引脚的信号的名称。

备注

每个“信号说明”表中提供的信号名称和说明表示在引脚上实现并通过 IOMUX 焊盘配置寄存器选择的引脚多路复用信号功能。某些器件子系统提供信号功能的二次多路复用，这些表中没有说明这些功能。有关辅助多路复用信号功能的更多信息，请参阅器件 TRM 的相应外设章节。

2. **引脚类型**：信号方向和类型：

- I = 输入
- O = 输出
- IO = 输入、输出或同时输入和输出
- ID = 输入，具有开漏输出功能
- OD = 输出，具有开漏输出功能
- IOD = 输入、输出或同时输入和输出，具有开漏输出功能
- IOZ = 输入、输出或同时输入和输出，具有三态输出功能
- OZ = 具有三态输出功能的输出
- A = 模拟
- CAP = LDO 电容器
- PWR = 电源
- GND = 地

3. **说明**：信号说明

4. **焊球**：相关焊球编号

更多有关 I/O 单元配置的信息，请参阅器件 TRM 中 *器件配置* 一章的 *焊盘配置寄存器* 部分。

5.3.1 ADC

表 5-2. ADC0 信号说明

信号名称 [1]	引脚类型 [2]	说明 [3]	ZCZ C 引脚 [4]	ZCZ S 引脚 [4]	ZCZ F 引脚 [4]
ADC0_AIN0	I	ADC 模拟输入 0 (+IN0) CMPSSA0 : inH (+IN)	V15	V15	V15
ADC0_AIN1	I	ADC 模拟输入 1 (-IN0) CMPSSA0 : inL (-IN)	U15	U15	U15
ADC0_AIN2	I	ADC 模拟输入 2 (+IN1) CMPSSA1 : inH (+IN)	T14	T14	T14
ADC0_AIN3	I	ADC 模拟输入 3 (-IN1) CMPSSA1 : inL (-IN)	U14	U14	U14
ADC0_AIN4	I	ADC 模拟输入 4 (+IN2) CMPSSB0 : inH/inL (+IN/-IN)	U13	U13	U13
ADC0_AIN5	I	ADC 模拟输入 5 (-IN2) CMPSSB1 : inH/inL (+IN/-IN)	R14	R14	R14

表 5-3. ADC1 信号说明

信号名称 [1]	引脚类型 [2]	说明 [3]	ZCZ C 引脚 [4]	ZCZ S 引脚 [4]	ZCZ F 引脚 [4]
ADC1_AIN0	I	ADC 模拟输入 0 (+IN0) CMPSSA2 : inH (+IN)	T11	T11	T11
ADC1_AIN1	I	ADC 模拟输入 1 (-IN0) CMPSSA2 : inL (-IN)	U11	U11	U11
ADC1_AIN2	I	ADC 模拟输入 2 (+IN1) CMPSSA3 : inH (+IN)	T12	T12	T12
ADC1_AIN3	I	ADC 模拟输入 3 (-IN1) CMPSSA3 : inL (-IN)	V12	V12	V12
ADC1_AIN4	I	ADC 模拟输入 4 (+IN2) CMPSSB2 : inH/inL (+IN/-IN)	U12	U12	U12
ADC1_AIN5	I	ADC 模拟输入 5 (-IN2) CMPSSB3 : inH/inL (+IN/-IN)	R12	R12	R12

表 5-4. ADC2 信号说明

信号名称 [1]	引脚类型 [2]	说明 [3]	ZCZ C 引脚 [4]	ZCZ S 引脚 [4]	ZCZ F 引脚 [4]
ADC2_AIN0	I	ADC 模拟输入 0 (+IN0) CMPSSA4 : inH (+IN)	R10	R10	R10
ADC2_AIN1	I	ADC 模拟输入 1 (-IN0) CMPSSA4 : inL (-IN)	T10	T10	T10
ADC2_AIN2	I	ADC 模拟输入 2 (+IN1) CMPSSA5 : inH (+IN)	U10	U10	U10
ADC2_AIN3	I	ADC 模拟输入 3 (-IN1) CMPSSA5 : inL (-IN)	T9	T9	T9
ADC2_AIN4	I	ADC 模拟输入 4 (+IN2) CMPSSB4 : inH/inL (+IN/-IN)	V9	V9	V9
ADC2_AIN5	I	ADC 模拟输入 5 (-IN2) CMPSSB5 : inH/inL (+IN/-IN)	T8	T8	T8

表 5-5. ADC3 信号说明

信号名称 [1]	引脚类型 [2]	说明 [3]	ZCZ C 引脚 [4]	ZCZ S 引脚 [4]	ZCZ F 引脚 [4]
ADC3_AIN0	I	ADC 模拟输入 0 (+IN0) CMPSSA6 : inH (+IN)	U7	U7	U7
ADC3_AIN1	I	ADC 模拟输入 1 (-IN0) CMPSSA6 : inL (-IN)	U8	U8	U8
ADC3_AIN2	I	ADC 模拟输入 2 (+IN1) CMPSSA7 : inH (+IN)	T7	T7	T7
ADC3_AIN3	I	ADC 模拟输入 3 (-IN1) CMPSSA7 : inL (-IN)	R7	R7	R7

表 5-5. ADC3 信号说明 (续)

信号名称 [1]	引脚类型 [2]	说明 [3]	ZCZ C 引脚 [4]	ZCZ S 引脚 [4]	ZCZ F 引脚 [4]
ADC3_AIN4	I	ADC 模拟输入 4 (+IN2) CMPSSB6 : inH/inL (+IN/-IN)	V8	V8	V8
ADC3_AIN5	I	ADC 模拟输入 5 (-IN2) CMPSSB7 : inH/inL (+IN/-IN)	U9	U9	U9

表 5-6. ADC4 信号说明

信号名称 [1]	引脚类型 [2]	说明 [3]	ZCZ C 引脚 [4]	ZCZ S 引脚 [4]	ZCZ F 引脚 [4]
ADC4_AIN0	I	ADC 模拟输入 0 (+IN0) CMPSSA8 : inH (+IN)	U6	U6	U6
ADC4_AIN1	I	ADC 模拟输入 1 (-IN0) CMPSSA8 : inL (-IN)	V5	V5	V5
ADC4_AIN2	I	ADC 模拟输入 2 (+IN1) CMPSSA9 : inH (+IN)	V4	V4	V4
ADC4_AIN3	I	ADC 模拟输入 3 (-IN1) CMPSSA9 : inL (-IN)	U5	U5	U5
ADC4_AIN4	I	ADC 模拟输入 4 (+IN2) CMPSSB8 : inH/inL (+IN/-IN)	V3	V3	V3
ADC4_AIN5	I	ADC 模拟输入 5 (-IN2) CMPSSB9 : inH/inL (+IN/-IN)	U4	U4	U4

5.3.1.1 ADC-CMPSS 信号连接

在每个 ADC 中，两组差分引脚应与两个 CMPSSA 的引脚共享，剩余的一对差分引脚应连接到 CMPSSB 的两个独立引脚。图 5-1 和表 5-7 中演示了这些引脚，其中 CHSEL 值决定了如何将输入馈送到 ADC。

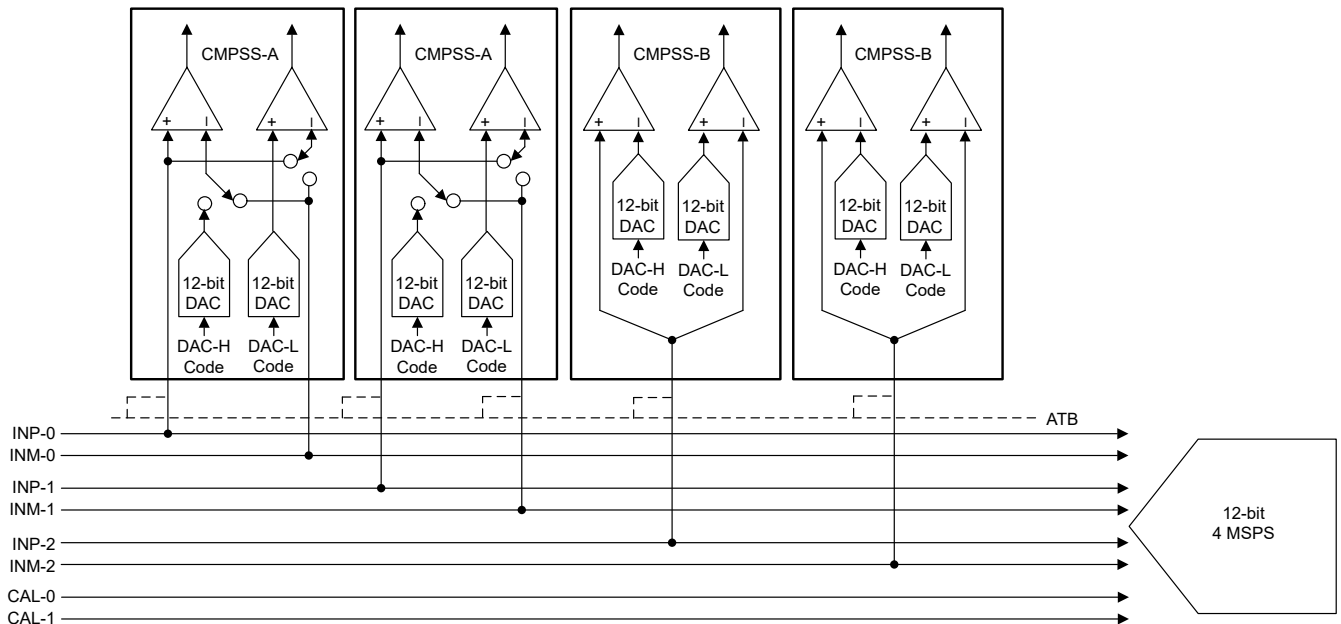


图 5-1. CMPSS 和 ADC 连接

表 5-7. ADC 输入与 CMPSS 信号之间的连接

信号/引脚名称	ADC 输入	CMPSS 输入
ADC0 通道		
ADC0_AIN0	ADC0:inp0 (+IN0)	CMPSSA0:inH (+IN)
ADC0_AIN1	ADC0:inm0 (-IN0)	CMPSSA0:inL (-IN)
ADC0_AIN2	ADC0:inp1 (+IN1)	CMPSSA1:inH (+IN)

表 5-7. ADC 输入与 CMPSS 信号之间的连接 (续)

信号/引脚名称	ADC 输入	CMPSS 输入
ADC0_AIN3	ADC0:inm1 (-IN1)	CMPSSA1:inL (-IN)
ADC0_AIN4	ADC0:inp2 (+IN2)	CMPSSB0:inH/inL (+IN/-IN)
ADC0_AIN5	ADC0:inm2 (-IN2)	CMPSSB1:inH/inL (+IN/-IN)
ADC_CAL1	ADC0:inm3 (-IN3)	X
ADC_CAL0	ADC0:inp3 (+IN3)	X
ADC1 通道		
ADC1_AIN0	ADC1:inp0 (+IN0)	CMPSSA2:inH (+IN)
ADC1_AIN1	ADC1:inm0 (-IN0)	CMPSSA2:inL (-IN)
ADC1_AIN2	ADC1:inp1 (+IN1)	CMPSSA3:inH (+IN)
ADC1_AIN3	ADC1:inm1 (-IN1)	CMPSSA3:inL (-IN)
ADC1_AIN4	ADC1:inp2 (+IN2)	CMPSSB2:inH/inL (+IN/-IN)
ADC1_AIN5	ADC1:inm2 (-IN2)	CMPSSB3:inH/inL (+IN/-IN)
ADC_CAL1	ADC1:inm3 (-IN3)	X
ADC_CAL0	ADC1:inp3 (+IN3)	X
ADC2 通道		
ADC2_AIN0	ADC2:inp0 (+IN0)	CMPSSA4:inH (+IN)
ADC2_AIN1	ADC2:inm0 (-IN0)	CMPSSA4:inL (-IN)
ADC2_AIN2	ADC2:inp1 (+IN1)	CMPSSA5:inH (+IN)
ADC2_AIN3	ADC2:inm1 (-IN1)	CMPSSA5:inL (-IN)
ADC2_AIN4	ADC2:inp2 (+IN2)	CMPSSB4:inH/inL (+IN/-IN)
ADC2_AIN5	ADC2:inm2 (-IN2)	CMPSSB5:inH/inL (+IN/-IN)
ADC_CAL1	ADC2:inm3 (-IN3)	X
ADC_CAL0	ADC2:inp3 (+IN3)	X
ADC3 通道		
ADC3_AIN0	ADC3:inp0 (+IN0)	CMPSSA6:inH (+IN)
ADC3_AIN1	ADC3:inm0 (-IN0)	CMPSSA6:inL (-IN)
ADC3_AIN2	ADC3:inp1 (+IN1)	CMPSSA7:inH (+IN)
ADC3_AIN3	ADC3:inm1 (-IN1)	CMPSSA7:inL (-IN)
ADC3_AIN4	ADC3:inp2 (+IN2)	CMPSSB6:inH/inL (+IN/-IN)
ADC3_AIN5	ADC3:inm2 (-IN2)	CMPSSB7:inH/inL (+IN/-IN)
ADC_CAL1	ADC3:inm3 (-IN3)	X
ADC_CAL0	ADC3:inp3 (+IN3)	X
ADC4 通道		
ADC4_AIN0	ADC4:inp0 (+IN0)	CMPSSA8:inH (+IN)
ADC4_AIN1	ADC4:inm0 (-IN0)	CMPSSA8:inL (-IN)
ADC4_AIN2	ADC4:inp1 (+IN1)	CMPSSA9:inH (+IN)
ADC4_AIN3	ADC4:inm1 (-IN1)	CMPSSA9:inL (-IN)
ADC4_AIN4	ADC4:inp2 (+IN2)	CMPSSB8:inH/inL (+IN/-IN)
ADC4_AIN5	ADC4:inm2 (-IN2)	CMPSSB9:inH/inL (+IN/-IN)
ADC_CAL0	ADC4:inp3 (+IN3)	X
ADC_CAL1	ADC4:inm3 (-IN3)	X

备注

在上方 [ADC-CMPSS 信号连接表](#) 的 **ADC 输入** 列中，“INP”表示正输入，“INM”表示负输入。

5.3.2 ADC 旋转变压器

表 5-8. ADC_R0 信号说明

信号名称 [1]	引脚类型 [2]	说明 [3]	ZCZ C 引脚 [4]	ZCZ S 引脚 [4]	ZCZ F 引脚 [4]
ADC_R0_AIN0	I	ADC 旋转变压器模拟输入 0		T18	T18
ADC_R0_AIN1	I	ADC 旋转变压器模拟输入 1		T16	T16
ADC_R0_AIN2	I	ADC 旋转变压器模拟输入 2		U18	U18
ADC_R0_AIN3	I	ADC 旋转变压器模拟输入 3		T17	T17

表 5-9. ADC_R1 信号说明

信号名称 [1]	引脚类型 [2]	说明 [3]	ZCZ C 引脚 [4]	ZCZ S 引脚 [4]	ZCZ F 引脚 [4]
ADC_R1_AIN0	I	ADC 旋转变压器模拟输入 0		R16	R16
ADC_R1_AIN1	I	ADC 旋转变压器模拟输入 1		R18	R18
ADC_R1_AIN2	I	ADC 旋转变压器模拟输入 2		P18	P18
ADC_R1_AIN3	I	ADC 旋转变压器模拟输入 3		P17	P17

表 5-10. 旋转变压器 PWM 输出信号说明

信号名称 [1]	引脚类型 [2]	说明 [3]	ZCZ C 引脚 [4]	ZCZ S 引脚 [4]	ZCZ F 引脚 [4]
RES0_PWMOUT0	O	旋转变压器 PWM 输出信号 0	D16、D17	D16、D17	D16、D17
RES0_PWMOUT1	O	旋转变压器 PWM 输出信号 1	C17、D18	C17、D18	C17、D18

5.3.3 ADC_CAL

表 5-11. ADC_CAL 信号说明

信号名称 [1]	引脚类型 [2]	说明 [3]	ZCZ C 引脚 [4]	ZCZ S 引脚 [4]	ZCZ F 引脚 [4]
ADC_CAL0 ⁽¹⁾	I	ADC 校准引脚 0	U16	U16	U16
ADC_CAL1 ⁽¹⁾	I	ADC 校准引脚 1	T15	T15	T15
ADC_CAL2 ⁽²⁾	A	ADC 校准引脚 2		U17	U17
ADC_CAL3 ⁽³⁾	A	ADC 校准引脚 3		N17	N17

(1) 此引脚在 ADC[0:4] 和 ADC_R[0:1] 之间共享。

(2) 此引脚在 ADC_R[0] 之间共享。

(3) 此引脚在 ADC_R[1] 之间共享。

5.3.4 ADC_VREF

表 5-12. ADC_VREF 信号说明

信号名称 [1]	引脚类型 [2]	说明 [3]	ZCZ C 引脚 [4]	ZCZ S 引脚 [4]	ZCZ F 引脚 [4]
ADC_VREFHI_G0	A	ADC 基准 (正)	V14	V14	V14
ADC_VREFHI_G1 ⁽²⁾	A	ADC 基准 (正)	V10	V10	V10
ADC_VREFHI_G2	A	ADC 基准 (正)	V6	V6	V6
ADC_VREFHI_G3 ⁽⁵⁾	A	ADC 基准 (正)		V17	V17
ADC_VREFLO_G0 ⁽¹⁾	A	ADC 基准 (负)	V13	V13	V13
ADC_VREFLO_G1 ⁽³⁾	A	ADC 基准 (负)	V11	V11	V11
ADC_VREFLO_G2 ⁽⁴⁾	A	ADC 基准 (负)	V7	V7	V7
ADC_VREFLO_G3 ⁽⁵⁾	A	ADC 基准 (负)		V16	V16

(1) 此引脚应连接 (短接) 至模拟地 (VSSA)。

(2) 此引脚可以连接 (短接) 至 ADC_VREFHI_G0。

(3) 此引脚可以连接 (短接) 至 ADC_VREFLO_G0。

(4) 此引脚可以连接 (短接) 至模拟地 (VSSA)。

(5) 此引脚仅存在于 ZCZ_S 封装内以支持 ADC_R[0:1]

5.3.5 CPSW

表 5-13. CPSW0 RGMII1 信号说明

信号名称 [1]	引脚类型 [2]	说明 [3]	ZCZ C 引脚 [4]	ZCZ S 引脚 [4]	ZCZ F 引脚 [4]
RGMII1_RXC	I	RGMII 接收时钟	R17	R17	R17
RGMII1_RX_CTL	I	RGMII 接收控制	R18		
RGMII1_TXC	O	RGMII 发送时钟	N18	N18	N18
RGMII1_TX_CTL	O	RGMII 发送控制	M18	M18	M18
RGMII1_RD0	I	RGMII 接收数据 0	U17		
RGMII1_RD1	I	RGMII 接收数据 1	T17		
RGMII1_RD2	I	RGMII 接收数据 2	U18		
RGMII1_RD3	I	RGMII 接收数据 3	T18		
RGMII1_TD0	O	RGMII 发送数据 0	P16	P16	P16
RGMII1_TD1	O	RGMII 发送数据 1	P17		
RGMII1_TD2	O	RGMII 发送数据 2	P18		
RGMII1_TD3	O	RGMII 发送数据 3	N17		

表 5-14. CPSW0 RGMII2 信号说明

信号名称 [1]	引脚类型 [2]	说明 [3]	ZCZ C 引脚 [4]	ZCZ S 引脚 [4]	ZCZ F 引脚 [4]
RGMII2_RXC	I	RGMII 接收时钟	K15	K15	K15
RGMII2_RX_CTL	I	RGMII 接收控制	K16	K16	K16
RGMII2_TXC	O	RGMII 发送时钟	H18	H18	H18

表 5-14. CPSW0 RGMII2 信号说明 (续)

信号名称 [1]	引脚类型 [2]	说明 [3]	ZCZ C 引脚 [4]	ZCZ S 引脚 [4]	ZCZ F 引脚 [4]
RGMII2_TX_CTL	O	RGMII 发送控制	L16	L16	L16
RGMII2_RD0	I	RGMII 接收数据 0	K17	K17	K17
RGMII2_RD1	I	RGMII 接收数据 1	K18	K18	K18
RGMII2_RD2	I	RGMII 接收数据 2	J18	J18	J18
RGMII2_RD3	I	RGMII 接收数据 3	J17	J17	J17
RGMII2_TD0	O	RGMII 发送数据 0	M16	M16	M16
RGMII2_TD1	O	RGMII 发送数据 1	M15	M15	M15
RGMII2_TD2	O	RGMII 发送数据 2	H17	H17	H17
RGMII2_TD3	O	RGMII 发送数据 3	H16	H16	H16

表 5-15. CPSW0 RMII1 信号说明

信号名称 [1]	引脚类型 [2]	说明 [3]	ZCZ C 引脚 [4]	ZCZ S 引脚 [4]	ZCZ F 引脚 [4]
RMII1_CRD_DV	I	RMII 载波侦听/数据有效	P18		
RMII1_REF_CLK	IO	RMII 基准时钟	R17	R17	R17
RMII1_RX_ER	I	RMII 接收数据错误	R18		
RMII1_TX_EN	O	RMII 发送使能	M18	M18	M18
RMII1_RXD0	I	RMII 接收数据 0	U17		
RMII1_RXD1	I	RMII 接收数据 1	T17		
RMII1_TXD0	O	RMII 发送数据 0	P16	P16	P16
RMII1_TXD1	O	RMII 发送数据 1	P17		

表 5-16. CPSW0 RMII2 信号说明

信号名称 [1]	引脚类型 [2]	说明 [3]	ZCZ C 引脚 [4]	ZCZ S 引脚 [4]	ZCZ F 引脚 [4]
RMII2_CRD_DV	I	RMII 载波侦听/数据有效	G18	G18	G18
RMII2_REF_CLK	IO	RMII 基准时钟	K15	K15	K15
RMII2_RX_ER	I	RMII 接收数据错误	G17	G17	G17
RMII2_TX_EN	O	RMII 发送使能	L16	L16	L16
RMII2_RXD0	I	RMII 接收数据 0	K17	K17	K17
RMII2_RXD1	I	RMII 接收数据 1	K18	K18	K18
RMII2_TXD0	O	RMII 发送数据 0	M16	M16	M16
RMII2_TXD1	O	RMII 发送数据 1	M15	M15	M15

表 5-17. CPSW0 MII1 信号说明

信号名称 [1]	引脚类型 [2]	说明 [3]	ZCZ C 引脚 [4]	ZCZ S 引脚 [4]	ZCZ F 引脚 [4]
MII1_COL	I	检测到 MII 冲突	P15		
MII1_CRD	I	MII 载波检测	R16		
MII1_RXCLK	I	MII 接收时钟	R17	R17	R17
MII1_RXDV	I	MII 接收数据有效	R18		
MII1_RX_ER	I	MII 接收数据错误	T16		
MII1_TXCLK	I	MII 发送时钟	N18	N18	N18
MII1_TX_EN	O	MII 发送使能	M18	M18	M18
MII1_RXD0	I	MII 接收数据 0	U17		
MII1_RXD1	I	MII 接收数据 1	T17		
MII1_RXD2	I	MII 接收数据 2	U18		
MII1_RXD3	I	MII 接收数据 3	T18		
MII1_TXD0	O	MII 发送数据 0	P16	P16	P16

表 5-17. CPSW0 MII1 信号说明 (续)

信号名称 [1]	引脚类型 [2]	说明 [3]	ZCZ C 引脚 [4]	ZCZ S 引脚 [4]	ZCZ F 引脚 [4]
MII1_TXD1	O	MII 发送数据 1	P17		
MII1_TXD2	O	MII 发送数据 2	P18		
MII1_TXD3	O	MII 发送数据 3	N17		

表 5-18. CPSW0 MII2 信号说明

信号名称 [1]	引脚类型 [2]	说明 [3]	ZCZ C 引脚 [4]	ZCZ S 引脚 [4]	ZCZ F 引脚 [4]
MII2_COL	I	检测到 MII 冲突	F17	F17	F17
MII2_CRS	I	MII 载波检测	G18	G18	G18
MII2_RXCLK	I	MII 接收时钟	K15	K15	K15
MII2_RXDV	I	MII 接收数据有效	K16	K16	K16
MII2_RX_ER	I	MII 接收错误	G17	G17	G17
MII2_TXCLK	I	MII 发送时钟	H18	H18	H18
MII2_TX_EN	O	MII 发送使能	L16	L16	L16
MII2_RXD0	I	MII 接收数据 0	K17	K17	K17
MII2_RXD1	I	MII 接收数据 1	K18	K18	K18
MII2_RXD2	I	MII 接收数据 2	J18	J18	J18
MII2_RXD3	I	MII 接收数据 3	J17	J17	J17
MII2_TXD0	O	MII 发送数据 0	M16	M16	M16
MII2_TXD1	O	MII 发送数据 1	M15	M15	M15
MII2_TXD2	O	MII 发送数据 2	H17	H17	H17
MII2_TXD3	O	MII 发送数据 3	H16	H16	H16

表 5-19. MDIO0 信号说明

信号名称 [1]	引脚类型 [2]	说明 [3]	ZCZ C 引脚 [4]	ZCZ S 引脚 [4]	ZCZ F 引脚 [4]
MDIO0_MDC	O	MDIO 时钟	M17	M17	M17
MDIO0_MDIO	IO	MDIO 数据	N16	N16	N16

5.3.6 CPTS

表 5-20. CPTS0 信号说明

信号名称 [1]	引脚类型 [2]	说明 [3]	ZCZ C 引脚 [4]	ZCZ S 引脚 [4]	ZCZ F 引脚 [4]
CPTS0_TS_SYNC	O	CPTS 时间戳计数器位输出	A16	A16	A16

5.3.7 DAC

表 5-21. DAC 信号说明

信号名称 [1]	引脚类型 [2]	说明 [3]	ZCZ C 引脚 [4]	ZCZ S 引脚 [4]	ZCZ F 引脚 [4]
DAC_OUT	O	DAC 输出	T5	T5	T5
DAC_VREF0 (1) (2)	A	DAC 电压基准 0	T13	T13	T13
DAC_VREF1 (1) (2)	A	DAC 电压基准 1	T6	T6	T6

(1) 有关连接这些引脚的详细信息，请参阅 *布局指南* 部分。

(2) 此引脚可以连接 (短接) 至 VDDA18_LDO。

5.3.8 EPWM

表 5-22. EPWM0 信号说明

信号名称 [1]	引脚类型 [2]	说明 [3]	ZCZ C 引脚 [4]	ZCZ S 引脚 [4]	ZCZ F 引脚 [4]
EPWM0_A	O	EPWM 输出 A	B2	B2	B2

表 5-22. EPWM0 信号说明 (续)

信号名称 [1]	引脚类型 [2]	说明 [3]	ZCZ C 引脚 [4]	ZCZ S 引脚 [4]	ZCZ F 引脚 [4]
EPWM0_B	O	EPWM 输出 B	B1	B1	B1

表 5-23. EPWM1 信号说明

信号名称 [1]	引脚类型 [2]	说明 [3]	ZCZ C 引脚 [4]	ZCZ S 引脚 [4]	ZCZ F 引脚 [4]
EPWM1_A	O	EPWM 输出 A	D3	D3	D3
EPWM1_B	O	EPWM 输出 B	D2、E4	D2、E4	D2、E4

表 5-24. EPWM2 信号说明

信号名称 [1]	引脚类型 [2]	说明 [3]	ZCZ C 引脚 [4]	ZCZ S 引脚 [4]	ZCZ F 引脚 [4]
EPWM2_A	O	EPWM 输出 A	C2	C2	C2
EPWM2_B	O	EPWM 输出 B	C1	C1	C1

表 5-25. EPWM3 信号说明

信号名称 [1]	引脚类型 [2]	说明 [3]	ZCZ C 引脚 [4]	ZCZ S 引脚 [4]	ZCZ F 引脚 [4]
EPWM3_A	O	EPWM 输出 A	E2	E2	E2
EPWM3_B	O	EPWM 输出 B	E1、E3	E1、E3	E1、E3

表 5-26. EPWM4 信号说明

信号名称 [1]	引脚类型 [2]	说明 [3]	ZCZ C 引脚 [4]	ZCZ S 引脚 [4]	ZCZ F 引脚 [4]
EPWM4_A	O	EPWM 输出 A	D1	D1	D1
EPWM4_B	O	EPWM 输出 B	D2、E4	D2、E4	D2、E4

表 5-27. EPWM5 信号说明

信号名称 [1]	引脚类型 [2]	说明 [3]	ZCZ C 引脚 [4]	ZCZ S 引脚 [4]	ZCZ F 引脚 [4]
EPWM5_A	O	EPWM 输出 A	F2	F2	F2
EPWM5_B	O	EPWM 输出 B	F1、G2	F1、G2	F1、G2

表 5-28. EPWM6 信号说明

信号名称 [1]	引脚类型 [2]	说明 [3]	ZCZ C 引脚 [4]	ZCZ S 引脚 [4]	ZCZ F 引脚 [4]
EPWM6_A	O	EPWM 输出 A	E1、E3	E1、E3	E1、E3
EPWM6_B	O	EPWM 输出 B	F3	F3	F3

表 5-29. EPWM7 信号说明

信号名称 [1]	引脚类型 [2]	说明 [3]	ZCZ C 引脚 [4]	ZCZ S 引脚 [4]	ZCZ F 引脚 [4]
EPWM7_A	O	EPWM 输出 A	F4	F4	F4
EPWM7_B	O	EPWM 输出 B	F1、G4	F1、G4	F1、G4

表 5-30. EPWM8 信号说明

信号名称 [1]	引脚类型 [2]	说明 [3]	ZCZ C 引脚 [4]	ZCZ S 引脚 [4]	ZCZ F 引脚 [4]
EPWM8_A	O	EPWM 输出 A	G3	G3	G3
EPWM8_B	O	EPWM 输出 B	G2、H2	G2、H2	G2、H2

表 5-31. EPWM9 信号说明

信号名称 [1]	引脚类型 [2]	说明 [3]	ZCZ C 引脚 [4]	ZCZ S 引脚 [4]	ZCZ F 引脚 [4]
EPWM9_A	O	EPWM 输出 A	G1	G1	G1

表 5-31. EPWM9 信号说明 (续)

信号名称 [1]	引脚类型 [2]	说明 [3]	ZCZ C 引脚 [4]	ZCZ S 引脚 [4]	ZCZ F 引脚 [4]
EPWM9_B	O	EPWM 输出 B	H2、J2	H2、J2	H2、J2

表 5-32. EPWM10 信号说明

信号名称 [1]	引脚类型 [2]	说明 [3]	ZCZ C 引脚 [4]	ZCZ S 引脚 [4]	ZCZ F 引脚 [4]
EPWM10_A	O	EPWM 输出 A	G4、J4、L3	G4、J4、L3	G4、L3
EPWM10_B	O	EPWM 输出 B	J3、R3	J3、R3	R3

表 5-33. EPWM11 信号说明

信号名称 [1]	引脚类型 [2]	说明 [3]	ZCZ C 引脚 [4]	ZCZ S 引脚 [4]	ZCZ F 引脚 [4]
EPWM11_A	O	EPWM 输出 A	H1	H1	
EPWM11_B	O	EPWM 输出 B	J1、J2	J1、J2	J2

表 5-34. EPWM12 信号说明

信号名称 [1]	引脚类型 [2]	说明 [3]	ZCZ C 引脚 [4]	ZCZ S 引脚 [4]	ZCZ F 引脚 [4]
EPWM12_A	O	EPWM 输出 A	K2、N2	K2、N2	N2
EPWM12_B	O	EPWM 输出 B	J1、J4、N1	J1、J4、N1	N1

表 5-35. EPWM13 信号说明

信号名称 [1]	引脚类型 [2]	说明 [3]	ZCZ C 引脚 [4]	ZCZ S 引脚 [4]	ZCZ F 引脚 [4]
EPWM13_A	O	EPWM 输出 A	K4、N4	K4、N4	N4
EPWM13_B	O	EPWM 输出 B	K1、K3	K1、K3	K1

表 5-36. EPWM14 信号说明

信号名称 [1]	引脚类型 [2]	说明 [3]	ZCZ C 引脚 [4]	ZCZ S 引脚 [4]	ZCZ F 引脚 [4]
EPWM14_A	O	EPWM 输出 A	R17、V17	R17	R17
EPWM14_B	O	EPWM 输出 B	N18、T16	N18	N18

表 5-37. EPWM15 信号说明

信号名称 [1]	引脚类型 [2]	说明 [3]	ZCZ C 引脚 [4]	ZCZ S 引脚 [4]	ZCZ F 引脚 [4]
EPWM15_A	O	EPWM 输出 A	P15、P16	P16	P16
EPWM15_B	O	EPWM 输出 B	M18、P16、R16	M18、P16	M18、P16

表 5-38. EPWM16 信号说明

信号名称 [1]	引脚类型 [2]	说明 [3]	ZCZ C 引脚 [4]	ZCZ S 引脚 [4]	ZCZ F 引脚 [4]
EPWM16_A	O	EPWM 输出 A	B18、L3	B18、L3	B18、L3
EPWM16_B	O	EPWM 输出 B	B17、M3	B17、M3	B17、M3

表 5-39. EPWM17 信号说明

信号名称 [1]	引脚类型 [2]	说明 [3]	ZCZ C 引脚 [4]	ZCZ S 引脚 [4]	ZCZ F 引脚 [4]
EPWM17_A	O	EPWM 输出 A	B6	B6	B6
EPWM17_B	O	EPWM 输出 B	A4	A4	A4

表 5-40. EPWM18 信号说明

信号名称 [1]	引脚类型 [2]	说明 [3]	ZCZ C 引脚 [4]	ZCZ S 引脚 [4]	ZCZ F 引脚 [4]
EPWM18_A	O	EPWM 输出 A	B5	B5	B5

表 5-40. EPWM18 信号说明 (续)

信号名称 [1]	引脚类型 [2]	说明 [3]	ZCZ C 引脚 [4]	ZCZ S 引脚 [4]	ZCZ F 引脚 [4]
EPWM18_B	O	EPWM 输出 B	B4	B4	B4

表 5-41. EPWM19 信号说明

信号名称 [1]	引脚类型 [2]	说明 [3]	ZCZ C 引脚 [4]	ZCZ S 引脚 [4]	ZCZ F 引脚 [4]
EPWM19_A	O	EPWM 输出 A	A3	A3	A3
EPWM19_B	O	EPWM 输出 B	A2	A2	A2

表 5-42. EPWM20 信号说明

信号名称 [1]	引脚类型 [2]	说明 [3]	ZCZ C 引脚 [4]	ZCZ S 引脚 [4]	ZCZ F 引脚 [4]
EPWM20_A	O	EPWM 输出 A	C6	C6	C6
EPWM20_B	O	EPWM 输出 B	A5	A5	A5

表 5-43. EPWM21 信号说明

信号名称 [1]	引脚类型 [2]	说明 [3]	ZCZ C 引脚 [4]	ZCZ S 引脚 [4]	ZCZ F 引脚 [4]
EPWM21_A	O	EPWM 输出 A	L17	L17	L17
EPWM21_B	O	EPWM 输出 B	L18	L18	L18

表 5-44. EPWM22 信号说明

信号名称 [1]	引脚类型 [2]	说明 [3]	ZCZ C 引脚 [4]	ZCZ S 引脚 [4]	ZCZ F 引脚 [4]
EPWM22_A	O	EPWM 输出 A	G17	G17	G17
EPWM22_B	O	EPWM 输出 B	F17、G18	F17、G18	F17、G18

表 5-45. EPWM23 信号说明

信号名称 [1]	引脚类型 [2]	说明 [3]	ZCZ C 引脚 [4]	ZCZ S 引脚 [4]	ZCZ F 引脚 [4]
EPWM23_A	O	EPWM 输出 A	F18、G18	F18、G18	F18、G18
EPWM23_B	O	EPWM 输出 B	E18、G15	E18、G15	E18、G15

表 5-46. EPWM24 信号说明

信号名称 [1]	引脚类型 [2]	说明 [3]	ZCZ C 引脚 [4]	ZCZ S 引脚 [4]	ZCZ F 引脚 [4]
EPWM24_A	O	EPWM 输出 A	K15	K15	K15
EPWM24_B	O	EPWM 输出 B	K16	K16	K16

表 5-47. EPWM25 信号说明

信号名称 [1]	引脚类型 [2]	说明 [3]	ZCZ C 引脚 [4]	ZCZ S 引脚 [4]	ZCZ F 引脚 [4]
EPWM25_A	O	EPWM 输出 A	K17	K17	K17
EPWM25_B	O	EPWM 输出 B	K18	K18	K18

表 5-48. EPWM26 信号说明

信号名称 [1]	引脚类型 [2]	说明 [3]	ZCZ C 引脚 [4]	ZCZ S 引脚 [4]	ZCZ F 引脚 [4]
EPWM26_A	O	EPWM 输出 A	J18	J18	J18
EPWM26_B	O	EPWM 输出 B	J17	J17	J17

表 5-49. EPWM27 信号说明

信号名称 [1]	引脚类型 [2]	说明 [3]	ZCZ C 引脚 [4]	ZCZ S 引脚 [4]	ZCZ F 引脚 [4]
EPWM27_A	O	EPWM 输出 A	H18	H18	H18

表 5-49. EPWM27 信号说明 (续)

信号名称 [1]	引脚类型 [2]	说明 [3]	ZCZ C 引脚 [4]	ZCZ S 引脚 [4]	ZCZ F 引脚 [4]
EPWM27_B	O	EPWM 输出 B	H17、L16	H17、L16	H17、L16

表 5-50. EPWM28 信号说明

信号名称 [1]	引脚类型 [2]	说明 [3]	ZCZ C 引脚 [4]	ZCZ S 引脚 [4]	ZCZ F 引脚 [4]
EPWM28_A	O	EPWM 输出 A	M16	M16	M16
EPWM28_B	O	EPWM 输出 B	M15	M15	M15

表 5-51. EPWM29 信号说明

信号名称 [1]	引脚类型 [2]	说明 [3]	ZCZ C 引脚 [4]	ZCZ S 引脚 [4]	ZCZ F 引脚 [4]
EPWM29_A	O	EPWM 输出 A	G15、H17	G15、H17	G15、H17
EPWM29_B	O	EPWM 输出 B	H16	H16	H16

表 5-52. EPWM30 信号说明

信号名称 [1]	引脚类型 [2]	说明 [3]	ZCZ C 引脚 [4]	ZCZ S 引脚 [4]	ZCZ F 引脚 [4]
EPWM30_A	O	EPWM 输出 A	F15	F15	F15
EPWM30_B	O	EPWM 输出 B	C18	C18	C18

表 5-53. EPWM31 信号说明

信号名称 [1]	引脚类型 [2]	说明 [3]	ZCZ C 引脚 [4]	ZCZ S 引脚 [4]	ZCZ F 引脚 [4]
EPWM31_A	O	EPWM 输出 A	D17	D17	D17
EPWM31_B	O	EPWM 输出 B	D18	D18	D18

5.3.9 EQEP

表 5-54. EQEP0 信号说明

信号名称 [1]	引脚类型 [2]	说明 [3]	ZCZ C 引脚 [4]	ZCZ S 引脚 [4]	ZCZ F 引脚 [4]
EQEP0_A	I	EQEP 正交输入 A	B14、U18	B14	B14
EQEP0_B	I	EQEP 正交输入 B	A14、T18	A14	A14
EQEP0_INDEX	IO	EQEP 索引	D11、N18	D11、N18	D11、N18
EQEP0_STROBE	IO	EQEP 选通	C12、M18	C12、M18	C12、M18

表 5-55. EQEP1 信号说明

信号名称 [1]	引脚类型 [2]	说明 [3]	ZCZ C 引脚 [4]	ZCZ S 引脚 [4]	ZCZ F 引脚 [4]
EQEP1_A	I	EQEP 正交输入 A	D15、P16	D15、P16	D15、P16
EQEP1_B	I	EQEP 正交输入 B	C15、P17	C15	C15
EQEP1_INDEX	IO	EQEP 索引	N17、P2	P2	P2
EQEP1_STROBE	IO	EQEP 选通	B16、P18	B16	B16

表 5-56. EQEP2 信号说明

信号名称 [1]	引脚类型 [2]	说明 [3]	ZCZ C 引脚 [4]	ZCZ S 引脚 [4]	ZCZ F 引脚 [4]
EQEP2_A ⁽¹⁾	I	EQEP 正交输入 A	B13、R17	B13、R17	B13、R17
EQEP2_B ⁽²⁾	ID	EQEP 正交输入 B	A13、R18	A13	A13
EQEP2_INDEX	IO	EQEP 索引	A12、T17	A12	A12
EQEP2_STROBE	IO	EQEP 选通	B12、U17	B12	B12

(1) EQEP2_A 通过 I2C OD FS (开漏失效防护) 电压缓冲器实现。

(2) EQEP2_B 通过 I2C OD FS (开漏失效防护) 电压缓冲器实现。

5.3.10 FSI

表 5-57. FSIRX0 信号说明

信号名称 [1]	引脚类型 [2]	说明 [3]	ZCZ C 引脚 [4]	ZCZ S 引脚 [4]	ZCZ F 引脚 [4]
FSIRX0_CLK	I	FSI 时钟	A10、T17	A10	A10
FSIRX0_DATA0	I	FSI 数据 0	B10、U18	B10	B10
FSIRX0_DATA1	I	FSI 数据 1	D9、T18	D9	D9

表 5-58. FSIRX1 信号说明

信号名称 [1]	引脚类型 [2]	说明 [3]	ZCZ C 引脚 [4]	ZCZ S 引脚 [4]	ZCZ F 引脚 [4]
FSIRX1_CLK	I	FSI 时钟	E1、P17	E1	E1
FSIRX1_DATA0	I	FSI 数据 0	F3、P18	F3	F3
FSIRX1_DATA1	I	FSI 数据 1	F4、N17	F4	F4

表 5-59. FSIRX2 信号说明

信号名称 [1]	引脚类型 [2]	说明 [3]	ZCZ C 引脚 [4]	ZCZ S 引脚 [4]	ZCZ F 引脚 [4]
FSIRX2_CLK	I	FSI 时钟	G16、J2	G16、J2	G16、J2
FSIRX2_DATA0	I	FSI 数据 0	E17、G4	E17、G4	E17、G4
FSIRX2_DATA1	I	FSI 数据 1	E18、J3、R3	E18、J3、R3	E18、R3

表 5-60. FSIRX3 信号说明

信号名称 [1]	引脚类型 [2]	说明 [3]	ZCZ C 引脚 [4]	ZCZ S 引脚 [4]	ZCZ F 引脚 [4]
FSIRX3_CLK	I	FSI 时钟	B17	B17	B17
FSIRX3_DATA0	I	FSI 数据 0	D16	D16	D16
FSIRX3_DATA1	I	FSI 数据 1	C17	C17	C17

表 5-61. FSITX0 信号说明

信号名称 [1]	引脚类型 [2]	说明 [3]	ZCZ C 引脚 [4]	ZCZ S 引脚 [4]	ZCZ F 引脚 [4]
FSITX0_CLK	O	FSI 时钟	A11、R17	A11、R17	A11、R17
FSITX0_DATA0	O	FSI 数据 0	C10、R18	C10	C10
FSITX0_DATA1	O	FSI 数据 1	B11、U17	B11	B11

表 5-62. FSITX1 信号说明

信号名称 [1]	引脚类型 [2]	说明 [3]	ZCZ C 引脚 [4]	ZCZ S 引脚 [4]	ZCZ F 引脚 [4]
FSITX1_CLK	O	FSI 时钟	E4、N18	E4、N18	E4、N18
FSITX1_DATA0	O	FSI 数据 0	F2、M18	F2、M18	F2、M18
FSITX1_DATA1	O	FSI 数据 1	G2、P16	G2、P16	G2、P16

表 5-63. FSITX2 信号说明

信号名称 [1]	引脚类型 [2]	说明 [3]	ZCZ C 引脚 [4]	ZCZ S 引脚 [4]	ZCZ F 引脚 [4]
FSITX2_CLK	O	FSI 时钟	E16、G3	E16、G3	E16、G3
FSITX2_DATA0	O	FSI 数据 0	F16、H2	F16、H2	F16、H2
FSITX2_DATA1	O	FSI 数据 1	F18、G1	F18、G1	F18、G1

表 5-64. FSITX3 信号说明

信号名称 [1]	引脚类型 [2]	说明 [3]	ZCZ C 引脚 [4]	ZCZ S 引脚 [4]	ZCZ F 引脚 [4]
FSITX3_CLK	O	FSI 时钟	C16	C16	C16
FSITX3_DATA0	O	FSI 数据 0	A17	A17	A17

表 5-64. FSITX3 信号说明 (续)

信号名称 [1]	引脚类型 [2]	说明 [3]	ZCZ C 引脚 [4]	ZCZ S 引脚 [4]	ZCZ F 引脚 [4]
FSITX3_DATA1	O	FSI 数据 1	B18	B18	B18

5.3.11 GPIO

表 5-65. GPIO 信号说明

信号名称 [1]	引脚类型 [2]	说明 [3]	ZCZ C 引脚 [4]	ZCZ S 引脚 [4]	ZCZ F 引脚 [4]
GPIO0	IO	通用输入/输出	P1	P1	P1
GPIO1	IO	通用输入/输出	R3	R3	R3
GPIO2	IO	通用输入/输出	N2	N2	N2
GPIO3	IO	通用输入/输出	N1	N1	N1
GPIO4	IO	通用输入/输出	N4	N4	N4
GPIO5	IO	通用输入/输出	M4	M4	M4
GPIO6	IO	通用输入/输出	P3	P3	P3
GPIO7	IO	通用输入/输出	M1	M1	M1
GPIO8	IO	通用输入/输出	L1	L1	L1
GPIO9	IO	通用输入/输出	L2	L2	L2
GPIO10	IO	通用输入/输出	K1	K1	K1
GPIO11	IO	通用输入/输出	C11	C11	C11
GPIO12	IO	通用输入/输出	A11	A11	A11
GPIO13	IO	通用输入/输出	C10	C10	C10
GPIO14	IO	通用输入/输出	B11	B11	B11
GPIO15	IO	通用输入/输出	C9	C9	C9
GPIO16	IO	通用输入/输出	A10	A10	A10
GPIO17	IO	通用输入/输出	B10	B10	B10
GPIO18	IO	通用输入/输出	D9	D9	D9
GPIO19	IO	通用输入/输出	A9	A9	A9
GPIO100	IO	通用输入/输出	M15	M15	M15
GPIO101	IO	通用输入/输出	H17	H17	H17
GPIO102	IO	通用输入/输出	H16	H16	H16
GPIO103	IO	通用输入/输出	F15	F15	F15
GPIO104	IO	通用输入/输出	C18	C18	C18
GPIO105	IO	通用输入/输出	D17	D17	D17
GPIO106	IO	通用输入/输出	D18	D18	D18
GPIO107	IO	通用输入/输出	E16	E16	E16
GPIO108	IO	通用输入/输出	F16	F16	F16
GPIO109	IO	通用输入/输出	F18	F18	F18
GPIO110	IO	通用输入/输出	G16	G16	G16
GPIO111	IO	通用输入/输出	E17	E17	E17
GPIO112	IO	通用输入/输出	E18	E18	E18
GPIO113	IO	通用输入/输出	C16	C16	C16
GPIO114	IO	通用输入/输出	A17	A17	A17
GPIO115	IO	通用输入/输出	B18	B18	B18
GPIO116	IO	通用输入/输出	B17	B17	B17
GPIO117	IO	通用输入/输出	D16	D16	D16
GPIO118	IO	通用输入/输出	C17	C17	C17
GPIO119	IO	通用输入/输出	D15	D15	D15
GPIO120	IO	通用输入/输出	C15	C15	C15

表 5-65. GPIO 信号说明 (续)

信号名称 [1]	引脚类型 [2]	说明 [3]	ZCZ C 引脚 [4]	ZCZ S 引脚 [4]	ZCZ F 引脚 [4]
GPIO121	IO	通用输入/输出	P2	P2	P2
GPIO122	IO	通用输入/输出	B16	B16	B16
GPIO123	IO	通用输入/输出	D14	D14	D14
GPIO124	IO	通用输入/输出	A16	A16	A16
GPIO125	IO	通用输入/输出	D13	D13	D13
GPIO126	IO	通用输入/输出	B15	B15	B15
GPIO127	IO	通用输入/输出	C13	C13	C13
GPIO128	IO	通用输入/输出	A15	A15	A15
GPIO129	IO	通用输入/输出	C14	C14	C14
GPIO130	IO	通用输入/输出	B14	B14	B14
GPIO131	IO	通用输入/输出	A14	A14	A14
GPIO132	IO	通用输入/输出	C12	C12	C12
GPIO133	IO	通用输入/输出	D11	D11	D11
GPIO134 ⁽²⁾	IOD	通用输入/输出	B13	B13	B13
GPIO135 ⁽³⁾	IOD	通用输入/输出	A13	A13	A13
GPIO136	IO	通用输入/输出	B12	B12	B12
GPIO137	IO	通用输入/输出	A12	A12	A12
GPIO138	IO	通用输入/输出	M2	M2	M2
GPIO20	IO	通用输入/输出	B9	B9	B9
GPIO21	IO	通用输入/输出	B8	B8	B8
GPIO22	IO	通用输入/输出	A8	A8	A8
GPIO23	IO	通用输入/输出	D7	D7	D7
GPIO24	IO	通用输入/输出	C8	C8	C8
GPIO25	IO	通用输入/输出	C7	C7	C7
GPIO26	IO	通用输入/输出	B7	B7	B7
GPIO27	IO	通用输入/输出	A7	A7	A7
GPIO28	IO	通用输入/输出	A6	A6	A6
GPIO29	IO	通用输入/输出	R17	R17	R17
GPIO30 ⁽¹⁾	IO	通用输入/输出	R18		
GPIO31 ⁽¹⁾	IO	通用输入/输出	U17		
GPIO32 ⁽¹⁾	IO	通用输入/输出	T17		
GPIO33 ⁽¹⁾	IO	通用输入/输出	U18		
GPIO34 ⁽¹⁾	IO	通用输入/输出	T18		
GPIO35	IO	通用输入/输出	N18	N18	N18
GPIO36	IO	通用输入/输出	M18	M18	M18
GPIO37	IO	通用输入/输出	P16	P16	P16
GPIO38 ⁽¹⁾	IO	通用输入/输出	P17		
GPIO39 ⁽¹⁾	IO	通用输入/输出	P18		
GPIO40 ⁽¹⁾	IO	通用输入/输出	N17		
GPIO41	IO	通用输入/输出	N16	N16	N16
GPIO42	IO	通用输入/输出	M17	M17	M17
GPIO43	IO	通用输入/输出	B2	B2	B2
GPIO44	IO	通用输入/输出	B1	B1	B1
GPIO45	IO	通用输入/输出	D3	D3	D3
GPIO46	IO	通用输入/输出	D2	D2	D2
GPIO47	IO	通用输入/输出	C2	C2	C2

表 5-65. GPIO 信号说明 (续)

信号名称 [1]	引脚类型 [2]	说明 [3]	ZCZ C 引脚 [4]	ZCZ S 引脚 [4]	ZCZ F 引脚 [4]
GPIO48	IO	通用输入/输出	C1	C1	C1
GPIO49	IO	通用输入/输出	E2	E2	E2
GPIO50	IO	通用输入/输出	E3	E3	E3
GPIO51	IO	通用输入/输出	D1	D1	D1
GPIO52	IO	通用输入/输出	E4	E4	E4
GPIO53	IO	通用输入/输出	F2	F2	F2
GPIO54	IO	通用输入/输出	G2	G2	G2
GPIO55	IO	通用输入/输出	E1	E1	E1
GPIO56	IO	通用输入/输出	F3	F3	F3
GPIO57	IO	通用输入/输出	F4	F4	F4
GPIO58	IO	通用输入/输出	F1	F1	F1
GPIO59	IO	通用输入/输出	G3	G3	G3
GPIO60	IO	通用输入/输出	H2	H2	H2
GPIO61	IO	通用输入/输出	G1	G1	G1
GPIO62	IO	通用输入/输出	J2	J2	J2
GPIO63	IO	通用输入/输出	G4	G4	G4
GPIO64	IO	通用输入/输出	J3	J3	J3
GPIO65	IO	通用输入/输出	H1	H1	H1
GPIO66	IO	通用输入/输出	J1	J1	J1
GPIO67	IO	通用输入/输出	K2	K2	K2
GPIO68	IO	通用输入/输出	J4	J4	J4
GPIO69	IO	通用输入/输出	K4	K4	K4
GPIO70	IO	通用输入/输出	K3	K3	K3
GPIO71 ⁽¹⁾	IO	通用输入/输出	V17		
GPIO72 ⁽¹⁾	IO	通用输入/输出	T16		
GPIO73 ⁽¹⁾	IO	通用输入/输出	P15		
GPIO74 ⁽¹⁾	IO	通用输入/输出	R16		
GPIO75	IO	通用输入/输出	L3	L3	L3
GPIO76	IO	通用输入/输出	M3	M3	M3
GPIO77	IO	通用输入/输出	B6	B6	B6
GPIO78	IO	通用输入/输出	A4	A4	A4
GPIO79	IO	通用输入/输出	B5	B5	B5
GPIO80	IO	通用输入/输出	B4	B4	B4
GPIO81	IO	通用输入/输出	A3	A3	A3
GPIO82	IO	通用输入/输出	A2	A2	A2
GPIO83	IO	通用输入/输出	C6	C6	C6
GPIO84	IO	通用输入/输出	A5	A5	A5
GPIO85	IO	通用输入/输出	L17	L17	L17
GPIO86	IO	通用输入/输出	L18	L18	L18
GPIO87	IO	通用输入/输出	G17	G17	G17
GPIO88	IO	通用输入/输出	F17	F17	F17
GPIO89	IO	通用输入/输出	G18	G18	G18
GPIO90	IO	通用输入/输出	G15	G15	G15
GPIO91	IO	通用输入/输出	K15	K15	K15
GPIO92	IO	通用输入/输出	K16	K16	K16
GPIO93	IO	通用输入/输出	K17	K17	K17

表 5-65. GPIO 信号说明 (续)

信号名称 [1]	引脚类型 [2]	说明 [3]	ZCZ C 引脚 [4]	ZCZ S 引脚 [4]	ZCZ F 引脚 [4]
GPIO94	IO	通用输入/输出	K18	K18	K18
GPIO95	IO	通用输入/输出	J18	J18	J18
GPIO96	IO	通用输入/输出	J17	J17	J17
GPIO97	IO	通用输入/输出	H18	H18	H18
GPIO98	IO	通用输入/输出	L16	L16	L16
GPIO99	IO	通用输入/输出	M16	M16	M16

- (1) 仅 ZCZ_C 封装选项支持此引脚
- (2) GPIO134 通过 I2C OD FS (开漏失效防护) 电压缓冲器实现。
- (3) GPIO135 通过 I2C OD FS (开漏失效防护) 电压缓冲器实现。

5.3.12 I2C

表 5-66. I2C0 信号说明

信号名称 [1]	引脚类型 [2]	说明 [3]	ZCZ C 引脚 [4]	ZCZ S 引脚 [4]	ZCZ F 引脚 [4]
I2C0_SCL (2)	IOD	I2C 时钟	A13	A13	A13
I2C0_SDA (1)	IOD	I2C 数据	B13	B13	B13

- (1) I2C0_SDA 通过 I2C OD FS (开漏失效防护) 电压缓冲器实现。
- (2) I2C0_SCL 通过 I2C OD FS (开漏失效防护) 电压缓冲器实现。

表 5-67. I2C1 信号说明

信号名称 [1]	引脚类型 [2]	说明 [3]	ZCZ C 引脚 [4]	ZCZ S 引脚 [4]	ZCZ F 引脚 [4]
I2C1_SCL (1)	IO	I2C 时钟	B5、D7	B5、D7	B5、D7
I2C1_SDA (2)	IO	I2C 数据	A3、C8	A3、C8	A3、C8

- (1) I2C1_SCL 由典型 LVCMOS 电压缓冲器实现，并且应该被适当配置为用作输入/输出开漏信号类型。
- (2) I2C1_SDA 由典型 LVCMOS 电压缓冲器实现，并且应该被适当配置为用作输入/输出开漏信号类型。

表 5-68. I2C2 信号说明

信号名称 [1]	引脚类型 [2]	说明 [3]	ZCZ C 引脚 [4]	ZCZ S 引脚 [4]	ZCZ F 引脚 [4]
I2C2_SCL (1)	IO	I2C 时钟	C6、C7	C6、C7	C6、C7
I2C2_SDA (2)	IO	I2C 数据	A5、B7	A5、B7	A5、B7

- (1) I2C2_SCL 由典型 LVCMOS 电压缓冲器实现，并且应该被适当配置为用作输入/输出开漏信号类型。
- (2) I2C2_SDA 由典型 LVCMOS 电压缓冲器实现，并且应该被适当配置为用作输入/输出开漏信号类型。

表 5-69. I2C3 信号说明

信号名称 [1]	引脚类型 [2]	说明 [3]	ZCZ C 引脚 [4]	ZCZ S 引脚 [4]	ZCZ F 引脚 [4]
I2C3_SCL (2)	IO	I2C 时钟	B15、H2	B15、H2	B15、H2
I2C3_SDA (1)	IO	I2C 数据	A16、G3	A16、G3	A16、G3

- (1) I2C3_SDA 由典型 LVCMOS 电压缓冲器实现，并且应该被适当配置为用作输入/输出开漏信号类型。
- (2) I2C3_SCL 由典型 LVCMOS 电压缓冲器实现，并且应该被适当配置为用作输入/输出开漏信号类型。

备注

通过将 I2C 模块配置为提供恒定低电平输出并切换输出使能，在 LVCMOS 电压缓冲器引脚上实现的 I2C 信号可以配置为开漏输出。输出缓冲器在启用时驱动为低电平，在禁用时驱动为高阻抗。

(I2C OD FS) 是唯一具有失效防护功能的 IO 电压缓冲器。这些只用于 I2C0 引脚。其他 IO 不允许施加任何大于 (VDD + 0.3V) 的电势。这意味着当电源关断时，您不能为这些引脚提供任何电势。所有可为这些 IO 提供电势的连接器件都必须由同一个为各自 IO 电源轨供电的电源供电。

5.3.13 LIN

表 5-70. LIN0 信号说明

信号名称 [1]	引脚类型 [2]	说明 [3]	ZCZ C 引脚 [4]	ZCZ S 引脚 [4]	ZCZ F 引脚 [4]
LIN0_RXD	IO	LIN 接收数据	A7、B6	A7、B6	A7、B6
LIN0_TXD	IO	LIN 发送数据	A4、A6	A4、A6	A4、A6

表 5-71. LIN1 信号说明

信号名称 [1]	引脚类型 [2]	说明 [3]	ZCZ C 引脚 [4]	ZCZ S 引脚 [4]	ZCZ F 引脚 [4]
LIN1_RXD	IO	LIN 接收数据	A9、L3	A9、L3	A9、L3
LIN1_TXD	IO	LIN 发送数据	B9、M3	B9、M3	B9、M3

表 5-72. LIN2 信号说明

信号名称 [1]	引脚类型 [2]	说明 [3]	ZCZ C 引脚 [4]	ZCZ S 引脚 [4]	ZCZ F 引脚 [4]
LIN2_RXD	IO	LIN 接收数据	B8	B8	B8
LIN2_TXD	IO	LIN 发送数据	A8	A8	A8

表 5-73. LIN3 信号说明

信号名称 [1]	引脚类型 [2]	说明 [3]	ZCZ C 引脚 [4]	ZCZ S 引脚 [4]	ZCZ F 引脚 [4]
LIN3_RXD	IO	LIN 接收数据	C11	C11	C11
LIN3_TXD	IO	LIN 发送数据	A11	A11	A11

表 5-74. LIN4 信号说明

信号名称 [1]	引脚类型 [2]	说明 [3]	ZCZ C 引脚 [4]	ZCZ S 引脚 [4]	ZCZ F 引脚 [4]
LIN4_RXD	IO	LIN 接收数据	A10、D11	A10、D11	A10、D11
LIN4_TXD	IO	LIN 发送数据	C12、C9	C12、C9	C12、C9

5.3.14 MCAN

表 5-75. MCAN0 信号说明

信号名称 [1]	引脚类型 [2]	说明 [3]	ZCZ C 引脚 [4]	ZCZ S 引脚 [4]	ZCZ F 引脚 [4]
MCAN0_RX	I	MCAN 接收数据	B6、E16、M1	B6、E16、M1	B6、E16
MCAN0_TX	O	MCAN 发送数据	A4、F16、L1	A4、F16、L1	A4、F16

表 5-76. MCAN1 信号说明

信号名称 [1]	引脚类型 [2]	说明 [3]	ZCZ C 引脚 [4]	ZCZ S 引脚 [4]	ZCZ F 引脚 [4]
MCAN1_RX	I	MCAN 接收数据	B5、F18、L2	B5、F18、L2	B5、F18
MCAN1_TX	O	MCAN 发送数据	B4、G16、K1	B4、G16、K1	B4、G16、K1

表 5-77. MCAN2 信号说明

信号名称 [1]	引脚类型 [2]	说明 [3]	ZCZ C 引脚 [4]	ZCZ S 引脚 [4]	ZCZ F 引脚 [4]
MCAN2_RX	I	MCAN 接收数据	A12	A12	A12
MCAN2_TX	O	MCAN 发送数据	B12	B12	B12

表 5-78. MCAN3 信号说明

信号名称 [1]	引脚类型 [2]	说明 [3]	ZCZ C 引脚 [4]	ZCZ S 引脚 [4]	ZCZ F 引脚 [4]
MCAN3_RX	I	MCAN 接收数据	B7、C14	B7、C14	B7、C14
MCAN3_TX	O	MCAN 发送数据	A15、C7	A15、C7	A15、C7

表 5-79. MCAN4 信号说明

信号名称 [1]	引脚类型 [2]	说明 [3]	ZCZ C 引脚 [4]	ZCZ S 引脚 [4]	ZCZ F 引脚 [4]
MCAN4_RX	I	MCAN 接收数据	A3、E17、G1	A3、E17、G1	A3、E17、G1
MCAN4_TX	O	MCAN 发送数据	A2、E18、J2	A2、E18、J2	A2、E18、J2

表 5-80. MCAN5 信号说明

信号名称 [1]	引脚类型 [2]	说明 [3]	ZCZ C 引脚 [4]	ZCZ S 引脚 [4]	ZCZ F 引脚 [4]
MCAN5_RX	I	MCAN 接收数据	C16、C6、G4	C16、C6、G4	C16、C6、G4
MCAN5_TX	O	MCAN 发送数据	A17、A5、J3、R3	A17、A5、J3、R3	A17、A5、R3

表 5-81. MCAN6 信号说明

信号名称 [1]	引脚类型 [2]	说明 [3]	ZCZ C 引脚 [4]	ZCZ S 引脚 [4]	ZCZ F 引脚 [4]
MCAN6_RX	I	MCAN 接收数据	B18、H1、V17	B18、H1	B18
MCAN6_TX	O	MCAN 发送数据	B17、J1、T16	B17、J1	B17

表 5-82. MCAN7 信号说明

信号名称 [1]	引脚类型 [2]	说明 [3]	ZCZ C 引脚 [4]	ZCZ S 引脚 [4]	ZCZ F 引脚 [4]
MCAN7_RX	I	MCAN 接收数据	D16、K2、N2、P15	D16、K2、N2	D16、N2
MCAN7_TX	O	MCAN 发送数据	C17、J4、N1、R16	C17、J4、N1	C17、N1

5.3.15 SPI (MCSPi)

表 5-83. SPI0 信号说明

信号名称 [1]	引脚类型 [2]	说明 [3]	ZCZ C 引脚 [4]	ZCZ S 引脚 [4]	ZCZ F 引脚 [4]
SPI0_CLK ⁽¹⁾	IO	SPI 时钟 (SOP2)	A11	A11	A11
SPI0_CS0	IO	SPI 片选 0	C11	C11	C11
SPI0_CS1	IO	SPI 片选 1	B7	B7	B7
SPI0_D0 ⁽²⁾	IO	SPI 数据 0 (SOP3)	C10	C10	C10
SPI0_D1	IO	SPI 数据 1	B11	B11	B11

- (1) SPI0_CLK 引脚也用作 SOP2 引导模式配置引脚。
(2) SPI0_D0 引脚也用作 SOP3 引导模式配置引脚。

表 5-84. SPI1 信号说明

信号名称 [1]	引脚类型 [2]	说明 [3]	ZCZ C 引脚 [4]	ZCZ S 引脚 [4]	ZCZ F 引脚 [4]
SPI1_CLK	IO	SPI 时钟	A10	A10	A10
SPI1_CS0	IO	SPI 片选 0	C9	C9	C9
SPI1_D0	IO	SPI 数据 0	B10	B10	B10
SPI1_D1	IO	SPI 数据 1	D9	D9	D9

表 5-85. SPI2 信号说明

信号名称 [1]	引脚类型 [2]	说明 [3]	ZCZ C 引脚 [4]	ZCZ S 引脚 [4]	ZCZ F 引脚 [4]
SPI2_CLK	IO	SPI 时钟	B9	B9	B9
SPI2_CS0	IO	SPI 片选 0	A9	A9	A9
SPI2_D0	IO	SPI 数据 0	B8	B8	B8
SPI2_D1	IO	SPI 数据 1	A8	A8	A8

表 5-86. SPI3 信号说明

信号名称 [1]	引脚类型 [2]	说明 [3]	ZCZ C 引脚 [4]	ZCZ S 引脚 [4]	ZCZ F 引脚 [4]
SPI3_CLK	IO	SPI 时钟	C8	C8	C8
SPI3_CS0	IO	SPI 片选 0	D7	D7	D7
SPI3_D0	IO	SPI 数据 0	C7	C7	C7
SPI3_D1	IO	SPI 数据 1	B7	B7	B7

表 5-87. SPI4 信号说明

信号名称 [1]	引脚类型 [2]	说明 [3]	ZCZ C 引脚 [4]	ZCZ S 引脚 [4]	ZCZ F 引脚 [4]
SPI4_CLK	IO	SPI 时钟	B14、L1	B14、L1	B14
SPI4_CS0	IO	SPI 片选 0	A14、M1	A14、M1	A14
SPI4_CS1	IO	SPI 片选 1	K2、R3	K2、R3	R3
SPI4_D0	IO	SPI 数据 0	C12、L2	C12、L2	C12
SPI4_D1	IO	SPI 数据 1	D11、K1	D11、K1	D11、K1

表 5-88. SPI5 信号说明

信号名称 [1]	引脚类型 [2]	说明 [3]	ZCZ C 引脚 [4]	ZCZ S 引脚 [4]	ZCZ F 引脚 [4]
SPI5_CLK	IO	SPI 时钟	C18、G2	C18、G2	C18、G2
SPI5_CS0	IO	SPI 片选 0	F15、F2	F15、F2	F15、F2
SPI5_D0	IO	SPI 数据 0	D17、E1	D17、E1	D17、E1
SPI5_D1	IO	SPI 数据 1	D18、F3	D18、F3	D18、F3

表 5-89. SPI6 信号说明

信号名称 [1]	引脚类型 [2]	说明 [3]	ZCZ C 引脚 [4]	ZCZ S 引脚 [4]	ZCZ F 引脚 [4]
SPI6_CLK	IO	SPI 时钟	B17、F1	B17、F1	B17、F1
SPI6_CS0	IO	SPI 片选 0	B18、F4	B18、F4	B18、F4
SPI6_D0	IO	SPI 数据 0	D16、G3	D16、G3	D16、G3
SPI6_D1	IO	SPI 数据 1	C17、H2	C17、H2	C17、H2

表 5-90. SPI7 信号说明

信号名称 [1]	引脚类型 [2]	说明 [3]	ZCZ C 引脚 [4]	ZCZ S 引脚 [4]	ZCZ F 引脚 [4]
SPI7_CLK	IO	SPI 时钟	J2、K4、N1	J2、K4、N1	J2、N1
SPI7_CS0	IO	SPI 片选 0	G1、J4、N2	G1、J4、N2	G1、N2
SPI7_D0	IO	SPI 数据 0	G4、K3、N4	G4、K3、N4	G4、N4
SPI7_D1	IO	SPI 数据 1	J3、K1、V17	J3、K1	K1

5.3.16 MMC

表 5-91. MMC0 信号说明

信号名称 [1]	引脚类型 [2]	说明 [3]	ZCZ C 引脚 [4]	ZCZ S 引脚 [4]	ZCZ F 引脚 [4]
MMC0_CD	I	MMC/SD 卡检测	A5	A5	A5
MMC0_CLK	IO	MMC/SD 时钟	B6	B6	B6
MMC0_CMD	IO	MMC/SD 命令	A4	A4	A4
MMC0_WP	I	MMC/SD 写保护	C6	C6	C6
MMC0_D0	IO	MMC/SD 数据	B5	B5	B5
MMC0_D1	IO	MMC/SD 数据	B4	B4	B4
MMC0_D2	IO	MMC/SD 数据	A3	A3	A3
MMC0_D3	IO	MMC/SD 数据	A2	A2	A2

5.3.17 OSPI (共享)

表 5-92. OSPI0 信号说明

信号名称 [1]	引脚类型 [2]	说明 [3]	ZCZ C 引脚 [4]	ZCZ S 引脚 [4]	ZCZ F 引脚 [4]
OSPI0_CLK	O	OSPI 时钟	L2、N2	L2、N2	L2
OSPI0_CLKLB ⁽²⁾	IO	OSPI 时钟环回	LB	LB	LB
OSPI0_DQS	I	OSPI 数据选通 (DQS) 或环回时钟输入	M1、M3	M1、M3	M1
OSPI0_ECC_FAIL	I	OSPI ECC 故障状态引脚	A9、H1、K3	A9、H1、K3	K3
OSPI0_LBCLKO ⁽¹⁾	O	OSPI 环回时钟输出	L3	L3	
OSPI0_CSn0	O	OSPI 片选 0	H1、P1	H1、P1	H1
OSPI0_CSn1	O	OSPI 片选 1	R3	R3	
OSPI0_D0	IO	OSPI 数据位 0 (SOP0)	N1、P1	N1、P1	P1
OSPI0_D1	IO	OSPI 数据位 1 (SOP1)	J1、N4	J1、N4	J1
OSPI0_D2	IO	OSPI 数据位 2	L1、M4	L1、M4	L1
OSPI0_D3	IO	OSPI 数据位 3	K4、P3	K4、P3	K4
OSPI0_D4	IO	OSPI 数据位 4	M1、P3	M1、P3	P3
OSPI0_D5	IO	OSPI 数据位 5	K2、L1	K2、L1	K2
OSPI0_D6	IO	OSPI 数据位 6	L2、M4	L2、M4	M4
OSPI0_D7	IO	OSPI 数据位 7	J4、K1	J4、K1	J4
OSPI0_RESET_OUT0	O	OSPI 复位输出 0	B9、J1、J3	B9、J1、J3	J3
OSPI0_RESET_OUT1	O	OSPI 复位输出 1	A9、H1	A9、H1	

- (1) OSPI0_LBCLKO 是用于外设时序的时钟环回输出信号。
(2) OSPI0_CLKLB 是一个在内部用于重定时的时钟环回信号。

5.3.18 电源

表 5-93. 电源信号说明

信号名称 [1]	引脚类型 [2]	说明 [3]	ZCZ C 引脚 [4]	ZCZ S 引脚 [4]	ZCZ F 引脚 [4]
VDD	PWR	1.2V 内核电源	E11、E9、 F11、F9、 G13、G14、 G5、G6、 K13、K14、 K5、K6、N13、 N14、N5、 N6、R9	E11、E9、 F11、F9、 G13、G14、 G5、G6、 K13、K14、 K5、K6、N13、 N14、N5、 N6、R9	E11、E9、 F11、F9、 G13、G14、 G5、G6、 K13、K14、 K5、K6、N13、 N14、N5、 N6、R9
VDDA18	PWR	1.8V 模拟电源	R11、R8	R11、R8	R11、R8
VDDA18_LDO ⁽¹⁾⁽²⁾	PWR	1.8V 模拟 LDO 输出	R6	R6	R6
VDDA18_OSC_PLL	PWR	1.8V OSC PLL 电源	R4	R4	R4
VDDA33	PWR	3.3V 模拟电源	P11、P7、P9	P11、P7、P9	P11、P7、P9
VDDAR1	PWR	1.2V SRAM 阵列电源	J15	J15	J15
VDDAR2	PWR	1.2V SRAM 阵列电源	D10	D10	D10
VDDAR3	PWR	1.2V SRAM 阵列电源	H3	H3	H3
VDDS18	PWR	1.8V IO 电源	D6、E15、L4、 N15	D6、E15、L4、 N15	D6、E15、L4、 N15
VDDS18_LDO ⁽¹⁾⁽³⁾	PWR	1.8V 数字 LDO 输出	T3	T3	T3
VDDS33	PWR	3.3V IO 电源	D12、D8、 H15、H4、 L15、P4、R15	D12、D8、 H15、H4、 L15、P4、R15	D12、D8、 H15、H4、 L15、P4、R15
VPP	PWR	电子保险丝 ROM 编程电源	N3	N3	N3

表 5-93. 电源信号说明 (续)

信号名称 [1]	引脚类型 [2]	说明 [3]	ZCZ C 引脚 [4]	ZCZ S 引脚 [4]	ZCZ F 引脚 [4]
VSS	GND	地	A1、A18、E10、E12、E13、E14、E5、E6、E7、E8、F10、F12、F13、F14、F5、F6、F7、F8、G10、G11、G12、G7、G8、G9、H10、H11、H12、H13、H14、H5、H6、H7、H8、H9、J10、J11、J12、J13、J14、J5、J6、J7、J8、J9、K10、K11、K12、K7、K8、K9、L10、L11、L12、L13、L14、L5、L6、L7、L8、L9、M10、M11、M12、M13、M14、M5、M6、M7、M8、M9、N10、N11、N12、N7、N8、N9、P13、P14、P5、T2、V18	A1、A18、E10、E12、E13、E14、E5、E6、E7、E8、F10、F12、F13、F14、F5、F6、F7、F8、G10、G11、G12、G7、G8、G9、H10、H11、H12、H13、H14、H5、H6、H7、H8、H9、J10、J11、J12、J13、J14、J5、J6、J7、J8、J9、K10、K11、K12、K7、K8、K9、L10、L11、L12、L13、L14、L5、L6、L7、L8、L9、M10、M11、M12、M13、M14、M5、M6、M7、M8、M9、N10、N11、N12、N7、N8、N9、P13、P14、P5、T2	A1、A18、E10、E12、E13、E14、E5、E6、E7、E8、F10、F12、F13、F14、F5、F6、F7、F8、G10、G11、G12、G7、G8、G9、H10、H11、H12、H13、H14、H5、H6、H7、H8、H9、J10、J11、J12、J13、J14、J5、J6、J7、J8、J9、K10、K11、K12、K7、K8、K9、L10、L11、L12、L13、L14、L5、L6、L7、L8、L9、M10、M11、M12、M13、M14、M5、M6、M7、M8、M9、N10、N11、N12、N7、N8、N9、P13、P14、P5、T2
VSSA	AGND	模拟地	P10、P12、P6、P8、R13、R5、V1、V16	P10、P12、P6、P8、R13、R5、V1、V18	P10、P12、P6、P8、R13、R5、V1、V18

- (1) 有关连接此引脚的详细信息，请参阅 *布局指南* 部分。
- (2) PCB 应将 VDDA18_LDO 直接连接到所有 VDDA18 引脚和 VDDA_OSC_PLL 引脚。
- (3) PCB 应将 VDDS18_LDO 直接连接到所有 VDDS18 引脚。

5.3.19 PRU-ICSS

表 5-94. PRU-ICSS ECAP 信号说明

信号名称 [1]	引脚类型 [2]	说明 [3]	ZCZ C 引脚 [4]	ZCZ S 引脚 [4]	ZCZ F 引脚 [4]
PR0_ECAP0_APWM_OUT	O	PRU-ICSS 增强型捕获 (ECAP) 输入或 ECAP 辅助 PWM (APWM) 输出	D14	D14	D14

表 5-95. PRU-ICSS GPIO 信号说明

信号名称 [1]	引脚类型 [2]	说明 [3]	ZCZ C 引脚 [4]	ZCZ S 引脚 [4]	ZCZ F 引脚 [4]
PR0_PRU0_GPIO0	IO	PRU0 通用输入/输出	K17	K17	K17
PR0_PRU0_GPIO1	IO	PRU0 通用输入/输出	K18	K18	K18
PR0_PRU0_GPIO2	IO	PRU0 通用输入/输出	J18	J18	J18
PR0_PRU0_GPIO3	IO	PRU0 通用输入/输出	J17	J17	J17
PR0_PRU0_GPIO4	IO	PRU0 通用输入/输出	K16	K16	K16
PR0_PRU0_GPIO5	IO	PRU0 通用输入/输出	G17	G17	G17
PR0_PRU0_GPIO6	IO	PRU0 通用输入/输出	K15	K15	K15
PR0_PRU0_GPIO8	IO	PRU0 通用输入/输出	G15	G15	G15
PR0_PRU0_GPIO9	IO	PRU0 通用输入/输出	F17	F17	F17

表 5-95. PRU-ICSS GPIO 信号说明 (续)

信号名称 [1]	引脚类型 [2]	说明 [3]	ZCZ C 引脚 [4]	ZCZ S 引脚 [4]	ZCZ F 引脚 [4]
PR0_PRU0_GPIO10	IO	PRU0 通用输入/输出	G18	G18	G18
PR0_PRU0_GPIO11	IO	PRU0 通用输入/输出	M16	M16	M16
PR0_PRU0_GPIO12	IO	PRU0 通用输入/输出	M15	M15	M15
PR0_PRU0_GPIO13	IO	PRU0 通用输入/输出	H17	H17	H17
PR0_PRU0_GPIO14	IO	PRU0 通用输入/输出	H16	H16	H16
PR0_PRU0_GPIO15	IO	PRU0 通用输入/输出	L16	L16	L16
PR0_PRU0_GPIO16	IO	PRU0 通用输入/输出	H18	H18	H18
PR0_PRU1_GPIO0	IO	PRU1 通用输入/输出	F18	F18	F18
PR0_PRU1_GPIO1	IO	PRU1 通用输入/输出	G16	G16	G16
PR0_PRU1_GPIO2	IO	PRU1 通用输入/输出	E17	E17	E17
PR0_PRU1_GPIO3	IO	PRU1 通用输入/输出	E18	E18	E18
PR0_PRU1_GPIO4	IO	PRU1 通用输入/输出	F16	F16	F16
PR0_PRU1_GPIO5	IO	PRU1 通用输入/输出	F15	F15	F15
PR0_PRU1_GPIO6	IO	PRU1 通用输入/输出	E16	E16	E16
PR0_PRU1_GPIO7	IO	PRU1 通用输入/输出	A16	A16	A16
PR0_PRU1_GPIO8	IO	PRU1 通用输入/输出	D18	D18	D18
PR0_PRU1_GPIO9	IO	PRU1 通用输入/输出	C18	C18	C18
PR0_PRU1_GPIO10	IO	PRU1 通用输入/输出	D17	D17	D17
PR0_PRU1_GPIO11	IO	PRU1 通用输入/输出	B18	B18	B18
PR0_PRU1_GPIO12	IO	PRU1 通用输入/输出	B17	B17	B17
PR0_PRU1_GPIO13	IO	PRU1 通用输入/输出	D16	D16	D16
PR0_PRU1_GPIO14	IO	PRU1 通用输入/输出	C17	C17	C17
PR0_PRU1_GPIO15	IO	PRU1 通用输入/输出	A17	A17	A17
PR0_PRU1_GPIO16	IO	PRU1 通用输入/输出	C16	C16	C16
PR0_PRU1_GPIO17	IO	PRU1 通用输入/输出	D13	D13	D13
PR0_PRU1_GPIO18	IO	PRU1 通用输入/输出	C15	C15	C15
PR0_PRU1_GPIO19	IO	PRU1 通用输入/输出	D15	D15	D15

表 5-96. PRU-ICSS IEP 信号说明

信号名称 [1]	引脚类型 [2]	说明 [3]	ZCZ C 引脚 [4]	ZCZ S 引脚 [4]	ZCZ F 引脚 [4]
PR0_IEP0_EDC_SYNC_OUT0	O	PRU-ICSS 工业以太网分布式时钟同步输出	D15	D15	D15
PR0_IEP0_EDC_SYNC_OUT1	O	PRU-ICSS 工业以太网分布式时钟同步输出	A16	A16	A16
PR0_IEP0_EDIO_DATA_IN_0 UT30	IO	PRU-ICSS 工业以太网数字 I/O 数据输入/输出	D13	D13	D13
PR0_IEP0_EDIO_DATA_IN_0 UT31	IO	PRU-ICSS 工业以太网数字 I/O 数据输入/输出	C15	C15	C15

表 5-97. PRU-ICSS MDIO 信号说明

信号名称 [1]	引脚类型 [2]	说明 [3]	ZCZ C 引脚 [4]	ZCZ S 引脚 [4]	ZCZ F 引脚 [4]
PR0_MDIO0_MDC	O	PRU-ICSS MDIO 时钟	L18	L18	L18
PR0_MDIO0_MDIO	IO	PRU-ICSS MDIO 数据	L17	L17	L17

表 5-98. PRU-ICSS UART 信号说明

信号名称 [1]	引脚类型 [2]	说明 [3]	ZCZ C 引脚 [4]	ZCZ S 引脚 [4]	ZCZ F 引脚 [4]
PR0_UART0_CTSn	I	PRU-ICSS UART 允许发送 (低电平有效)	F17	F17	F17
PR0_UART0_RTSn	O	PRU-ICSS UART 请求发送 (低电平有效)	G18	G18	G18
PR0_UART0_RXD	I	PRU-ICSS UART 接收数据	C18	C18	C18

表 5-98. PRU-ICSS UART 信号说明 (续)

信号名称 [1]	引脚类型 [2]	说明 [3]	ZCZ C 引脚 [4]	ZCZ S 引脚 [4]	ZCZ F 引脚 [4]
PRU_UART0_TXD	O	PRU-ICSS UART 发送数据	D17	D17	D17

5.3.20 SDFM

表 5-99. SDFM0 信号说明

信号名称 [1]	引脚类型 [2]	说明 [3]	ZCZ C 引脚 [4]	ZCZ S 引脚 [4]	ZCZ F 引脚 [4]
SDFM0_CLK0	I	SDFM 通道 0 时钟	B16	B16	B16
SDFM0_CLK1	I	SDFM 通道 1 时钟	A16	A16	A16
SDFM0_CLK2	I	SDFM 通道 2 时钟	B15	B15	B15
SDFM0_CLK3	I	SDFM 通道 3 时钟	A15	A15	A15
SDFM0_D0	I	SDFM 通道 0 数据	D14	D14	D14
SDFM0_D1	I	SDFM 通道 1 数据	D13	D13	D13
SDFM0_D2	I	SDFM 通道 2 数据	C13	C13	C13
SDFM0_D3	I	SDFM 通道 3 数据	C14	C14	C14

表 5-100. SDFM1 信号说明

信号名称 [1]	引脚类型 [2]	说明 [3]	ZCZ C 引脚 [4]	ZCZ S 引脚 [4]	ZCZ F 引脚 [4]
SDFM1_CLK0	I	SDFM 通道 0 时钟	B14、B6	B14、B6	B14、B6
SDFM1_CLK1	I	SDFM 通道 1 时钟	B5、C12	B5、C12	B5、C12
SDFM1_CLK2 (1)	I	SDFM 通道 2 时钟	A3、B13	A3、B13	A3、B13
SDFM1_CLK3 (2)	ID	SDFM 通道 3 时钟	A13、C6	A13、C6	A13、C6
SDFM1_D0	I	SDFM 通道 0 数据	A14、A4	A14、A4	A14、A4
SDFM1_D1	I	SDFM 通道 1 数据	B4、D11	B4、D11	B4、D11
SDFM1_D2	I	SDFM 通道 2 数据	A2、B12	A2、B12	A2、B12
SDFM1_D3	I	SDFM 通道 3 数据	A12、A5	A12、A5	A12、A5

- (1) SDFM1_CLK2 通过 I2C OD FS (开漏失效防护) 电压缓冲器实现。
(2) SDFM1_CLK3 通过 I2C OD FS (开漏失效防护) 电压缓冲器实现。

5.3.21 系统和其他

5.3.21.1 启动模式配置

表 5-101. 引导模式信号说明

信号名称 [1]	引脚类型 [2]	说明 [3]	ZCZ C 引脚 [4]	ZCZ S 引脚 [4]	ZCZ F 引脚 [4]
SOP0		引导模式配置位 0 (OSPI0_D0)	N1	N1	N1
SOP1		引导模式配置位 1 (OSPI0_D1)	N4	N4	N4
SOP2	IO	引导模式配置位 2 (SPI0_CLK)	A11	A11	A11
SOP3	IO	引导模式配置位 3 (SPI0_D0)	C10	C10	C10

5.3.21.2 计时

表 5-102. XTAL 信号说明

信号名称 [1]	引脚类型 [2]	说明 [3]	ZCZ C 引脚 [4]	ZCZ S 引脚 [4]	ZCZ F 引脚 [4]
XTAL_XI (1)	I	外部晶振 (XTAL) 输入	T1	T1	T1
XTAL_XO (1)	O	外部晶振 (XTAL) 输出	R1	R1	R1

- (1) XTAL 接口需要一个 25MHz 时钟源。

表 5-103. 输出时钟信号说明

信号名称 [1]	引脚类型 [2]	说明 [3]	ZCZ C 引脚 [4]	ZCZ S 引脚 [4]	ZCZ F 引脚 [4]
CLKOUT0	O	输出时钟 0	M2	M2	M2

表 5-103. 输出时钟信号说明 (续)

信号名称 [1]	引脚类型 [2]	说明 [3]	ZCZ C 引脚 [4]	ZCZ S 引脚 [4]	ZCZ F 引脚 [4]
CLKOUT1	O	输出时钟 1	B16	B16	B16

表 5-104. 外部基准时钟信号说明

信号名称 [1]	引脚类型 [2]	说明 [3]	ZCZ C 引脚 [4]	ZCZ S 引脚 [4]	ZCZ F 引脚 [4]
EXT_REFCLK0	I	外部基准时钟输入	P2	P2	P2

5.3.21.3 仿真和调试

表 5-105. 布线信号说明

信号名称 [1]	引脚类型 [2]	说明 [3]	ZCZ C 引脚 [4]	ZCZ S 引脚 [4]	ZCZ F 引脚 [4]
TRC_CLK	O	跟踪时钟	D15	D15	D15
TRC_CTL	O	跟踪控制	C15	C15	C15
TRC_DATA0	O	跟踪数据 0	F15	F15	F15
TRC_DATA1	O	跟踪数据 1	C18	C18	C18
TRC_DATA2	O	跟踪数据 2	D17	D17	D17
TRC_DATA3	O	跟踪数据 3	D18	D18	D18
TRC_DATA4	O	跟踪数据 4	E16	E16	E16
TRC_DATA5	O	跟踪数据 5	F16	F16	F16
TRC_DATA6	O	跟踪数据 6	F18	F18	F18
TRC_DATA7	O	跟踪数据 7	G16	G16	G16
TRC_DATA8	O	跟踪数据 8	E17	E17	E17
TRC_DATA9	O	跟踪数据 9	E18	E18	E18
TRC_DATA10	O	跟踪数据 10	C16	C16	C16
TRC_DATA11	O	跟踪数据 11	A17	A17	A17
TRC_DATA12	O	跟踪数据 12	B18	B18	B18
TRC_DATA13	O	跟踪数据 13	B17	B17	B17
TRC_DATA14	O	跟踪数据 14	D16	D16	D16
TRC_DATA15	O	跟踪数据 15	C17	C17	C17

表 5-106. JTAG 信号说明

信号名称 [1]	引脚类型 [2]	说明 [3]	ZCZ C 引脚 [4]	ZCZ S 引脚 [4]	ZCZ F 引脚 [4]
TCK	I	JTAG 测试时钟输入	B3	B3	B3
TDI	I	JTAG 测试数据输入	C5	C5	C5
TDO	O	JTAG 测试数据输出	C4	C4	C4
TMS	IO	JTAG 测试模式选择输入	D5	D5	D5

5.3.21.4 系统

表 5-107. 系统信号说明

信号名称 [1]	引脚类型 [2]	说明 [3]	ZCZ C 引脚 [4]	ZCZ S 引脚 [4]	ZCZ F 引脚 [4]
PORz	I	器件上电 (PORz) 冷复位	R2	R2	R2
SAFETY_ERRORn	IO	ESM 安全错误信号	D4	D4	D4
WARMRSTn	IO	热复位请求 (输入) / 热复位状态 (输出)	C3	C3	C3

5.3.21.5 VMON

表 5-108. VMON 信号说明

信号名称 [1]	引脚类型 [2]	说明 [3]	ZCZ C 引脚 [4]	ZCZ S 引脚 [4]	ZCZ F 引脚 [4]
VSYS_MON ⁽¹⁾	A	具有 0.9V (+/-3%) 设定点的外部电压监控器。	U2	U2	U2

(1) 有关此引脚的更多详细信息，请参阅 *电气规格 - 安全比较器* 部分。

5.3.21.6 保留

表 5-109. 保留信号说明

信号名称 [1]	引脚类型 [2]	说明 [3]	ZCZ C 引脚 [4]	ZCZ S 引脚 [4]	ZCZ F 引脚 [4]
RSVD_J16	RSVD	保留 (RSVD_J16)。该引脚必须连接到 1.2V 电源 (VDD)。	J16	J16	J16
RSVD_P15	RSVD	保留 (RSVD_P15)。该引脚必须保持未连接状态。		P15	P15
RSVD_T4	RSVD	保留 (RSVD_T4)。此引脚必须连接至地 (VSS)。	T4	T4	T4
RSVD_U1	RSVD	保留 (RSVD_U1)。此引脚必须连接至地 (VSS)。	U1	U1	U1
RSVD_U3	RSVD	保留 (RSVD_U3)。该引脚必须保持未连接状态。	U3	U3	U3
RSVD_V2	RSVD	保留 (RSVD_V2)。该引脚必须保持未连接状态。	V2	V2	V2

5.3.22 UART

表 5-110. UART0 信号说明

信号名称 [1]	引脚类型 [2]	说明 [3]	ZCZ C 引脚 [4]	ZCZ S 引脚 [4]	ZCZ F 引脚 [4]
UART0_CTSn	I	UART 允许发送 (低电平有效)	A5、B7	A5、B7	A5、B7
UART0_RTSn	O	UART 请求发送 (低电平有效)	C6、C7	C6、C7	C6、C7
UART0_RXD	I	UART 接收数据	A7、B6	A7、B6	A7、B6
UART0_TXD	O	UART 发送数据	A4、A6	A4、A6	A4、A6

表 5-111. UART1 信号说明

信号名称 [1]	引脚类型 [2]	说明 [3]	ZCZ C 引脚 [4]	ZCZ S 引脚 [4]	ZCZ F 引脚 [4]
UART1_CTSn	I	UART 允许发送 (低电平有效)	G4	G4	G4
UART1_DCDn	I	UART 数据载波检测 (低电平有效)	J4、N1	J4、N1	N1
UART1_DSRRn	I	UART 数据就绪 (低电平有效)	V17		
UART1_DTRn	O	UART 数据终端就绪 (低电平有效)	K1、K3	K1、K3	K1
UART1_RIn	I	UART 振铃指示器	K4、N4	K4、N4	N4
UART1_RTSn	O	UART 请求发送 (低电平有效)	B12、J2	B12、J2	B12、J2
UART1_RXD	I	UART 接收数据	A9、L3	A9、L3	A9、L3
UART1_TXD	O	UART 发送数据	B9、M3	B9、M3	B9、M3

表 5-112. UART2 信号说明

信号名称 [1]	引脚类型 [2]	说明 [3]	ZCZ C 引脚 [4]	ZCZ S 引脚 [4]	ZCZ F 引脚 [4]
UART2_CTSn	I	UART 允许发送 (低电平有效)	H1	H1	
UART2_RTSn	O	UART 请求发送 (低电平有效)	A12、J3、R3	A12、J3、R3	A12、R3
UART2_RXD	I	UART 接收数据	B5、B8	B5、B8	B5、B8
UART2_TXD	O	UART 发送数据	A3、A8	A3、A8	A3、A8

表 5-113. UART3 信号说明

信号名称 [1]	引脚类型 [2]	说明 [3]	ZCZ C 引脚 [4]	ZCZ S 引脚 [4]	ZCZ F 引脚 [4]
UART3_CTSn	I	UART 允许发送 (低电平有效)	K2、N2	K2、N2	N2
UART3_RTSn	O	UART 请求发送 (低电平有效)	A2、J1	A2、J1	A2
UART3_RXD	I	UART 接收数据	C11、D15	C11、D15	C11、D15

表 5-113. UART3 信号说明 (续)

信号名称 [1]	引脚类型 [2]	说明 [3]	ZCZ C 引脚 [4]	ZCZ S 引脚 [4]	ZCZ F 引脚 [4]
UART3_TXD	O	UART 发送数据	A11、C15	A11、C15	A11、C15

表 5-114. UART4 信号说明

信号名称 [1]	引脚类型 [2]	说明 [3]	ZCZ C 引脚 [4]	ZCZ S 引脚 [4]	ZCZ F 引脚 [4]
UART4_CTSn	I	UART 允许发送 (低电平有效)	A14	A14	A14
UART4_RTSn	O	UART 请求发送 (低电平有效)	B14	B14	B14
UART4_RXD	I	UART 接收数据	A10、D11、H2	A10、D11、H2	A10、D11、H2
UART4_TXD	O	UART 发送数据	C12、C9、G3	C12、C9、G3	C12、C9、G3

表 5-115. UART5 信号说明

信号名称 [1]	引脚类型 [2]	说明 [3]	ZCZ C 引脚 [4]	ZCZ S 引脚 [4]	ZCZ F 引脚 [4]
UART5_CTSn	I	UART 允许发送 (低电平有效)	D13	D13	D13
UART5_RTSn	O	UART 请求发送 (低电平有效)	A16	A16	A16
UART5_RXD	I	UART 接收数据	A15、C13、D9、R16	A15、C13、D9	A15、C13、D9
UART5_TXD	O	UART 发送数据	B10、B15、P15	B10、B15	B10、B15

5.3.23 XBAR

表 5-116. 输出 XBAR 信号说明

信号名称 [1]	引脚类型 [2]	说明 [3]	ZCZ C 引脚 [4]	ZCZ S 引脚 [4]	ZCZ F 引脚 [4]
XBAROUT0	O	OUTPUTXBAR 信号 0	R3	R3	R3
XBAROUT1	O	OUTPUTXBAR 信号 1	C9	C9	C9
XBAROUT2	O	OUTPUTXBAR 信号 2	A10	A10	A10
XBAROUT3	O	OUTPUTXBAR 信号 3	B10	B10	B10
XBAROUT4	O	OUTPUTXBAR 信号 4	D9	D9	D9
XBAROUT5	O	OUTPUTXBAR 信号 5	A9	A9	A9
XBAROUT6	O	OUTPUTXBAR 信号 6	B9	B9	B9
XBAROUT7	O	OUTPUTXBAR 信号 7	D7	D7	D7
XBAROUT8	O	OUTPUTXBAR 信号 8	C8	C8	C8
XBAROUT9	O	OUTPUTXBAR 信号 9	C7	C7	C7
XBAROUT10	O	OUTPUTXBAR 信号 10	B7	B7	B7
XBAROUT11	O	OUTPUTXBAR 信号 11	D16	D16	D16
XBAROUT12	O	OUTPUTXBAR 信号 12	C17	C17	C17
XBAROUT13	O	OUTPUTXBAR 信号 13	D15	D15	D15
XBAROUT14	O	OUTPUTXBAR 信号 14	C15	C15	C15
XBAROUT15	O	OUTPUTXBAR 信号 15	P2	P2	P2

表 5-117. 外部 ADC 通道选择 XBAR 信号说明

信号名称 [1]	引脚类型 [2]	说明 [3]	ZCZ C 引脚 [4]	ZCZ S 引脚 [4]	ZCZ F 引脚 [4]
ADC_EXTCH_XBAROUT0	O	外部 ADC 通道选择 XBAR 信号 0	C11、C13	C11、C13	C11、C13
ADC_EXTCH_XBAROUT1	O	外部 ADC 通道选择 XBAR 信号 1	A11、C14	A11、C14	A11、C14
ADC_EXTCH_XBAROUT2	O	外部 ADC 通道选择 XBAR 信号 2	C10、C12	C10、C12	C10、C12
ADC_EXTCH_XBAROUT3	O	外部 ADC 通道选择 XBAR 信号 3	B11、D11	B11、D11	B11、D11
ADC_EXTCH_XBAROUT4	O	外部 ADC 通道选择 XBAR 信号 4	C9、P15	C9	C9
ADC_EXTCH_XBAROUT5	O	外部 ADC 通道选择 XBAR 信号 5	A10、R16	A10	A10
ADC_EXTCH_XBAROUT6	O	外部 ADC 通道选择 XBAR 信号 6	B10、F15	B10、F15	B10、F15

表 5-117. 外部 ADC 通道选择 XBAR 信号说明 (续)

信号名称 [1]	引脚类型 [2]	说明 [3]	ZCZ C 引脚 [4]	ZCZ S 引脚 [4]	ZCZ F 引脚 [4]
ADC_EXTCH_XBAROUT7	O	外部 ADC 通道选择 XBAR 信号 7	C18、D9	C18、D9	C18、D9
ADC_EXTCH_XBAROUT8	O	外部 ADC 通道选择 XBAR 信号 8	B15	B15	B15
ADC_EXTCH_XBAROUT9	O	外部 ADC 通道选择 XBAR 信号 9	A15	A15	A15

5.4 引脚连接要求

焊球编号	焊球名称	引脚连接要求
D4	SAFETY_ERRORn	该引脚必须通过单独的外部拉电阻器连接到地 (VSS)，以确保如果 PCB 信号布线已连接并且未由连接的器件主动驱动，它会保持为有效的逻辑低电平。如果没有 PCB 信号布线连接到焊球，则可以使用内部下拉来保持有效的逻辑低电平。
J16	RSVD_J16	该引脚必须连接到 1.2V 电源 (VDD)。
T4 U1	RSVD_T4 RSVD_U1	这些引脚中的每一个必须直接连接 (短接) 至地 (VSS)
U3 V2	RSVD_U3 RSVD_V2	这些引脚中的每一个都必须保持未连接状态。
P15 ⁽¹⁾	RSVD_P15 ⁽¹⁾	仅限 ZCZ_S 和 ZCZ_F 封装。该引脚必须保持未连接状态
B3 C5 D5	TCK TDI TMS	这些引脚均必须通过单独的外部拉电阻器连接到相应的电源，以确保如果 PCB 信号布线已连接并且未由连接的器件主动驱动，则这些焊球保持为有效的逻辑高电平。如果没有 PCB 信号布线连接到焊球，则可以使用内部上拉来保持有效的逻辑高电平。
A13 B13	I2C0_SCL I2C0_SDA	这些引脚均必须通过单独的外部拉电阻器连接到相应的电源，以确保这些焊球保持为有效的逻辑高电平。
N1 N4 A11 C10	QSPIO_D0 (SOP0) QSPIO_D1 (SOP1) SPIO_CLK (SOP2) SPIO_D0 (SOP3)	这些引脚均必须通过单独的外部拉电阻器连接到相应的电源或接地端 (VSS)，以确保这些焊球相应地保持为有效的逻辑高电平或低电平，从而选择所需的器件引导模式。
U16 T15	ADC_CAL0 ADC_CAL1	如果未使用所有 ADC 实例 (ADC[0:4]_AIN[0:5]) 的所有 ADCx_AINy 输入，必须将 ADC_CAL[0:1] 模拟引脚直接连接 (短接) 至地 (VSS)。
U2	VSYS_MON	如果未使用 VSYS_MON，可以将此引脚直接连接 (短接) 至地 (VSS)。
ADC ZCZ PIN	ADC[0:4]_AIN[0:5]	必须将任何 ADC 实例 (ADC[0:4]_AIN[0:5]) 的任何未使用 ADCx_AINy 输入引脚直接连接 (短接) 至地 (VSS)。
LVC MOS ZCZ PIN	任何 LVC MOS 电压缓冲器引脚	如果给定引脚存在相关的 IOMUX 焊盘配置寄存器，则它可能保持未连接状态。在 PORz 之后，LVC MOS 电压缓冲器配置为与未连接焊球兼容的默认状态。
P1 ⁽²⁾ M4 ⁽²⁾ P3 ⁽²⁾ M1 ⁽²⁾ L2 ⁽²⁾ H1 ⁽²⁾ J1 ⁽²⁾ K2 ⁽²⁾ J4 ⁽²⁾ K4 ⁽²⁾ K3 ⁽²⁾	GPIO0 ⁽²⁾ GPIO5 ⁽²⁾ GPIO6 ⁽²⁾ GPIO7 ⁽²⁾ GPIO9 ⁽²⁾ GPIO65 ⁽²⁾ GPIO66 ⁽²⁾ GPIO67 ⁽²⁾ GPIO68 ⁽²⁾ GPIO69 ⁽²⁾ GPIO70 ⁽²⁾	仅限 ZCZ_F 封装。这些引脚均必须保持未连接状态且没有 PCB 布线。
L1 ⁽²⁾	GPIO8 ⁽²⁾	仅限 ZCZ_F 封装。必须通过尽可能靠近器件放置的单独外部 4.7kΩ 拉电阻器，将该引脚连接到 VDDSS33。
J3 ⁽²⁾	GPIO64 ⁽²⁾	仅限 ZCZ_F 封装。OSPI_RESET_OUT0 连接到 PORz。为了复位片上 OSPI 闪存模块，OSPI_RESET_OUT0 必须连接到与 PORz 等效的开漏。

(1) 仅限 ZCZ_S 和 ZCZ_F 封装

(2) 仅限 ZCZ_F 封装

6 规格

6.1 绝对最大额定值

在工作结温范围内测得 (除非另有说明) ⁽¹⁾ ⁽²⁾

参数		最小值	最大值	单位
VDD	1.2V SOC 内核电源	-0.5	1.5	V
VDDAR1	1.2V SRAM 阵列电源 1	-0.5	1.5	V
VDDAR2	1.2V SRAM 阵列电源 2	-0.5	1.5	V
VDDAR3	1.2V SRAM 阵列电源 3	-0.5	1.5	V
VDDS18	来自偏置 LDO 的 1.8V IO 辅助电源通过电路板布线	-0.5	2.1	V
VDDS33	3.3V IO 电源	-0.5	4.0	V
VDDA18_OSC_PLL	用于 PLL 的 1.8V 模拟电源。从 1.8V 模拟 LDO 输出通过电路板布线	-0.5	2.1	V
VDDA33	模拟 3.3V 电源	-0.5	4.0	V
VDDA18	1.8V 模拟电源。从 1.8V 模拟 LDO 输出通过电路板布线	-0.5	2.1	V
IO 引脚稳态电压	3.3V LVCMOS IO 缓冲器	-0.3	VDDS33 ⁽³⁾ + 0.3	V
	3.3V I2C 开漏 IO 缓冲器	-0.3	VDDS33 ⁽³⁾ + 0.3	V
	XTAL 焊盘	-0.5	2.1	V
瞬态过冲和下冲	所有其他 IO 端子	-0.3	VDDS33 ⁽³⁾ + 0.2 × VDDS33 ⁽³⁾ , 持续高达 20% 的信号周期	V
	XTAL 焊盘 VDDA18_OSC_PLL 的 20%, 持续高达 20% 的信号周期		0.2 × VDDA18_OSC_PLL	V
闩锁性能 II 类 (150°C)	锁存 I-test 性能 (每个 IO 引脚上的电流脉冲注入)		±100	mA
	闩锁过压性能 (每个 IO 引脚上的电压注入)		1.5 × VDDS33	V
输出电流	数字输出 (每引脚), I _{OUT}	-20	20	mA
贮存温度 ⁽⁴⁾	T _{stg}	-55	155	°C

- (1) 超出绝对最大额定值运行可能会对器件造成永久损坏。绝对最大额定值并不表示器件在这些条件下或在建议运行条件以外的任何其他条件下能够正常运行。如果超出建议运行条件但在绝对最大额定值范围内使用, 器件可能不会完全正常运行, 这可能影响器件的可靠性、功能和性能并缩短器件寿命。
- (2) 除非另有说明, 否则所有电压值均以 VSS 为基准。
- (3) VDDS33 是 IC 相应电源引脚上的电压。
- (4) 长期高温贮存或在最大温度条件下超期使用可能会导致器件总体使用寿命缩短。有关更多信息, 请参阅 [“半导体和 IC 封装热指标” 应用报告](#)。

6.2 静电放电 (ESD) 扩展汽车等级

在建议运行条件下测得 (除非另有说明)

		值	单位	
V _(ESD)	静电放电 (ESD)	人体放电模型 (HBM), 符合 AEC-Q100-002 ⁽¹⁾	±2000	
		充电器件模型 (CDM), 符合 AEC-Q100-011 标准	所有引脚	±500
			转角焊球 (A1、A18、V1、V18)	±750

(1) AEC Q100-002 指示应当按照 ANSI/ESDA/JEDEC JS-001 规范执行 HBM 应力测试。

6.3 静电放电 (ESD) 工业等级

在建议运行条件下测得 (除非另有说明)

		值	单位
V _(ESD)	静电放电 (ESD)	人体放电模型 (HBM), 符合 ANSI/ESDA/JEDEC JS-001 标准 ⁽¹⁾	±2000
		充电器件模型 (CDM), 符合 ANSI/ESDA/JEDEC JS-002 标准 ⁽²⁾	±500

(1) JEDEC 文档 JEP155 规定: 500V HBM 可实现在标准 ESD 控制流程下安全生产。

(2) JEDEC 文档 JEP157 规定: 250V CDM 可实现在标准 ESD 控制流程下安全生产。

6.4 上电小时数 (POH) 摘要

在建议运行条件下测得 (除非另有说明) ⁽¹⁾ ⁽²⁾ ⁽³⁾

参数	工业	汽车级工作温度
工作结温 (T _J)	-40°C 至 105°C	-40°C 至 150°C
POH @ 温度曲线	100K @ 97°C (100% @ 97°C) 70K @ 105°C (100% @ 105°C)	20K @ 汽车温度曲线 ⁽⁴⁾

(1) 为方便起见, 单独提供这些信息, 并且未扩展或修改适用于 TI 半导体产品的 TI 标准条款和条件下提供的保修范围。

(2) 除非上表中另有说明, 否则器件在额定温度下支持所有电压域和工作条件。

(3) POH 是电压、温度和时间的函数。在较高电压和温度下使用会导致 POH 降低。

(4) 请参阅汽车温度曲线部分

6.4.1 汽车温度曲线

T _J (°C)	小时	天	年	时间百分比
-40	1200	~50	~0.14	6%
75	4000	~167	~0.46	20%
95	13000	~541	~1.48	65%
130	1600	~67	~0.18	8%
150	200	~8.5	~0.023	1%
总计	20000	~833	~2.28	100%

6.5 建议运行条件

在工作结温范围内测得 (除非另有说明)

参数	说明		最小值	标称值	最大值	单位
VDD	1.2V SOC 内核电源		1.140	1.200	1.260	V
VDDAR1、VDDAR2、VDDAR3	SRAM 阵列电源		1.140	1.200	1.260	V
VDDS18	来自偏置 LDO 的 1.8V IO 辅助电源通过电路板布线		1.710	1.800	1.890	V
VDDS33	3.3V IO 电源		3.135	3.300	3.465	V
VDDA18_OSC_PLL	用于 PLL 的 1.8V 模拟电源。从模拟 LDO 输出通过电路板布线		1.710	1.800	1.890	V
VDDA33	模拟 3.3V 电源		3.135	3.300	3.465	V
VDDA18	1.8V 模拟电源。从 1.8V 模拟 LDO 输出通过电路板布线		1.710	1.800	1.890	V
T _A	自然通风温度	汽车级工作温度	-40		125	°C
T _J	工作结温范围	工业	-40		105	°C
		汽车级扩展 特殊特性 - C、S	-40		150	°C
		汽车级扩展 特殊特性 - F	-40		125	°C

6.6 运行性能点

本节介绍了器件的运行条件。本节还包含处理器时钟、器件内核时钟和可用存储器的每个运行性能点 (OPP) 的说明。

器件	等级	RAM (MB)	R5FSS (MHz)	HSM (MHz)	ICSS (MHz)	INFRA ⁽¹⁾ (MHz)
AM263Px	N	2	400	200	200	200
AM263Px	O	3	400	200	200	200
AM263Px	P	3	200	200	200	200

(1) 基础设施包括器件中集成的所有其他模块和 IP (例如 CBASS/互连和其他 SoC 级外设), 除非表中另有说明。

6.7 功耗摘要

节 6.7.1, 功耗 - 最大值 展示了每个电源轨消耗的最大电流, 应该用于电源选型。节 6.7.2, 功耗 - 典型值 展示了模块的典型功耗。节 6.7.3, 功耗 - 牵引逆变器 展示了牵引逆变器应用在不同结温下 SoC 的标称功耗。

6.7.1 功耗 - 最大值

在建议运行条件下测得 (除非另有说明)

电源名称	参数	最小值	MAX	单位
VDD + VDDARn	内核域的最大电流额定值		2.8	A
VDDS33	IO 电源的最大电流额定值		200	mA
VDDA33	3.3V 模拟电源的最大电流额定值		200	mA

6.7.2 功耗 - 典型值

典型用例功耗汇总, $T_J = 85^\circ\text{C}$

参数		典型值	最大值	单位
功耗	内核和存储器	401		mW
	基础设施	598		mW
	外设	212		mW
	总计	1211		mW

6.7.3 功耗 - 牵引逆变器

不同温度下的牵引逆变器应用功耗

参数		典型值	最大值	单位
功耗	$T_J = 85^\circ\text{C}$	1211		mW
	$T_J = 105^\circ\text{C}$	1368		mW
	$T_J = 125^\circ\text{C}$	1601		mW
	$T_J = 150^\circ\text{C}$	2090		mW

6.8 电气特性

备注

节 6.8.1 数字和模拟 IO 电气特性 至节 6.8.6 电源管理单元 (PMU) 中描述的接口或信号对应于多路复用模式 0 (主要功能) 下可用的接口或信号。

这些表中介绍的焊球上多路复用的所有接口或信号都具有相同的直流电气特性，除非多路复用涉及 PHY 和 GPIO 组合，在这种情况下，会为不同的复用模式 (功能) 指定不同的直流电气特性。

6.8.1 数字和模拟 IO 电气特性

在建议运行条件下测得 (除非另有说明)

参数		最小值	典型值	最大值	单位
PORz IO					
V _{IH}	高电平输入电压	1.35			V
V _{IL}	低电平输入电压			0.5	V
V _{HYS}	输入端的迟滞电压	0.070			V
I _L	输入漏电流	-2		2	μA
热复位 IO					
V _{IH}	高电平输入电压	2.15			V
V _{IL}	低电平输入电压			0.55	V
V _{HYS}	输入端的迟滞电压	0.347			V
V _{OL}	低电平输出电压，驱动器被启用：I _{OL} = 6mA			0.45	V
I _L	输入漏电流、接收器被禁用、拉电阻被禁用	-57			μA
TCK IO					
V _{IH}	高电平输入电压	2.15			V
V _{IL}	低电平输入电压			0.55	V
V _{HYS}	输入端的迟滞电压	0.4			V
I _L	输入漏电流、接收器被禁用、拉电阻被禁用	-3.9	8.9	17.2	μA
	输入漏电流、接收器被禁用、上拉电阻被启用		106.9	128.2	μA
	输入漏电流、接收器被禁用、下拉被启用		100.3	130.3	μA
I2C OD IO					
V _{IH}	高电平输入电压	2			V
V _{IL}	低电平输入电压			0.55	V
V _{HYS}	输入端的迟滞电压	0.165			V
I _L	输入漏电流、接收器被禁用、拉电阻被禁用	-18		18	μA
V _{OL}	低电平输出电压，驱动器被启用：I _{OL} = 3mA			0.45	V
所有其他 LVCMOS					
V _{IH}	高电平输入电压	2			V
V _{IL}	低电平输入电压			0.55	V
V _{HYS}	输入端的迟滞电压	0.265			V
V _{OL}	低电平输出电压，驱动器被启用：I _{OL} = 6mA			0.45	V
V _{OH}	高电平输出电压，驱动器被启用：I _{OH} = 6mA		V _{DDS33} ⁽¹⁾ - 0.45		V
I _L	输入漏电流、接收器被禁用、拉电阻被禁用	-18		18	μA
	输入漏电流、接收器被禁用、上拉电阻被启用	-243	-100	-19	μA
	输入漏电流、接收器被禁用、下拉被启用	51	100	210	μA

(1) V_{DDS33} 是 IC 相应电源引脚上的电压。

6.8.2 模数转换器特性

本节介绍了确保器件正常运行所需的模数转换器电气特性。

6.8.2.1 模数转换器 (ADC)

在工作结温范围内测得 (除非另有说明)

参数	测试条件	最小值	典型值	最大值	单位
V _{REFHI}		1.71	1.8	1.89	V
输入转换范围 (Vin+, Vin-)	必须 < VDDA33	0		32/18 × V _{REFHI}	V
上电时间				500	μs
增益误差		-5	±3	5	LSB
偏移误差		-4	±2	4	LSB
通道间增益误差			±4		LSB
通道间偏移误差			±2		LSB
ADC 间增益误差	同一参考组		±4		LSB
ADC 间偏移误差	同一参考组		±2		LSB
DNL	受控环境, 可更大程度地降低输入噪声	-1	±0.5	1	LSB
INL	受控环境, 可更大程度地降低输入噪声	-2	±1.0	2	LSB
SNR	受控环境, 可更大程度地降低输入噪声		68		dB
ENOB (同步运行)			11		位
ENOB (异步运行)			9.7		位
ADC 间隔离	同步运行	-10		10	LSB
V _{REFHI} 输入电流			400		μA
转换时间				250	ns
寄生输入电容 (C _p) ⁽¹⁾			7		pF
采样/保持电阻 (R _{on}) ⁽¹⁾				1.2	kΩ
采样/保持电容 (C _h) ⁽¹⁾				8	pF
输入漏电流		-1.2	0.1	1.2	μA
电源 (VDDA33)		3.13	3.3	3.46	V
电源 (VDDA18)		1.71	1.8	1.89	V
功耗 (VDDA33)			200		μA
功耗 (VDDA18)			700		μA

(1) 请参阅 [ADC 输入模型](#)

6.8.2.2 旋转变压器模数转换器 (ADC_R)

在工作结温范围内测得 (除非另有说明)

参数	测试条件	最小值	典型值	最大值	单位
V _{REFHI}		1.71	1.8	1.89	V
输入转换范围 (Vin+, Vin-)	必须 < VDDA33	0		33/18 × V _{REFHI}	V
上电时间				500	μs
增益误差		-5	±3	5	LSB
偏移误差		-4	±2	4	LSB
通道间增益误差			±4		LSB
通道间偏移误差			±2		LSB
ADC 间增益误差	同一参考组		±4		LSB
ADC 间偏移误差	同一参考组		±2		LSB
DNL	受控环境, 可更大程度地降低输入噪声	-1	±0.5	1	LSB
INL	受控环境, 可更大程度地降低输入噪声	-2	±1.0	2	LSB
SNR	受控环境, 可更大程度地降低输入噪声		68		dB
ENOB (同步运行)			11		位
ENOB (异步运行)			9.7		位
ADC 间隔离	同步运行	-10		10	LSB
V _{REFHI} 输入电流			500		μA
转换时间			333		ns
寄生输入电容 (C _p) ⁽¹⁾			7		pF
采样/保持电阻 (R _{on}) ⁽¹⁾				1.2	kΩ
采样/保持电容 (C _h) ⁽¹⁾				8	pF
输入漏电流		-1.2	0.1	1.2	μA
电源 (VDDA33)		3.13	3.3	3.46	V
电源 (VDDA18)		1.71	1.8	1.89	V
功耗 (VDDA33)			200		μA
功耗 (VDDA18)			500		μA

(1) 请参阅 ADC 输入模型

6.8.2.3 ADC 输入模型

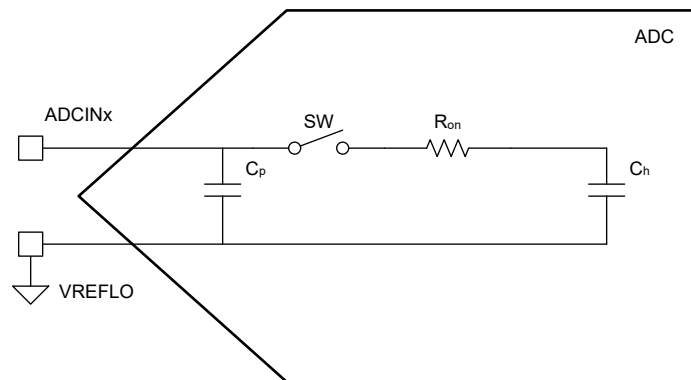


图 6-1. ADC 输入模型

6.8.3 比较器子系统 A (CMPSSA)

子组	参数	最小值	典型值	最大值	单位
比较器	上电时间			10	μs
	比较器输入范围	0.1	VDDA33 ⁽¹⁾	- 50mV	V
	以输入为基准的失调电压误差	-20		20	mV
	迟滞 (H1)		不适用		LSB
	迟滞 (H2)		15		LSB
	迟滞 (H3)		35		LSB
	迟滞 (H4)		55		LSB
	传播延迟		21		50
DAC	DAC_VREF 基准电压	1.71	1.8	1.89	V
	DAC 输出范围	0.1	33/18 × DAC_VREF 或 VDDA33 ⁽¹⁾ 的最小值 - 50mV		V
	静态失调电压误差	-45		45	mV
	静态增益误差	-2		2	FSR 百分比
	静态 DNL	>-1		4	LSB
	静态 INL	-16		16	LSB
	稳定时间			1	μs
	分辨率		12		位
	DAC 输出干扰 (比较器跳闸反冲)	-100		100	LSB
	DAC 输出干扰 (比较器跳闸反冲)		200		ns
	DAC_VREF 负载		37		kΩ
通用	输入漏电流	-1.2	0.1	1.2	μA
	电源 (VDDA33)	3.13	3.3	3.46	V
	电源 (VDDA18)	1.71	1.8	1.89	V
	功耗 (VDDA33)		900		μA
	功耗 (VDDA18)		120		μA
	失效防护输入电流注入			10	mA

(1) VDDA33 是 IC 相应电源引脚上的电压。

6.8.4 比较器子系统 B (CMPSSB)

子组	参数	最小值	典型值	最大值	单位
比较器	上电时间			10	μs
	比较器输入范围	0.1	VDDA33 ⁽¹⁾ - 50mV		V
	以输入为基准的失调电压误差	-20		20	mV
	迟滞 (H1)		不适用		LSB
	迟滞 (H2)		15		LSB
	迟滞 (H3)		35		LSB
	迟滞 (H4)		55		LSB
	传播延迟		21		50
DAC	DAC_VREF 基准电压	1.71	1.8	1.89	V
	DAC 输出范围	0.1	33/18 × DAC_VREF 或 VDDA33 ⁽¹⁾ 的最小值 50mV		V
	静态失调电压误差	-45		45	mV
	静态增益误差	-2		2	FSR 百分比
	静态 DNL	>-1		4	LSB
	静态 INL	-16		16	LSB
	稳定时间			1	μs
	分辨率		12		位
	DAC 输出干扰 (比较器跳闸反冲)	-100		100	LSB
	DAC 输出干扰 (比较器跳闸反冲)		200		ns
	DAC_VREF 负载		37		kΩ
通用	输入漏电流	-1.2	0.1	1.2	μA
	电源 (VDDA33) :	3.13	3.3	3.46	V
	电源 (VDDA18) :	1.71	1.8	1.89	V
	功耗 (VDDA33)		900		μA
	功耗 (VDDA18)		120		μA
	失效防护输入电流注入			10	mA

(1) VDDA33 是 IC 相应电源引脚上的电压。

6.8.5 数模转换器 (DAC)

在工作结温范围内测得 (除非另有说明)

参数	测试条件	最小值	典型值	最大值	单位
上电时间				1	μs
DAC_VREF		1.71	1.8	1.89	V
电压输出范围		0.3	VDDA33 ⁽¹⁾ - 0.3		V
已修整偏移误差	在中点检查偏移 (代码 2048)	-10		10	mV
增益误差	DAC_VREF = 1.8V	-2.5		2.5	FSR 百分比
DNL	更正了终点	-1		1	LSB
INL	更正了终点	-20		20	LSB
稳定时间	在 0.3V 至 3V 切换后稳定到 2LSB (约 1.6mV)		2		μs
分辨率			12		位
容性负载	输出驱动能力			100	pF
阻性负载	输出驱动能力	5			kΩ
DAC_VREF 负载	DAC_VREF		64		kΩ
输出噪声 (100Hz-100KHz)	从 100Hz 到 100kHz 的积分噪声		1		mVrms
SNR @ 1KHz	2MHz DACVALA 更新速率, 200kHz 输出滤波器		60		dB
电源 (VDDA33)		3.13	3.3	3.46	V
电源 (VDDA18)		1.71	1.8	1.89	V
功耗 (VDDA33)			850		μA
功耗 (VDDA18)			35		μA

(1) VDDA33 是 IC 相应电源引脚上的电压。

6.8.6 电源管理单元 (PMU)

在工作结温范围内测得 (除非另有说明)

GROUP	参数	最小值	典型值	最大值	单位
PMU	电源 (VDDA33) :	3.1	3.3	3.46	V
带隙	V _{REF} 已修整	0.886	0.9	0.914	V
1.8V LDO	DC 精度	1.764	1.8	1.836	V
	瞬态负载调整率	1.71	1.8	1.89	V
	直流负载调节			5	mV
	负载电流	0		60	mA
	上电时间			800	μs
	浪涌电流			150	mA
	外部去耦电容	-20%	4.7	20%	μF
ADC 基准	负载调节		±1		mV
	DC 精度	1.764	1.8	1.836	V
	上电时间			800	μs
	浪涌电流			80	mA
	外部去耦电容	-20%	4.7	20%	μF

6.8.7 安全比较器

参数		最小值	典型值	最大值	单位	
C0	C0 : 1.8V 监控阈值	1.40	1.5	1.6	V	
C1	BGAP 监测器	阈值下限	0.75	0.8	0.85	V
		阈值上限	0.935	1	1.065	V
C2	监控 1.8V 电源与 BGAP	阈值下限	1.47	1.52	1.57	V
		阈值上限	2.13	2.195	2.26	V
C3	监控器 1.2V 与 BGAP 间的关系	阈值下限	0.98	1.011	1.041	V
		阈值上限	1.407	1.451	1.494	V
C4	Vref 监控器 (ROK0)	阈值下限	1.56	1.61	1.66	V
		阈值上限	2.09	2.16	2.22	V
C5	监控器 IO 辅助电源与 BGAP 间的关系	阈值下限	1.47	1.52	1.57	V
		阈值上限	2.13	2.195	2.26	V
C6	Vref 监控器 (ROK0B)	阈值下限	1.56	1.61	1.66	V
		阈值上限	2.09	2.16	2.22	V
C7	系统电源监控器 (VSYS_MON)	阈值下限	0.873	0.9	0.927	V
C8	欠压阈值	2.59	2.77	2.95	V	
C9	Vref 监控器 (ROK1)	阈值下限	1.56	1.61	1.66	V
		阈值上限	2.09	2.16	2.22	V
C10	Vref 监控器 (ROK2)	阈值下限	1.56	1.61	1.66	V
		阈值上限	2.09	2.16	2.22	V

6.8.8 安全系统

子组	参数	测试条件	最小值	典型值	最大值	单位
10MHz RC Osc	已修整频率		8	10	12	MHz
	输出占空比		40		60	%
温度传感器	VDDA		1.71		1.89	V
	ADC 分辨率				7	位
	ADC LSB			2		°C
	温度传感器精度			±8		°C
	ADC 时钟		16	32	60	kHz
	ADC 转换时间				5	ms

6.9 一次性可编程 (OTP) 电子保险丝的 VPP 规格

本节规定了对 OTP 电子保险丝进行编程所需的运行条件。

6.9.1 VPP 规格

在建议运行条件下测得 (除非另有说明)

参数	说明	测试条件	最小值	标称值	最大值	单位
VDD	OTP 运行期间内核域的电源电压范围	正常运行	1.140	1.200	1.260	V
VPP	电子保险丝 ROM 域的电源电压范围	正常运行	无连接			V
	OTP 编程期间电子保险丝 ROM 域的电源电压范围	OTP 编程	1.65	1.7	1.75	V
$I_{(VPP)}$	VPP 电流	$I_{(VPP)}$				100 mA
T_A	环境温度	环境温度	0	30	50	°C

6.9.2 硬件要求

对 OTP 电子保险丝中的密钥进行编程时，必须满足以下硬件要求：

- 当不对 OTP 寄存器进行编程时，必须禁用 VPP 电源。
- 在执行正确的器件加电时序后，VPP 电源必须斜升 (有关更多详细信息，请参阅节 6.11.2.1，加电和复位时序控制)。

6.9.3 编程序列

OTP 电子保险丝的编程序列：

- 按照加电时序为电路板加电。上电和正常运行期间，VPP 端子上不应施加电压。
- 加载对电子保险丝进行编程所需的 OTP 写入软件 (请联系您当地的 TI 代表以获取 OTP 软件包)。
- 根据节 6.9.1 VPP 规格中的规格在 VPP 端子上施加电压。
- 运行对 OTP 寄存器进行编程的软件。
- 验证 OTP 寄存器的内容后，移除 VPP 端子上的电压。

6.9.4 对硬件保修的影响

您同意使用安全密钥对 TI 器件进行电子熔断会永久改变它们。您承认，由于程序序列不正确或中止或者您省略了某个序列步骤等，电子保险丝可能会发生故障。此外，如果量产密钥的错误代码校正检查失败，或者映像未使用当前有效量产密钥进行签名和选择性加密，则 TI 器件可能无法安全启动。这些类型的情况将导致 TI 器件无法运行，TI 将无法确认在尝试使用电子保险丝之前 TI 器件是否符合其规格。

因此，TI 对任何已使用安全密钥进行电子熔断的 TI 器件不承担任何责任 (保修或其他责任)。

6.10 热阻特性

本节提供了该器件上使用的热阻特性。

出于可靠性和可操作性方面的考虑，器件的最高结温必须达到或低于节 6.5 建议运行条件中确定的 T_J 值。

6.10.1 封装热特性

建议在处于最坏的器件功耗情况下执行系统级热仿真。

参数	说明	$^{\circ}\text{C}/\text{W}^{(1) (2)}$	气流(m/s) ⁽³⁾
R^{\ominus}_{JC}	结点到外壳	5.4	不适用
R^{\ominus}_{JB}	结点到电路板	5.3	不适用
R^{\ominus}_{JA}	结点到环境空气	18.7	0
R^{\ominus}_{JA}	结至流动空气	12.4	1
		11.2	2
		10.6	3
Ψ_{JT}	结至封装顶部	0.12	0
		0.35	1
		0.47	2
		0.56	3
Ψ_{JB}	结点到电路板	5.1	0
		4.6	1
		4.6	2
		4.5	3

(1) 以上值基于 JEDEC 定义的 2S2P 系统 (基于 JEDEC 定义的 1S0P 系统的 Θ_{JC} [R^{\ominus}_{JC}] 值除外)，将随环境和应用的变化而更改。有关更多信息，请参阅以下 EIA/JEDEC 标准：

- JESD51-2, Integrated Circuits Thermal Test Method Environment Conditions - Natural Convection (Still Air)
- JESD51-3, Low Effective Thermal Conductivity Test Board for Leaded Surface Mount Packages
- JESD51-6, Integrated Circuit Thermal Test Method Environmental Conditions - Forced Convection (Moving Air)
- JESD51-7, High Effective Thermal Conductivity Test Board for Leaded Surface Mount Packages
- JESD51-9, Test Boards for Area Array Surface Mount Packages

(2) $^{\circ}\text{C}/\text{W}$ = 摄氏度/瓦

(3) m/s = 米/秒

6.11 时序和开关特性

备注

除非另有说明，否则必须使用每个焊盘配置寄存器中的默认 SLEWRATE 设置来确保时序。

6.11.1 时序参数和信息

时序和开关特性部分中使用的时序参数符号是根据 JEDEC 标准 100 创建的。为了缩短符号，表 6-1 中缩写了一些引脚名称和其他相关术语：

表 6-1. 时序参数下标

符号	参数
c	周期时间 (周期)
d	延迟时间
dis	禁用时间
en	启用时间
h	保持时间
su	设置时间
START	起始位
t	转换时间
v	有效时间
W	脉冲持续时间 (宽度)
X	未知、改变或者不用考虑级别
F	下降时间
H	高电平
L	低电平
R	上升时间
V	有效
IV	无效
AE	有效边沿
FE	第一个边沿
LE	最后一个边沿
Z	高阻抗

6.11.2 电源时序

本节介绍了确保器件正常运行所需的电源时序控制。

6.11.2.1 加电和复位时序

AM263Px 会尝试简化以前 Sitara MCU 器件的电源复位要求。初级内核数字 VDD 1.2V 和 I/O 电源 3.3V 电源轨没有时序要求。有两个片上 LDO 分别通过 VDDS33 和 VDDA33 电源网供电。这些片上 LDO 可生成所需的 VDDS1V8 和 VDDA1V8 1.8V 数字和模拟电源。AM263Px 确实需要考虑 3.3V 上电的最短斜坡时间。EVM 设计还必须考虑其他 PORz 和 SOP 引导模式锁存时序。图 6-2 介绍了器件加电时序。

表 6-2. AM263Px 加电时序

参数		最小值	最大值	单位
t _{Startup}	1.2V 和 3.3V 直流/直流转换器启用后的启动时间。这是任意时间量 - 器件不施加限制。	-	-	ms
t _{PGood}	电源轨稳定后，直流/直流转换器生成电源正常信号的时间。这是任意时间量 - 器件不施加限制。	-	-	ms
t _{Ramp_3V3}	VDDS3V3 和 VDDA3V3 电源的斜坡时间。这是器件提出的一项要求。	0.1	-	ms
t _{SOP_Sampled}	从 PORz 置为无效到对 SOP[3:0] 引脚进行采样的时间。这是器件内部参数。当内部生成的电源稳定时，会进行采样。仅供参考。有关应用的使用，请参阅 TSU_SOP 和 TH_SOP 参数。	0	-	ms
t _{SU_SOP}	相对于 PORz 置为有效的 SOP 建立时间。	10	-	μs
t _{H_SOP}	相对于 WARMRSTn 置为无效的 SOP 保持时间。	0	-	μs
t _{WARMRSTn}	从 PORz 置为无效到器件使 WARMRESETn 信号无效的时间。	2.0	-	ms

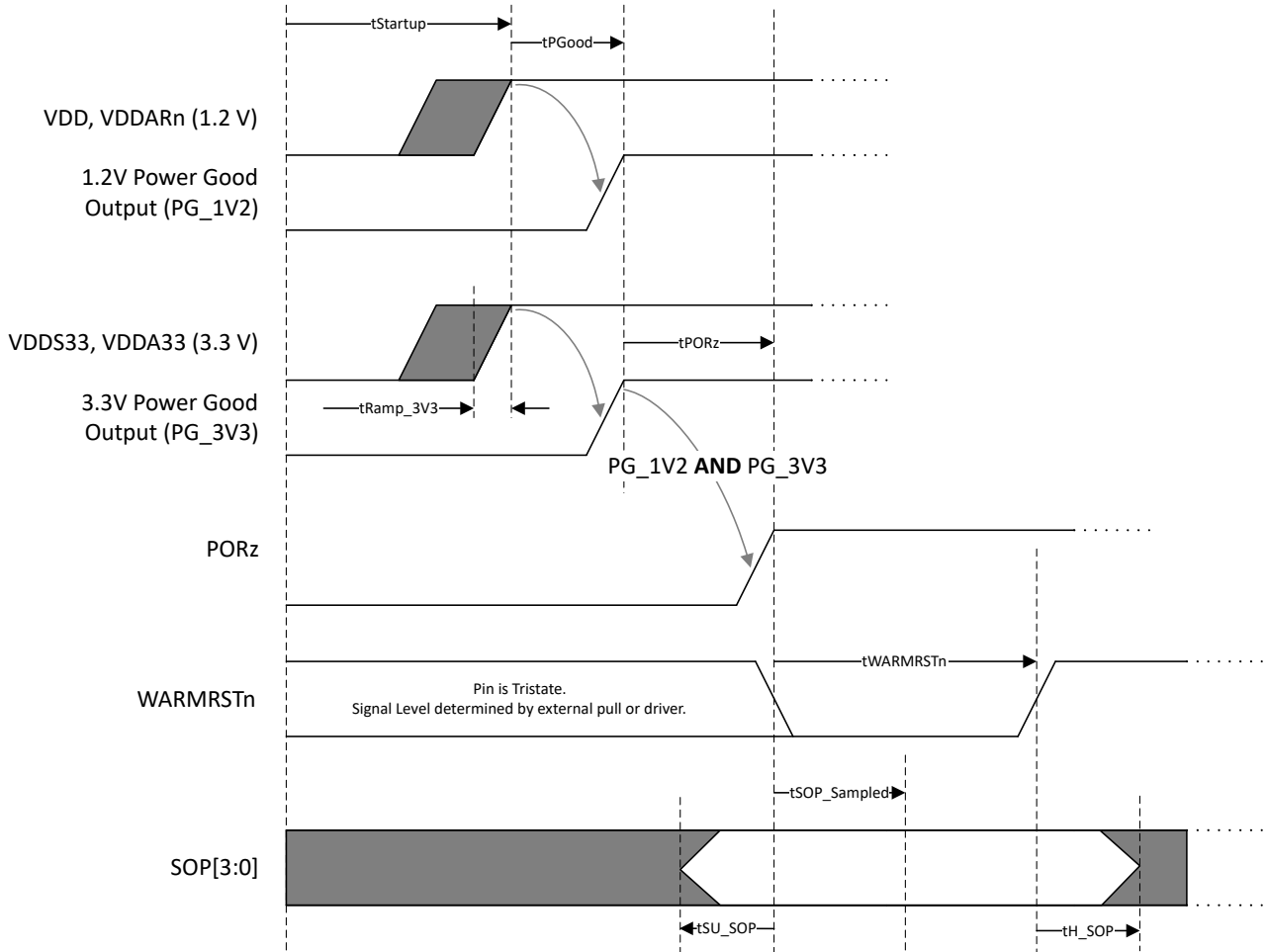


图 6-2. 加电时序

6.11.2.1.1 电源复位时序说明

应对 EVM 和 AM263Px 执行以下这组步骤，以从上电复位启动器件。

1. PORz 由外部电源监控器保持低电平
2. VDD 内核数字 1.2V 和 VDDS3V3/VDDA3V3 3.3V 电源斜升至其标称电压
 - a. 这需要将逻辑 AND 应用于从每个电源生成的电源正常信号
3. SOP[3:0] 引脚保持在其引导锁存状态
4. 在 PCB 供电的电源网稳定后，外部电源监控器将使 PORz 无效
5. 器件将启动 1.8V 片上 LDO
6. 在内部电源监控器显示外部和内部生成的电源稳定后，SOP[3:0] 引脚状态被锁存
7. R5F 内核未停止，SOP 选择的引导 ROM 开始执行

6.11.2.2 下电时序

图 6-3 描述了器件下电时序。AM263Px 1.2V 和 3.3V 的顺序无关紧要。

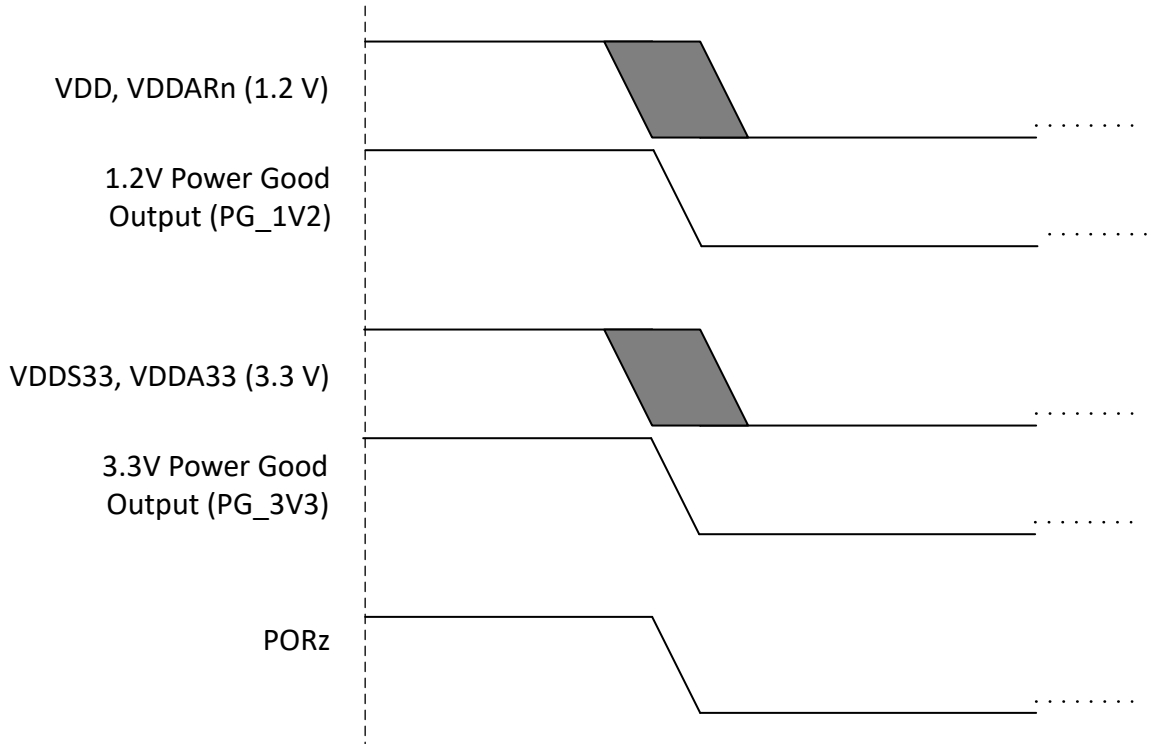


图 6-3. 下电时序

6.11.3 系统时序

有关子系统多路复用信号特性和其他说明信息的更多详情，请参阅信号说明和详细说明部分中的相应小节。

6.11.3.1 系统时序条件

参数		最小值	最大值	单位
输入条件				
SR _i	输入压摆率	0.5	2	V/ns
输出条件				
C _L	输出负载电容	3	30	pF

6.11.3.2 复位时序

本节中提供的表和图定义了复位相关信号的时序要求和开关特性。

6.11.3.2.1 PORz 时序要求

编号	参数	说明	最小值	最大值	单位
RST1	$t_{h(SUPPLIES_VALID-PORz)}$	保持时间，在电源有效之后 PORz 在上电时有效（低电平）（使用外部晶体）	0		ns
RST3	$t_{w(PORzL)}$	脉冲宽度最小值，在上电之后 PORz 为低电平（不移除电源或系统基准时钟 XTAL_XI/XO）	1000		ns

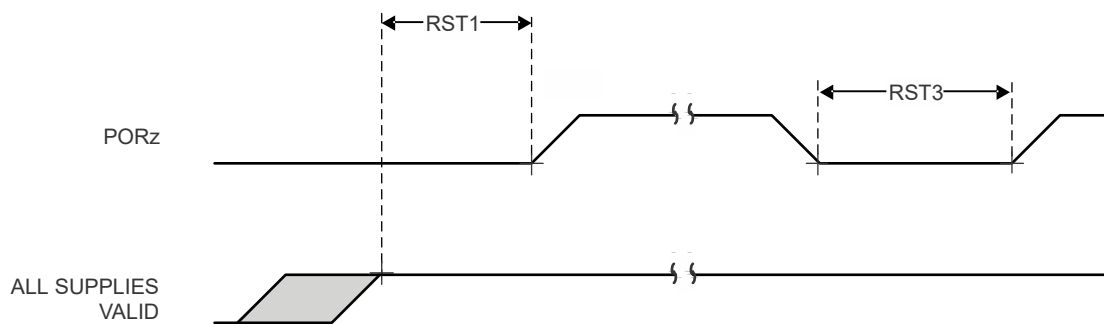


图 6-4. PORz 时序要求

6.11.3.2.2 WARMRSTn 开关特性

编号	参数	说明	最小值	最大值	单位
RST4	$t_{d(PORzL-WARMRSTnZ)}$	延迟时间，PORz 有效（低电平）到 WARMRSTn 高阻抗的时间	0	0	ns
RST5	$t_{d(PORzH-WARMRSTnL)}$	延迟时间，PORz 无效（高电平）到 WARMRSTn 有效（低电平）的时间	0	0	ns
RST6	$t_{d(PORzH-WARMRSTnH)}$	延迟时间，PORz 无效（高电平）到 WARMRSTn 无效（高电平）的时间	2000000	6000000	ns

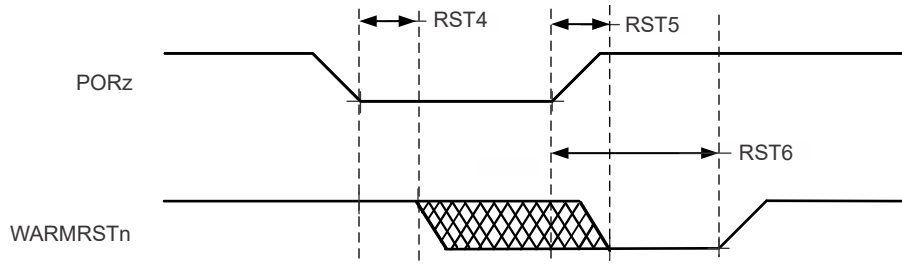


图 6-5. WARMRSTn 开关特性

6.11.3.2.3 WARMRSTn 时序要求

编号	参数	说明	最小值	最大值	单位
RST10	$t_w(\text{WARMRSTnL})$ (1)	最小脉冲宽度, WARMRSTn 有效 (低电平)	500	16384000	ns

(1) 该计时参数由 TOP_RCM.WARM_RSTTIME1/2/3 寄存器控制。有关详细信息, 请参阅技术参考手册的“复位”一节。

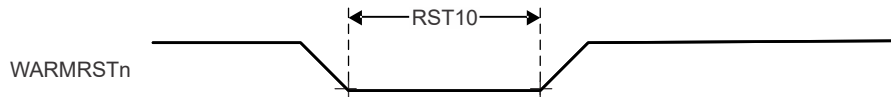


图 6-6. WARMRSTn 时序要求和开关特性

6.11.3.3 安全信号时序

本节中提供的表和图定义了 SAFETY_ERRORn 的开关特性。

6.11.3.3.1 SAFETY_ERRORn 开关特性

编号	参数	说明	最小值	最大值	单位
SFTY1	$t_c(\text{SAFETY_ERRORn})$	最小周期时间, SAFETY_ERRORn (启用 PWM 模式)	$(P^{(1)} \times H^{(3)}) + (P^{(1)} \times L)^{(4)}$		ns
SFTY2	$t_w(\text{SAFETY_ERRORn})$	最小脉冲宽度, SAFETY_ERRORn 有效 (禁用 PWM 模式) (5)	$P^{(1)} \times R^{(2)}$		ns
SFTY3	$t_d(\text{ERROR_CONDITION-SAFETY_ERRORnL})$	延迟时间, ERROR_CONDITION 至 SAFETY_ERRORn 有效 (5)	$50 \times P^{(1)}$		ns

- (1) P = ESM 功能时钟
- (2) R = 错误引脚计数器预加载寄存器计数值
- (3) H = 错误引脚 PWM 高预加载寄存器计数值
- (4) L = 错误引脚 PWM 低预加载寄存器计数值
- (5) 启用 PWM 模式后, SAFETY_ERRORn 会在 SFTY3 后停止切换, 并将保持其值 (高电平或低电平), 直到错误被清除。禁用 PWM 模式时, SAFETY_ERRORn 为有效低电平

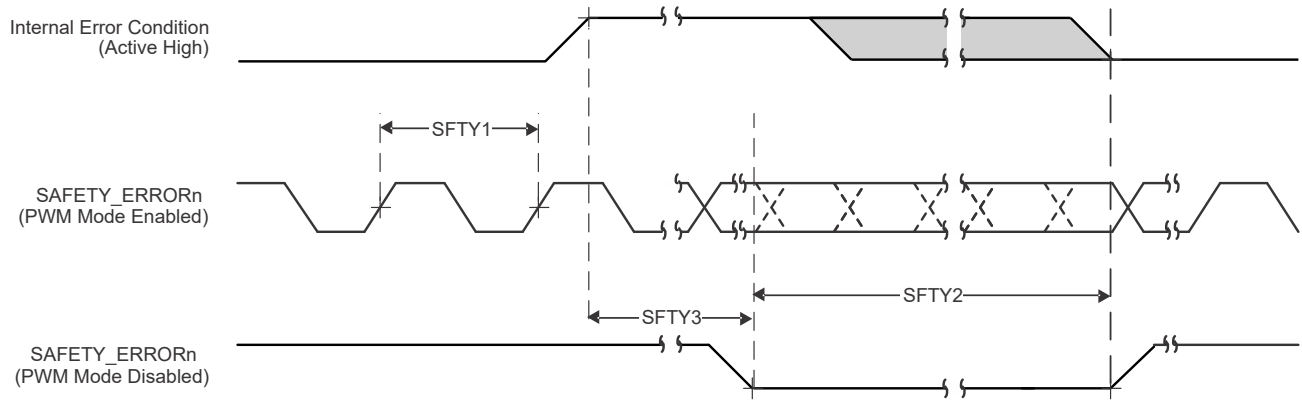


图 6-7. MCU_SAFETY_ERRORn 时序要求和开关特性

6.11.4 时钟规格

6.11.4.1 输入时钟/振荡器

6.11.4.1.1 晶体振荡器 (XTAL) 参数

参数	描述	最小值	典型值	最大值	单位
F_{xtal}	晶振并联谐振频率 (仅限基本模式振荡)	- 50ppm	25	50ppm	MHz
占空比	XTAL 的占空比输出	45	50	55	%
CC1	$C_{L1} + C_{PCBXI}$ 电容	12		24	pF
CC2	$C_{L2} + C_{PCBXO}$ 电容	12		24	pF
C_{shunt}	晶体电路并联电容			5	pF
ESR_{xtal}	晶体有效串联电阻			46	Ω

6.11.4.1.2 外部时钟特性

在建议运行条件下测得 (除非另有说明)

参数	描述	最小值	典型值	最大值	单位
C_{Pkg}	封装的并联电容		0.01		pF
P_{xtal}	功率耗散	$0.5 \times ESR \times (2 \times \pi \times F_{xtal} \times C_L \times 1.8)^2$			W
t_s	启动时间		1.5		ms

6.11.5 外设

6.11.5.1 2 端口千兆位以太网 MAC (CPSW)

备注

CPSW 支持两个外部以太网端口和一个内部端口。

有关器件 CPSW (2 端口千兆位以太网 MAC) 特性和其他说明信息的更多详情, 请参阅 *信号说明* 和 *详细说明* 部分中的相应小节。

6.11.5.1.1 CPSW MDIO 时序

6.11.5.1.1.1 CPSW MDIO 时序条件

参数		最小值	最大值	单位
输入条件				
SR _I	输入压摆率	0.9	3.6	V/ns
输出条件				
C _L	输出负载电容	10	470	pF

6.11.5.1.1.2 CPSW MDIO 时序要求

编号	参数	说明	最小值	最大值	单位
MDIO1	t _{su(MDIO-MDC)}	在 MDIO_CLK 高电平之前 MDIO_DATA 有效的设置时间	90		ns
MDIO2	t _{h(MDC-MDIO)}	MDIO_CLK 高电平后 MDIO_DATA 有效的保持时间	0		ns

6.11.5.1.1.3 CPSW MDIO 开关特性

编号	参数	说明	最小值	最大值	单位
MDIO3	t _{c(MDC)}	周期时间, MDIO_CLK	400		ns
MDIO4	t _{w(MDCH)}	MDIO_CLK 高电平的脉冲持续时间	160		ns
MDIO5	t _{w(MDCL)}	MDIO_CLK 低电平的脉冲持续时间	160		ns
MDIO7	t _{d(MDC_MDIO)}	MDIO_CLK 低电平到 MDIO_DATA 有效的延迟时间	-150	150	ns

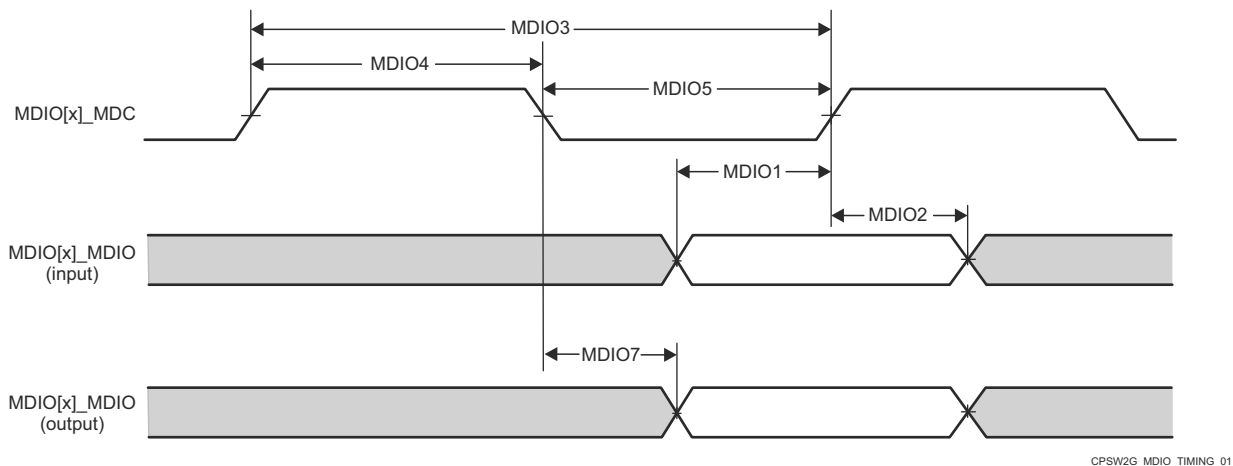


图 6-8. CPSW MDIO 时序要求和开关特性

6.11.5.1.2 CPSW RGMII 时序

6.11.5.1.2.1 CPSW RGMII 时序条件

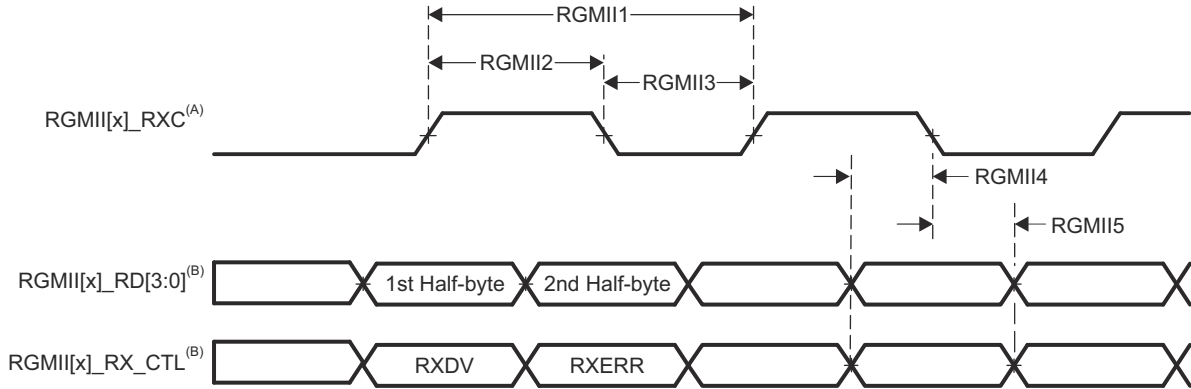
参数		最小值	最大值	单位
输入条件				
SR_i	输入压摆率	2.64	5	V/ns
输出条件				
C_L	输出负载电容	2	20	pF
PCB 连接要求				
t_d (Trace Mismatch Delay)	所有布线之间的传播延迟不匹配	RGMII[x]_RXC RGMII[x]_RD[3:0] RGMII[x]_RX_CTL	50	ps
		RGMII[x]_TXC RGMII[x]_TD[3:0] RGMII[x]_TX_CTL	50	ps

6.11.5.1.2.2 CPSW RGMII[x]_RCLK 时序要求 - RGMII 模式

编号	参数	说明	模式	最小值	最大值	单位
RGMII1	$t_{c(RXC)}$	周期时间, RXC	10Mbps	360	440	ns
			100Mbps	36	44	ns
			1000Mbps	7.2	8.8	ns
RGMII2	$tw(RXCH)$	脉冲持续时间, RXC 高电平	10Mbps	160	240	ns
			100Mbps	16	24	ns
			1000Mbps	3.6	4.4	ns
RGMII3	$tw(RXCL)$	脉冲持续时间, RXC 低电平	10Mbps	160	240	ns
			100Mbps	16	24	ns
			1000Mbps	3.6	4.4	ns

6.11.5.1.2.3 CPSW RGMII[x]_RD[3:0] 和 RGMII[x]_RCTL 时序要求

编号	参数	说明	模式	最小值	最大值	单位
RGMII4	$t_{su(RD-RXC)}$	建立时间, 在 RXC 高电平/低电平之前 RD[3:0] 有效	10Mbps	1		ns
			100Mbps	1		ns
			1000Mbps	1		ns
	$t_{su(RX_CTL-RXC)}$	建立时间, 在 RXC 高电平/低电平之前 RX_CTL 有效	10Mbps	1		ns
			100Mbps	1		ns
			1000Mbps	1		ns
RGMII5	$t_{h(RXC-RD)}$	保持时间, 在 RXC 高电平/低电平之后 RD[3:0] 有效	10Mbps	1		ns
			100Mbps	1		ns
			1000Mbps	1		ns
	$t_{h(RXC-RX_CTL)}$	保持时间, 在 RXC 高电平/低电平之后 RX_CTL 有效	10Mbps	1		ns
			100Mbps	1		ns
			1000Mbps	1		ns



- A. RGMII[x]_RXC 必须相对于数据和控制引脚进行外部延迟。
B. 使用时钟的两个边沿接收数据和控制信息。RGMII[x]_RD[3:0] 在 RGMII[x]_RXC 的上升沿承载数据位 3-0，在 RGMII[x]_RXC 的下降沿承载数据位 7-4。类似地，RGMII[x]_RX_CTL 在 RGMII[x]_RXC 的上升沿承载 RXDV，在 RGMII[x]_RXC 的下降沿承载 RXERR。

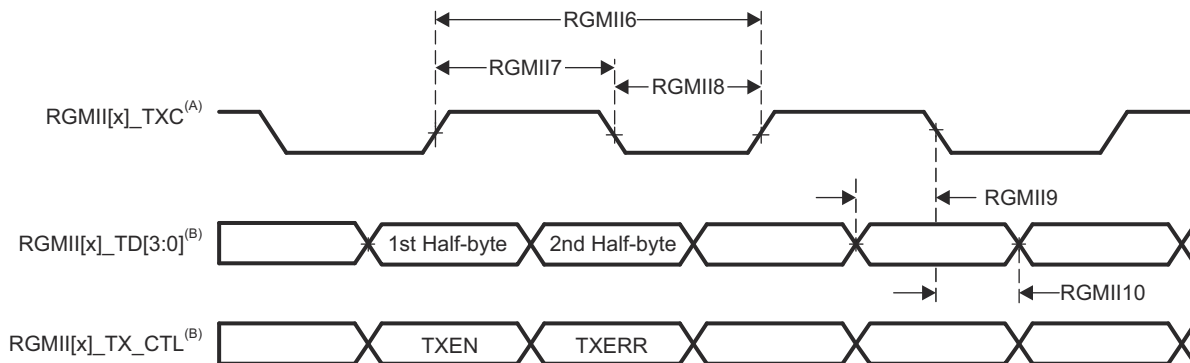
图 6-9. CPSW RGMII[x]_RXC、RGMII[x]_RD[3:0]、RGMII[x]_RX_CTL 时序要求 - RGMII 模式

6.11.5.1.2.4 CPSW RGMII[x]_TCLK 开关特性 - RGMII 模式

编号	参数	说明	模式	最小值	最大值	单位
RGMII6	$t_{c(TXC)}$	周期时间, TXC	10Mbps	360	440	ns
			100Mbps	36	44	ns
			1000Mbps	7.2	8.8	ns
RGMII7	$t_{w(TXCH)}$	脉冲持续时间, TXC 高电平	10Mbps	160	240	ns
			100Mbps	16	24	ns
			1000Mbps	3.6	4.4	ns
RGMII8	$t_{w(TXCL)}$	脉冲持续时间, TXC 低电平	10Mbps	160	240	ns
			100Mbps	16	24	ns
			1000Mbps	3.6	4.4	ns

6.11.5.1.2.5 CPSW RGMII[x]_TD[3:0] 和 RGMII[x]_TCTL 开关特性 - RGMII 模式

编号	参数	说明	模式	最小值	最大值	单位
RGMII9	$t_{osu(TD-TXC)}$	输出建立时间, RGMII[x]_TD[3:0] 有效至 RGMII[x]_TXC 高电平/低电平	10Mbps	1.2		ns
			100Mbps	1.2		ns
			1000Mbps	1.2		ns
RGMII9	$t_{osu(TX_CTL-TXC)}$	输出建立时间, RGMII[x]_TX_CTL 有效至 RGMII[x]_TXC 高电平/低电平	10Mbps	1.2		ns
			100Mbps	1.2		ns
			1000Mbps	1.2		ns
RGMII10	$t_{oh(TXC-TD)}$	输出保持时间, RGMII[x]_TD[3:0] 在 RGMII[x]_TXC 高电平/低电平之后有效	10Mbps	1.2		ns
			100Mbps	1.2		ns
			1000Mbps	1.2		ns
RGMII10	$t_{oh(TXC-TX_CTL)}$	输出保持时间, RGMII[x]_TX_CTL 在 RGMII[x]_TXC 高电平/低电平之后有效	10Mbps	1.2		ns
			100Mbps	1.2		ns
			1000Mbps	1.2		ns



- A. TxC 在驱动至 RGMII[x]_TxC 引脚之前会在内部延迟。该内部延迟在 POR 后默认启用。
- B. 使用时钟的两个边沿接收数据和控制信息。RGMII[x]_TD[3:0] 在 RGMII[x]_TxC 的上升沿承载数据位 3-0，在 RGMII[x]_TxC 的下降沿承载数据位 7-4。类似地，RGMII[x]_TX_CTL 在 RGMII[x]_TxC 的上升沿承载 TXEN，在 RGMII[x]_TxC 的下降沿承载 TXERR。

图 6-10. CPSW RGMII[x]_TxC、RGMII[x]_TD[3:0] 和 RGMII[x]_TX_CTL 开关特性 - RGMII 模式

6.11.5.1.3 CPSW RMII 时序

6.11.5.1.3.1 CPSW RMII 时序条件

参数		最小值	最大值	单位	
输入条件					
SR _i	输入压摆率	VDD = 3.3V	0.4	1.2	V/ns
输出条件					
C _L	输出负载电容	3	25		pF

6.11.5.1.3.2 CPSW RMII[x]_REFCLK 时序要求 - RMII 模式

编号	参数	说明	最小值	最大值	单位
RMII1	t _c (REF_CLK)	REF_CLK 周期时间	19.999	20	ns
RMII2	t _w (REF_CLKH)	REF_CLK 高电平的脉冲持续时间	7	13	ns
RMII3	t _w (REF_CLKL)	REF_CLK 低电平的脉冲持续时间	7	13	ns

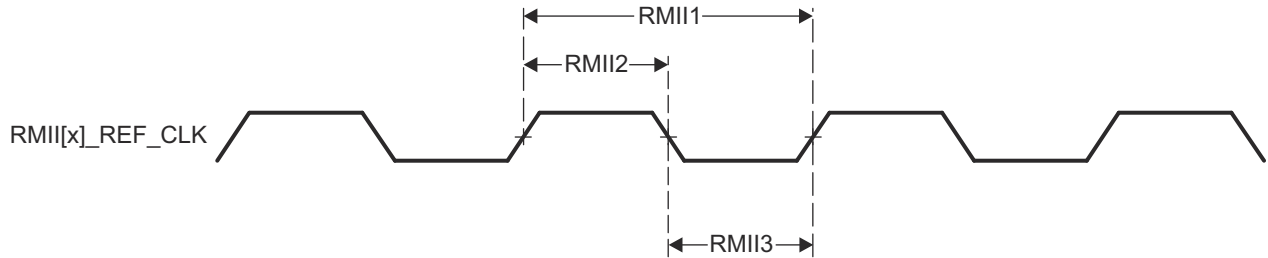


图 6-11. CPSW RMII[x]_REF_CLK 时序要求 - RMII 模式

6.11.5.1.3.3 CPSW RMII[x]_RXD[1:0]、RMII[x]_CRS_DV 和 RMII[x]_RXER 时序要求 - RMII 模式

编号	参数	说明	最小值	最大值	单位
RMII4	t _{su} (RXD-REF_CLK)	建立时间, RXD[1:0] 在 REF_CLK 前的有效时间	4		ns
	t _{su} (CRS_DV-REF_CLK)	建立时间, CRS_DV 在 REF_CLK 前的有效时间	4		ns
	t _{su} (RX_ER-REF_CLK)	建立时间, RX_ER 在 REF_CLK 前的有效时间	4		ns
RMII5	t _h (REF_CLK-RXD)	保持时间, RXD[1:0] 在 REF_CLK 后的有效时间	2		ns
	t _h (REF_CLK-CRS_DV)	保持时间, CRS_DV 在 REF_CLK 后的有效时间	2		ns
	t _h (REF_CLK-RX_ER)	保持时间, RX_ER 在 REF_CLK 后的有效时间	2		ns

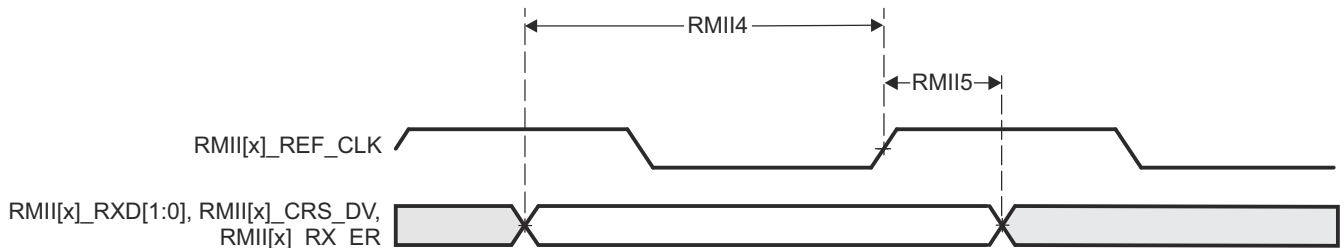


图 6-12. CPSW RMII[x]_RXD[1:0]、RMII[x]_CRS_DV、RMII[x]_RX_ER 时序要求 - RMII 模式

6.11.5.1.3.4 CPSW RMII[x]_TXD[1:0] 和 RMII[x]_TXEN 开关特性 - RMII 模式

编号	参数	说明	最小值	最大值	单位
RMII6	$t_{d(REF_CLK-TXD)}$	延迟时间, REF_CLK 高电平到 TXD[1:0] 有效	2	10	ns
	$t_{d(REF_CLK-TXEN)}$	延迟时间, REF_CLK 到 TXEN 有效	2	10	ns

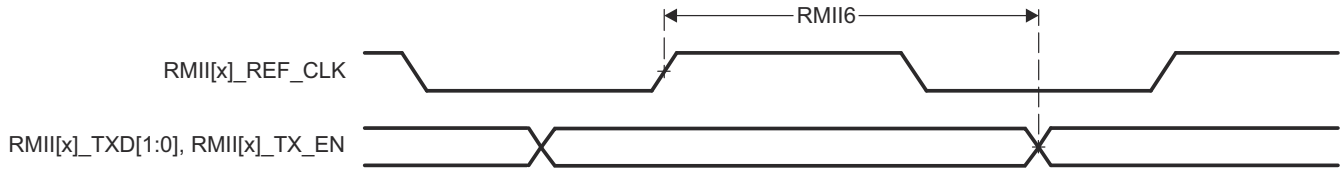


图 6-13. CPSW RMII[x]_TXD[1:0] 和 RMII[x]_TX_EN 开关特性 - RMII 模式

6.11.5.2 增强型捕获 (eCAP)

备注

器件具有多个 eCAP 模块。通用 CAP_ 前缀用于表示所有 eCAP 实例的信号名称。

有关更多信息，请参阅器件 TRM 中的 *增强型捕获 (eCAP) 模块* 一节。

6.11.5.2.1 ECAP 时序条件

参数		最小值	最大值	单位
输入条件				
SR _i	输入压摆率	1	4	V/ns
输出条件				
C _L	输出负载电容	2	7	pF

6.11.5.2.2 ECAP 时序要求

编号	参数	说明		最小值	最大值	单位
CAP1	t _{w(CAP)}	采集输入脉冲宽度	异步	(2 + X ⁽²⁾) × P ⁽¹⁾		ns
			同步	(3 + X ⁽²⁾) × P ⁽¹⁾		
			带输入限定器	(2 + X ⁽²⁾) × P ⁽¹⁾ + U ⁽³⁾		

- (1) P = sysclk 周期 (以 ns 为单位)。
- (2) X = ECCTL0_TYPE3[QUALPRD] 设置的值。
- (3) U = 输入限定器采样窗口。有关输入限定器模式的详细信息，请参阅“GPIO 电气数据和时序”部分

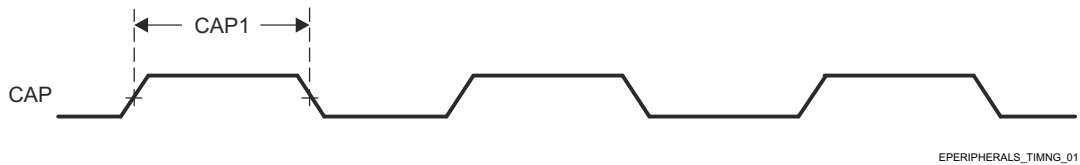


图 6-14. ECAP 时序要求

6.11.5.2.3 ECAP 开关特性

(1)

编号	参数	说明	最小值	最大值	单位
CAP2	t _{w(APWM)}	脉冲持续时间, APWMx 输出高电平/低电平	10		ns

- (1) 某些 ECAP 信号与 I2C0 SDA 和 SCL 引脚进行引脚多路复用。这些引脚使用备用的开漏电压缓冲器，可能不符合指定的参数。值正在等待额外的芯片后验证。

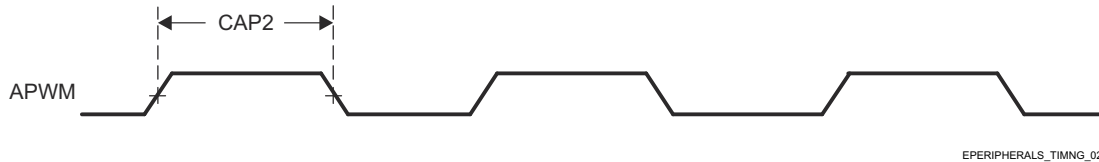


图 6-15. ECAP 开关特性

6.11.5.3 增强型脉宽调制 (ePWM)

备注

器件具有多个 ePWM 模块。通用 EHRPWM_ 前缀用于表示所有 ePWM 实例的信号名称。

有关更多信息，请参阅器件 TRM 中的 *增强型脉宽调制 (ePWM) 模块* 一节。

6.11.5.3.1 EPWM 时序条件

参数		最小值	最大值	单位
输入条件				
SR _i	输入压摆率	1	4	V/ns
输出条件				
C _L	输出负载电容	2	7	pF

6.11.5.3.2 EPWM 时序要求

编号	参数	说明	最小值	最大值	单位
PWM6	t _w (SYNClN)	脉冲持续时间, EHRPWM_SYNCl	2P ⁽¹⁾		ns
PWM7	t _w (TZ)	脉冲持续时间, EHRPWM_TZn_IN 低电平	1P ⁽¹⁾		ns

(1) P = sysclk 周期 (以 ns 为单位)。

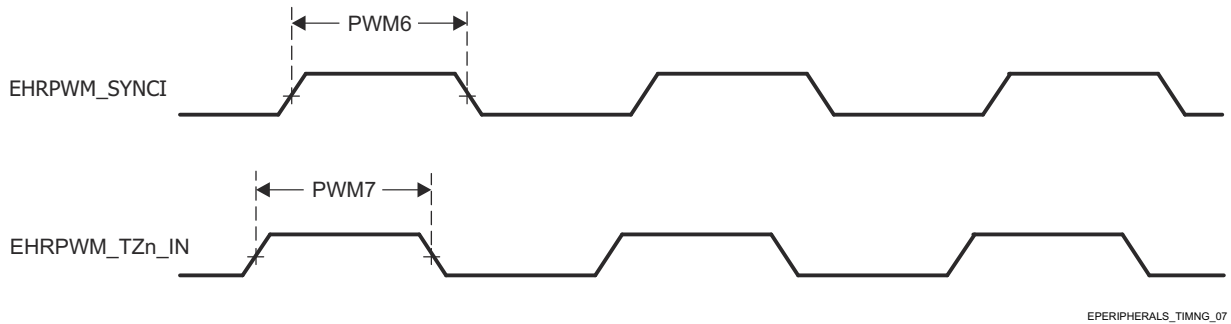


图 6-16. EPWM 时序要求

6.11.5.3.3 EPWM 开关特性

编号	参数	说明	最小值	最大值	单位
PWM1	t _w (PWM)	脉冲持续时间, EHRPWM_A/B 高电平/低电平	20		ns
PWM2	t _w (SYNCOU)	脉冲持续时间, EHRPWM_SYNCO	8P ⁽¹⁾		ns
PWM3	t _d (TZ-PWM)	延迟时间, EHRPWM_TZn_IN 有效到 EHRPWM_A/B 强制高电平/低电平		30	ns
PWM4	t _d (TZ-PWMZ)	延迟时间, EHRPWM_TZn_IN 有效到 EHRPWM_A/B 高阻态		30	ns
PWM5	t _w (SOC)	脉冲持续时间, EHRPWM_SOC(A/B) 输出	32P ⁽¹⁾		ns

(1) P = sysclk 周期 (以 ns 为单位)。

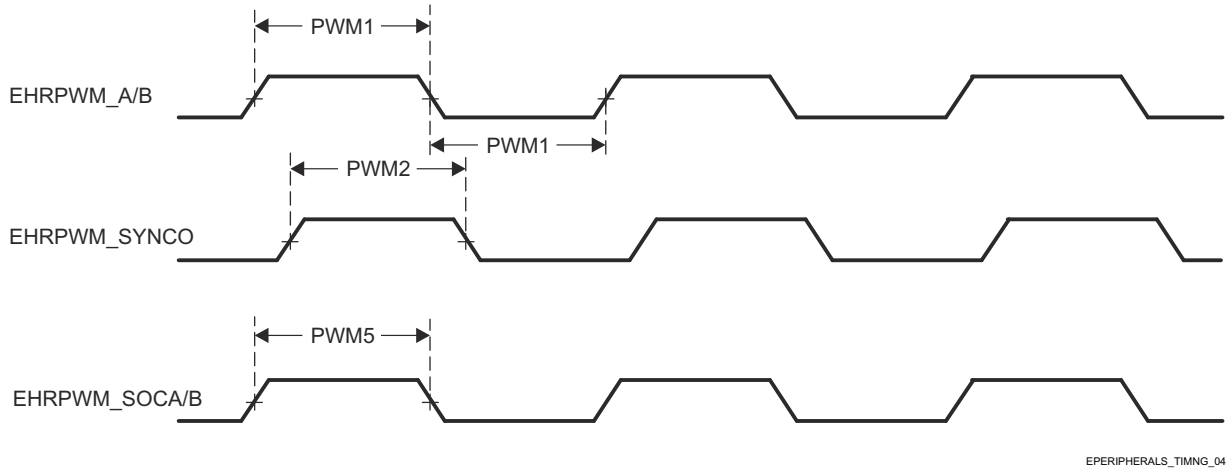


图 6-17. EHRPWM 开关特性

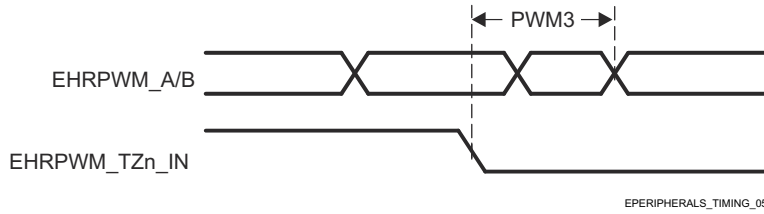


图 6-18. EHRPWM_TZn_IN 至 EHRPWM_A/B 强制开关特性

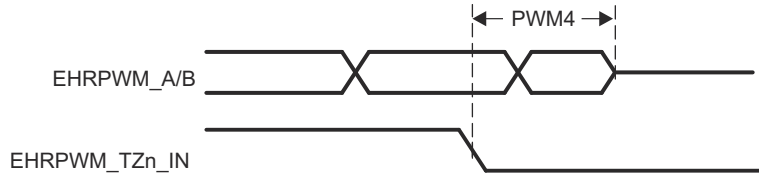


图 6-19. EHRPWM_TZn_IN 至 EHRPWM_A/B 高阻态开关特性

6.11.5.3.4 EPWM 特性

参数	最小值	典型值	最大值	单位
微边沿定位 (MEP) 步长 ⁽¹⁾	70	100	180	ps

- (1) MEP 步长在高温和 VDD 上的电压最小时达到最大值。MEP 步长将随着温度升高和电压降低而增大，随着温度降低和电压升高而减小。使用 HRPWM 特性的应用应该使用 MEP 比例因子优化器 (SFO) 估计软件功能。有关在最终应用中使用 SFO 功能的详细信息，请参阅 TI 软件库。SFO 功能有助于在 HRPWM 运行时动态估计每个 SYSCLK 周期的 MEP 步数。

6.11.5.4 增强型正交编码器脉冲 (eQEP)

备注

器件具有多个 eQEP 模块。通用 QEP_ 前缀用于表示所有 eQEP 实例的信号名称。

有关更多信息，请参阅器件 TRM 中的 *增强型正交编码器脉冲 (eQEP) 模块* 一节。

6.11.5.4.1 EQEP 时序条件

参数		最小值	最大值	单位
输入条件				
SR _I	输入压摆率	1	4	V/ns
输出条件				
C _L	输出负载电容	2	7	pF

6.11.5.4.2 EQEP 时序要求

编号	参数	说明		最小值	最大值	单位
QEP1	t _{w(QEPP)}	QEP 输入周期	同步 ⁽³⁾	3P ⁽¹⁾		ns
			带输入限定器	2 × (P ⁽¹⁾ + U ⁽²⁾)		
QEP2	t _{w(INDEXH)}	QEP 索引输入高电平时间	同步 ⁽³⁾	2 + 3P ⁽¹⁾		ns
			带输入限定器	2P ⁽¹⁾ + U ⁽²⁾		
QEP3	t _{w(INDEXL)}	QEP 索引输入低电平时间	同步 ⁽³⁾	3P ⁽¹⁾		ns
			带输入限定器	2P ⁽¹⁾ + U ⁽²⁾		
QEP4	t _{w(STROBH)}	QEP 选通高电平时间	同步 ⁽³⁾	3P ⁽¹⁾		ns
			带输入限定器	2P ⁽¹⁾ + U ⁽²⁾		
QEP5	t _{w(STROBL)}	QEP 选通输入低电平时间	同步 ⁽³⁾	3P ⁽¹⁾		ns
			带输入限定器	2P ⁽¹⁾ + U ⁽²⁾		

(1) P = sysclk 周期 (以 ns 为单位)。

(2) U = 输入限定器采样窗口。有关输入限定器模式的详细信息，请参阅“GPIO 电气数据和时序”部分。

(3) GPIO GPxQSELn 异步模式不得用于 eQEP 模块输入引脚。

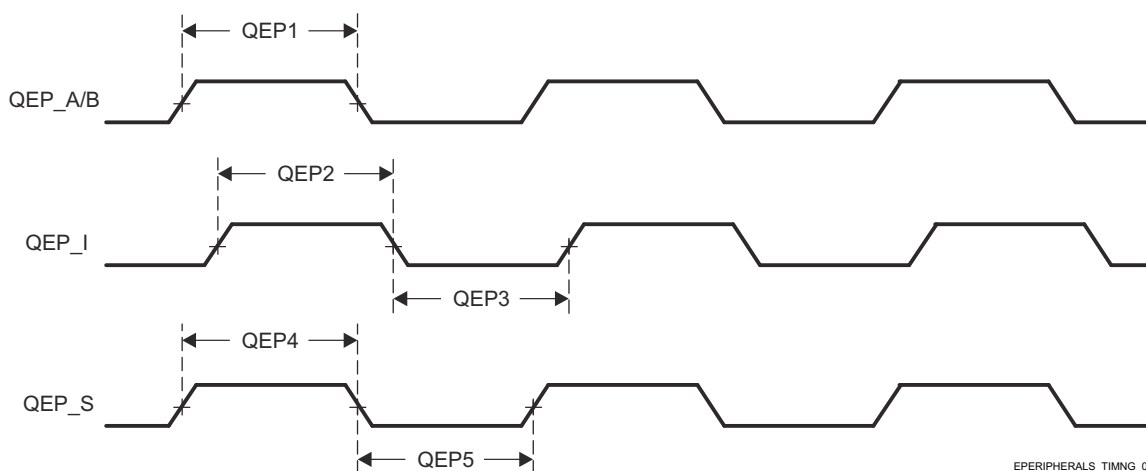


图 6-20. EQEP 时序要求

6.11.5.4.3 EQEP 开关特性
(3)

编号	参数	说明	最小值	最大值	单位
QEP6	$t_{d(CNTR)_{xin}}$	延迟时间，外部时钟到计数器增量		$4 + U^{(2)} + 6P^{(1)}$	ns
QEP7	$t_{d(PCS-OUT)_{QEP}}$	延迟时间，QEP 输入边沿到位置比较同步输出		$4 + U^{(2)} + 7P^{(1)} + 4$	ns

- (1) P = sysclk 周期 (以 ns 为单位)。
 (2) U = 输入限定器采样窗口。有关输入限定器模式的详细信息，请参阅“GPIO 电气数据和时序”部分。
 (3) 某些 EQEP 信号与 I2C0 SDA 和 SCI 引脚进行引脚多路复用。这些引脚使用备用的开漏电压缓冲器，可能不符合指定的参数。值正在等待额外的芯片后验证。

6.11.5.5 快速串行接口 (FSI)

备注

器件具有多个 FSI 模块。FSIn 是应用于 FSI 信号名称的通用前缀，其中 n 代表特定的 FSI 模块。

有关更多信息，请参阅器件 TRM 中的快速串行接口一节。

6.11.5.5.1 FSI 时序条件

参数		最小值	最大值	单位
输入条件				
SR _I	输入压摆率	0.8	4	V/ns
输出条件				
C _L	输出负载电容	1	7	pF

6.11.5.5.2 FSIRX 时序要求

编号	参数	说明	最小值	最大值	单位
FSIR1	t _c (RX_CLK)	周期时间，FSIRXn_CLK	16.67		ns
FSIR2	t _w (RX_CLK)	脉冲宽度，FSIRXn_CLK 低电平或 FSIRXn_CLK 高电平	0.35P ⁽¹⁾ - 1	0.65P ⁽¹⁾ + 1	ns
FSIR3	t _{su} (RX_D - RX_CLK)	建立时间，FSIRXn_D[0:1] 在 FSIRXn_CLK 前的有效时间	1.7		ns
FSIR4	t _h (RX_CLK - RX_D)	相对于 FSIRXn_CLK 两个边沿的保持时间	2		ns

(1) P = t_c(RX_CLK) = RX 接口时钟周期，单位为 ns。

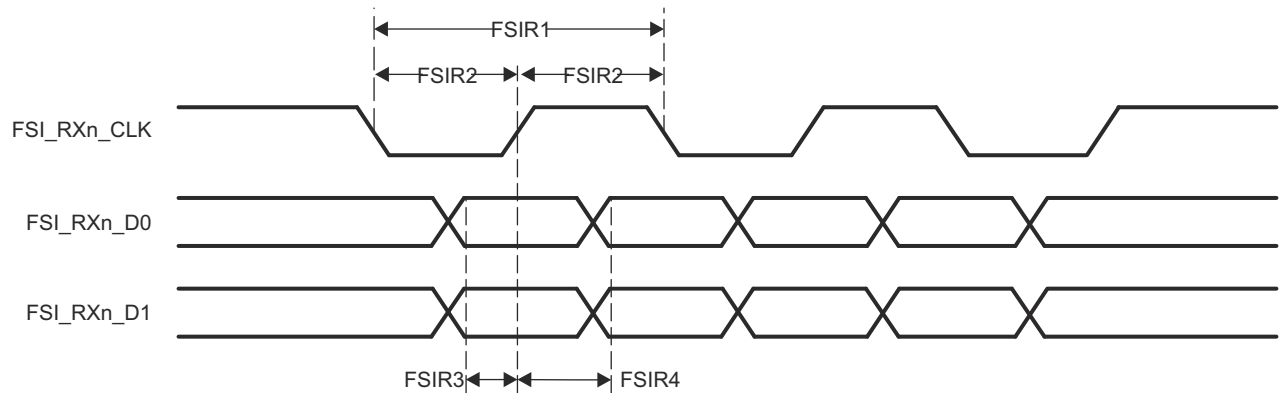


图 6-21. FSI 时序要求

6.11.5.5.3 FSIRX 开关特性

编号	参数	说明	最小值	最大值	单位
FSIR5	t _d (RX_CLK)	RX_DLYLINE_CTRL[RXCLK_DLY]=31 时的 FSIRXn_CLK 延迟补偿	10	30	ns
FSIR6	t _d (RX_D0)	RX_DLYLINE_CTRL[RXCLK_DLY]=31 时的 FSIRXn_D0 延迟补偿	10	30	ns
FSIR7	t _d (RX_D1)	RX_DLYLINE_CTRL[RXCLK_DLY]=31 时的 FSIRXn_D1 延迟补偿	10	30	ns
FSIR8	t _d (DELAY_ELEMENT)	每个延迟线路元件的 FSIRXn_CLK、FSIRXn_D0 和 FSIRXn_D1 增量延迟	0.3	1	ns
FSIR_TD M1	t _{skew} (RX_CLK-TX_TDM_D)	FSIRXn_TDM_CLK 延迟和 FSIRXn_TDM_D[0:1] 之间的延迟偏斜	-3	3	ns

编号	参数	说明	最小值	最大值	单位
FSIR_TD M2	$t_{\text{skew}}(\text{RX_CLK-TX_TDM_CLK})$	延时时间, FSIRXn_CLK 输入到 FSITXn_TDM_CLK 输出的时间	2	12	ns
FSIR_TD M3	$t_{\text{skew}}(\text{RX_D0-TX_TDM_D0})$	延时时间, FSIRXn_D0 输入到 FSITXn_TDM_D0 输出的时间	2	12	ns
FSIR_TD M4	$t_{\text{skew}}(\text{RX_D1-TX_TDM_D1})$	延时时间, FSIRXn_D1 输入到 FSITXn_TDM_D1 输出的时间	2	12	ns

6.11.5.5.4 FSITX 开关特性

编号	参数	说明	最小值	最大值	单位
FSIT1	$t_c(\text{TX_CLK})$	周期时间, FSITXn_CLK	16.67		ns
FSIT2	$t_w(\text{TX_CLK})$	脉冲宽度, FSITXn_CLK 低电平或 FSITXn_CLK 高电平	$0.5P^{(1)} - 1$	$0.5P^{(1)} + 1$	ns
FSIT3	$t_d(\text{TX_CLK-TX_D})$	延迟时间, FSITXn_CLK 高电平或 FSITXn_CLK 低电平之后 FSITXn_Dx 有效	$0.25P^{(1)} - 2$	$0.25P^{(1)} + 2$	ns
FSIT4	$t_d(\text{TX_CLKL})$	TX_DLYLINE_CTRL[TXCLK_DLY]=31 时的 FSITXn_CLK 延迟补偿	9.95	30	ns
FSIT5	$t_d(\text{TX_D0})$	TX_DLYLINE_CTRL[TXCLK_DLY]=31 时的 FSITXn_D0 延迟补偿	9.95	30	ns
FSIT6	$t_d(\text{TX_D1})$	TX_DLYLINE_CTRL[TXCLK_DLY]=31 时的 FSITXn_D1 延迟补偿	9.95	30	ns
FSIT7	$t_d(\text{TX_DELAY_ELEMENT})$	每个延迟线路元件的 FSITXn_CLK、FSITXn_D0 和 FSITXn_D1 增量延迟	0.3	1	ns
FSIT_TD M1	$t_{\text{skew}}(\text{TX_TDM_CLK-TX_TDM_D})$	FSITXn_TDM_CLK 延迟和 FSITXn_TDM_D[0:1] 延迟之间引入的延迟偏斜	-2.5	2.5	ns
FSIT_TD M2	$t_{\text{skew}}(\text{TX_TDM_CLK-TX_CLK})$	延时时间, FSITXn_TDM_CLK 输入到 FSITXn_CLK 输出的时间	2	12	ns
FSIT_TD M3	$t_{\text{skew}}(\text{TX_TDM_D0-TX_D0})$	延时时间, FSITXn_TDM_D0 输入到 FSITXn_D0 输出的时间	2	12	ns
FSIT_TD M4	$t_{\text{skew}}(\text{TX_TDM_D1-TX_D1})$	延时时间, FSITXn_TDM_D1 输入到 FSITXn_D1 输出的时间	2	12	ns

(1) $P = t_c(\text{TX_CLK}) = \text{FSITX}$ 接口时钟周期, 单位为 ns。

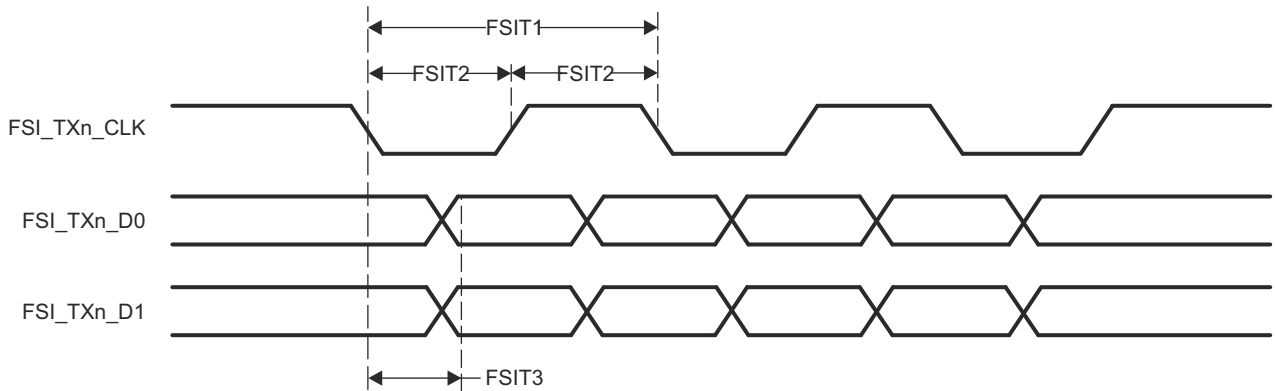


图 6-22. FSI 开关特性 - FSI 模式

6.11.5.5.5 FSITX SPI 信令模式开关特性

编号	参数	说明	最小值	最大值	单位
FSIT4	$t_{c(TX_CLK)}$	周期时间, FSITXn_CLK	16.67		ns
FSIT5	$t_{w(TX_CLK)}$	脉冲宽度, FSITXn_CLK 低电平或 FSITXn_CLK 高电平	$0.5P^{(1)} - 1$	$0.5P^{(1)} + 1$	ns
FSIT6	$t_{d(TX_CLKH - TX_D0)}$	延迟时间, FSITXn_CLK 高电平到 FSITXn_D0 有效		3	ns
FSIT7	$t_{d(TX_D1-TX_CLK)}$	延迟时间, FSITXn_D1 低电平到 FSITXn_CLK 高电平	$P^{(1)} - 3$		ns
FSIT8	$t_{d(TX_CLK-TX_D1)}$	延迟时间, FSITXn_CLK 低电平到 FSITXn_D1 高电平	$P^{(1)}$		ns

(1) $P = t_{c(TX_CLK)}$ = FSITX 接口时钟周期, 单位为 ns。

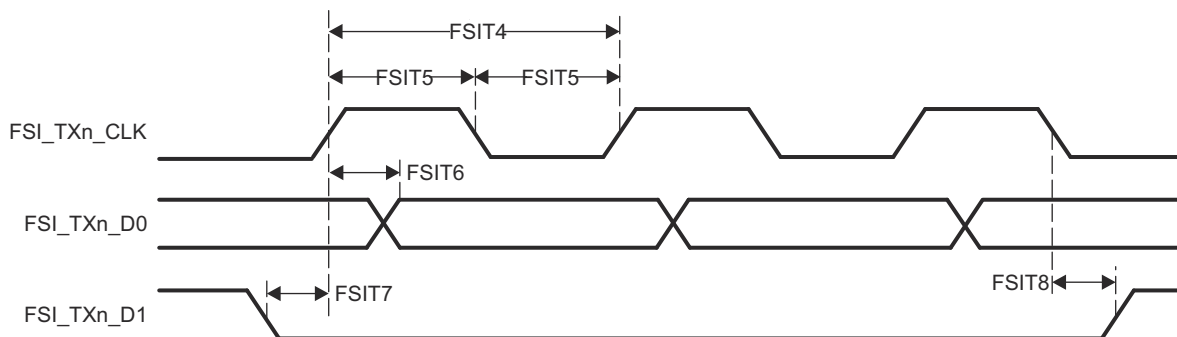


图 6-23. FSI 开关特性 - SPI 模式

6.11.5.6 通用输入/输出 (GPIO)

有关器件 GPIO 特性和其他说明信息的更多详情，请参阅 *信号说明* 和 *详细说明* 部分中的相应小节。

有关更多信息，请参阅器件 TRM 中的 *通用接口 (GPIO)* 一节。

6.11.5.6.1 GPIO 时序条件

参数		缓冲器类型	最小值	最大值	单位
输入条件					
SR _i	输入压摆率		0.75	6.6	V/ns
输出条件					
C _L	输出负载电容	LVC MOS	3	10	pF
		I2C OD FS ⁽¹⁾	3	10	pF

(1) 缓冲器类型 I2C OD FS 需要一个上拉电阻器。

6.11.5.6.2 GPIO 时序要求

编号	参数	说明	缓冲器类型	最小值	最大值	单位
D3	t _{w(GPIO_IN)}	最小输入脉冲宽度	LVC MOS	2P ⁽¹⁾ + 2		ns
D4			I2C OD FS ⁽²⁾	2P ⁽¹⁾ + 2		ns

(1) P = 功能时钟周期 (以 ns 为单位)。

(2) 缓冲器类型 I2C OD FS 需要一个上拉电阻器。

6.11.5.6.3 GPIO 开关特性

编号	参数	说明	缓冲器类型	最小值	最大值	单位
D1	t _{w(GPIO_OUT)}	最小输出脉冲宽度	LVC MOS	0.975P ⁽¹⁾ - 2		ns
D2	t _{w(GPIO_OUT)}	最小输出脉冲宽度低电平	I2C OD FS ⁽²⁾	2P ⁽¹⁾ + 160		ns
D3	t _{w(GPIO_OUT)}	最小输出脉冲宽度高电平	I2C OD FS ⁽²⁾	2P ⁽¹⁾ + 160		ns

(1) P = 功能时钟周期 (以 ns 为单位)。

(2) 缓冲器类型 I2C OD FS 需要一个上拉电阻器。

6.11.5.7 内部集成电路 (I²C)

有关器件集成电路总线特性和其他说明的更多详细信息，请参阅 *信号说明* 和 *详细说明* 部分中的相应小节。

有关更多信息，请参阅器件 TRM 中的 *内部集成电路 (I²C)* 一节。

6.11.5.7.1 I2C

该器件包含四个多控制器集成电路总线 (I2C) 控制器。每个 I2C 控制器均设计为符合 Philips I²C-bus™ 规范版本 2.1。然而，器件 IO 并不完全符合 I2C 电气规格。下面介绍了每个端口支持的速度和例外情况：

- I2C1、I2C2 和 I2C3
 - 速度：
 - 标准模式 (最高 100kb/s)
 - 3.3V
 - 快速模式 (最高 400kb/s)
 - 3.3V
 - 例外情况：
 - 与这些端口关联的 IO 不符合 I2C 规范中定义的下降时间要求，因为它们是通过性能更高的 LVCMOS 推挽 IO 实现的，这些 IO 旨在支持无法通过 I2C 兼容 IO 实现的其他信号功能。这些端口上使用的 LVCMOS IO 的连接方式可以对开漏输出进行仿真。该仿真是通过强制实现恒定低电平输出并禁用输出缓冲器进入高阻态来实现的。
 - I2C 规范定义了大小为 ($V_{DD_{max}} + 0.5V$) 的最大输入电压 V_{IH} ，这超出了器件 IO 的绝对最大额定值。系统的设计必须确保 I2C 信号永远不会超过本数据表的 *绝对最大额定值* 部分中定义的限值。
- I2C0
 - 速度：
 - 标准模式 (最高 100kb/s)
 - 3.3V
 - 快速模式 (最高 400kb/s)
 - 3.3V
 - 例外情况：
 - 与该端口关联的 IO 并未设计为支持 Hs 模式。
 - 连接到这些端口的 I2C 信号的上升和下降时间不得超过 0.8V/ns (或 8E+7V/s) 的压摆率。该限制比 I2C 规范中定义的最小下降时间限制更严格。因此，可能需要向 I2C 信号添加额外的电容，以延长上升和下降时间，使其压摆率不超过 0.8V/ns。
 - I2C 规范定义了大小为 ($V_{DD_{max}} + 0.5V$) 的最大输入电压 V_{IH} ，这超出了器件 IO 的绝对最大额定值。系统的设计必须确保 I2C 信号永远不会超过本数据表的 *绝对最大额定值* 部分中定义的限值。

有关时序详细信息，请参阅 Philips I2C 总线规范版本 2.1。

有关器件集成电路总线特性和其他说明的更多详细信息，请参阅 *信号说明* 和 *详细说明* 部分中的相应小节。

6.11.5.8 本地互连网络 (LIN)

备注

器件具有多个 LIN 模块。LINn 是应用于 LIN 信号名称的通用前缀，其中 n 代表特定的 LIN 模块。

有关更多信息，请参阅器件 TRM 中的 *本地互连网络 (LIN) 模块* 一节。

6.11.5.8.1 LIN 时序条件

参数		最小值	最大值	单位
输入条件				
SR _i	输入压摆率	2	15	V/ns
输出条件				
C _L	输出负载电容	5	20	pF

6.11.5.8.2 LIN 时序要求

编号	参数	说明	最小值	最大值	单位
LIN2	t _{d(LINn_RX)}	延迟时间，LINn_RX 移位寄存器到 LINn_RX 引脚的时间	0	10	ns

6.11.5.8.3 LIN 开关特性

编号	参数	说明	最小值	最大值	单位
LIN4	t _{d(LINn_TX)}	延迟时间，LINn_TX 移位寄存器到 LINn_TX 引脚的时间		10	ns

6.11.5.9 模块化控制器局域网 (MCAN)

有关器件控制器局域网接口特性和其他说明信息的更多详情，请参阅 *信号说明* 和 *详细说明* 部分中的相应小节。

备注

器件具有多个 MCAN 模块。MCANn 是应用于 MCAN 信号名称的通用前缀，其中 n 代表特定的 MCAN 模块。

有关更多信息，请参阅器件 TRM 中的 *控制器局域网 (MCAN)* 部分。

6.11.5.9.1 MCAN 时序条件

参数		最小值	最大值	单位
输入条件				
SR _i	输入压摆率	2	15	V/ns
输出条件				
C _L	输出负载电容	5	20	pF

6.11.5.9.2 MCAN 开关特性

编号	参数	说明	最小值	最大值	单位
M1	t _{d(MCAN_TX)}	延迟时间，发送移位寄存器到 MCANn_TX 引脚的时间		10	ns
M2	t _{d(MCAN_RX)}	延迟时间，MCANn_RX 引脚到接收移位寄存器的时间		10	ns

6.11.5.10 串行外设接口 (SPI)

有关器件串行端口接口特性和其他说明信息的更多详情，请参阅 *信号说明* 和 *详细说明* 部分中的相应小节。

备注

器件具有多个 SPI 模块。通用 SPI_ 前缀用于表示所有 SPI 实例的信号名称。

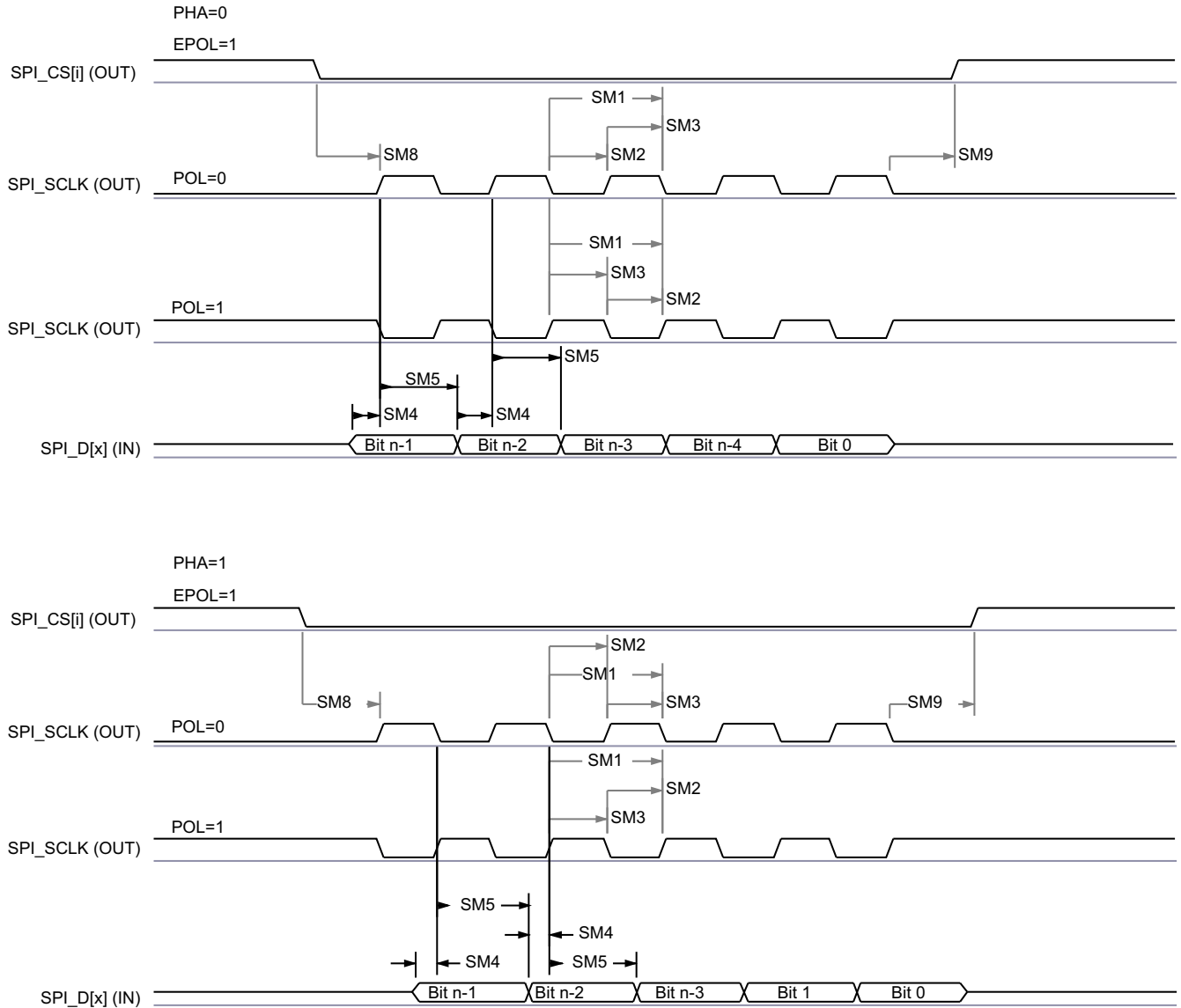
有关更多信息，请参阅器件 TRM 中的 *串行外设接口 (SPI)* 一节。

6.11.5.10.1 SPI 时序条件

参数		最小值	最大值	单位
输入条件				
SR _i	输入压摆率	2	8.5	V/ns
输出条件				
C _L	输出负载电容	2	24	pF

6.11.5.10.2 SPI 控制器模式时序要求

编号	参数	说明	最小值	最大值	单位
正常模式					
SM4	t _{su} (MISO-SPICLK)	建立时间，在 spi_sclk 有效边沿之前 spi_d[x] 有效	2		ns
SM5	t _h (SPICLK-MISO)	保持时间，在 spi_sclk 有效边沿之后 spi_d[x] 有效	3		ns



SPRSP08_TIMING_McSPI_02

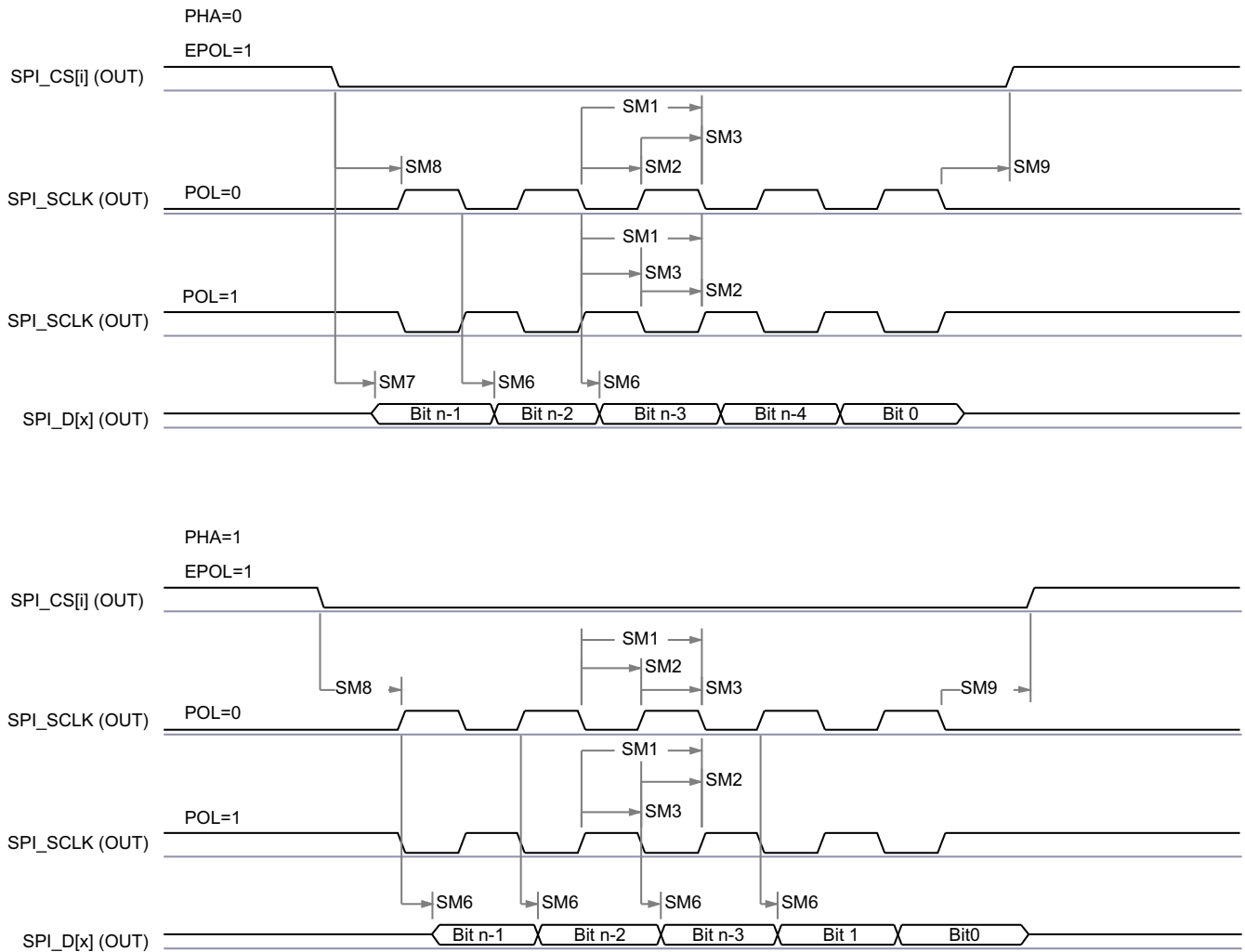
图 6-24. SPI 控制器模式接收时序

6.11.5.10.3 SPI 控制器模式开关特性 (时钟相位 = 0)

编号	参数	说明	最小值	最大值	单位
正常模式					
SM1	$t_c(\text{SPICLK})$	周期时间, spi_sclk	20		ns
SM2	$t_w(\text{SPICLK}_L)$	典型脉冲持续时间, spi_sclk 低电平	-1 + 0.5P ⁽¹⁾		ns
SM3	$t_w(\text{SPICLK}_H)$	典型脉冲持续时间, spi_sclk 高电平	-1 + 0.5P ⁽¹⁾		ns
SM6	$t_d(\text{SPICLK-SIMO})$	延迟时间, spi_sclk 有效边沿到 spi_d[x] 转换的时间	-3	2	ns
SM7	$t_{sk}(\text{CS-SIMO})$	延迟时间, spi_cs[x] 有效至 spi_d[x] 转换的时间	5		ns

编号	参数	说明	最小值	最大值	单位
SM8	$t_{d(SPICLK-CS)}$	延迟时间, spi_cs[x] 有效到 spi_sclk 第一个边沿的时间	PHA = 0	- 4 + B ⁽³⁾	ns
			PHA = 1	- 4 + A ⁽²⁾	ns
SM9	$t_{d(SPICLK-CS)}$	延迟时间, spi_sclk 最后边沿到 spi_cs[x] 无效的时间	PHA = 0	- 4 + A ⁽²⁾	ns
			PHA = 1	- 4 + B ⁽³⁾	ns

- (1) P = SPICLK 周期, 单位为 ns。
 (2) 当 P = 20.8ns 时, A = (TCS + 1) * TSPICLKREF, 其中 TCS 是 SPI_CH(i)CONF 寄存器的位字段。当 P > 20.8ns 时, A = (TCS + 0.5) * Fratio * TSPICLKREF, 其中 TCS 是 SPI_CH(i)CONF 寄存器的位字段。
 (3) B = (TCS + .5) * TSPICLKREF, 其中 TCS 是 SPI_CH(i)CONF 寄存器的位字段且 Fratio = 偶数 >= 2。



SPRSP08_TIMING_McSPI_01

图 6-25. SPI 控制器模式发送时序

6.11.5.10.4 SPI 外设模式时序要求

编号	参数	说明	最小值	最大值	单位
SS1	$t_c(SPICLK)$	周期时间, spi_sclk	40		ns
SS2	$t_w(SPICLK_L)$	典型脉冲持续时间, spi_sclk 低电平	$0.45 \times P^{(1)}$		ns
SS3	$t_w(SPICLK_H)$	典型脉冲持续时间, spi_sclk 高电平	$0.45 \times P^{(1)}$		ns

编号	参数	说明	最小值	最大值	单位
SS4	$t_{su}(SIMO-SPICLK)$	建立时间, 在 spi_sclk 有效边沿之前 spi_d[x] 有效	5		ns
SS5	$t_h(SPICLK-SIMO)$	保持时间, 在 spi_sclk 有效边沿之后 spi_d[x] 有效	5		ns
SS8	$t_{su}(CS-SPICLK)$	建立时间, spi_sclk 第一个边沿之前 spi_cs[x] 有效	5		ns
SS9	$t_h(SPICLK-CS)$	保持时间, spi_sclk 最后一个边沿之后 spi_cs[x] 有效	5		ns

(1) P = SPICLK 周期。

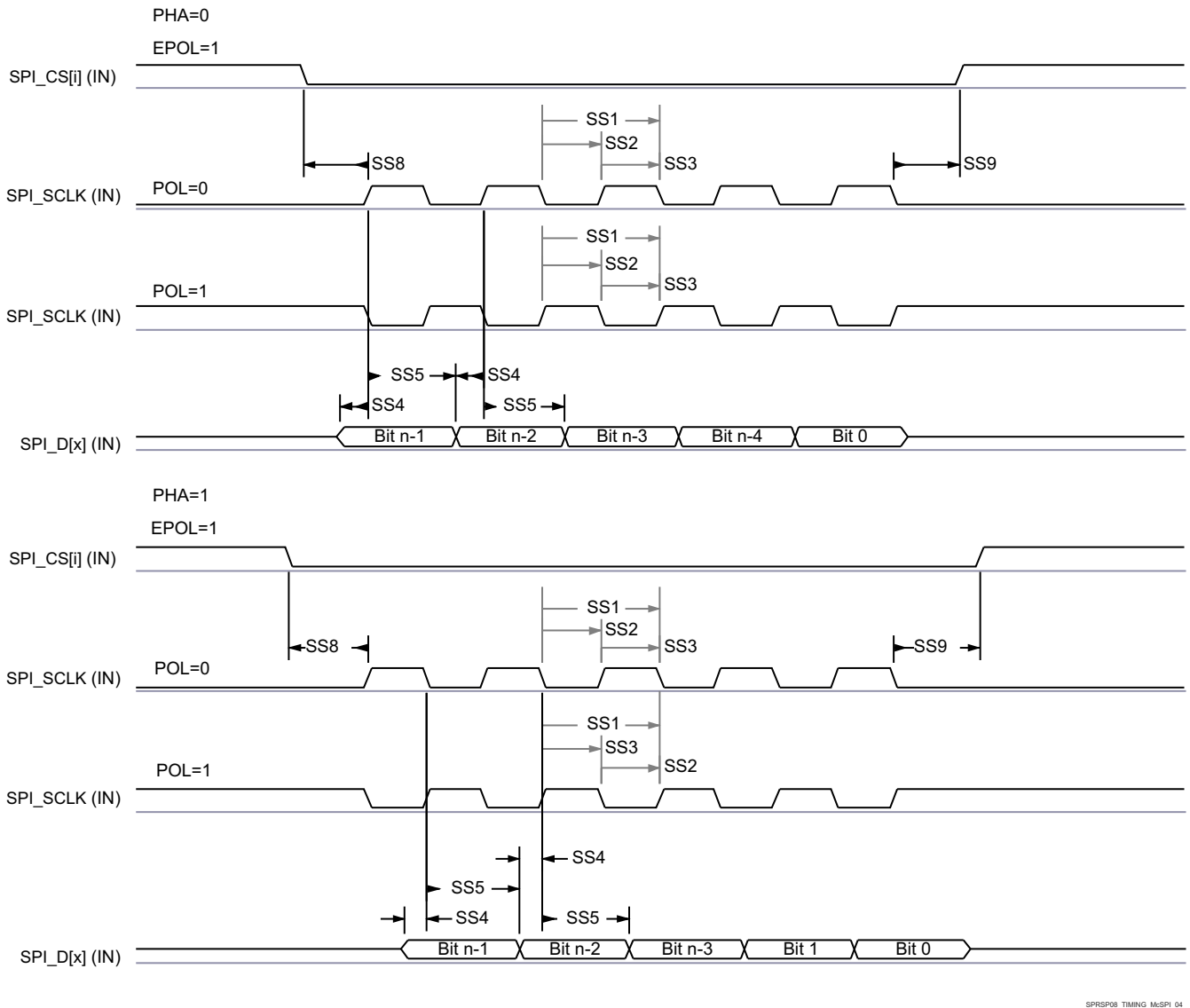
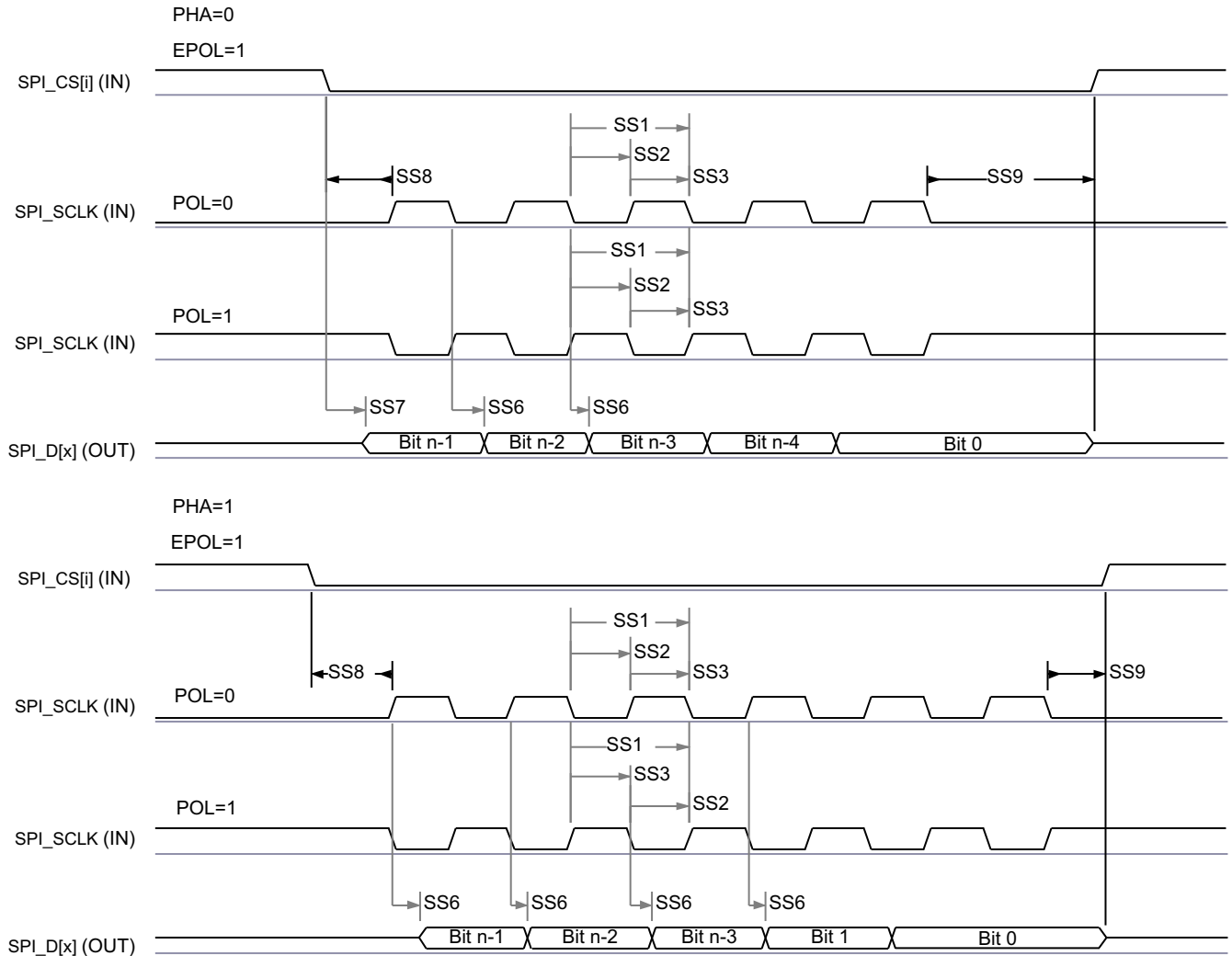


图 6-26. SPI 外设模式接收时序

6.11.5.10.5 SPI 外设模式开关特性

编号	参数	说明	最小值	最大值	单位
正常模式					

编号	参数	说明	最小值	最大值	单位
SS6	$t_{d(SPICLK-SOMI)}$	延迟时间, spi_sclk 有效边沿到 mcspi_somi 转换	2	17.12	ns
SS7	$t_{sk(CS-SOMI)}$	延迟时间, spi_cs[x] 有效边沿到 mcspi_somi 转换	20.95		ns



SPRSP08_TIMING_McSPI_03

图 6-27. SPI 外设模式发送时序

6.11.5.11 多媒体卡/安全数字 (MMCSD)

MMCSD 主机控制器提供用于连接嵌入式多媒体卡 (MMC) 和安全数字 (SD) 器件的接口。MMCSD 主机控制器在传输级别处理 MMC/SD 协议、数据打包、添加循环冗余校验 (CRC)、开始/结束位插入以及语法正确性检查

有关 MMCSD 接口的更多详细信息，请参阅 *信号说明* 和 *详细说明* 中相应的 MMC 小节。

有关更多信息，请参阅器件 TRM 的外设一章中的 *多媒体卡/安全数字 (MMCSD) 接口* 一节。

6.11.5.11.1 MMC 时序条件

参数		模式	最小值	最大值	单位
输入条件					
SR _i	输入压摆率	默认速度	0.69	2.06	V/ns
		高速	0.69	2.06	V/ns
输出条件					
C _L	输出负载电容	默认速度	1	10	pF
		高速	1	10	pF

6.11.5.11.2 MMC 时序要求 - SD 卡默认速度模式

编号	参数	说明	最小值	最大值	单位
DS1	t _{su(cmdV-clkH)}	建立时间，在 MMC_CLK 上升沿之前 MMC_CMD 有效	2.15		ns
DS2	t _{h(clkH-cmdV)}	保持时间，在 MMC_CLK 上升沿之后 MMC_CMD 有效	19.67		ns
DS3	t _{su(dV-clkH)}	建立时间，在 MMC_CLK 上升沿之前 MMC_DAT[3:0] 有效	2.15		ns
DS4	t _{h(clkH-dV)}	保持时间，在 MMC_CLK 上升沿之后 MMC_DAT[3:0] 有效	19.67		ns

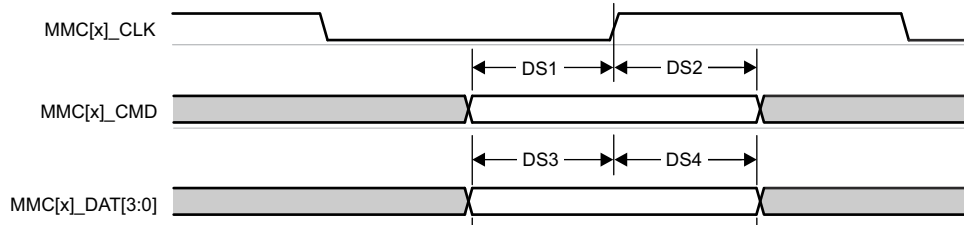


图 6-28. MMC - 默认速度 - 接收模式

6.11.5.11.3 MMC 开关特性 - SD 卡默认速度模式

编号	参数	说明	最小值	最大值	单位
	f _{op(clk)}	工作频率，MMC_CLK		25	MHz
DS5	t _{c(clk)}	运行周期，MMC_CLK		40	ns
DS6	t _{w(clkH)}	脉冲持续时间，MMC_CLK 高电平	18.7		ns
DS7	t _{w(clkL)}	脉冲持续时间，MMC_CLK 低电平	18.7		ns
DS8	t _{d(clkL-cmdV)}	延迟时间，MMC_CLK 下降沿到 MMC_CMD 转换	-14.1	14.1	ns
DS9	t _{d(clkL-dV)}	延迟时间，MMC_CLK 下降沿到 MMC_DAT[3:0] 转换	-14.1	14.1	ns

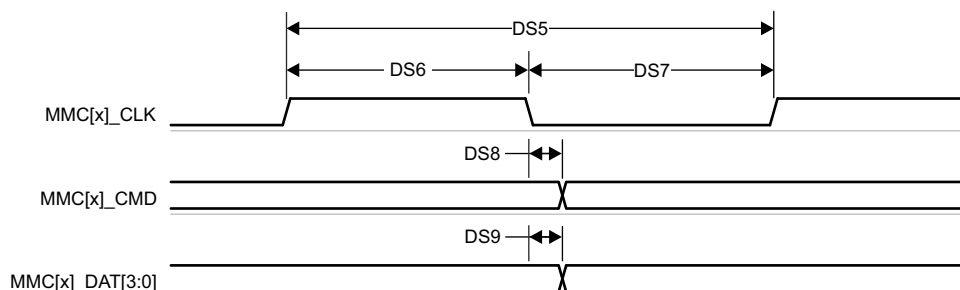


图 6-29. MMC- 默认速度 - 发送模式

6.11.5.11.4 MMC 时序要求 - SD 卡高速模式

编号	参数	说明	最小值	最大值	单位
HS1	$t_{su(cmdV-clkH)}$	建立时间, 在 MMC_CLK 上升沿之前 MMC_CMD 有效	2.15		ns
HS2	$t_h(clkH-cmdV)$	保持时间, 在 MMC_CLK 上升沿之后 MMC_CMD 有效	2.67		ns
HS3	$t_{su(dV-clkH)}$	建立时间, 在 MMC_CLK 上升沿之前 MMC_DAT[3:0] 有效	2.15		ns
HS4	$t_h(clkH-dV)$	保持时间, 在 MMC_CLK 上升沿之后 MMC_DAT[3:0] 有效	2.67		ns

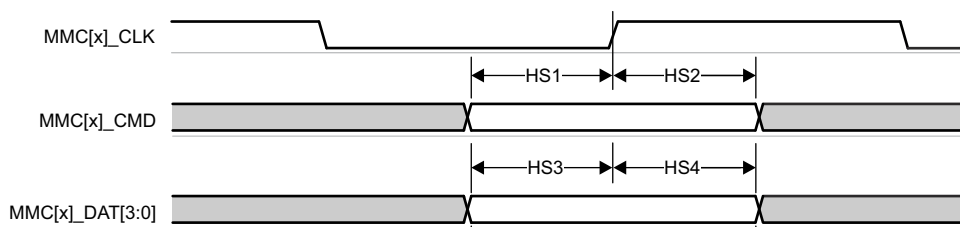


图 6-30. MMC - 高速 - 接收模式

6.11.5.11.5 MMC 开关特性 - SD 卡高速模式

编号	参数	说明	最小值	最大值	单位
	$f_{op}(clk)$	工作频率, MMC_CLK		50	MHz
HS5	$t_c(clk)$	运行周期, MMC_CLK		20	ns
HS6	$t_w(clkH)$	脉冲持续时间, MMC_CLK 高电平	9.2		ns
HS7	$t_w(clkL)$	脉冲持续时间, MMC_CLK 低电平	9.2		ns
HS8	$t_d(clkL-cmdV)$	延迟时间, MMC_CLK 下降沿到 MMC_CMD 转换	-7.35	3.35	ns
HS9	$t_d(clkL-dV)$	延迟时间, MMC_CLK 下降沿到 MMC_DAT[3:0] 转换	-7.35	3.35	ns

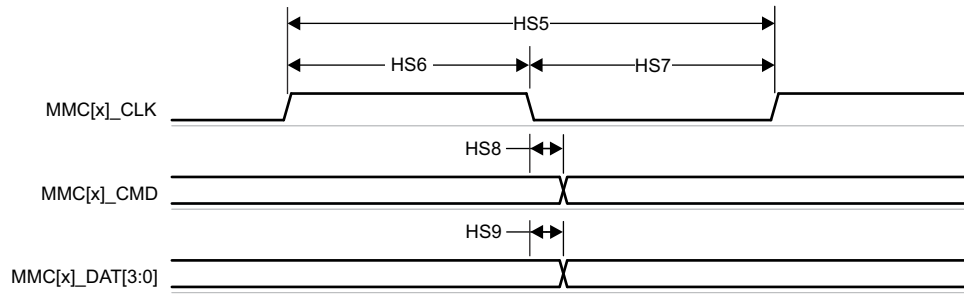


图 6-31. MMC - 高速 - 发送模式

6.11.5.12 八进制串行外设接口 (OSPI)

OSPI0 提供两种数据捕获模式：PHY 模式和 Tap 模式。

PHY 模式使用内部基准时钟通过基于 DLL 的 PHY 发送和接收数据，在这种模式下，每个基准时钟周期为单倍数据速率 (SDR) 传输生成一个周期的 OSPI0_CLK，或为双倍数据速率 (DDR) 传输生成半个周期的 OSPI0_CLK。PHY 模式支持接收数据捕获时钟的四种时钟拓扑。内部 PHY 环回 - 使用内部基准时钟作为 PHY 接收数据采集时钟。内部焊盘环回 - 使用从 OSPI0_LBCLKO 引脚环回到 PHY 的 OSPI0_LBCLKO 作为 PHY 接收数据采集时钟。外部电路板环回 - 使用从 OSPI0_DQS 引脚环回到 PHY 的 OSPI0_LBCLKO 作为 PHY 接收数据采集时钟。DQS - 使用所连接器件的 DQS 输出作为 PHY 接收数据采集时钟。使用内部焊盘环回和 DQS 时钟拓扑时，不支持 SDR 传输。使用内部 PHY 环回或内部焊盘环回时钟拓扑时，不支持 DDR 传输。

Tap 模式使用具有可选 Tap 的内部基准时钟来调整相对于 OSPI0_CLK 的数据发送和接收捕获延迟，OSPI0_CLK 是 SDR 传输的内部基准时钟的 4 分频或 DDR 传输的内部基准时钟的 8 分频。Tap 模式仅支持接收数据捕获时钟的一种时钟拓扑。无环回 - 使用内部基准时钟作为 Tap 接收数据捕获时钟。此时钟拓扑支持 200MHz 的最大内部基准时钟速率，从而在 SDR 模式下产生高达 50MHz 的 OSPI0_CLK 速率，或在 DDR 模式下产生高达 25MHz 的 OSPI0_CLK 速率。

有关器件八路串行外设接口特性和其他说明信息的更多详情，请参阅 [信号说明](#) 和 [详细说明](#) 部分中的相应小节。

[OSPI PHY 模式](#) 定义了与 PHY 模式相关的时序要求和开关特性，[OSPI Tap 模式](#) 定义了与 Tap 模式相关的时序要求和开关特性。

[OSPI 时序条件](#) 显示了 OSPI0 的时序条件。

有关更多信息，请参阅器件 TRM 的中的 [八路串行外设接口 \(OSPI\)](#) 一节。

6.11.5.12.1 OSPI 时序条件

参数		模式	最小值	最大值	单位
输入条件					
SR _i	输入压摆率		2	6	V/ns
输出条件					
C _L	输出负载电容		3	15	pF
PCB 连接要求					
t _d (Trace Delay)	OSPI0_CLK 布线的传播延迟	无环回 内部 PHY 环回 内部焊盘环回		450	ps
	OSPI0_DQS 布线的传播延迟	DQS	L ⁽¹⁾ - 30	L ⁽¹⁾ + 30	ps
	OSPI0_LBCLKO 布线的传播延迟	外部电路板环回	2L ⁽¹⁾ - 30	2L ⁽¹⁾ + 30	ps
t _d (Trace Mismatch Delay)	OSPI0_D[7:0] 和 OSPI0_CS _n [1:0] 相对于 OSPI0_CLK 的传播延迟不匹配	所有模式		60	ps

(1) L = OSPI0_CLK 布线的传播延迟

6.11.5.12.2 OSPI PHY 模式

6.11.5.12.2.1 具有 PHY 数据训练的 OSPI0

读取和写入数据有效窗口将因工艺、电压、温度和工作频率的变化而发生变化。可以实现数据训练方法，以动态配置最优读取和写入时序。实现数据训练可以在特定工艺、电压和频率工作条件下的温度范围内实现正常运行，同时实现更高的工作频率。

由于数据传输和接收时序参数会根据运行条件进行动态调整，因此未针对数据训练用例定义这些参数。

6.11.5.12.2.1.1 用于PHY数据训练的OSPI DLL延迟映射

模式	OSPI_PHY_CONFIGURATION_REG 位字段	延迟值
发送		
所有模式	PHY_CONFIG_TX_DLL_DELAY_FLD	(1)
接收		
所有模式	PHY_CONFIG_RX_DLL_DELAY_FLD	(2)

- (1) 发送由训练软件确定的 DLL 延迟值
(2) 接收由训练软件确定的 DLL 延迟值

6.11.5.12.2.1.2 OSPI 时序要求 - PHY 数据训练

编号	参数	说明	模式	最小值	最大值	单位
O15	$t_{su(D-LBCLK)}$	建立时间, 在有效 OSPI0_DQS 边沿之前 OSPI0_D[7:0] 有效	具有 DQS 的 DDR	(1)		ns
O16	$t_h(LBCLK-D)$	保持时间, 在有效 OSPI0_DQS 边沿之后 OSPI0_D[7:0] 有效	具有 DQS 的 DDR	(1)		ns

- (1) 当使用数据训练查找最佳数据有效窗口时, 未定义 OSPI0_D[7:0] 输入的最小建立和保持时间要求。

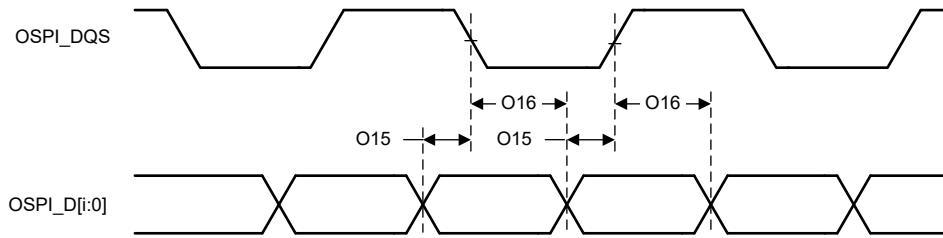


图 6-32. OSPI0 时序要求 - PHY 数据训练, 具有 DQS 的 DDR

6.11.5.12.2.1.3 OSPI 开关特性 - PHY 数据训练

编号	参数	说明	模式	最小值	最大值	单位
O1	$t_c(CLK)$	周期时间, OSPI0_CLK	3.3V, DDR	7.52		ns
O2	$t_w(CLKL)$	脉冲持续时间, OSPI0_CLK 低电平	DDR	$0.475P^{(1)} - 0.3$		ns
O3	$t_w(CLKH)$	脉冲持续时间, OSPI0_CLK 高电平	DDR	$0.475P^{(1)} - 0.3$		ns
O4	$t_d(CSn-CLK)$	延迟时间, OSPI0_CSn[1:0] 有效边沿到 OSPI0_CLK 上升沿	DDR	$0.475P^{(1)} + (0.975 \times M^{(2)} \times R^{(4)}) + 0.65TD^{(5)} - 1$	$0.525P^{(1)} + (1.025 \times M^{(2)} \times R^{(4)}) + 0.175TD^{(5)} + 1$	ns
O5	$t_d(CLK-CSn)$	延迟时间, OSPI0_CLK 上升沿到 OSPI0_CSn[1:0] 无效边沿	DDR	$0.475P^{(1)} + (0.975 \times N^{(3)} \times R^{(4)}) - 0.065TD^{(5)} - 1$	$0.525P^{(1)} + (1.025 \times N^{(3)} \times R^{(4)}) - 0.175TD^{(5)} + 1$	ns
O6	$t_d(CLK-D)$	延迟时间, OSPI0_CLK 有效边沿到 OSPI0_D[7:0] 转换	DDR	(6)	(6)	ns

- (1) $P = OSPI0_CLK$ 周期时间 = SCLK 周期 (以 ns 为单位)
(2) $M = OSPI_DEV_DELAY_REG[D_INIT_FLD]$
(3) $N = OSPI_DEV_DELAY_REG[D_AFTER_FLD]$
(4) $R = REFCLK$ 周期时间 (以 ns 为单位)
(5) $TD = PHY_CONFIG_TX_DLL_DELAY_FLD$
(6) 当使用数据训练查找最佳数据有效窗口时, 不定义 OSPI0_D[7:0] 输出的最小和最大延迟时间。

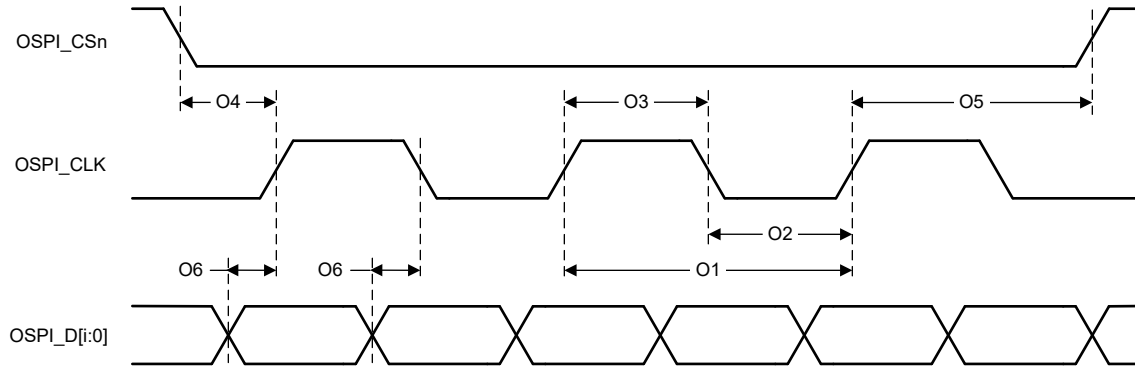


图 6-33. OSPI0 开关特性 - PHY DDR 数据训练

6.11.5.12.2.2 无数据训练的 OSPI0

备注

本节中定义的时序参数仅适用于未执行数据训练且按 [PHY SDR 时序模式的 OSPI DLL 延迟映射](#) 和 [PHY DDR 时序模式的 OSPI DLL 延迟映射](#) 中所述配置了 DLL 延迟的情况。

6.11.5.12.2.2.1 OSPI0 PHY SDR 时序

6.11.5.12.2.2.1.1 PHY SDR 时序模式的 OSPI DLL 延迟映射

模式	OSPI_PHY_CONFIGURATION_REG 位字段	延迟值
发送		
所有模式	PHY_CONFIG_TX_DLL_DELAY_FLD	0x23
接收		
具有内部 PHY 环回的 SDR	PHY_CONFIG_RX_DLL_DELAY_FLD	0x2D
具有外部电路板环回的 SDR	PHY_CONFIG_RX_DLL_DELAY_FLD	0xA

6.11.5.12.2.2.1.2 OSPI 时序要求 - PHY SDR 模式

编号	参数	说明	模式	最小值	最大值	单位
O19	$t_{su(D-CLK)}$	建立时间，在有效 OSPI0_CLK 边沿之前 OSPI0_D[7:0] 有效	3.3V，具有内部 PHY 环回的 SDR	7		ns
O20	$t_h(CLK-D)$	保持时间，在有效 OSPI0_CLK 边沿之后 OSPI0_D[7:0] 有效	3.3V，具有内部 PHY 环回的 SDR	0		ns
O21	$t_{su(D-LBCLK)}$	建立时间，在有效 OSPI0_DQS 边沿之前 OSPI0_D[7:0] 有效	3.3V，具有外部电路板环回的 SDR	7		ns
O22	$t_h(LBCLK-D)$	保持时间，在有效 OSPI0_DQS 边沿之后 OSPI0_D[7:0] 有效	3.3V，具有外部电路板环回的 SDR	4.7		ns

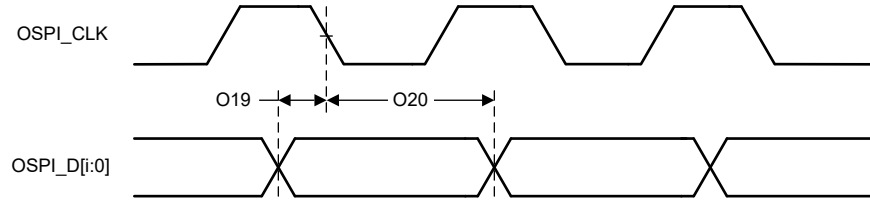


图 6-34. OSPI0 时序要求 - 具有内部 PHY 环回的 PHY SDR

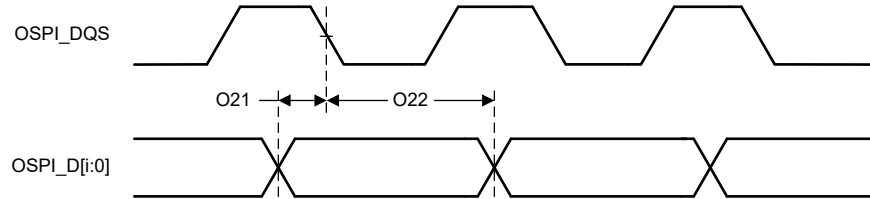


图 6-35. OSPI0 时序要求 - 具有外部电路板环回的 PHY SDR

6.11.5.12.2.2.1.3 OSPI 开关特性 - PHY SDR 模式

编号	参数	说明	模式	最小值	最大值	单位
O7	$t_{c}(\text{CLK})$	周期时间, OSPI0_CLK	3.3V	7.5		ns
O8	$t_{w}(\text{CLKL})$	脉冲持续时间, OSPI0_CLK 低电平		$0.475P^{(1)} - 0.3$		ns
O9	$t_{w}(\text{CLKH})$	脉冲持续时间, OSPI0_CLK 高电平		$0.475P^{(1)} - 0.3$		ns
O10	$t_{d}(\text{CSn-CLK})$	延迟时间, OSPI0_CS[n:1:0] 有效边沿到 OSPI0_CLK 上升沿		$0.475P^{(1)} + (0.975 \times M^{(2)} \times R^{(4)}) - 1$	$0.525P^{(1)} + (1.025 \times M^{(2)} \times R^{(4)}) + 1$	ns
O11	$t_{d}(\text{CLK-CSn})$	延迟时间, OSPI0_CLK 上升沿到 OSPI0_CS[n:1:0] 无效边沿		$0.475P^{(1)} + (0.975 \times N^{(3)} \times R^{(4)}) - 1$	$0.525P^{(1)} + (1.025 \times N^{(3)} \times R^{(4)}) + 1$	ns
O12	$t_{d}(\text{CLK-D})$	延迟时间, OSPI0_CLK 有效边沿到 OSPI0_D[7:0] 转换	3.3V	-5.05	-3.36	ns

- (1) P = CLK 周期时间 = SCLK 周期 (以 ns 为单位)
- (2) M = OSPI_DEV_DELAY_REG[D_INIT_FLD]
- (3) N = OSPI_DEV_DELAY_REG[D_AFTER_FLD]
- (4) R = REFCLK 周期时间 (以 ns 为单位)

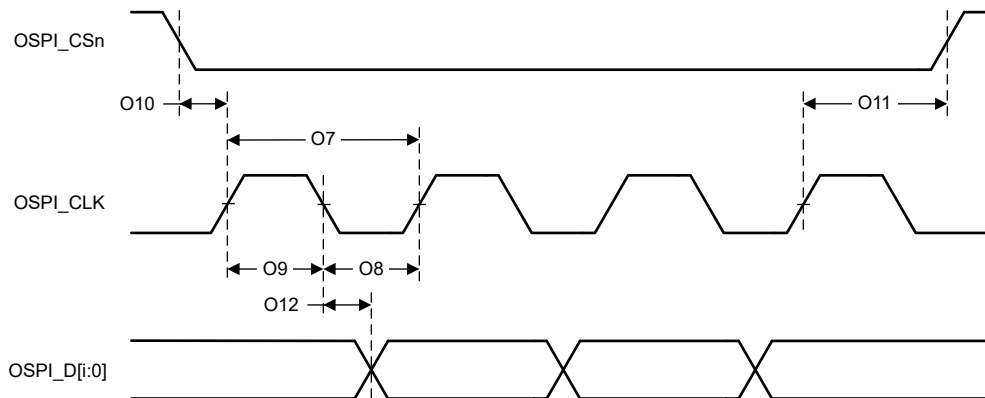


图 6-36. OSPI0 开关特性 - PHY SDR

6.11.5.12.2.2.2 OSPI0 PHY DDR 时序

6.11.5.12.2.2.1 PHY DDR 时序模式的 OSPI DLL 延迟映射

模式	OSPI_PHY_CONFIGURATION_REG 位字段	延迟值
发送		
3.3V	PHY_CONFIG_TX_DLL_DELAY_FLD	0x17
接收		
3.3V, DQS	PHY_CONFIG_RX_DLL_DELAY_FLD	0xA
3.3V, 外部电路板环回	PHY_CONFIG_RX_DLL_DELAY_FLD	0x34
所有其他模式	PHY_CONFIG_RX_DLL_DELAY_FLD	0x0

6.11.5.12.2.2.2 OSPI 时序要求 - PHY DDR 模式

编号	参数	说明	模式	最小值	最大值	单位
O15	$t_{su}(D-LBCLK)$	建立时间, 在有效 OSPI0_DQS 边沿之前 OSPI0_D[7:0] 有效	3.3V, 具有外部电路板环回的 DDR	7		ns
O15	$t_{su}(D-LBCLK)$	建立时间, 在有效 OSPI0_DQS 边沿之前 OSPI0_D[7:0] 有效	3.3V, 具有 DQS 的 DDR	-0.86		ns
O16	$t_h(LBCLK-D)$	保持时间, 在有效 OSPI0_DQS 边沿之后 OSPI0_D[7:0] 有效	3.3V, 具有外部电路板环回的 DDR	4.7		ns
O16	$t_h(LBCLK-D)$	保持时间, 在有效 OSPI0_DQS 边沿之后 OSPI0_D[7:0] 有效	3.3V, 具有 DQS 的 DDR	-0.95		ns

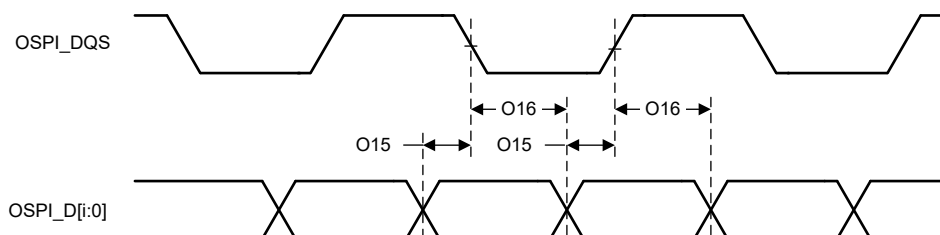


图 6-37. OSPI0 时序要求 - 具有外部电路板环回或 DQS 的 PHY DDR

6.11.5.12.2.2.2.3 OSPI 开关特性 - PHY DDR 模式

编号	参数	说明	模式	最小值	最大值	单位
O1	$t_c(CLK)$	周期时间, OSPI0_CLK		15		ns
O2	$t_w(CLKL)$	脉冲持续时间, OSPI0_CLK 低电平		0.475P ⁽¹⁾ - 0.3		ns
O3	$t_w(CLKH)$	脉冲持续时间, OSPI0_CLK 高电平		0.475P ⁽¹⁾ - 0.3		ns
O4	$t_d(CSn-CLK)$	延迟时间, OSPI0_CSn[1:0] 有效边沿到 OSPI0_CLK 上升沿		0.475P ⁽¹⁾ - (0.975 × M ⁽²⁾ × R ⁽⁴⁾)	0.525P ⁽¹⁾ - (1.025 × M ⁽²⁾ × R ⁽⁴⁾) + 7	ns
O5	$t_d(CLK-CSn)$	延迟时间, OSPI0_CLK 上升沿到 OSPI0_CSn[1:0] 无效边沿		0.475P ⁽¹⁾ + (0.975 × N ⁽³⁾ × R ⁽⁴⁾) - 7	0.525P ⁽¹⁾ + (1.025 × N ⁽³⁾ × R ⁽⁴⁾)	ns
O6	$t_d(CLK-D)$	延迟时间, OSPI0_CLK 有效边沿到 OSPI0_D[7:0] 转换	3.3V	-6.35	-1.16	ns

- (1) P = OSPI0_CLK 周期时间 = SCLK 周期 (以 ns 为单位)
(2) M = OSPI_DEV_DELAY_REG[D_INIT_FLD]
(3) N = OSPI_DEV_DELAY_REG[D_AFTER_FLD]
(4) R = REFCLK 周期时间 (以 ns 为单位)

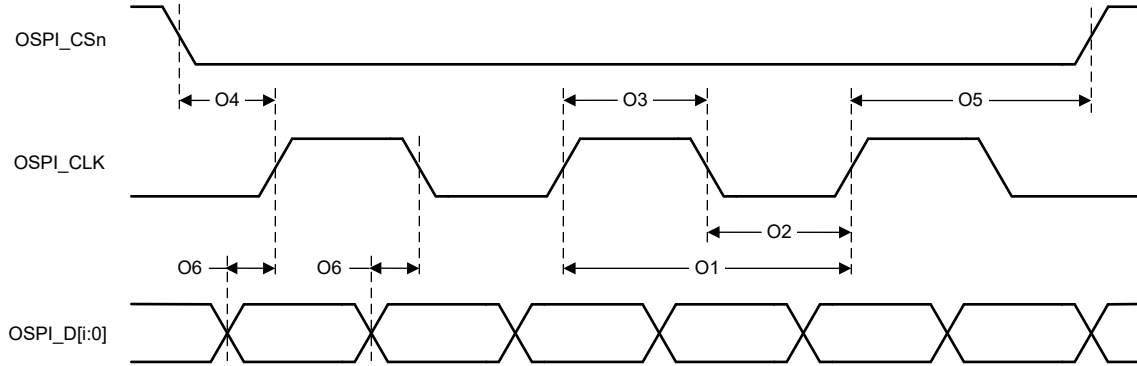


图 6-38. OSPI0 开关特性 - PHY DDR

6.11.5.12.3 OSPI Tap 模式

6.11.5.12.3.1 OSPI0 Tap SDR 时序

6.11.5.12.3.1.1 OSPI 时序要求 - Tap SDR 模式

编号	参数	说明	模式	最小值	最大值	单位
O19	$t_{su(D-CLK)}$	建立时间, 在有效 OSPI0_CLK 边沿之前 OSPI0_D[7:0] 有效	无环回	$10.4 - (0.975 \times T^{(1)} \times R^{(2)})$		ns
O20	$t_h(CLK-D)$	保持时间, 在有效 OSPI0_CLK 边沿之后 OSPI0_D[7:0] 有效	无环回	$0.7 + (0.975 \times T^{(1)} \times R^{(2)})$		ns

(1) $T = \text{OSPI_RD_DATA_CAPTURE_REG[DELAY_FLD]}$

(2) $R = \text{REFCLK 周期时间 (以 ns 为单位)}$

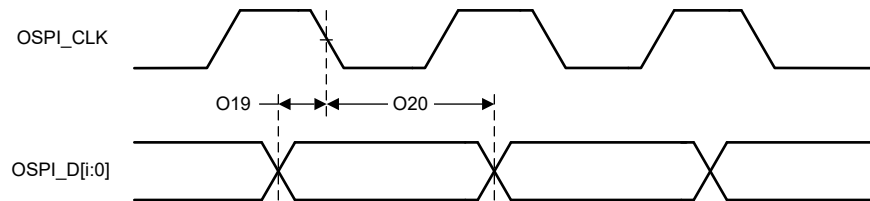


图 6-39. OSPI0 时序要求 - Tap SDR, 无环回

6.11.5.12.3.1.2 OSPI 开关特性 - Tap SDR 模式

编号	参数	说明	模式	最小值	最大值	单位
O7	$t_c(CLK)$	周期时间, OSPI0_CLK		20		ns
O8	$t_w(CLKL)$	脉冲持续时间, OSPI0_CLK 低电平		$0.475P^{(1)} - 0.3$		ns
O9	$t_w(CLKH)$	脉冲持续时间, OSPI0_CLK 高电平		$0.475P^{(1)} - 0.3$		ns
O10	$t_d(CSn-CLK)$	延迟时间, OSPI0_CSn[1:0] 有效边沿到 OSPI0_CLK 上升沿		$0.475P^{(1)} + (0.975 \times M^{(2)} \times R^{(4)}) - 1$	$0.525P^{(1)} + (1.025 \times M^{(2)} \times R^{(4)}) + 1$	ns
O11	$t_d(CLK-CSn)$	延迟时间, OSPI0_CLK 上升沿到 OSPI0_CSn[1:0] 无效边沿		$0.475P^{(1)} + (0.975 \times N^{(3)} \times R^{(4)}) - 1$	$0.525P^{(1)} + (1.025 \times N^{(3)} \times R^{(4)}) + 1$	ns
O12	$t_d(CLK-D)$	延迟时间, OSPI0_CLK 有效边沿到 OSPI0_D[7:0] 转换		-4.25	7.25	ns

(1) $P = \text{CLK 周期时间} = \text{SCLK 周期 (以 ns 为单位)}$

(2) $M = \text{OSPI_DEV_DELAY_REG[D_INIT_FLD]}$

(3) $N = \text{OSPI_DEV_DELAY_REG[D_AFTER_FLD]}$

(4) $R = \text{REFCLK 周期时间 (以 ns 为单位)}$

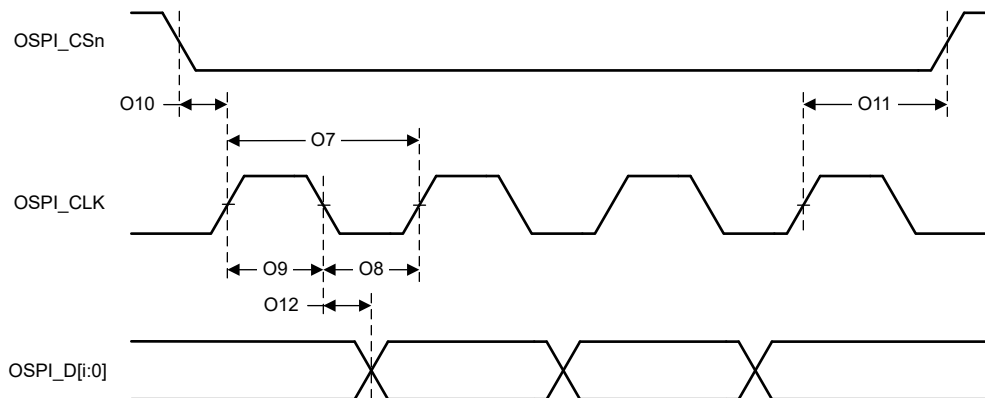


图 6-40. OSPI0 开关特性 - Tap SDR，无环回

6.11.5.12.3.2 OSPI0 Tap DDR 时序

6.11.5.12.3.2.1 OSPI 时序要求 - Tap DDR 模式

编号	参数	说明	模式	最小值	最大值	单位
O13	$t_{su(D-CLK)}$	建立时间，在有效 OSPI0_CLK 边沿之前 OSPI0_D[7:0] 有效	无环回	$12.04 - (0.975 \times T^{(1)} \times R^{(2)})$		ns
O14	$t_h(CLK-D)$	保持时间，在有效 OSPI0_CLK 边沿之后 OSPI0_D[7:0] 有效	无环回	$1.84 + (0.975 \times T^{(1)} \times R^{(2)})$		ns

(1) T = OSPI_RD_DATA_CAPTURE_REG[DELAY_FLD]

(2) R = REFCLK 周期时间 (以 ns 为单位)

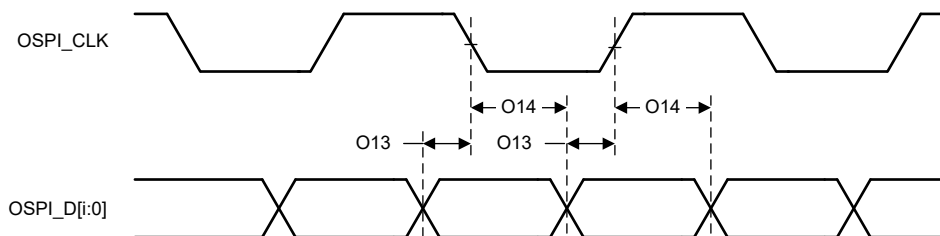


图 6-41. OSPI0 时序要求 - Tap DDR，无环回

6.11.5.12.3.2.2 (OSPI 开关特性 - Tap DDR 模式)

编号	参数	说明	模式	最小值	最大值	单位
O1	$t_c(CLK)$	周期时间, OSPI0_CLK		40		ns
O2	$t_w(CLKL)$	脉冲持续时间, OSPI0_CLK 低电平		$0.475P^{(1)} - 0.3$		ns
O3	$t_w(CLKH)$	脉冲持续时间, OSPI0_CLK 高电平		$0.475P^{(1)} - 0.3$		ns
O4	$t_d(CSn-CLK)$	延迟时间, OSPI0_CSn[1:0] 有效边沿到 OSPI0_CLK 上升沿		$0.475P^{(1)} + (0.975 \times M^{(2)} \times R^{(4)}) - 1$	$0.525P^{(1)} + (1.025 \times M^{(2)} \times R^{(4)}) + 1$	ns
O5	$t_d(CLK-CSn)$	延迟时间, OSPI0_CLK 上升沿到 OSPI0_CSn[1:0] 无效边沿		$0.475P^{(1)} + (0.975 \times N^{(3)} \times R^{(4)}) - 1$	$0.525P^{(1)} + (1.025 \times N^{(3)} \times R^{(4)}) + 1$	ns
O6	$t_d(CLK-D)$	延迟时间, OSPI0_CLK 有效边沿到 OSPI0_D[7:0] 转换		$-17.94 + (0.975 \times T^{(5)} \times R^{(4)})$	$-1.56 + (1.025 \times T^{(5)} \times R^{(4)})$	ns

(1) P = CLK 周期时间 = SCLK 周期 (以 ns 为单位)

(2) M = OSPI_DEV_DELAY_REG[D_INIT_FLD]

(3) N = OSPI_DEV_DELAY_REG[D_AFTER_FLD]

(4) R = REFCLK 周期时间 (以 ns 为单位)

(5) $T = \text{OSPI_RD_DATA_CAPTURE_REG}[\text{DDR_READ_DELAY_FLD}]$

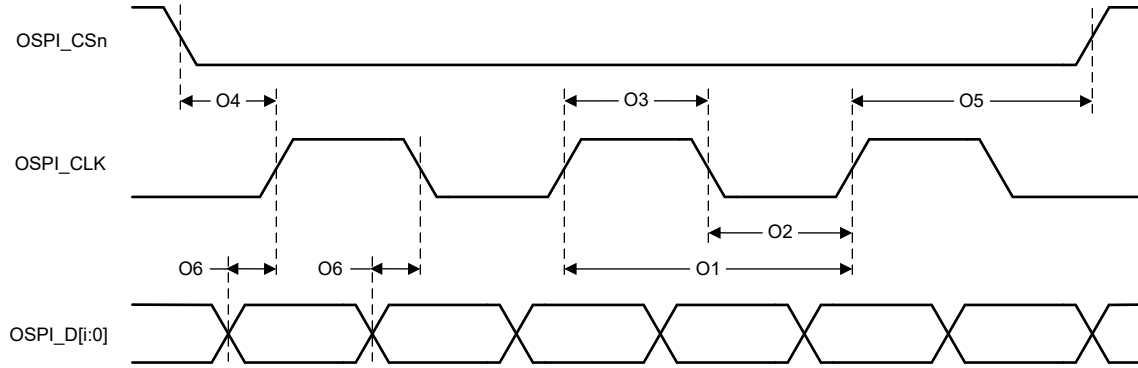


图 6-42. OSPI0 开关特性 - Tap DDR, 无环回

6.11.5.13 可编程实时单元和工业用通信子系统 (PRU-ICSS)

该器件集成了单个可编程实时单元和工业通信子系统 (PRU-ICSS0)。凭借 PRU 内核的可编程特性及其对引脚、事件和所有器件资源的访问权限，该子系统可以灵活地实现快速实时响应、专用数据处理操作以及定制外设接口，并灵活地减轻器件中其他处理器内核的任务负载。

有关器件 PRU-ICSS 特性和其他说明信息的更多详情，请参阅 *信号说明* 和 *详细说明* 部分中的相应小节。

备注

PRU-ICSS0 支持内部包装器多路复用，该复用扩展了器件的顶层多路复用。

6.11.5.13.1 PRU-ICSS 可编程实时单元 (PRU)

备注

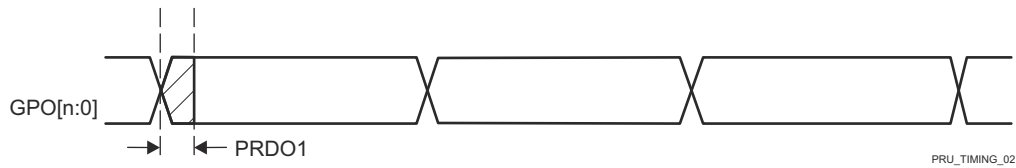
PRU-ICSS PRU 信号具有不同的功能，具体取决于运行模式。本节中的信号命名与器件 TRM 中 PRU 模块接口部分使用的命名一致。

6.11.5.13.1.1 PRU-ICSS PRU 时序条件

参数		最小值	最大值	单位
输入条件				
SR_i	输入压摆率	1	3	V/ns
输出条件				
C_L	输出负载电容	2	30	pF

6.11.5.13.1.2 PRU-ICSS PRU 开关特性 - 直接输出模式

编号	参数	说明	最小值	最大值	单位
PRDO1	$t_{sk}(\text{PRU_GPO})$	PRU_GPO (数据输出) 偏差		3	ns



A. GPO[n:0] 中的 n = 19。

图 6-43. PRU-ICSS PRU 直接输出时序

6.11.5.13.1.3 PRU-ICSS PRU 时序要求 - 并行采集模式

编号	参数	说明	最小值	最大值	单位
PRPC1	$t_c(\text{PRU_CLOCK})$	周期时间, PRU_CLOCK	20		ns
PRPC2	$t_w(\text{PRU_CLOCKL})$	PRU_CLOCK 低电平的脉冲持续时间	10		ns
PRPC3	$t_w(\text{PRU_CLOCKH})$	PRU_CLOCK 高电平的脉冲持续时间	10		ns
PRPC4	$t_{su}(\text{PRU_DATAIN-PRU_CLK})$	建立时间, 在 PRU_CLOCK 有效边沿之前 PRU_DATAIN 有效	4		ns
PRPC5	$t_{th}(\text{PRU_CLOCK-PRU_DATAIN})$	保持时间, 在 PRU_CLOCK 有效边沿之后 PRU_DATAIN 有效	0		ns

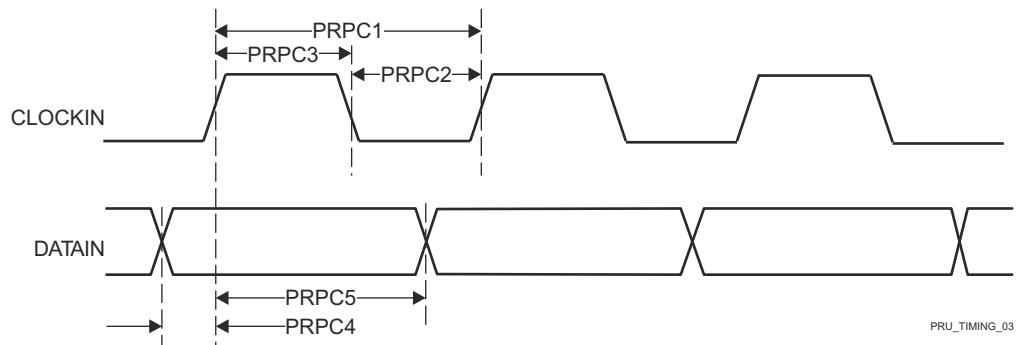


图 6-44. PRU-ICSS PRU 并行采集时序要求 - 上升沿模式

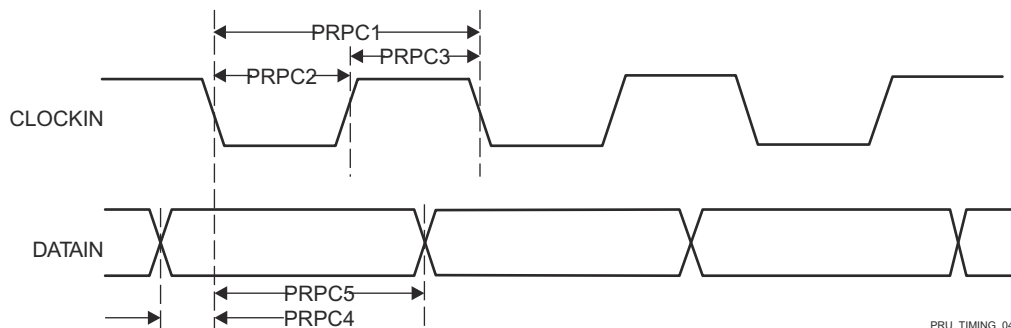


图 6-45. PRU-ICSS PRU 并行采集时序要求 - 下降沿模式

6.11.5.13.1.4 PRU-ICSS PRU 时序要求 - 移入模式

编号	参数	说明	最小值	最大值	单位
PRS11	$t_w(\text{PRU_DATAINH})$	PRU_DATAIN 高电平的脉冲持续时间	$2 + 2P^{(1)}$		ns
PRS12	$t_w(\text{PRU_DATAINL})$	PRU_DATAIN 低电平的脉冲持续时间	$2 + 2P^{(1)}$		ns

(1) P = 时钟周期的内部移位，由 GPCFGn 寄存器中的 PRU_GPI_DIV0 和 PRU0_GPI_DIV1 位字段定义。

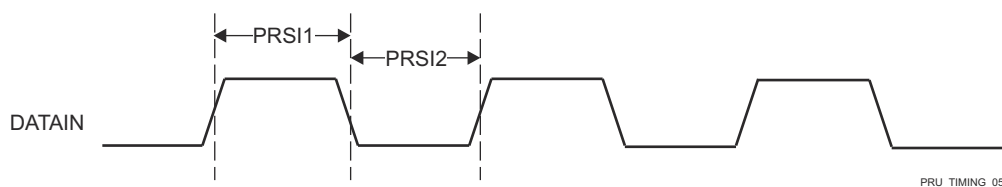


图 6-46. PRU-ICSS PRU 移入时序

6.11.5.13.1.5 PRU-ICSS PRU 开关特性 - 移出模式

编号	参数	说明	最小值	最大值	单位
PRSO1	$t_c(\text{PRU_CLOCKOUT})$	周期时间，PRU_CLOCKOUT	10		ns
PRSO2L	$t_w(\text{PRU_CLOCKOUTL})$	脉冲持续时间，PRU_CLOCKOUT 低电平	$-0.3 + 0.475 \times P^{(1)} \times Z^{(2)}$		ns
PRSO2H	$t_w(\text{PRU_CLOCKOUTH})$	脉冲持续时间，PRU_CLOCKOUT 高电平	$-0.3 + 0.475 \times P^{(1)} \times Y^{(3)}$		ns
PRSO3	$t_d(\text{PRU_CLOCKOUT-PRU_DATAOUT})$	延迟时间，PRU_CLOCKOUT 至 PRU_DATAOUT 有效的的时间	0	3	ns

(1) P = 软件可编程移出时钟周期，由 GPCFGn 寄存器中的 PRU0_GP0_Div0 和 PRU0_GPO_DIV1 位字段定义。

(2) Z 参数定义如下：

如果 PRU0_GPI_DIV0 和 PRU0_GPI_DIV1 是整数，或如果 PRU0_GPI_DIV0 为非整数且 PRU0_GPI_DIV1 为偶数，则 Z 等于 $(\text{PRU0_GPI_DIV0} \times \text{PRU0_GPI_DIV1})$ 。

如果 PRU0_GPI_DIV0 为非整数，PRU0_GPI_DIV1 为奇数，则

Z 等于 $(\text{PRU0_GPI_DIV0} \times \text{PRU0_GPI_DIV1} + 0.5)$ 。

如果 PRU0_GPI_DIV0 为整数而 PRU0_GPI_DIV1 为非整数，则

Z 等于 $(\text{PRU0_GPI_DIV0} \times \text{PRU0_GPI_DIV1} + 0.5 \times \text{PRU0_GPI_DIV0})$ 。

如果 PRU0_GPI_DIV0 和 PRU0_GPI_DIV1 是非整数，则

Z 等于 $(\text{PRU0_GPI_DIV0} \times \text{PRU0_GPI_DIV1} + 0.25 \times \text{PRU0_GPI_DIV0})$ 。

(3) Y 参数定义如下：

如果 PRU0_GPI_DIV0 和 PRU0_GPI_DIV1 是整数，或如果 PRU0_GPI_DIV0 为非整数且 PRU0_GPI_DIV1 为偶数，则 Y 等于 $(\text{PRU0_GPI_DIV0} \times \text{PRU0_GPI_DIV1})$ 。

如果 PRU0_GPI_DIV0 为非整数，PRU0_GPI_DIV1 为奇数，则

Y 等于 $(\text{PRU0_GPI_DIV0} \times \text{PRU0_GPI_DIV1} - 0.5)$ 。

如果 PRU0_GPI_DIV0 为整数而 PRU0_GPI_DIV1 为非整数，则

Y 等于 $(\text{PRU0_GPI_DIV0} \times \text{PRU0_GPI_DIV1} - 0.5 \times \text{PRU0_GPI_DIV0})$ 。

如果 PRU0_GPI_DIV0 和 PRU0_GPI_DIV1 是非整数，则

Y1 等于 $(\text{PRU0_GPI_DIV0} \times \text{PRU0_GPI_DIV1} - 0.25 \times \text{PRU0_GPI_DIV0})$ ，

Y2 等于 $(PRU0_GPI_DIV0 * PRU0_GPI_DIV1 + 0.25 * PRU0_GPI_DIV0)$ ，其中 Y1 为第一个高电平脉冲，Y2 为第二个高电平脉冲。

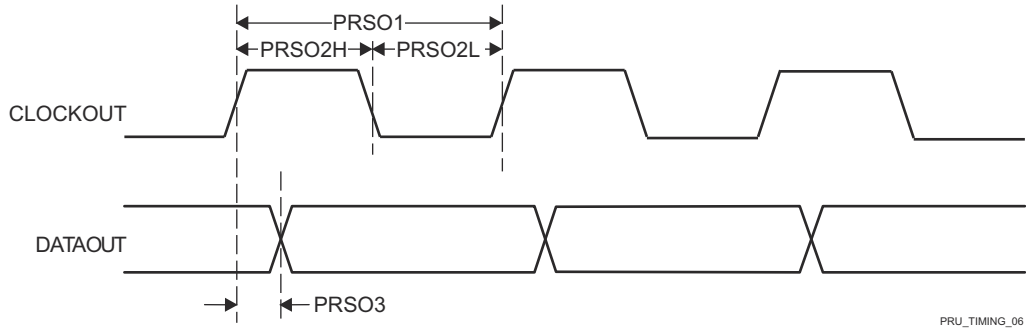


图 6-47. PRU-ICSS PRU 移出时序

6.11.5.13.2 PRU-ICSS PRU Σ - Δ 和外设接口

6.11.5.13.2.1 PRU-ICSS PRU Σ - Δ 和外设接口时序条件

参数		最小值	最大值	单位
输入条件				
SR _I	输入压摆率	1	3	V/ns
输出条件				
C _L	输出负载电容	2	18	pF

6.11.5.13.2.2 PRU-ICSS PRU 时序要求 - Σ - Δ 模式

编号	参数	说明	最小值	最大值	单位
PRSD1	t _c (SD_CLK)	周期时间, SD_CLK	40		ns
PRSD2L	t _w (SD_CLKL)	SD_CLK 低电平的脉冲持续时间	20		ns
PRSD2H	t _w (SD_CLKH)	SD_CLK 高电平的脉冲持续时间	20		ns
PRSD3	t _{su} (SD_D-SDCLK)	建立时间, 在 SD_CLK 有效边沿之前 SD_D 有效	10		ns
PRSD4	t _{su} (SDCLK-SD_D)	保持时间, 在 SD_CLK 有效边沿之后 SD_D 有效	5		ns

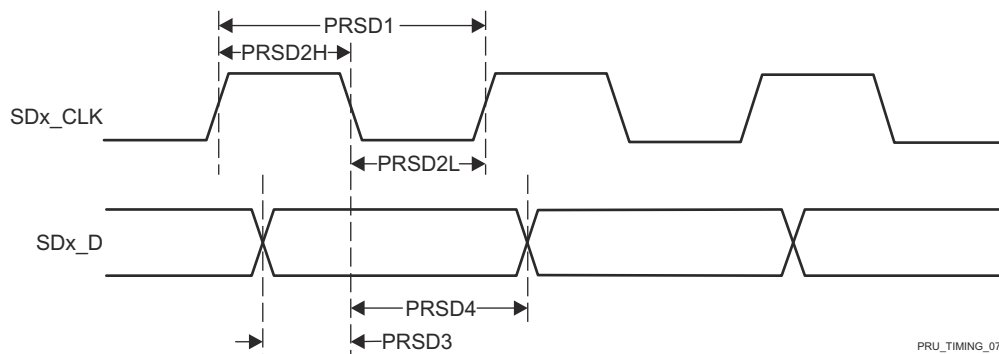


图 6-48. PRU-ICSS PRU SD_CLK 下降有效沿

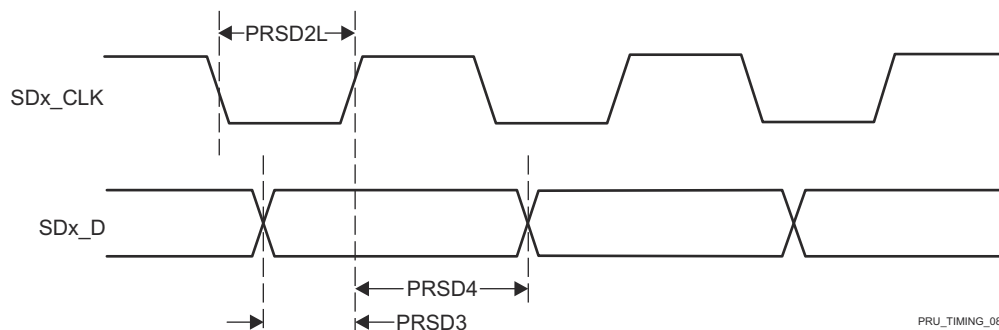


图 6-49. PRU-ICSS PRU SD_CLK 上升有效沿

6.11.5.13.2.3 PRU-ICSS PRU 时序要求 - 外设接口模式

编号	参数	说明	最小值	最大值	单位
PRPIF1	t _w (PIF_DATA_INH)	脉冲持续时间, PIF_DATA_IN 高电平	2 + 0.475 × (4 × P ⁽¹⁾)		ns

编号	参数	说明	最小值	最大值	单位
PRPIF2	$t_w(\text{PIF_DATA_INL})$	脉冲持续时间, PIF_DATA_IN 低电平	$2 + 0.475 \times (4 \times P^{(1)})$		ns

(1) $P = 1x$ (或 TX) 时钟周期, 由 CFG_ED_P<n>_TXCFG 寄存器中的 TX_DIV_FACTOR 和 TX_DIV_FACTOR_FRAC 定义。

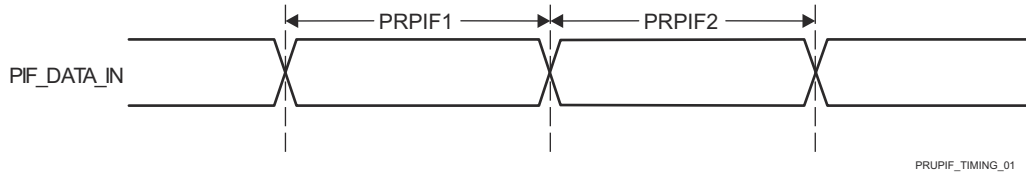


图 6-50. PRU-ICSS PRU 外设接口时序要求

6.11.5.13.2.4 PRU-ICSS PRU 开关特性 - 外设接口模式

编号	参数	说明	最小值	最大值	单位
PRPIF3	$t_c(\text{PIF_CLK})$	周期时间, PIF_CLK	30		ns
PRPIF4	$t_w(\text{PIF_CLKH})$	PIF_CLK 高电平的脉冲持续时间	$0.475P^{(1)}$		ns
PRPIF5	$t_w(\text{PIF_CLKL})$	PIF_CLK 低电平的脉冲持续时间	$0.475P^{(1)}$		ns
PRPIF6	$t_d(\text{PIF_CLK-PIF_DATA_OUT})$	延迟时间, PIF_CLK 下降至 PIF_DATA_OUT	-5	5	ns
PRPIF7	$t_d(\text{PIF_CLK-PIF_DATA_EN})$	延迟时间, PIF_CLK 下降至 PIF_DATA_EN	-5	5	ns

(1) $P = 1x$ (或 TX) 时钟周期, 由 CFG_ED_P<n>_TXCFG 寄存器中的 TX_DIV_FACTOR 和 TX_DIV_FACTOR_FRAC 定义。

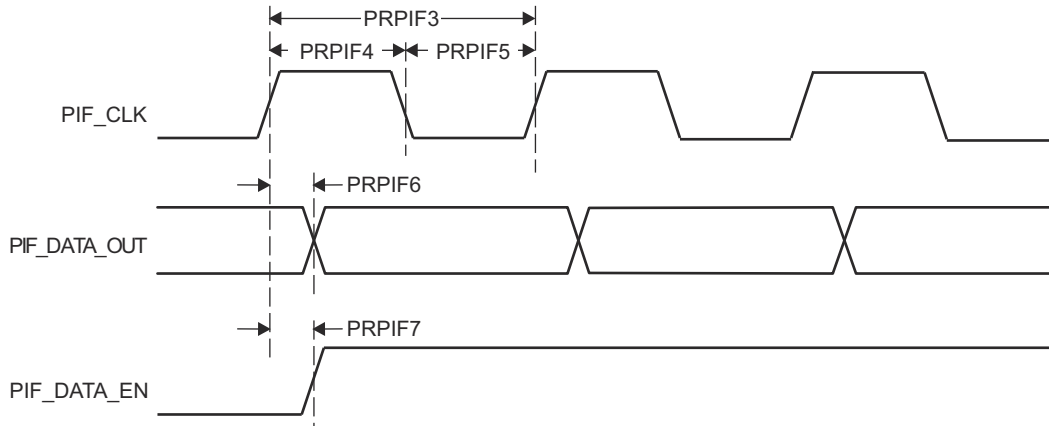


图 6-51. PRU-ICSS PRU 外设接口开关特性

6.11.5.13.3 PRU-ICSS 脉宽调制 (PWM)

6.11.5.13.3.1 PRU-ICSS PWM 时序条件

参数		最小值	最大值	单位
输入条件				
SR _i	输入压摆率	1	4	V/ns
输出条件				
C _L	输出负载电容	2	7	pF

6.11.5.13.3.2 PRU-ICSS PWM 开关特性

编号	参数	说明	最小值	最大值	单位
PRPWM1	t _{sk(PWM_A/B)}	PWM_A/B 偏差		5	ns

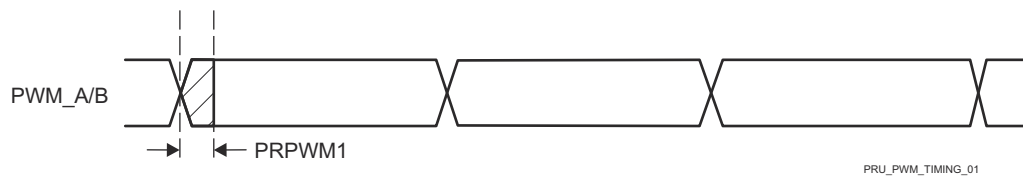


图 6-52. PRU-ICSS PWM 时序

6.11.5.13.4 PRU-ICSS 工业以太网外设 (IEP)

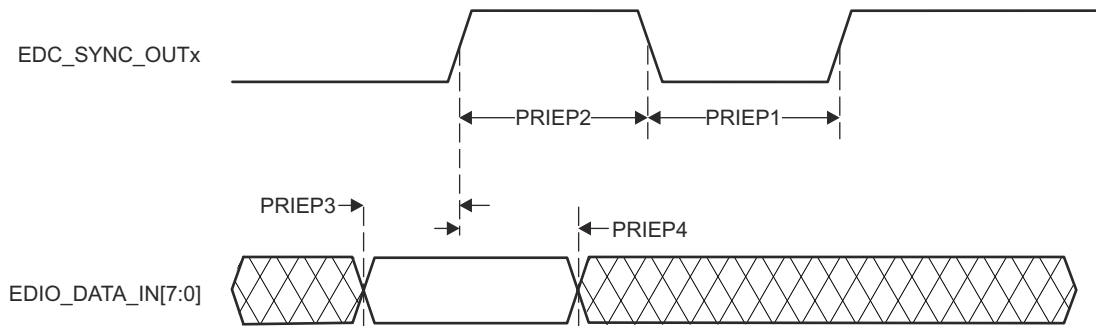
6.11.5.13.4.1 PRU-ICSS IEP 时序条件

参数		最小值	最大值	单位
输入条件				
SR _i	输入压摆率	1	3	V/ns
输出条件				
C _L	输出负载电容	1	7	pF

6.11.5.13.4.2 PRU-ICSS IEP 时序要求- 通过 SYNCx 验证输入

编号	参数	说明	最小值	最大值	单位
PRIEP1	t _w (EDC_SYNCx_OUTL)	EDC_SYNCx_OUT 低电平的脉冲持续时间	- 2 + 20P ⁽¹⁾		ns
PRIEP2	t _w (EDC_SYNCx_OUTH)	EDC_SYNCx_OUT 高电平的脉冲持续时间	- 2 + 20P ⁽¹⁾		ns
PRIEP3	t _{su} (EDIO_DATA_IN-EDC_SYNCx_OUT)	建立时间, 在 EDC_SYNCx_OUT 有效沿之前 EDIO_DATA_IN 有效	20		ns
PRIEP4	t _h (EDC_SYNCx_OUT-EDIO_DATA_IN)	保持时间, 在 EDC_SYNCx_OUT 有效沿之后 EDIO_DATA_IN 有效	20		ns

(1) P = PRU-ICSS IEP 时钟源周期。



PRU_IEP_TIMING_01

图 6-53. PRU-ICSS IEP 同步时序要求

6.11.5.13.4.3 PRU-ICSS IEP 时序要求 - 数字 IO

编号	参数	说明	最小值	最大值	单位
IEPIO1	t _w (EDIO_OUTVALIDL)	脉冲持续时间, EDIO_OUTVALID 低电平	- 2 + 14P ⁽¹⁾		ns
IEPIO2	t _w (EDIO_OUTVALIDH)	脉冲持续时间, EDIO_OUTVALID 高电平	- 2 + 32P ⁽¹⁾		ns
IEPIO3	t _d (EDIO_OUTVALID-EDIO_DATA_OUT)	延迟时间, EDIO_OUTVALID 到 EDIO_DATA_OUT	0	18P ⁽¹⁾	ns
IEPIO4	t _{sk} (EDIO_DATA_OUT)	EDIO_DATA_OUT 偏斜	6		ns

(1) P = PRU-ICSS IEP 时钟源周期。

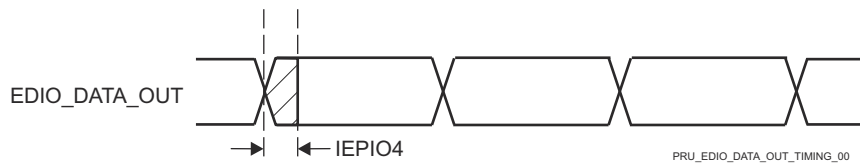


图 6-54. PRU-ICSS IEP 数字 IO 时序要求

6.11.5.13.4.4 PRU-ICSS IEP 时序要求 - LATCHx_IN

编号	参数	说明	最小值	最大值	单位
PRLA1	$t_w(\text{EDC_LATCHx_INL})$	脉冲持续时间, EDC_LATCHx_IN 低电平	$2 + 3P^{(1)}$		ns
PRLA2	$t_w(\text{EDC_LATCHx_INH})$	脉冲持续时间, EDC_LATCHx_IN 高电平	$2 + 3P^{(1)}$		ns

(1) P = PRU-ICSS IEP 时钟源周期。

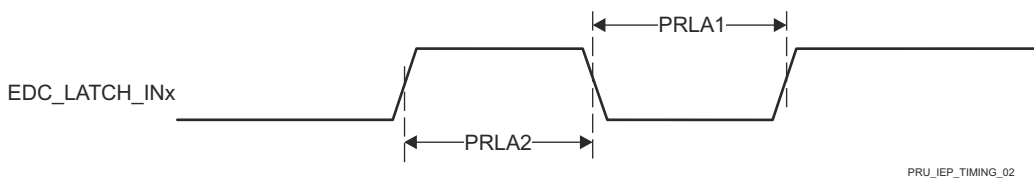


图 6-55. PRU-ICSS IEP LATCH_INx 时序要求

6.11.5.13.5 PRU-ICSS 通用异步接收器/发送器 (UART)

6.11.5.13.5.1 PRU-ICSS UART 时序条件

参数		最小值	最大值	单位
输入条件				
SR _i	输入压摆率	0.01	0.33	V/ns
输出条件				
C _L	输出负载电容	1	30	pF

6.11.5.13.5.2 PRU-ICSS UART 时序要求

编号	参数	说明	最小值	最大值	单位
PRUR1H	t _{w(RXH)}	脉冲持续时间, 接收开始, 停止, 数据位高电平	U ⁽¹⁾		ns
PRUR1L	t _{w(RXL)}	脉冲持续时间, 接收开始, 停止, 数据位低电平	- 2 + U ⁽¹⁾		ns

(1) U = UART 波特时间 = 1/编程波特率。

6.11.5.13.5.3 PRU-ICSS UART 开关特性

编号	参数	说明	最小值	最大值	单位
PRUR2	f _(baud)	最大可编程波特率	U ⁽¹⁾		ns
PRUR3H	t _{w(TXH)}	脉冲持续时间, 发送开始, 停止, 数据位高电平	- 2 + U ⁽¹⁾		ns

(1) U = UART 波特时间 = 1/编程波特率。

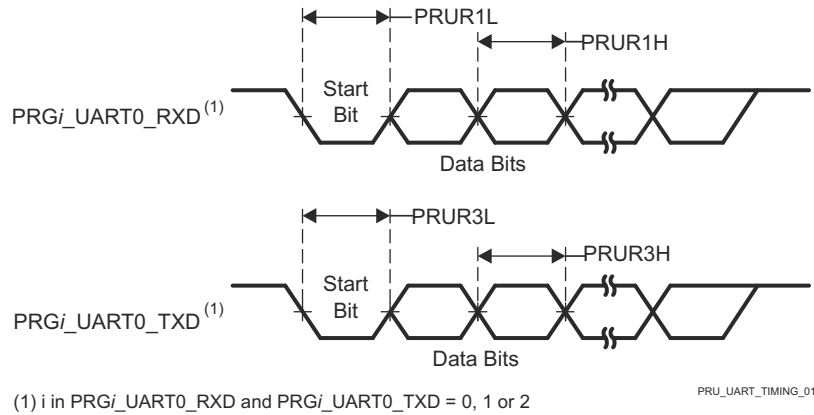


图 6-56. PRU-ICSS UART 时序要求和开关特性

6.11.5.13.6 PRU-ICSS 增强型捕获外设 (ECAP)

6.11.5.13.6.1 PRU-ICSS ECAP 时序条件

参数		最小值	最大值	单位
输入条件				
SR _i	输入压摆率	1	3	V/ns
输出条件				
C _L	输出负载电容	2	7	pF

6.11.5.13.6.2 PRU-ICSS ECAP 时序要求

编号	参数	说明	最小值	最大值	单位
PREP1	t _w (CAP)	脉冲持续时间, 捕捉输入 (异步)	2 + 2P ⁽¹⁾		ns
PREP2	t _w (SYNCI)	脉冲持续时间, 同步输入 (异步)	2 + 2P ⁽¹⁾		ns

(1) P = core_clk 周期

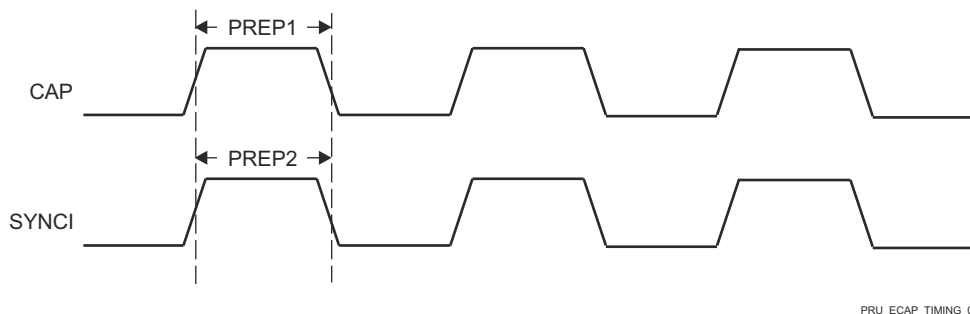


图 6-57. PRU-ICSS ECAP 时序

6.11.5.13.6.3 PRU-ICSS ECAP 开关特性

编号	参数	说明	最小值	最大值	单位
PREP3	t _w (APWM)	脉冲持续时间, 辅助 PWM (APWM) 输出高电平/低电平	2P ⁽¹⁾		ns
PREP4	t _w (SYNCO)	脉冲持续时间, 同步输出 (异步)	P ⁽¹⁾		ns

(1) P = core_clk 周期

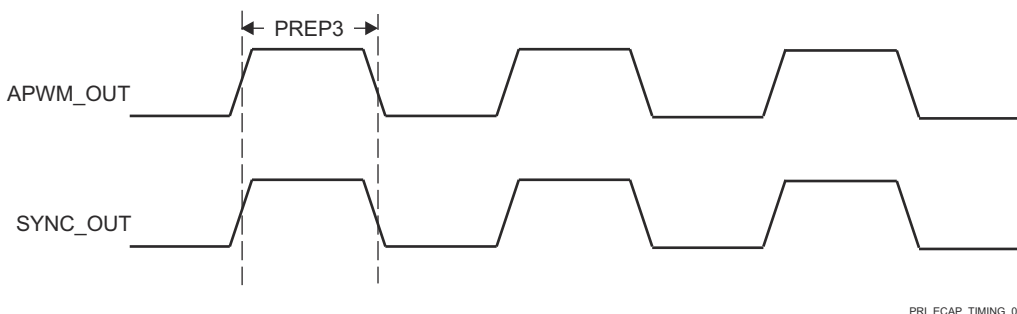


图 6-58. PRU-ICSS ECAP 开关特性

6.11.5.13.7 PRU-ICSS MDIO 和 MII

6.11.5.13.7.1 PRU-ICSS MDIO 时序

6.11.5.13.7.1.1 PRU-ICSS MDIO 时序条件

参数		最小值	最大值	单位
输入条件				
SR _I	输入压摆率	0.9	3.6	V/ns
输出条件				
C _L	输出负载电容	10	470	pF

6.11.5.13.7.1.2 PRU-ICSS MDIO 时序要求

编号	参数	说明	最小值	最大值	单位
MDIO1	t _{su} (MDIO-MDC)	建立时间, 在 MDIO[x]_MDC 高电平之前 MDIO[x]_MDIO 有效	90		ns
MDIO2	t _h (MDC-MDIO)	保持时间, 自 MDIO[x]_MDC 高电平之后 MDIO[x]_MDIO 有效	0		ns

6.11.5.13.7.1.3 PRU-ICSS MDIO 开关特性

编号	参数	说明	最小值	最大值	单位
MDIO3	t _c (MDC)	周期时间, MDIO[x]_MDC	400		ns
MDIO4	t _w (MDCH)	脉冲持续时间, MDIO[x]_MDC 高电平	160		ns
MDIO5	t _w (MDCL)	脉冲持续时间, MDIO[x]_MDC 低电平	160		ns
MDIO7	t _d (MDC-MDIO)	延迟时间, MDIO[x]_MDC 低电平到 MDIO[x]_MDIO 有效	-150	150	ns

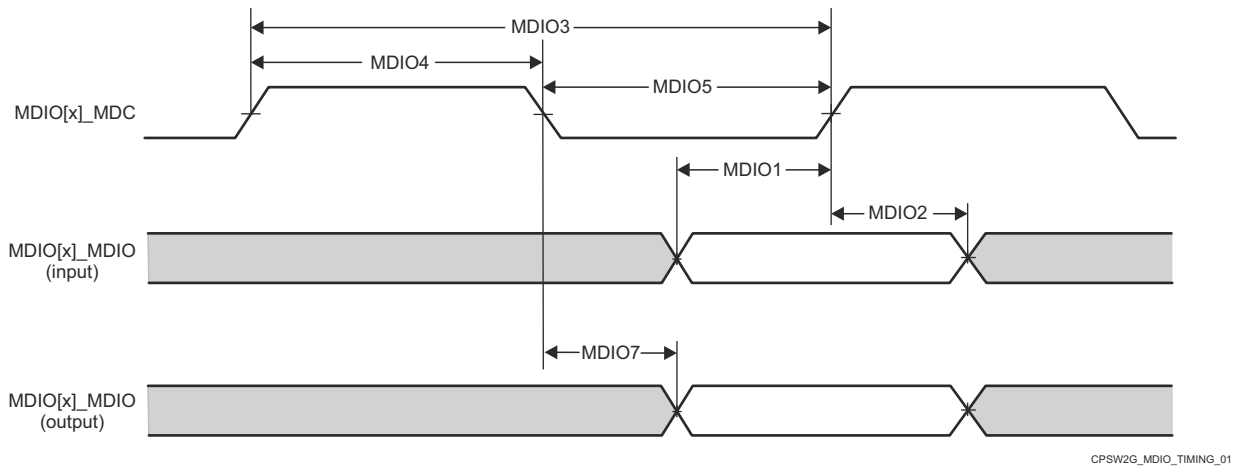


图 6-59. PRU-ICSS MDIO 时序要求和开关特性

6.11.5.13.7.2 PRU-ICSS MII 时序

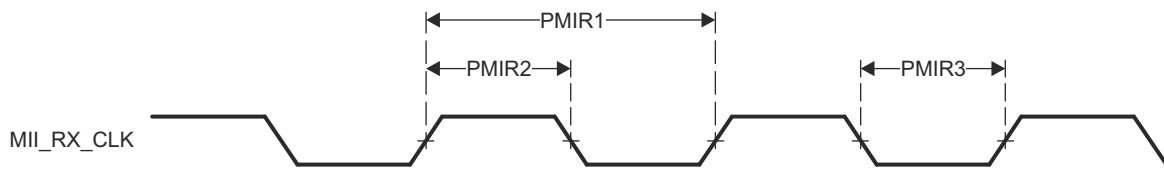
6.11.5.13.7.2.1 PRU-ICSS MII 时序条件

参数		最小值	最大值	单位
输入条件				
SR _I	输入压摆率	0.9	3.6	V/ns
输出条件				

参数		最小值	最大值	单位
C _L	输出负载电容	2	20	pF

6.11.5.13.7.2.2 PRU-ICSS MII 时序要求 - MII[x]_RX_CLK

编号	参数	说明	模式	最小值	最大值	单位
PMIR1	t _c (RX_CLK)	周期时间, MII[x]_RX_CLK	10Mbps	399.96	400.04	ns
			100Mbps	39.996	40.004	ns
PMIR2	t _w (RX_CLKH)	脉冲持续时间, MII[x]_RX_CLK 高电平	10Mbps	140	260	ns
			100Mbps	14	26	ns
PMIR3	t _w (RX_CLKL)	脉冲持续时间, MII[x]_RX_CLK 低电平	10Mbps	140	260	ns
			100Mbps	14	26	ns



PRU_MII_RT_TIMING_04

图 6-60. PRU-ICSS MII[x]_RX_CLK 时序

6.11.5.13.7.2.3 PRU-ICSS MII 时序要求 - MII[x]_RXD[3:0]、MII[x]_RX_DV 和 MII[x]_RX_ER

编号	参数	说明	模式	最小值	最大值	单位
PMIR4	t _{su} (RXD-RX_CLK)	建立时间, 在 MII[x]_RX_CLK 之前 MII[x]_RXD[3:0] 有效	10Mbps	8		ns
	t _{su} (RX_DV-RX_CLK)	建立时间, 在 MII[x]_RX_CLK 之前 MII[x]_RX_DV 有效		8		ns
	t _{su} (RX_ER-RX_CLK)	建立时间, 在 MII[x]_RX_CLK 之前 MII[x]_RX_ER 有效		8		ns
	t _{su} (RXD-RX_CLK)	建立时间, 在 MII[x]_RX_CLK 之前 MII[x]_RXD[3:0] 有效	100Mbps	8		ns
	t _{su} (RX_DV-RX_CLK)	建立时间, 在 MII[x]_RX_CLK 之前 MII[x]_RX_DV 有效		8		ns
	t _{su} (RX_ER-RX_CLK)	建立时间, 在 MII[x]_RX_CLK 之前 MII[x]_RX_ER 有效		8		ns
PMIR5	t _h (RX_CLK-RXD)	保持时间, 在 MII[x]_RX_CLK 之后 MII[x]_RXD[3:0] 有效	10Mbps	8		ns
	t _h (RX_CLK-RX_DV)	保持时间, 在 MII[x]_RX_CLK 之后 MII[x]_RX_DV 有效		8		ns
	t _h (RX_CLK-RX_ER)	保持时间, 在 MII[x]_RX_CLK 之后 MII[x]_RX_ER 有效		8		ns
	t _h (RX_CLK-RXD)	保持时间, 在 MII[x]_RX_CLK 之后 MII[x]_RXD[3:0] 有效	100Mbps	8		ns
	t _h (RX_CLK-RX_DV)	保持时间, 在 MII[x]_RX_CLK 之后 MII[x]_RX_DV 有效		8		ns
	t _h (RX_CLK-RX_ER)	保持时间, 在 MII[x]_RX_CLK 之后 MII[x]_RX_ER 有效		8		ns

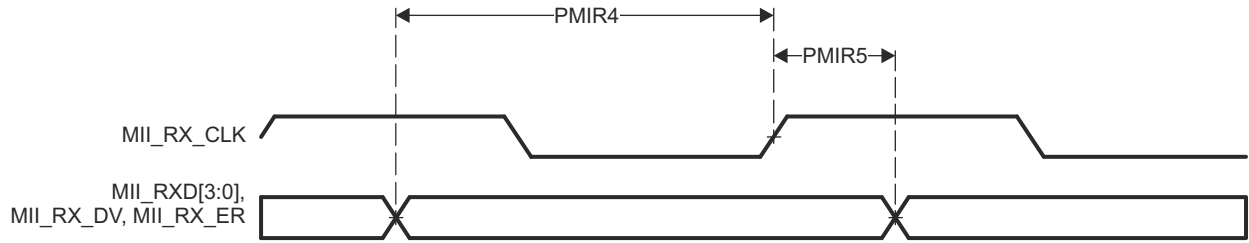


图 6-61. PRU-ICSS MII[x]_RXD[3:0]、MII[x]_RX_DV 和 MII[x]_RX_ER 时序

6.11.5.13.7.2.4 PRU-ICSS MII 开关特性 - MII[x]_TX_CLK

编号	参数	说明	模式	最小值	最大值	单位
PMIT1	$t_c(\text{TX_CLK})$	周期时间, MII[x]_TX_CLK	10Mbps	399.96	400.04	ns
			100Mbps	39.996	40.004	ns
PMIT2	$t_w(\text{TX_CLKH})$	脉冲持续时间, MII[x]_TX_CLK 高电平	10Mbps	140	260	ns
			100Mbps	14	26	ns
PMIT3	$t_w(\text{TX_CLKL})$	脉冲持续时间, MII[x]_TX_CLK 低电平	10Mbps	140	260	ns
			100Mbps	14	26	ns

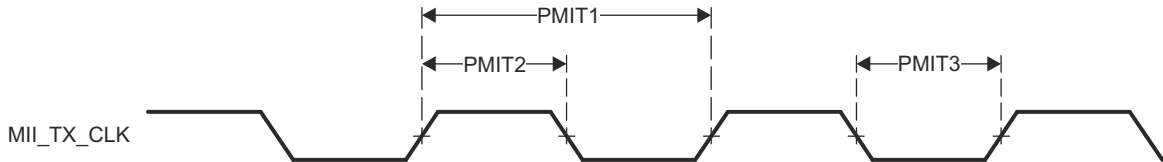


图 6-62. PRU-ICSS MII[x]_TX_CLK 时序

6.11.5.13.7.2.5 PRU-ICSS MII 开关特性 - MII[x]_TXD[3:0] 和 MII[x]_TXEN

编号	参数	说明	模式	最小值	最大值	单位
PMIT4	$t_d(\text{TX_CLK-TXD})$	延迟时间, MII[x]_TX_CLK 高电平到 MII[x]_TXD[3:0] 有效	10Mbps	0	25	ns
	$t_d(\text{TX_CLK-TX_EN})$	延迟时间, MII[x]_TX_CLK 高电平到 MII[x]_TX_EN 有效				
	$t_d(\text{TX_CLK-TXD})$	延迟时间, MII[x]_TX_CLK 高电平到 MII[x]_TXD[3:0] 有效	100Mbps	0	25	ns
	$t_d(\text{TX_CLK-TX_EN})$	延迟时间, MII[x]_TX_CLK 高电平到 MII[x]_TX_EN 有效				

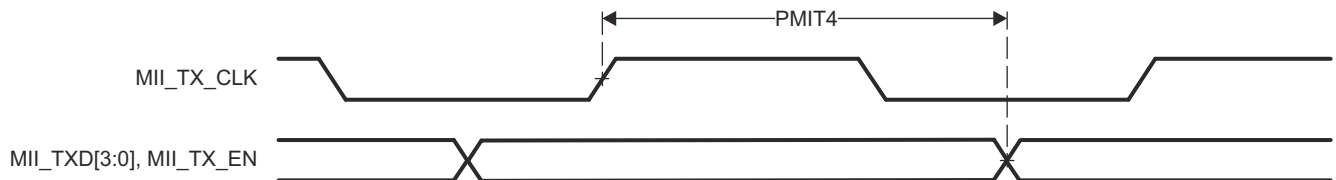


图 6-63. PRU-ICSS MII[x]_TXD[3:0]、MII[x]_TX_EN 时序

6.11.5.14 Σ - Δ 滤波器模块 (SDFM)

有关更多信息，请参阅器件 TRM 中的 Σ - Δ 滤波器模块 一节。

6.11.5.14.1 SDFM 时序条件

参数		模式	最小值	最大值	单位
输入条件					
SR _i	输入压摆率	模式 0	0.5	5	V/ns

6.11.5.14.2 SDFM 开关特性 (2)

编号	参数	说明	模式	最小值	最大值	单位
M0-1	t _c (SDC)	周期时间, SDx_Cy	模式 0	5P ⁽¹⁾	256P ⁽¹⁾	ns
M0-2	t _w (SDCHL)	脉冲持续时间, SDx_Cy (高电平/低电平)	模式 0	2P ⁽¹⁾		ns
M0-3	t _{sh} (SDDV-SDCH)	SDx_Cy 变为高电平之前 SDx_Dy 有效的设置时间	模式 0	2P ⁽¹⁾		ns
M0-4	t _h (SDCH-SDD)	SDx_Cy 变为高电平之后 SDx_Dy 等待的保持时间	模式 0	2P ⁽¹⁾		ns

(1) P = SYSCLK 周期 (以 ns 为单位)。

(2) 某些 SDFM 信号与 I2C0 SDA 和 SCL 引脚进行引脚多路复用。这些引脚使用备用的开漏电压缓冲器，可能不符合指定的参数。值正在等待额外的芯片后验证。

6.11.5.15 通用异步收发器 (UART)

有关器件通用异步接收器/发送器特性和其他说明信息的更多详情，请参阅 *信号说明* 和 *详细说明* 部分中的相应小节。

有关更多信息，请参阅器件 TRM 中的 *通用异步接收器/发送器 (UART)* 一节。

6.11.5.15.1 UART 时序条件

参数		最小值	最大值	单位
输入条件				
SR _I	输入压摆率	0.5	5	V/ns
输出条件				
C _L	输出负载电容	1	30	pF

6.11.5.15.2 UART 时序要求

编号	参数	说明	最小值	最大值	单位
4	t _{w(RX)}	脉冲宽度，接收数据位高电平或低电平	0.95U ⁽¹⁾	1.05U ⁽¹⁾	ns
5	t _{w(CTS)}	脉冲宽度，接收起始位高电平或低电平	0.95U ⁽¹⁾		ns

(1) U = UART 波特时间 = 1/编程波特率。

6.11.5.15.3 UART 开关特性

编号	参数	说明	模式	最小值	最大值	单位
	f _(baud)	可编程波特率	15pF		12	Mbps
			30pF		0.115	
2	t _{w(TX)}	脉冲宽度，发送数据位高电平或低电平		U ⁽¹⁾ - 2.2	U ⁽¹⁾ + 2.2	ns
3	t _{w(RTS)}	脉冲宽度，发送起始位高电平或低电平		U ⁽¹⁾ - 2.2		ns
1	t _{d(CTS-TX)}	延迟时间，接收 CTS 位到发送数据的时间		30		ns

(1) U = UART 波特时间 = 1/编程波特率。

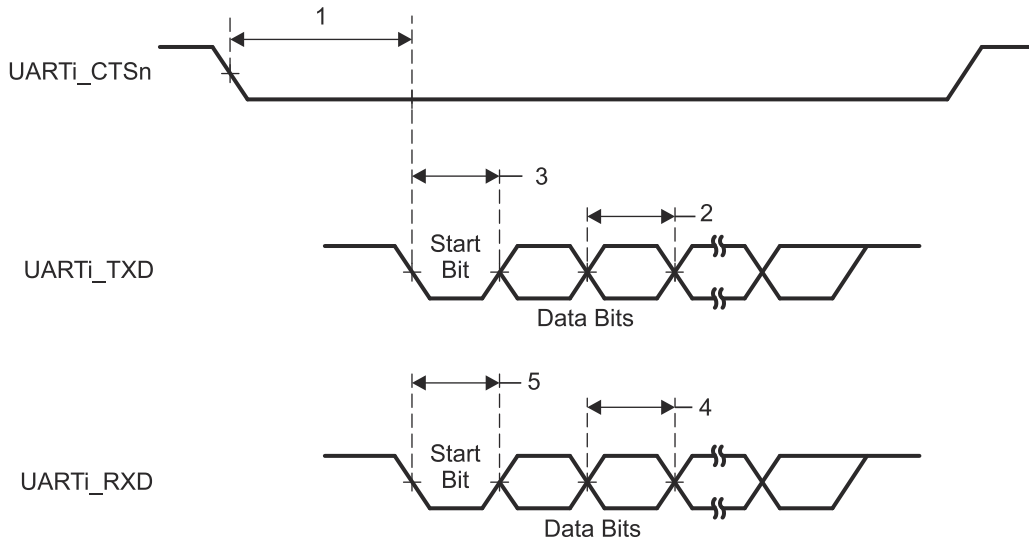


图 6-64. UART 时序要求和开关特性

6.11.6 仿真和调试

有关器件跟踪和 JTAG 接口特性和其他说明信息的更多详情，请参阅 *信号说明* 和 *详细说明* 部分中的相应小节。有关更多信息，请参阅器件 TRM 中的 *片上调试* 一节。

6.11.6.1 JTAG

首字母缩略词表示 **联合测试行动组**，定义了边界扫描标准 (IEEE std 1149.1) 的工程师委员会。有关器件 JTAG 接口特性和其他说明信息的更多详情，请参阅 *信号说明* 和 *详细说明* 部分中的相应小节。

6.11.6.1.1 JTAG 时序条件

参数		最小值	最大值	单位
输入条件				
SR_i	输入压摆率	0.5	2.00	V/ns
输出条件				
C_L	输出负载电容	5	15	pF

6.11.6.1.2 JTAG 时序要求

编号	参数	说明	最小值	最大值	单位
J1	$t_c(\text{TCK})$	周期时间, TCK	40		ns
J2	$t_w(\text{TCKH})$	脉冲宽度, TCK 高电平	16		ns
J3	$t_w(\text{TCKL})$	脉冲宽度, TCK 低电平	16		ns
J4	$t_{su}(\text{TDI-TCKH})$	TDI 有效至 TCK 高电平的输入设置时间	2		ns
	$t_{su}(\text{TMS-TCKH})$	TMS 有效至 TCK 高电平的输入设置时间	2		
J5	$t_h(\text{TCK-TDI})$	从 TCK 高电平至 TDI 有效的输入保持时间	15.9		ns
	$t_h(\text{TCK-TMS})$	从 TCK 高电平至 TMS 有效的输入保持时间	15.9		

6.11.6.1.3 JTAG 开关特性

编号	参数	说明	最小值	最大值	单位
J6	$t_d(\text{TCKL-TDOI})$	延迟时间, TCK 低电平到 TDO 无效	-0.067005		ns
J7	$t_d(\text{TCKL-TDOV})$	TCK 低电平到 TDO 有效的延迟时间		11.89594	ns

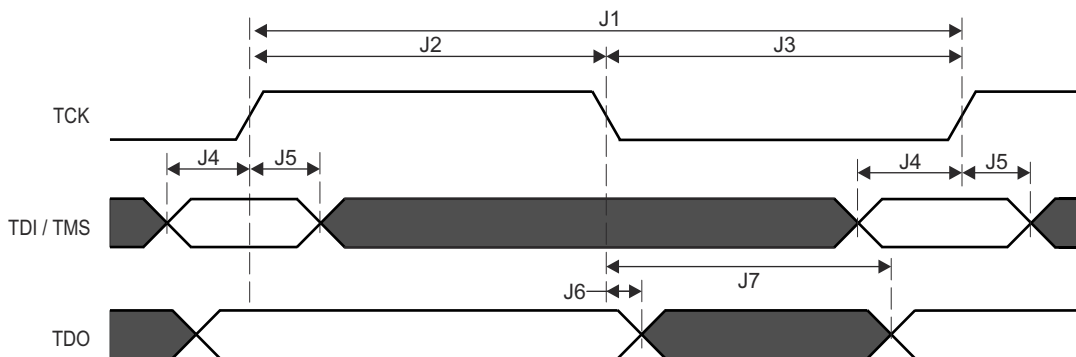


图 6-65. JTAG 时序要求和开关特性

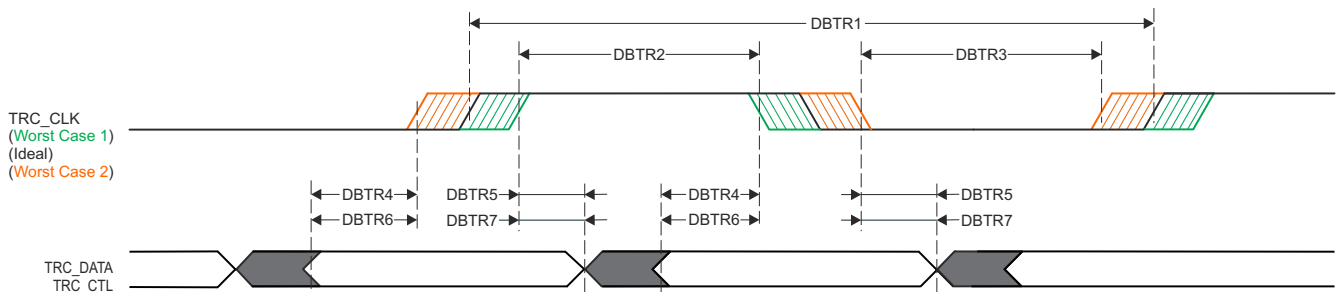
6.11.6.2 布线

6.11.6.2.1 调试布线时序条件

参数		最小值	最大值	单位
输出条件				
C_L	输出负载电容	2	5	pF
输出条件				
$t_d(\text{Trace Mismatch})$	所有布线之间的传播延迟不匹配。		200	ps

6.11.6.2.2 调试布线开关特性

编号	参数	说明	最小值	最大值	单位
DBTR1	$t_C(\text{TRC_CLK})$	TRC_CLK 周期时间	9.75		ns
DBTR2	$t_w(\text{TRC_CLKH})$	脉冲宽度, TRC_CLK 高电平	4.13		ns
DBTR3	$t_w(\text{TRC_CLKL})$	脉冲宽度, TRC_CLK 低电平	4.13		ns
DBTR4	$t_{\text{osu}}(\text{TRC_DATAV-TRC_CLK})$	输出建立时间, TRC_DATA 到 TRC_CLK 边沿有效的时间	1.22		ns
DBTR5	$t_{\text{oh}}(\text{TRC_CLK-TRC_DATAI})$	输出保持时间, TRC_CLK 边沿到 TRC_DATA 无效	1.22		ns
DBTR6	$t_{\text{osu}}(\text{TRC_CTLV-TRC_CLK})$	输出建立时间, TRC_CTL 到 TRC_CLK 边沿有效的时间	1.22		ns
DBTR7	$t_{\text{oh}}(\text{TRC_CLK-TRC_CTLI})$	输出保持时间, TRC_CLK 边沿到 TRC_CTL 无效	1.22		ns



SPRSP08_Datbug_01

图 6-66. 布线开关特性

6.12 去耦电容器要求

6.12.1 去耦电容器要求

参数	说明	最小值	典型值	最大值	单位
C_{VDD}	1.2V VDD (电容)		10		μF
C_{VDDS33}	3.3V VDDS (电容)		10		μF
C_{VDDA33}	3.3V VDDA (电容)		10		μF
C_{VDDS18}	1.8V VDDS (电容)		0.1		μF
C_{VDDA18}	1.8V VDDA (电容)		0.1		μF
C_{VPP}	1.7V VPP (电容)		0.1		μF
C_{VDDS18_LDO}	1.8V LDO VDDS (电容)		3.3		μF
C_{VDDA18_LDO}	1.8V LDO VDDA (电容)		4.7		μF

参数	说明	最小值	典型值	最大值	单位
C _{ADC_VREF}	ADC VREFHI (电容)		4.7		μF

7 详细说明

7.1 概述

AM263Px Sitara Arm® 微控制器旨在满足下一代工业和汽车嵌入式项目复杂的实时处理和实时控制需求。AM263Px 以独特方式将高级计算与行业先进的实时控制外设相结合，可满足混合动力汽车/电动汽车（牵引逆变器、车载充电器和直流/直流转换器）、电机驱动、可再生能源、储能以及其他一般实时受限系统等应用日益增长的性能需求。AM263Px 将最多四个 Cortex-R5F MCU、一个实时控制子系统 (CONTROLSS)、一个硬件安全模块 (HSM) 和一个 Sitara PRU-ICSS 实例组合在一起，AM263Px 专为高级电机控制和数字电源控制应用而设计。

多个 R5F 内核以 256KB 共享紧耦合存储器 (TCM) 和 3MB 共享 SRAM 的集群形式排列。对于不同的功能安全配置，可以选择将多个 Arm® 内核编程为在锁步选项中运行。片上存储器、外设和互连中包含广泛的 ECC，增强了可靠性。除了由 HSM 管理的细粒度防火墙之外，AM263Px 器件上还提供加密加速和安全启动功能，供开发人员设计更为安全的系统。

实时控制子系统 (CONTROLSS) 是集成在器件中的一个革命性子系统。CONTROLSS 包含多个数字和模拟控制外设，包括：ADC、CMPSS、EPWM、ECAP 和 EQEP，从而能够高效执行关键检测/处理/驱动实时信号链控制环路。集成交叉开关 (XBAR) 基础结构可实现灵活的配置，将外部信号路由至内部端口，将内部信号路由至外部引脚。

AM263Px 中的 PRU-ICSS 提供了运行 EtherCAT®、PROFINET®、Ethernet/IP™ 或标准以太网连接和自定义 I/O 接口所需的灵活工业通信功能。此外，PRU 还支持 SoC 中的其他接口，包括 Σ - Δ 抽取滤波器和绝对编码器接口。CPSW 接口还提供两个标准以太网端口。

除了多个用于实现可扩展性和易用性的引脚对引脚兼容器件外，TI 还提供了一整套用于 AM263Px 系列微控制器的微控制器软件和开发工具。

7.2 处理器子系统

7.2.1 Arm Cortex-R5F 子系统

R5FSS 是 Arm® Cortex®-R5F 处理器的双核实现，配置为双核（分离）或锁步操作模式。它还包括附带的存储器（L1 高速缓存和紧密耦合存储器）、标准 Arm® CoreSight™ 调试和布线架构、集成式矢量中断管理器 (VIM)、ECC 聚合器以及支持协议转换和地址转换的各种包装器，以便于集成到 SoC。该器件最多支持两个 R5FSS 模块，可构成全部 4 个可能的功能内核（双核模式）或 2 个功能内核（锁步模式）。

备注

Arm® Cortex®-R5F 处理器是一款包含可选浮点单元 (FPU) 扩展的 Cortex-R5 处理器。

有关更多信息，请参阅器件 TRM 的 *处理器和加速器* 一章中的 R5FSS 一节。

8 应用、实施和布局

备注

以下应用部分中的信息不属于 TI 器件规格的范围，TI 不担保其准确性和完整性。TI 的客户应负责确定器件是否适用于其应用。客户应验证并测试其设计，以确保系统功能。

8.1 器件连接和布局基本准则

8.1.1 外部振荡器

有关外部振荡器的更多信息，请参阅[输入时钟/振荡器](#)一节。

8.1.2 JTAG、仿真和跟踪

德州仪器 (TI) 支持各种扩展开发系统 (XDS) JTAG 控制器，除了 JTAG 支持之外，还提供各种调试功能。[XDS 目标连接指南](#)中提供了有关此信息的摘要。

有关 JTAG、仿真和跟踪布线的建议，请参阅[仿真和跟踪接头技术参考手册](#)

8.1.3 封装内闪存 (ZCZ_F) 的 OSPI 连接

ZCZ_F 封装提供内部连接的片上 OSPI 闪存模块 (ISSI IS25LX064-LWLA3 OSPI 闪存器件)。由于内部连接，ZCZ_F 封装附带额外的引脚连接要求。有关引脚连接要求和焊球名称，请参阅[引脚连接要求](#)。

- OSPI_D2 信号 (引脚 L1) 兼作内部连接的闪存器件的低电平有效写保护输入。因此，引脚 L1 必须通过单独的 4.7k Ω 外部上拉电阻连接到相关源 (VDD33)。该电阻必须尽可能靠近器件放置。
- OSPI_RESET_OUT0 信号 (引脚 J3) 必须连接到与 PORz 等效的开漏，以复位片上 OSPI 闪存模块。开漏要求是防止通过引脚 J3 的外部 PORz 连接与 AM263P 和 OSPI 闪存器件之间的封装内部连接之间产生总线争用。
- 片上 OSPI 闪存模块的其余引脚内部连接应保持未连接状态且没有 PCB 布线：
 - H1
 - J1
 - J4
 - K2
 - K3
 - K4
 - L2
 - M1
 - M4
 - P1
 - P3

请参阅 [ZCZ_F 封装 OSPI 连接要求](#)，直观了解必要的连接。

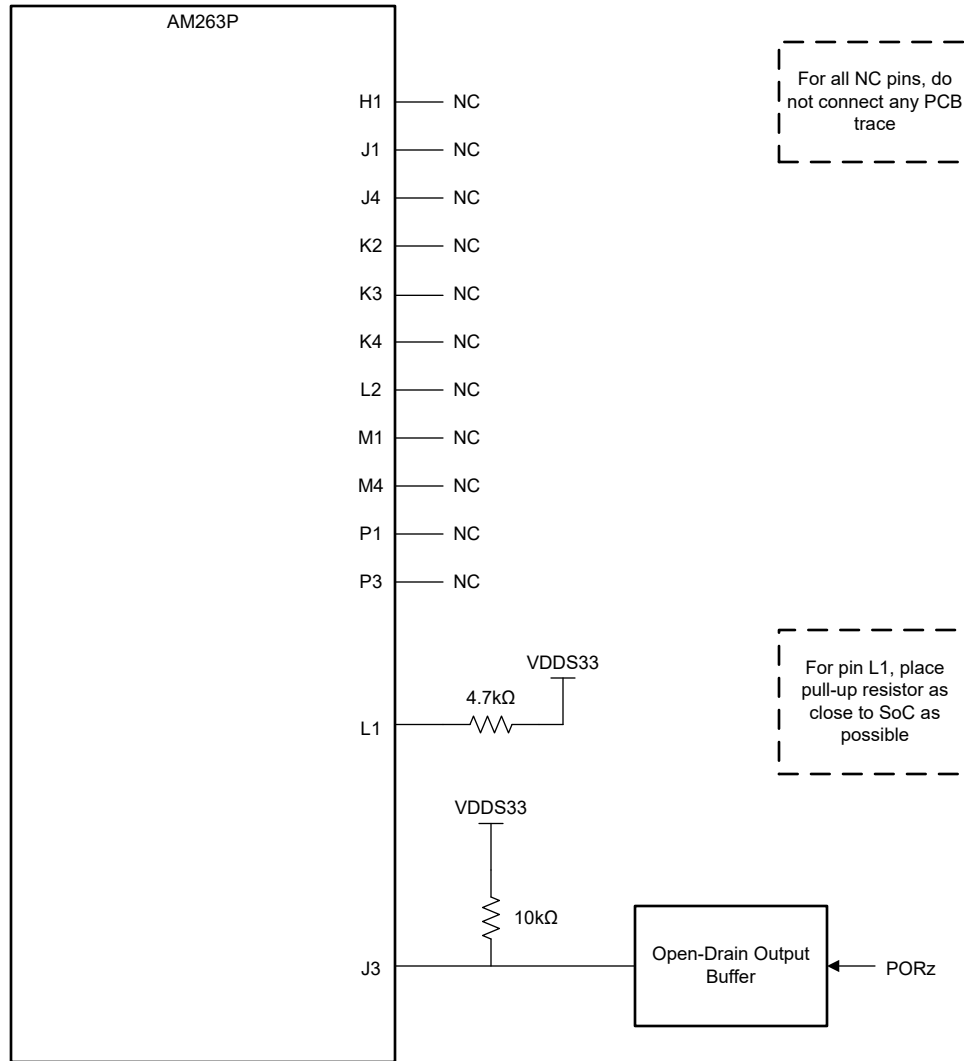


图 8-1. ZCZ_F 封装 OSPI 连接要求

9 器件和文档支持

9.1 器件命名规则

为了指明产品开发周期所处的阶段，TI 为所有微控制器 (MCU) 和支持工具的产品型号分配了前缀。每个器件都具有以下三个前缀中的其中一个：X、P 或 null (无前缀) (例如，XAM263PxAOLFGMZCZQ)。德州仪器 (TI) 为其支持工具推荐使用三种可能的前缀指示符中的两个：TMDX 和 TMDS。这些前缀代表了产品开发的发展阶段，即从工程原型 (TMDX) 直到完全合格的生产器件和工具 (TMDS)。

器件开发进化流程：

X 试验器件不一定代表最终器件的电气规范标准，并且可能不使用生产组装流程。

P 原型器件不一定是最终器件模型，并且不一定符合最终电气标准规范。

无 完全合格的芯片模型的生产版本。

支持工具开发演变流程：

TMDX 还未经德州仪器 (TI) 完整内部质量测试的开发支持产品。

TMDS 完全合格的开发支持产品。

X 和 P 器件和 TMDX 开发支持工具在供货时附带如下免责条款：

“开发中的产品用于内部评估用途。”

生产器件和 TMDS 开发支持工具已进行完全特性描述，并且器件的质量和可靠性已经完全论证。TI 的标准保修证书对该器件适用。

预测显示原型器件 (X 或者 P) 的故障率大于标准生产器件。由于这些器件的预期最终使用故障率仍未确定，故德州仪器 (TI) 建议请勿将这些器件用于任何生产系统。请仅使用合格的生产器件。

如需 ZCZ 封装类型的 AM263Px 器件的可订购器件型号，请参阅本文档的封装选项附录、访问 TI 网站 (ti.com) 或联系您的 TI 销售代表。

9.1.1 标准封装编号法

备注

某些器件的器件封装顶部的表面可能有一个圆形标识，该标识是生产测试过程中产生的。此外，一些器件的封装基板颜色也可能因基板制造商的原因而有所不同。这些差异只在表面显示，不会影响可靠性。

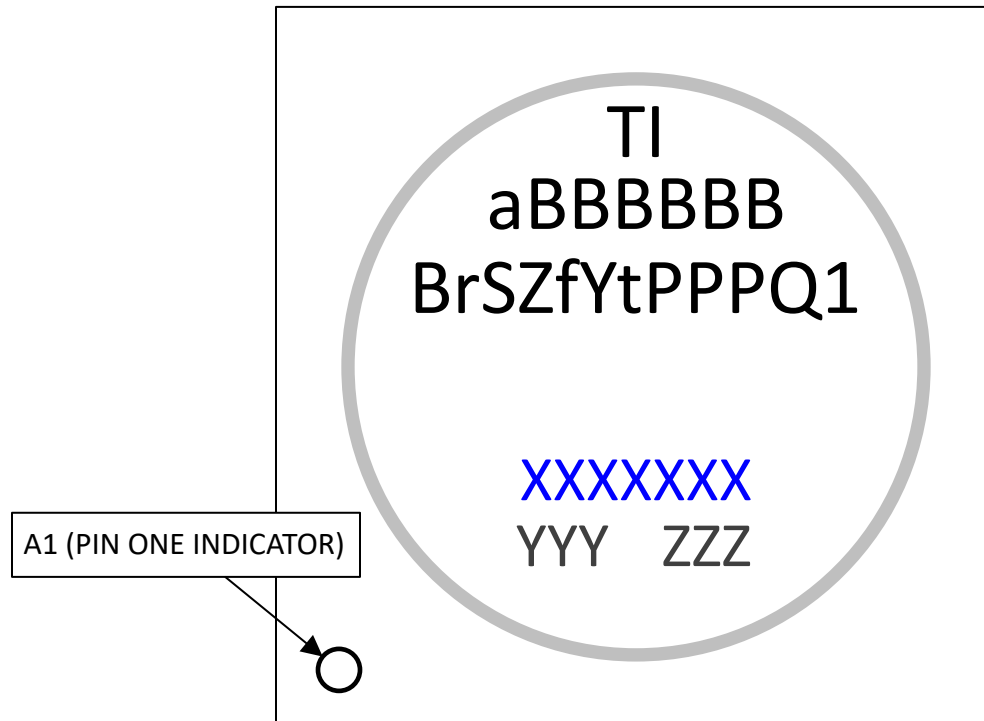


图 9-1. 印刷器件参考

9.1.2 器件命名约定

表 9-1. 命名规则说明

字段参数	字段说明	值	说明
a ⁽²⁾	器件演变阶段	X	原型
		P	预量产 (生产测试流程, 无可靠性数据)
		空白 ⁽¹⁾	量产
BBBBBBB	基本量产器件型号	AM263P4	请参阅 器件比较 。
		AM263P2	
		AM263P1	
r	器件修订版本	A	SR 1.0
S	特殊特性	C	AM263x 兼容封装 (ZCZ-C)
		F	AM263Px 传感器封装 (ZCZ-F) + SIP 封装内闪存
		S	AM263Px 传感器封装 (ZCZ-S)
Z	器件运行性能点	N	请参阅 运行性能点 。
		O	
		P	
f	特性 (请参阅表 4-1, 器件比较)	D	PRU-ICSS + 支持 CAN-FD + 标准模拟
		E	PRU-ICSS + EtherCAT 硬件加速器 + 支持 CAN-FD + 标准模拟
		F	PRU-ICSS + EtherCAT 硬件加速器 + 支持 CAN-FD + 预集成栈 + 标准模拟
		K	PRU-ICSS + 支持 CAN-FD + 增强型模拟
		L	PRU-ICSS + EtherCAT 硬件加速器 + 支持 CAN-FD + 增强型模拟
		M	PRU-ICSS + EtherCAT 硬件加速器 + 支持 CAN-FD + 预集成栈 + 增强型模拟
		N	保留
Y	功能安全	G	非功能安全 (仅限 AM263P1)
		F	功能安全
PPP	封装符号	ZCZ	ZCZ NFBGA-N324 (15mm × 15 mm) 封装
Q1	汽车标识符和最大结温 ⁽³⁾ (请参阅节 6.5, ROC)	Q1	通过汽车认证 (AEC-Q100) - 40°C 至 150°C - 汽车级工作温度
		空白	标准 - 40°C 至 105°C - 工业
XXXXXXX			批次追踪代码 (LTC)
YYY			生产代码; 仅供 TI 使用

表 9-1. 命名规则说明 (续)

字段参数	字段说明	值	说明
O			引脚 1 符号
G1			ECAT - 环保封装符号

- (1) 符号和器件型号中的空白将折叠显示，以防字符间存在间隙。
- (2) 为了标明产品开发周期的阶段，TI 为所有器件型号分配了前缀。这些前缀代表了产品开发的进展阶段，即从工程原型直到完全合格的生产器件。
原型器件在供货时附带如下免责声明：
“本产品仍在开发，用于内部评估。”
无论是否有相反规定，TI 均不作任何明示、默示或法定的保证，包括对此器件特定用途的适用性和适销性的任何暗示保证。
- (3) 适用于器件最高结温。

9.2 工具与软件

以下产品支持面向 AM263Px 平台的开发工作：

开发工具

Code Composer Studio™ 集成开发环境 Code Composer Studio (CCS) 集成开发环境 (IDE) 是支持 TI 微控制器和嵌入式处理器产品系列的开发环境。Code Composer Studio 包含一整套用于开发和调试嵌入式应用的工具。它包含了用于优化的 C/C++ 编译器、源代码编辑器、工程编译环境、调试器、分析工具以及多种其他功能。直观的 IDE 提供了一个单一用户界面，可帮助用户完成应用开发流程的每个步骤。熟悉的工具和界面让用户能够比以往更快地上手。Code Composer Studio 将 Eclipse 软件框架的优势和 TI 高级嵌入式调试功能相结合，为嵌入式开发人员提供了一种极具吸引力且功能丰富的开发环境。

SysConfig-PinMux 工具 SysConfig-PinMux 实用程序是一款软件工具，可提供图形用户界面，用于配置引脚多路复用设置、解决冲突以及指定 TI 嵌入式处理器器件的 I/O 电池特性。该工具可用于自动计算适当的引脚多路复用配置，以满足输入的系统要求。该工具会生成输出 C 头文件/代码文件，这些文件可导入软件开发套件 (SDK)，并用于配置客户的软件以满足定制硬件要求。

有关处理器平台开发支持工具的完整列表，请访问德州仪器 (TI) 网站 www.ti.com.cn。有关价格和供货情况的信息，请联系最近的 TI 销售办事处或授权分销商。

9.3 文档支持

要接收文档更新通知，请导航至 ti.com 上的器件产品文件夹。点击 [通知](#) 进行注册，即可每周接收产品信息更改摘要。有关更改的详细信息，请查看任何已修订文档中包含的修订历史记录。

以下文档介绍了该 AM263Px 器件。

AM263Px 技术参考手册 详述了针对每一个外设和 AM263Px 系列器件中的子系统的集成、环境、功能说明，以及程序设计模型。

AM263Px TRM 寄存器附录 详细介绍了 AM263Px 系列器件中每个外设和子系统的存储器映射寄存器信息。

9.4 支持资源

TI E2E™ 中文支持论坛 是工程师的重要参考资料，可直接从专家处获得快速、经过验证的解答和设计帮助。搜索现有解答或自行提出问题，以获得所需的快速设计帮助。

链接的内容由各个贡献者“按原样”提供。这些内容并不构成 TI 技术规范，并且不一定反映 TI 的观点；请参阅 TI 的 [使用条款](#)。

9.5 商标

Ethernet/IP™ is a trademark of ODVA, INC..

Sitara™, Code Composer Studio™, and TI E2E™ are trademarks of Texas Instruments.

CoreSight™ is a trademark of Arm Limited (or its subsidiaries) in the US and/or elsewhere.

Arm® and Cortex® are registered trademarks of Arm Limited (or its subsidiaries) in the US and/or elsewhere.

EtherCAT® is a registered trademark of Beckhoff Automation GmbH.

PROFINET® is a registered trademark of PROFINET International.

IO-Link® is a registered trademark of PROFIBUS Nutzerorganisation e.V. eingetragener verein (e.v.) FED REP GERMANY.

is a registered trademark of Arm.

所有商标均为其各自所有者的财产。

9.6 静电放电警告



静电放电 (ESD) 会损坏这个集成电路。德州仪器 (TI) 建议通过适当的预防措施处理所有集成电路。如果不遵守正确的处理和安装程序，可能会损坏集成电路。

ESD 的损坏小至导致微小的性能降级，大至整个器件故障。精密的集成电路可能更容易受到损坏，这是因为非常细微的参数更改都可能会导致器件与其发布的规格不相符。

9.7 术语表

TI 术语表 本术语表列出并解释了术语、首字母缩略词和定义。

10 修订历史记录

Changes from MARCH 16, 2024 to APRIL 25, 2024 (from Revision B (March 2024) to Revision C (May 2024))

	Page
• 标题：将器件标题从“AM263Px Sitara™ 微控制器”更改为“AM263Px 具有可选封装内闪存的 Sitara™ 微控制器”	0
• (特性)：更新了 存储器 、 工业连接 、 高速接口 、 安全 和 技术/封装 部分的格式	1
• (特性)：添加了有关计时器模块和封装特定选项的信息	1
• (功能方框图)：更新了功能方框图以提高可读性和清晰度。	5
• (器件比较)：向列标题中添加了“汽车级 GPN”	7
• (器件比较)：合并了 MCAN 和 CAN-FD 行	7
• (器件比较)：更新了 JTAG ID 部分，以列出 DEVICE_ID (基本器件型号) 值而非完整的 JTAG ID	7
• (器件比较)：更新了 Arm® Cortex-R5F 行以包含锁步信息	7
• (器件比较)：更新了表注以反映 ZCZ-F 封装选项	7
• (器件标识)：添加了 AM263Px 器件型号标识符表	9
• (相关产品)：更新了“帮助您完成设计的产品”一节	10
• (功耗摘要)：在 功耗 - 典型值 和 功耗 - 牵引逆变器 表中添加了内容	82
• (电气特性)：为 ADC 、 ADC_R 、 CMPSSA 和 CMPSSB 表添加了输入漏电流的值	83
• (安全比较器)：将“Vref 监控器 (ROK2)”行条目添加到了 安全比较器 表	83
• (安全系统)：添加了 安全系统 表	83
• (封装热特性)：添加了流动空气参数的值。	91
• (外设时序 ePWM)：为 EPWM 特性 表添加了 MEP 值	106
• (外设时序 OSPI)：添加了 OSPI PHY 外部环回模式时序和开关特性的信息和值。	126

Changes from JANUARY 8, 2024 to MARCH 15, 2024 (from Revision A (January 2024) to Revision B (March 2024))

	Page
• 通篇 ：添加了 ZCZ-F 封装的引脚和信号信息	1
• (特性)：添加了有关采用 ZCZ-F 封装的 OSPI 闪存器件的信息	1
• (器件比较)：添加了 JTAG 器件 ID	7
• (相关产品)：添加了对 AM263P SDK 的引用	10
• 引脚属性：将晶振电源参考从“VDDS_OSC”更改为“VDDA18_OSC_PLL”	17
• (封装内闪存 (ZCZ_F) 的 OSPI 连接)：添加了介绍 ZCZ_F OSPI 连接的应用一章	155

11 机械、封装和可订购信息

以下页面包含机械、封装和可订购信息。这些信息是指定器件可用的最新数据。数据如有变更，恕不另行通知，且不会对此文档进行修订。有关此数据表的浏览器版本，请查阅左侧的导航栏。

要了解关于 TI 封装的更多信息，请访问[封装信息](#)网站。

重要通知和免责声明

TI “按原样”提供技术和可靠性数据（包括数据表）、设计资源（包括参考设计）、应用或其他设计建议、网络工具、安全信息和其他资源，不保证没有瑕疵且不做任何明示或暗示的担保，包括但不限于对适销性、某特定用途方面的适用性或不侵犯任何第三方知识产权的暗示担保。

这些资源可供使用 TI 产品进行设计的熟练开发人员使用。您将自行承担以下全部责任：(1) 针对您的应用选择合适的 TI 产品，(2) 设计、验证并测试您的应用，(3) 确保您的应用满足相应标准以及任何其他功能安全、信息安全、监管或其他要求。

这些资源如有变更，恕不另行通知。TI 授权您仅可将这些资源用于研发本资源所述的 TI 产品的相关应用。严禁以其他方式对这些资源进行复制或展示。您无权使用任何其他 TI 知识产权或任何第三方知识产权。您应全额赔偿因在这些资源的使用中对 TI 及其代表造成的任何索赔、损害、成本、损失和债务，TI 对此概不负责。

TI 提供的产品受 [TI 的销售条款](#)或 [ti.com](#) 上其他适用条款/TI 产品随附的其他适用条款的约束。TI 提供这些资源并不会扩展或以其他方式更改 TI 针对 TI 产品发布的适用的担保或担保免责声明。

TI 反对并拒绝您可能提出的任何其他或不同的条款。

邮寄地址：Texas Instruments, Post Office Box 655303, Dallas, Texas 75265

版权所有 © 2023，德州仪器 (TI) 公司

PACKAGING INFORMATION

Orderable Device	Status (1)	Package Type	Package Drawing	Pins	Package Qty	Eco Plan (2)	Lead finish/ Ball material (6)	MSL Peak Temp (3)	Op Temp (°C)	Device Marking (4/5)	Samples
AM263P2ACOLFZCZR	ACTIVE	NFBGA	ZCZ	324	1000	RoHS & Green	Call TI	Level-3-260C-168 HR		AM263P 2ACOLFZCZ 867	Samples
AM263P4ACOKFZCZRQ1	ACTIVE	NFBGA	ZCZ	324	1000	RoHS & Green	Call TI	Level-3-260C-168 HR	-40 to 150	AM263P 4ACOKFZCZRQ1 867	Samples
AM263P4ACOLFZCZR	ACTIVE	NFBGA	ZCZ	324	1000	RoHS & Green	Call TI	Level-3-260C-168 HR	-40 to 105	AM263P 4ACOLFZCZ 867	Samples
AM263P4ACOMFZCZR	ACTIVE	NFBGA	ZCZ	324	1000	RoHS & Green	Call TI	Level-3-260C-168 HR	-40 to 105	AM263P 4ACOMFZCZ 867	Samples
AM263P4ASOKFZCZRQ1	ACTIVE	NFBGA	ZCZ	324	1000	RoHS & Green	Call TI	Level-3-260C-168 HR	-40 to 150	AM263P 4ASOKFZCZRQ1 867	Samples
XAM263P4ACOMFZCZ	ACTIVE	NFBGA	ZCZ	324	1	TBD	Call TI	Call TI	-40 to 105		Samples

(1) The marketing status values are defined as follows:

ACTIVE: Product device recommended for new designs.

LIFEBUY: TI has announced that the device will be discontinued, and a lifetime-buy period is in effect.

NRND: Not recommended for new designs. Device is in production to support existing customers, but TI does not recommend using this part in a new design.

PREVIEW: Device has been announced but is not in production. Samples may or may not be available.

OBSOLETE: TI has discontinued the production of the device.

(2) **RoHS:** TI defines "RoHS" to mean semiconductor products that are compliant with the current EU RoHS requirements for all 10 RoHS substances, including the requirement that RoHS substance do not exceed 0.1% by weight in homogeneous materials. Where designed to be soldered at high temperatures, "RoHS" products are suitable for use in specified lead-free processes. TI may reference these types of products as "Pb-Free".

RoHS Exempt: TI defines "RoHS Exempt" to mean products that contain lead but are compliant with EU RoHS pursuant to a specific EU RoHS exemption.

Green: TI defines "Green" to mean the content of Chlorine (Cl) and Bromine (Br) based flame retardants meet JS709B low halogen requirements of <=1000ppm threshold. Antimony trioxide based flame retardants must also meet the <=1000ppm threshold requirement.

(3) MSL, Peak Temp. - The Moisture Sensitivity Level rating according to the JEDEC industry standard classifications, and peak solder temperature.

(4) There may be additional marking, which relates to the logo, the lot trace code information, or the environmental category on the device.

⁽⁵⁾ Multiple Device Markings will be inside parentheses. Only one Device Marking contained in parentheses and separated by a "~" will appear on a device. If a line is indented then it is a continuation of the previous line and the two combined represent the entire Device Marking for that device.

⁽⁶⁾ Lead finish/Ball material - Orderable Devices may have multiple material finish options. Finish options are separated by a vertical ruled line. Lead finish/Ball material values may wrap to two lines if the finish value exceeds the maximum column width.

Important Information and Disclaimer:The information provided on this page represents TI's knowledge and belief as of the date that it is provided. TI bases its knowledge and belief on information provided by third parties, and makes no representation or warranty as to the accuracy of such information. Efforts are underway to better integrate information from third parties. TI has taken and continues to take reasonable steps to provide representative and accurate information but may not have conducted destructive testing or chemical analysis on incoming materials and chemicals. TI and TI suppliers consider certain information to be proprietary, and thus CAS numbers and other limited information may not be available for release.

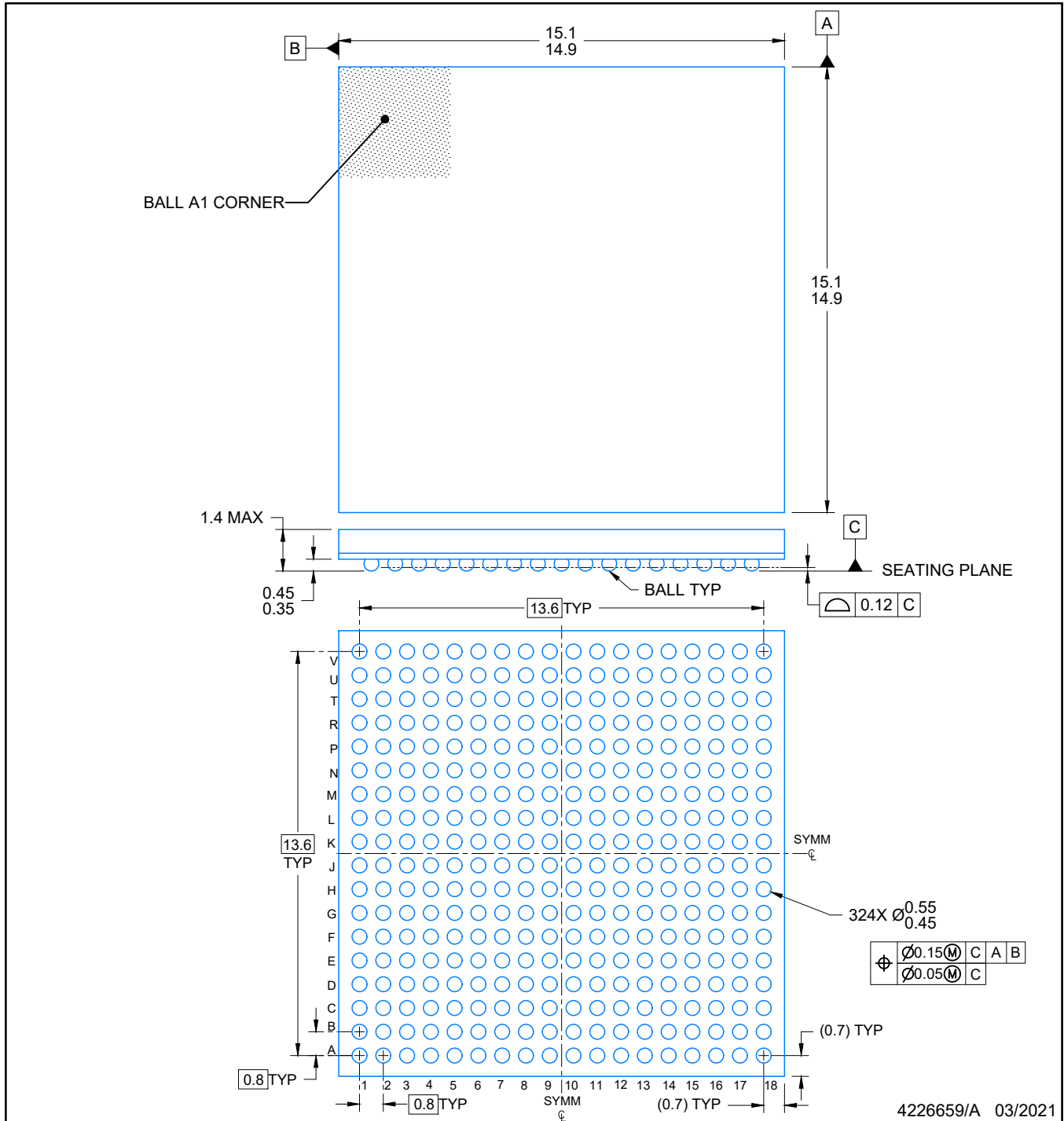
In no event shall TI's liability arising out of such information exceed the total purchase price of the TI part(s) at issue in this document sold by TI to Customer on an annual basis.

OTHER QUALIFIED VERSIONS OF AM263P4, AM263P4-Q1 :

- Catalog : [AM263P4](#)
- Automotive : [AM263P4-Q1](#)

NOTE: Qualified Version Definitions:

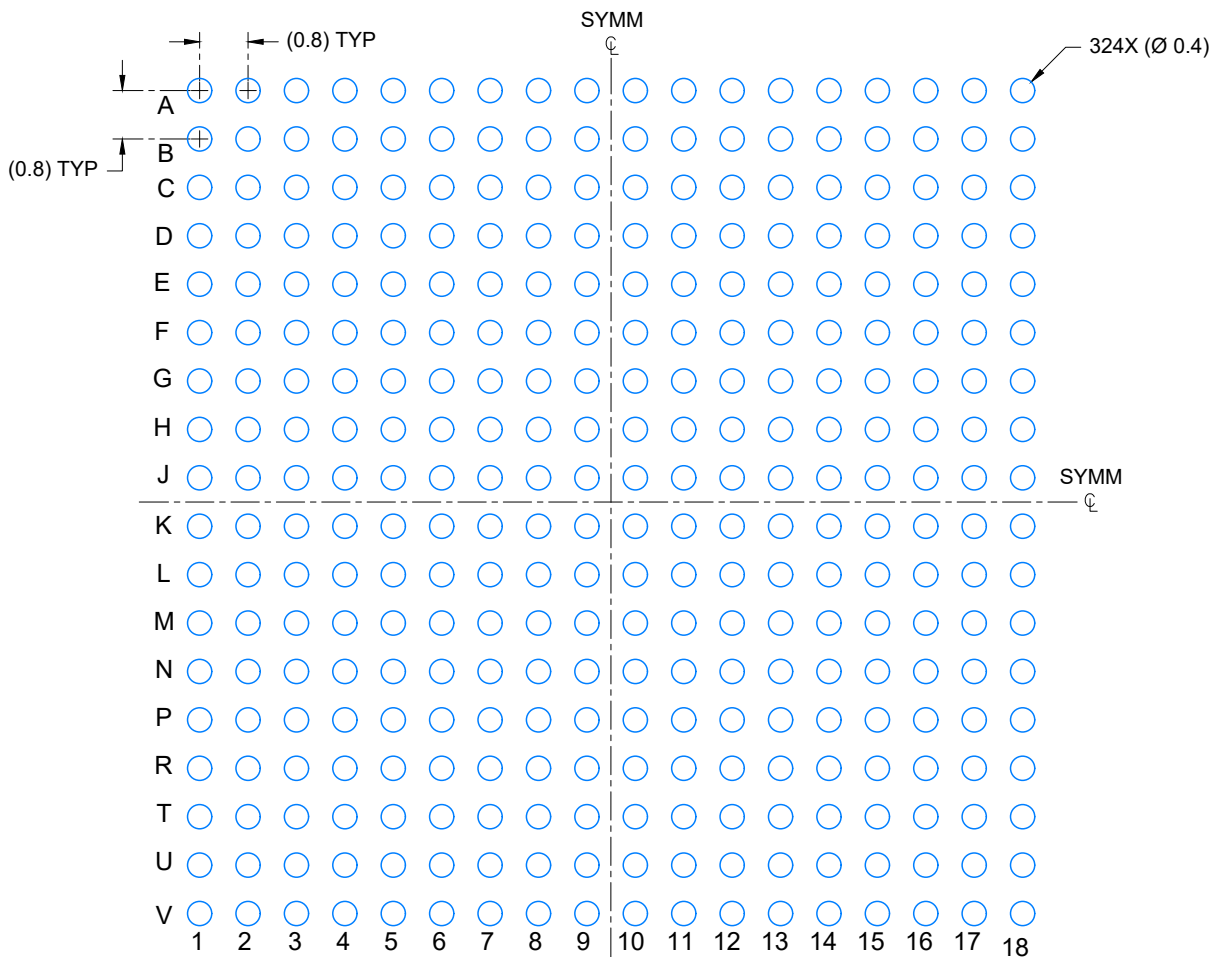
- Catalog - TI's standard catalog product
- Automotive - Q100 devices qualified for high-reliability automotive applications targeting zero defects



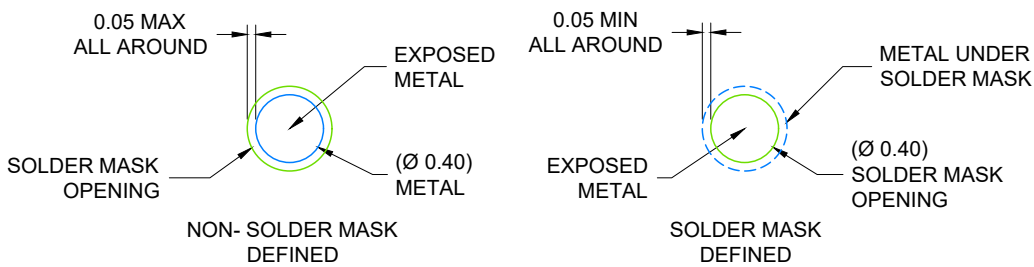
NOTES:

NanoFree is a trademark of Texas Instruments.

1. All linear dimensions are in millimeters. Any dimensions in parenthesis are for reference only. Dimensioning and tolerancing per ASME Y14.5M.
2. This drawing is subject to change without notice.



LAND PATTERN EXAMPLE
SCALE: 8X

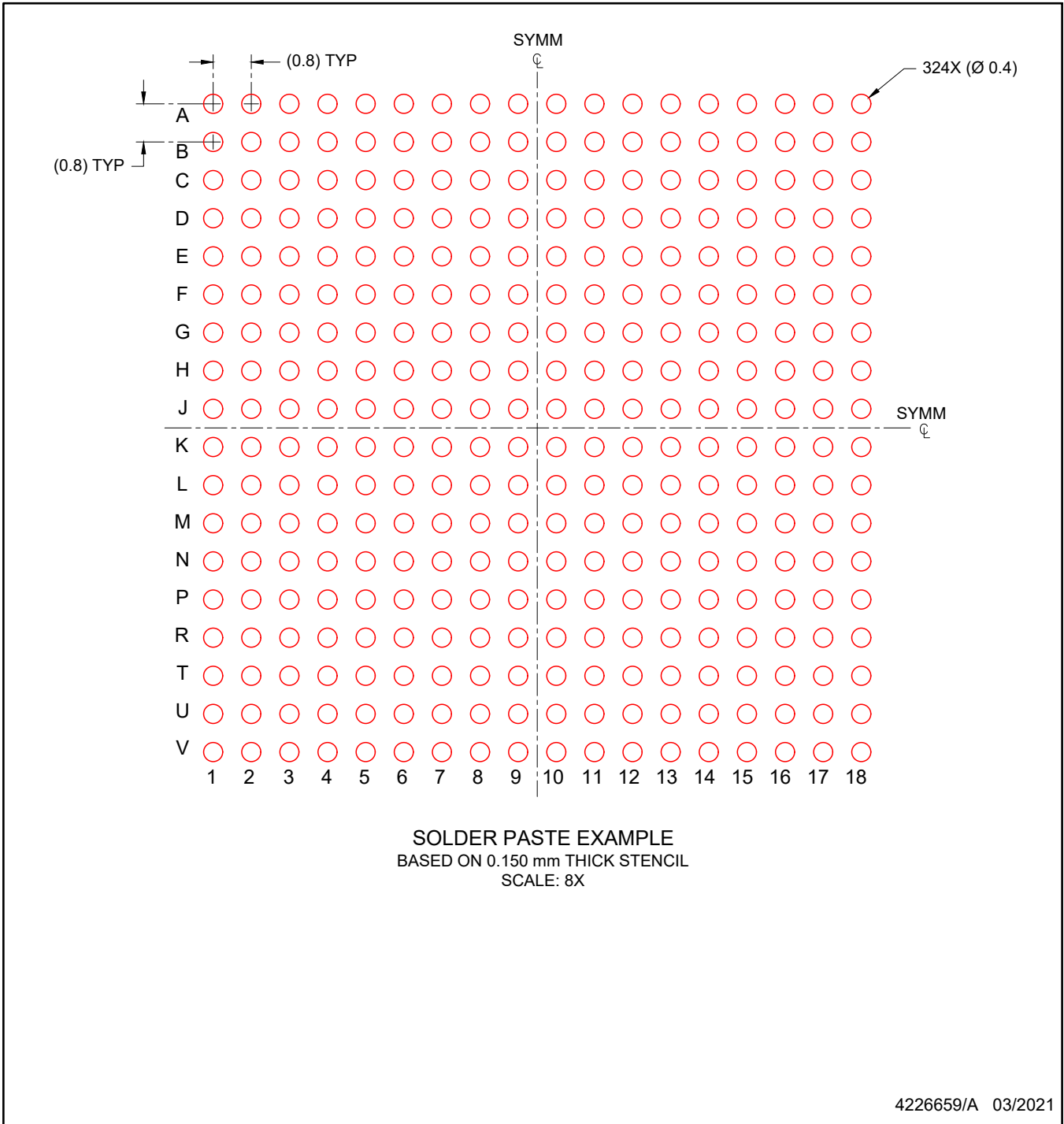


SOLDER MASK DETAILS
NOT TO SCALE

4226659/A 03/2021

NOTES: (continued)

- Final dimensions may vary due to manufacturing tolerance considerations and also routing constraints. Refer to Texas Instruments Literature number SNVA009 (www.ti.com/lit/snva009).



NOTES: (continued)

- 4. Laser cutting apertures with trapezoidal walls and rounded corners may offer better paste release.

重要声明和免责声明

TI“按原样”提供技术和可靠性数据（包括数据表）、设计资源（包括参考设计）、应用或其他设计建议、网络工具、安全信息和其他资源，不保证没有瑕疵且不做任何明示或暗示的担保，包括但不限于对适销性、某特定用途方面的适用性或不侵犯任何第三方知识产权的暗示担保。

这些资源可供使用 TI 产品进行设计的熟练开发人员使用。您将自行承担以下全部责任：(1) 针对您的应用选择合适的 TI 产品，(2) 设计、验证并测试您的应用，(3) 确保您的应用满足相应标准以及任何其他功能安全、信息安全、监管或其他要求。

这些资源如有变更，恕不另行通知。TI 授权您仅可将这些资源用于研发本资源所述的 TI 产品的应用。严禁对这些资源进行其他复制或展示。您无权使用任何其他 TI 知识产权或任何第三方知识产权。您应全额赔偿因在这些资源的使用中对 TI 及其代表造成的任何索赔、损害、成本、损失和债务，TI 对此概不负责。

TI 提供的产品受 [TI 的销售条款](#) 或 [ti.com](#) 上其他适用条款/TI 产品随附的其他适用条款的约束。TI 提供这些资源并不会扩展或以其他方式更改 TI 针对 TI 产品发布的适用的担保或担保免责声明。

TI 反对并拒绝您可能提出的任何其他或不同的条款。

邮寄地址：Texas Instruments, Post Office Box 655303, Dallas, Texas 75265

Copyright © 2024，德州仪器 (TI) 公司